

ผลของการดัดแปลงการเรียนรู้ด้วยกรด ออกซิเดชัน และการเชื่อมข้าม
ต่อคุณสมบัติของสตาร์ชถั่วเขียว

โดย
นายณัฐวุฒิ โชคจิรภูติกาล

วิทยานิพนธ์นี้เป็นส่วนหนึ่งของการศึกษาตามหลักสูตรปริญญาวิทยาศาสตรมหาบัณฑิต
สาขาวิชาเทคโนโลยีอาหาร
ภาควิชาเทคโนโลยีอาหาร
บัณฑิตวิทยาลัย มหาวิทยาลัยศิลปากร
ปีการศึกษา 2550
ลิขสิทธิ์ของบัณฑิตวิทยาลัย มหาวิทยาลัยศิลปากร

**EFFECT OF MODIFICATIONS BY ACID-THINNING OXIDATION AND
CROSS-LINKING ON THE PROPERTIES OF MUNGBEAN STARCH**

By
Natt Chotjiratthitikan

A Thesis Submitted in Partial Fulfillment of the Requirements for the Degree
MASTER OF SCIENCE
Department of Food Technology
Graduate School
SILAPAKORN UNIVERSITY
2007

บันทึกวิทยาลัย มหาวิทยาลัยศิลปากร อนุเมตติวิทยานิพนธ์เรื่อง “ผลของการดัดแปลงโดยการ
ย่ออย่างรวดเร็ว ออกแบบชีเดชัน และการเชื่อมข้ามต่อคุณสมบัติของสถาร์ชั่วเวียร์” เสนอโดย นายณัฐร์
โชคจิรฉิติกาล เป็นส่วนหนึ่งของการศึกษาตามหลักสูตรปริญญาวิทยาศาสตรมหาบัณฑิต
สาขาวิชาเทคโนโลยีอาหาร

(รองศาสตราจารย์ ดร. ศิริษัย ชินะตั้งกุร)

คณะกรรมการ

วันที่ เดือน พ.ศ.

อาจารย์ที่ปรึกษาวิทยานิพนธ์

- ผู้ช่วยศาสตราจารย์ ดร.เอกพันธ์ แก้วมณีชัย
- ผู้ช่วยศาสตราจารย์ ดร.สุเชษฐ์ สมุหเสนีโต
- ผู้ช่วยศาสตราจารย์ ดร.บริญดา เพ็ญใจน์

คณะกรรมการตรวจสอบวิทยานิพนธ์

..... ประธานกรรมการ
(อาจารย์ ดร.ดวงใจ ถิรธรรมถาวร)

..... / /

..... กรรมการ

(ผู้ช่วยศาสตราจารย์ ดร.ชัยยงค์ เตชะไพบูลย์)

..... / /

..... กรรมการ

(ผู้ช่วยศาสตราจารย์ ดร.เอกพันธ์ แก้วมณีชัย)

..... / /

..... กรรมการ

(ผู้ช่วยศาสตราจารย์ ดร.สุเชษฐ์ สมุหเสนีโต)

..... / /

..... กรรมการ

(ผู้ช่วยศาสตราจารย์ ดร.บริญดา เพ็ญใจน์)

..... / /

46403203 : สาขาวิชาเทคโนโลยีอาหาร

คำสำคัญ : สถาร์ชั้วเยีย / การดัดแปลง / การย่อยด้วยกรด / ออกซิเดชัน / การเชื่อมข้าม

นักวิจัย 中途จิรฐิติกาล : ผลของการดัดแปลงโดยการย่อยด้วยกรด ออกซิเดชัน และการเชื่อมข้ามต่อคุณสมบัติของสตาร์ชถั่วเขียว, อาจารย์ที่ปรึกษาวิทยานิพนธ์ : ผศ.ดร.เอกพันธ์ แก้วมณีชัย, ผศ.ดร.สุเชษฐ์ สมุหเสนีโต และ ผศ.ดร.ปริญดา เพ็ญใจน์. 159 หน้า.

แม้ว่าสตาร์ชถั่วเขียวจะมีความสำคัญต่ออุตสาหกรรมอาหาร แต่ยังขาดการศึกษาวิจัยเกี่ยวกับการดัดแปลงสตาร์ชถั่วเขียวเพื่อบรรบปูนคุณสมบัติให้ดีขึ้นและเหมาะสมต่อการนำไปใช้ประโยชน์ จึงได้ทำการดัดแปลงสตาร์ชถั่วเขียวด้วยวิธีการทางเคมีที่แตกต่างกัน 3 วิธีคือ การย่อยด้วยกรด ออกซิเดชัน และการเชื่อมข้าม แล้วนำสตาร์ชดัดแปลงที่ได้ไปตรวจสوبคุณสมบัติต่างๆ พบว่าเมื่อดัดแปลงสตาร์ชถั่วเขียวโดยวิธีการทางเคมีดังกล่าว จะพบรอยสีกรุ่นบริเวณผิวของเม็ดสตาร์ช แต่ขนาด และรูปร่างของเม็ดสตาร์ชไม่เปลี่ยนแปลง สตาร์ชถั่วเขียว yang คงมีรูปร่างหลายแบบตั้งแต่ทรงกลม กลมรี ไปจนถึงรูปคล้ายไต ค่าความสว่าง (L^*) มีแนวโน้มที่จะเพิ่มขึ้น ค่าความเป็นสีแดง (a^*) จะลดลงหลังการดัดแปลงโดยการย่อยด้วยกรด และออกซิเดชัน แต่จะเพิ่มขึ้นเมื่อผ่านการเชื่อมข้าม ส่วนค่าความเป็นสีเหลือง (b^*) จะเพิ่มหลังการดัดแปลงโดยการย่อยด้วยกรด และเชื่อมข้าม แต่จะลดลงเมื่อผ่านวิธีออกซิเดชัน การย่อยด้วยกรด และออกซิเดชันที่แยกที่พคลอรินร้อยละ 1.0 และ 1.5 สงผลให้ปริมาณอะไมโลสเพิ่มขึ้น ส่วนการเชื่อมข้ามให้ผลในทางตรงข้าม ลักษณะโครงสร้างผลึกจากรูปแบบการเดี้ยวเบนของรังสีเอกซ์ของสตาร์ชถั่วเขียวเป็นแบบ A การย่อยด้วยกรด และออกซิเดชัน ทำให้สตาร์ชมีความเป็นผลึกเพิ่มขึ้น เล็กน้อย ผลการตรวจสอบพฤติกรรมการเปลี่ยนแปลงความหนืดของสตาร์ชด้วยเครื่อง Rapid Visco Analyzer พบว่าค่าความหนืดสูงสุดมีแนวโน้มที่จะลดลงเมื่อระดับของการดัดแปลงเพิ่มขึ้น แต่ค่าเบรกดาวน์ และอุณหภูมิที่เริ่มเกิดความหนืดมีค่าเพิ่มขึ้น การวิเคราะห์คุณสมบัติในการเกิดเจลาติโนเข้าโดยการให้ความร้อนด้วยเครื่อง Differential Scanning Calorimeter พบว่าการดัดแปลงทั้ง 3 วิธีสงผลให้อุณหภูมิเริ่มต้นสูงขึ้น แต่ช่วงอุณหภูมิในการเกิดเจลาติโนเข้ามีแนวโน้มที่จะลดลง การย่อยด้วยกรด และออกซิเดชันมีแนวโน้มทำให้ค่าอุณหภูมิที่สตาร์ชดูดความร้อนสูงสุด และอุณหภูมิสุดท้ายเพิ่มขึ้น ในขณะที่พลังงาน เอนthalpy ใน การเกิดเจลาติโนเข้า ของสตาร์ชที่ผ่านการย่อยด้วยกรดเพิ่มขึ้น กำลังการพองตัวของสตาร์ชที่ดัดแปลงโดยการย่อยด้วยกรดและการเชื่อมข้ามมีแนวโน้มที่จะลดลง ส่วนค่าการละลายมีแนวโน้มจะเพิ่มขึ้นเมื่อดัดแปลงโดยการย่อยด้วยกรดและออกซิเดชัน แต่จะลดลงเมื่อสตาร์ชผ่านการเชื่อมข้าม การแยกตัวของของเหลวเพิ่มขึ้นหลังผ่านการดัดแปลงในขณะที่ความแข็งแรงของเจลเพิ่มขึ้น เมื่อระดับการย่อยด้วยกรดต่ำและมีแนวโน้มที่จะลดลงเมื่อระดับของการดัดแปลงสูงขึ้น

46403203 : MAJOR ; FOOD TECHNOLOGY
KEYWORD : MUNGBEAN STARCH / MODIFICATION / ACID-THINNING / OXIDATION / CROSS-LINKING

NATT CHOTJIRATTHITIKAN : EFFECT OF MODIFICATIONS BY ACID-THINNING OXIDATION AND CROSS-LINKING ON THE PROPERTIES OF MUNGBEAN STARCH, THESIS ADVISORS : ASST. PROF. EKAPHAN KEOWMANEECHAI, Ph.D., ASST. PROF. SUCHED SAMUHASANEETOO, Ph.D., AND ASST. PROF. PARINDA PENROJ, Ph.D. 159 pp.

Although mungbean starch is important to the food industry, there is a lack of research studies on modifications of the starch to improve its properties for appropriate application. Therefore, in this study, mungbean starch was modified by chemical methods, including acid-thinning, oxidation and cross-linking. It was found that the modifications caused the starch granules to be hydrolyzed at their surfaces, but did not alter the granule morphology. Starch granules were round, oval and kidney-like in shape with various sizes. The whiteness (L^*) tended to be increased. The redness (a^*) was reduced after acid-thinning and oxidation, but increased following cross-linking. The yellowness (b^*) was increased after acid-thinning and cross-linking, but reduced following oxidation. Amylose content was increased after acid-thinning and oxidation at 1.0 and 1.5 % active chlorine, whereas the content was reduced after cross-linking. The X-ray diffraction pattern of native mungbean starch was A type. The patterns of the modified derivatives were similar to the native. Acid-thinning and oxidation had slightly higher degrees of crystallinity. Rapid Visco Analyzer revealed that pasting characteristics of starch, such as peak viscosity tended to be decreased, while breakdown and pasting temperature tended to be increased. The analysis of thermal properties by Differential Scanning Calorimeter showed that the modifications increased onset temperature, but tended to decrease gelatinization temperature ranges. Acid-thinning and oxidation tended to increase peak and end temperature of gelatinization. Enthalpy of gelatinization was increased after acid-thinning. Swelling power tended to be decreased after acid-thinning and cross-linking. Solubility tended to be increased after acid-thinning and oxidation, but reduced following cross-linking. Syneresis increased after the modifications. Gel strength increased at a low degree of acid-thinning and decreased with increased degree of the modifications.

Department of Food Technology Graduate School, Silpakorn University Academic Year 2007

Student's signature.....

Thesis Advisors' signature 1. 2. 3.

กิตติกรรมประกาศ

ผู้วิจัยขอขอบพระคุณ ผู้ช่วยศาสตราจารย์ ดร.เอกพันธ์ แก้วมณีชัย ผู้ควบคุมวิทยานิพนธ์ที่
กรุณาให้คำปรึกษา ช่วยเหลือ และเสนอแนะแนวทางในการทำงานวิจัยตลอดมา ทั้งยังช่วย
ตรวจทานแก้ไขการเขียนรูปเล่าเรื่องวิทยานิพนธ์ฉบับนี้ให้มีความถูกต้องครบถ้วนสมบูรณ์
ขอขอบพระคุณ ผู้ช่วยศาสตราจารย์ ดร.สุเชษฐ์ สมุหเสนีโต ผู้ช่วยศาสตราจารย์ ดร.ปริญดา
เพ็ญใจ อาจารย์ ดร.ดวงใจ ถิรธรรมถาวร และผู้ช่วยศาสตราจารย์ ดร.ชัยยงค์ เตชะไพบูลย์
คณะกรรมการตรวจสอบวิทยานิพนธ์ ที่กรุณาสละเวลาให้คำแนะนำปรึกษา และให้แนวความคิดที่
เป็นประโยชน์ในการทำวิทยานิพนธ์ ตลอดจนช่วยตรวจสอบ และแก้ไขวิทยานิพนธ์ฉบับนี้จนเสร็จ
สมบูรณ์

ขอขอบพระคุณคณาจารย์ภาควิชาเทคโนโลยีอาหารทุกท่านที่กรุนาอุปรมณ์ และให้ความรู้
ระหว่างการศึกษา ขอขอบคุณนักวิทยาศาสตร์ และเจ้าหน้าที่ประจำภาควิชาเทคโนโลยีอาหารทุก
ท่านที่อำนวยความสะดวกทั้งในด้านงานเอกสาร สถานที่ สารเคมี เครื่องมือ และอุปกรณ์ในการ
ทดลอง รวมถึงให้คำแนะนำปรึกษาเกี่ยวกับการทำทดลองในด้านต่างๆ

ขอขอบคุณเพื่อนๆ และพี่ๆ นักศึกษาปริญญาโททุกท่านด้วยความจริงใจที่ได้ให้กำลังใจ ให้
คำปรึกษา และให้ความช่วยเหลือ จนวิทยานิพนธ์เล่มนี้สำเร็จลงเป็นอย่างดี

สุดท้ายของกราบขอบพระคุณ บิดา มารดา ที่ให้การอุปรมณ์สั่งสอน สนับสนุนการศึกษา
ตลอดจนความช่วยเหลือในด้านต่างๆ และคงเป็นกำลังใจในการศึกษาตลอดมา

สารบัญ

หน้า

บทคัดย่อภาษาไทย.....	๑
บทคัดย่อภาษาอังกฤษ.....	๑
กิตติกรรมประกาศ.....	๒
สารบัญตาราง.....	๓
สารบัญภาพ.....	๓
คำอธิบายสัญลักษณ์.....	๔
บทที่	
1 บทนำ.....	1
ความเป็นมาและความสำคัญของปัจจุบัน.....	1
วัตถุประสงค์ของการศึกษา.....	2
สมมติฐานของการศึกษา.....	2
ขอบเขตของการศึกษา.....	2
ประโยชน์ที่คาดว่าจะได้รับจากการวิจัย.....	2
2 เอกสารและงานวิจัยที่เกี่ยวข้อง.....	4
ถ้าเขียว.....	4
องค์ประกอบทางเคมีของถ้าเขียว.....	4
คุณสมบัติทางเคมีของถ้าเขียว.....	5
คุณลักษณะพิเศษของถ้าเขียว.....	10
ขนาดและรูปร่างของเม็ดสถาาร์ช (starch granule)	10
โครงสร้างและองค์ประกอบภายในเม็ดสถาาร์ช	10
โครงสร้างผลึกของเม็ดสถาาร์ช.....	13
ความหนืด.....	16
การเกิดเจลาตินайเซชัน (Gelatinization)	19
การเกิดรีtrogradation (Retrogradation).....	20
การย่อยสถาาร์ชด้วยเอนไซม์แอลฟอะไมเลส	21
การพองตัวและการละลาย.....	23
การดัดแปลงสถาาร์ช	24

บทที่	หน้า
การแบ่งประเภทของสตาร์ชดัดแปลง	25
การดัดแปลงทางเคมี (Chemical Modification).....	25
การดัดแปลงทางกายภาพ (Physical Modification)	26
การดัดแปลงทางเทคโนโลยีชีวภาพ (Biotechnological Modification)	26
การดัดแปลงทางเคมี.....	27
การดัดแปลงสตาร์ชโดยการย่อยด้วยกรด (Acid-thinning)	27
ผลของการดัดแปลงโดยการย่อยด้วยกรดต่อคุณสมบัติของสตาร์ช	28
ผลต่อลักษณะสัณฐานของเม็ดสตาร์ช	28
ผลต่อลักษณะโครงสร้างผลึก.....	29
ผลต่อความหนืด	30
ผลต่อการเกิดเจลาตินเซ็น.....	31
ผลต่อกำลังการพองตัวและการละลายของสตาร์ช.....	32
คุณสมบัติและการนำไปใช้	33
การดัดแปลงสตาร์ชด้วยวิธีออกซิเดชัน (Oxidation)	34
ผลของการดัดแปลงด้วยวิธีออกซิเดชันต่อคุณสมบัติของสตาร์ช	36
ผลต่อลักษณะสัณฐานของเม็ดสตาร์ช	36
ผลต่อลักษณะโครงสร้างผลึก	37
ผลต่อความหนืด	37
ผลต่อการเกิดเจลาตินเซ็น	37
ผลต่อกำลังการพองตัวและการละลายของสตาร์ช.....	38
คุณสมบัติและการนำไปใช้	38
การดัดแปลงสตาร์ชด้วยวิธีการเชื่อมข้าม (Cross-linking)	39
ผลของการดัดแปลงด้วยวิธีการเชื่อมข้ามต่อคุณสมบัติของสตาร์ช.....	42
ผลต่อลักษณะสัณฐานของเม็ดสตาร์ช	42
ผลต่อลักษณะโครงสร้างผลึก	42
ผลต่อความหนืด	42
ผลต่อการเกิดเจลาตินเซ็น	43

บทที่	หน้า
ผลต่อกำลังการพองตัวและการละลายของสตาร์ช	44
คุณสมบัติและการนำไปใช้	45
3 วัตถุดิบ อุปกรณ์และวิธีการดำเนินการวิจัย	47
วัตถุดิบ	47
เครื่องมือและอุปกรณ์	47
สารเคมี	48
สารเคมีที่ใช้ในการดัดแปลงสตาร์ชถั่วเขียวโดยวิธีการย่อยด้วยกรด	48
สารเคมีที่ใช้ในการดัดแปลงสตาร์ชถั่วเขียวโดยวิธีออกซิเดชัน	49
สารเคมีที่ใช้ในการดัดแปลงสตาร์ชถั่วเขียวโดยวิธีการเชื่อมข้าม	49
สารเคมีที่ใช้ในการวิเคราะห์ปริมาณอะไมโนเลส	49
สารเคมีที่ใช้วิเคราะห์ปริมาณคาร์บอไฮเดรตทั้งหมดภายหลังถูกย่อยด้วยเอนไซม์แอลฟากาโมเลส	49
สารเคมีที่ใช้วิเคราะห์เอดีทีของเอนไซม์	49
สารเคมีที่ใช้วิเคราะห์ความสามารถในการถูกย่อยด้วยเอนไซม์	50
สารเคมีที่ใช้วิเคราะห์ปริมาณคาร์บอไฮเดรตทั้งหมด	50
สารเคมีที่ใช้วิเคราะห์ปริมาณฟอสฟอรัส	50
สารเคมีที่ใช้วิเคราะห์ปริมาณหมุ่คาร์บอนิล และหมุ่คาร์บออกซิล	51
วิธีดำเนินการวิจัย	51
การผลิตสตาร์ชถั่วเขียวดัดแปลง	51
การเตรียมสตาร์ชดัดแปลงโดยการย่อยด้วยกรด	51
การเตรียมสตาร์ชดัดแปลงด้วยวิธีออกซิเดชัน	52
การเตรียมสตาร์ชดัดแปลงด้วยวิธีการเชื่อมข้าม	52
การตรวจสอบคุณสมบัติของสตาร์ชถั่วเขียว	52
การวางแผนการทดลองและวิเคราะห์ข้อมูลทางสถิติ	53
4 ผลการทดลองและการวิเคราะห์	55
การดัดแปลงสตาร์ชถั่วเขียวโดยการย่อยด้วยกรด	55
ผลของการดัดแปลงลักษณะทางสัณฐานวิทยาของสตาร์ชถั่วเขียว	55
ผลของการดัดแปลงต่อค่าสีของสตาร์ชถั่วเขียว	57

บทที่	หน้า
ผลของการดัดแปลงต่อปริมาณอะไมโน酇ของสตาร์ชถั่วเขียว	58
ผลของการดัดแปลงต่อโครงสร้างผลึกของสตาร์ชถั่วเขียว	60
ผลของการดัดแปลงต่อพฤติกรรมการเปลี่ยนแปลงความหนืดของสตาร์ช	61
ผลของการดัดแปลงต่อการเปลี่ยนแปลงเชิงความร้อนในการเกิดเจลาตินในเซ็ชัน ของสตาร์ชถั่วเขียว	65
ผลของการดัดแปลงต่อความคงตัวต่อการย่อยด้วยเอนไซม์ของสตาร์ชถั่วเขียว.....	68
ผลของการดัดแปลงต่อกำลังการพองตัวและการละลายของสตาร์ชถั่วเขียว	72
ผลของการดัดแปลงต่อความคงตัวต่อการแข็ง-ละลายของสตาร์ชถั่วเขียว	73
ผลของการดัดแปลงต่อความแข็งแรงของเจลของสตาร์ชถั่วเขียว.....	74
การดัดแปลงสตาร์ชถั่วเขียวด้วยวิธีออกซิเดชัน.....	76
ผลของการดัดแปลงต่อลักษณะปราภูทางสัณฐานวิทยาของสตาร์ชถั่วเขียว.....	76
ผลของการดัดแปลงต่อค่าสีของสตาร์ชถั่วเขียว	79
ผลของการดัดแปลงต่อปริมาณอะไมโน酇ของสตาร์ชถั่วเขียว	80
ผลของการดัดแปลงต่อโครงสร้างผลึกของสตาร์ชถั่วเขียว.....	81
ผลของการดัดแปลงต่อพฤติกรรมการเปลี่ยนแปลงความหนืดของสตาร์ชถั่วเขียว ...	82
ผลของการดัดแปลงต่อการเปลี่ยนแปลงเชิงความร้อนในการเกิดเจลาตินในเซ็ชัน ของสตาร์ชถั่วเขียว.....	85
ผลของการดัดแปลงต่อความคงตัวต่อการย่อยด้วยเอนไซม์ของสตาร์ชถั่วเขียว.....	88
ผลของการดัดแปลงต่อกำลังการพองตัวและการละลายของสตาร์ชถั่วเขียว	90
ผลของการดัดแปลงต่อความคงตัวต่อการแข็ง-ละลายของสตาร์ชถั่วเขียว	91
ผลของการดัดแปลงต่อความแข็งแรงของเจลของสตาร์ชถั่วเขียว.....	92
ผลของการดัดแปลงต่อนมู่คราร์บอนิลและนมู่คราร์บออกซิลของสตาร์ชถั่วเขียว	93
การดัดแปลงสตาร์ชถั่วเขียวโดยการเชื่อมข้าม.....	94
ผลของการดัดแปลงต่อลักษณะปราภูทางสัณฐานวิทยาของสตาร์ชถั่วเขียว.....	94
ผลของการดัดแปลงต่อค่าสีของสตาร์ชถั่วเขียว	97
ผลของการดัดแปลงต่อปริมาณอะไมโน酇ของสตาร์ชถั่วเขียว	97
ผลของการดัดแปลงต่อโครงสร้างผลึกของสตาร์ชถั่วเขียว.....	98

บทที่	หน้า
ผลของการดัดแปลงต่อพฤติกรรมการเปลี่ยนแปลงความหนืดของสตาร์ชถั่วเขียว..	100
ผลของการดัดแปลงต่อการเปลี่ยนแปลงเชิงความร้อนในการเกิดเจลาตินเซ็น	
ของสตาร์ชถั่วเขียว.....	103
ผลของการดัดแปลงต่อความคงตัวต่อการย่อยด้วยเอนไซม์ของสตาร์ชถั่วเขียว.....	106
ผลของการดัดแปลงต่อกำลังการพองตัวและการละลายของสตาร์ชถั่วเขียว	109
ผลของการดัดแปลงต่อความคงตัวต่อการแข็งแข็ง-ละลายของสตาร์ชถั่วเขียว	110
ผลของการดัดแปลงต่อความแข็งแรงของเจลของสตาร์ชถั่วเขียว.....	111
ผลของการดัดแปลงต่อบริมาณฟอสฟอรัสของสตาร์ชถั่วเขียว.....	112
5 สรุปผลการทดลอง	114
บรรณานุกรม	117
ภาคผนวก	
ภาคผนวก ก วิธีวิเคราะห์คุณสมบัติทางเคมีและกายภาพ	127
ภาคผนวก ข ตารางผลการทดลอง	148
ประวัติผู้จัด	159

สารบัญตาราง

ตารางที่		หน้า
1	องค์ประกอบทางเคมีของถั่วเขียว แบ่งถั่วเขียว เปรียบเทียบกับถั่วเหลือง.....	5
2	องค์ประกอบทางเคมีของถั่วเขียว 20 พันธุ์.....	6
3	ผลผลิตและคุณสมบัติเชิงหน้าที่ของสตาร์ชและโปรตีนที่สกัดแยกออกจาก ถั่วเขียว.....	7
4	ค่าสีของสตาร์ชถั่วเขียวที่ไม่ผ่านและผ่านการตัดแปรโดยการย้อมด้วยกร.....	58
5	ค่าการเปลี่ยนแปลงความหนืดจากการวิเคราะห์ด้วยเครื่อง RVA ของสตาร์ช ถั่วเขียวที่ไม่ผ่านและผ่านการตัดแปรโดยการย้อมด้วยกร.....	64
6	การเปลี่ยนแปลงเชิงความร้อนต่อการเกิดเจลาตินเซ็นจาก การวิเคราะห์ด้วย เครื่อง DSC ของสตาร์ชถั่วเขียวที่ไม่ผ่านและผ่านการตัดแปรโดยการ ย้อมด้วยกร.....	67
7	ค่าสีของสตาร์ชถั่วเขียวที่ไม่ผ่านการตัดแปรและผ่านการตัดแปรด้วยวิธี ออกซิเดชัน.....	79
8	ค่าการเปลี่ยนแปลงความหนืดจากการวิเคราะห์ด้วยเครื่อง RVA ของสตาร์ช ถั่วเขียวที่ไม่ผ่านและผ่านการตัดแปรโดยวิธีออกซิเดชัน.....	84
9	การเปลี่ยนแปลงเชิงความร้อนต่อการเกิดเจลาตินเซ็นจาก การวิเคราะห์ด้วย เครื่อง DSC ของสตาร์ชถั่วเขียวที่ไม่ผ่านและผ่านการตัดแปรโดยวิธี ออกซิเดชัน.....	87
10	ค่าร้อยละหมู่ค่าวับอนิลและหมู่ค่าวับออกซิลของสตาร์ชถั่วเขียวที่ไม่ผ่านและผ่าน การตัดแปรโดยวิธีออกซิเดชัน.....	94
11	ค่าสีของสตาร์ชถั่วเขียวที่ไม่ผ่านและผ่านการตัดแปรโดยการเชื่อมข้าม.....	97
12	ค่าการเปลี่ยนแปลงความหนืดจากการวิเคราะห์ด้วยเครื่อง RVA ของสตาร์ช ถั่วเขียวที่ไม่ผ่านและผ่านการตัดแปรโดยการเชื่อมข้าม.....	102
13	การเปลี่ยนแปลงเชิงความร้อนต่อการเกิดเจลาตินเซ็นจาก การวิเคราะห์ด้วย เครื่อง DSC ของสตาร์ชถั่วเขียวที่ไม่ผ่านและผ่านการตัดแปรโดยการ เชื่อมข้าม.....	105
14	การวิเคราะห์เอกติกิติวิตีของเอนไซม์แอลฟารอยามาเลส.....	136
15	การเตรียมกราฟมาตรวัดรูปแบบ molality.....	137

ตารางที่		หน้า
16	การเตรียมสารละลายน้ำตาลกู้คิสความเข้มข้น 0-100% ในครัวเรือนต่อ มิลลิลิตร.....	140
17	ปริมาณอะไมโน酇ของสตาร์ชถั่วเขียวที่ไม่ผ่านและผ่านการดัดแปลงโดยการย้อม ด้วยกรด.....	148
18	ค่าร้อยละความเป็นผลึกของสตาร์ชถั่วเขียวที่ไม่ผ่านและผ่านการดัดแปลงโดย การย้อมด้วยกรด.....	148
19	ค่าร้อยละการถูกย่อยด้วยเอนไซม์แอลฟากะไมเลสของสตาร์ชถั่วเขียวที่ไม่ผ่าน และผ่านการดัดแปลงโดยการย้อมด้วยกรด.....	149
20	ค่ากำลังการพองตัวและร้อยละการละลายของสตาร์ชถั่วเขียวที่ไม่ผ่านและผ่าน การดัดแปลงโดยการย้อมด้วยกรด.....	149
21	ค่าร้อยละการแยกตัวของของเหลว (syneresis) ของสตาร์ชถั่วเขียวที่ไม่ผ่าน และผ่านการดัดแปลงโดยการย้อมด้วยกรด.....	150
22	ค่าความแข็งแรงของเจลของสตาร์ชถั่วเขียวที่ไม่ผ่านและผ่านการดัดแปลงโดย การย้อมด้วยกรด.....	150
23	ปริมาณความชื้นของสตาร์ชถั่วเขียวที่ไม่ผ่านและผ่านการดัดแปลงโดยการย้อม ด้วยกรด.....	151
24	ปริมาณอะไมโน酇ของสตาร์ชถั่วเขียวที่ไม่ผ่านและผ่านการดัดแปลงโดยวิธี ออกซิเดชัน.....	151
25	ค่าร้อยละความเป็นผลึกของสตาร์ชถั่วเขียวที่ไม่ผ่านและผ่านการดัดแปลงโดยวิธี ออกซิเดชัน.....	152
26	ค่าร้อยละการถูกย่อยด้วยเอนไซม์แอลฟากะไมเลสของสตาร์ชถั่วเขียวที่ไม่ผ่าน และผ่านการดัดแปลงโดยวิธีออกซิเดชัน.....	152
27	ค่ากำลังการพองตัว และร้อยละการละลายของสตาร์ชถั่วเขียวที่ไม่ผ่านและ ผ่านการดัดแปลงโดยวิธีออกซิเดชัน.....	153
28	ค่าร้อยละการแยกตัวของของเหลวของสตาร์ชถั่วเขียวที่ไม่ผ่านและผ่านการ ดัดแปลงโดยวิธีออกซิเดชัน.....	153
29	ค่าความแข็งแรงของเจลของสตาร์ชถั่วเขียวที่ไม่ผ่านและผ่านการดัดแปลงโดยวิธี ออกซิเดชัน.....	154

ตารางที่	หน้า
30 ปริมาณความชื้นของสตาร์คั่วเขียวที่ไม่ผ่านและผ่านการดัดแปลงโดยวิธี ออกซิเดชัน.....	154
31 ปริมาณอะไมโลสของสตาร์คั่วเขียวที่ไม่ผ่านและผ่านการดัดแปลงโดย การเชื่อมข้าม.....	155
32 ค่าร้อยละความเป็นผลิกของสตาร์คั่วเขียวที่ไม่ผ่านและผ่านการดัดแปลงโดย การเชื่อมข้าม.....	155
33 ค่าร้อยละการถูกย่อยด้วยเอนไซม์แอลฟากะอะไมเลสของสตาร์คั่วเขียวที่ไม่ผ่าน และผ่านการดัดแปลงโดยการเชื่อมข้าม.....	156
34 ค่ากำลังการพองตัวและร้อยละการละลายของสตาร์คั่วเขียวที่ไม่ผ่านและผ่าน การดัดแปลงโดยการเชื่อมข้าม.....	156
35 ค่าร้อยละการแยกตัวของของเหลวของสตาร์คั่วเขียวที่ไม่ผ่านและผ่านการ ดัดแปลงโดยการเชื่อมข้าม.....	157
36 ค่าความแข็งแรงของเจลของสตาร์คั่วเขียวที่ไม่ผ่านและผ่านการดัดแปลงโดย การเชื่อมข้าม.....	157
37 ปริมาณฟอสฟอรัสของสตาร์คั่วเขียวที่ไม่ผ่านและผ่านการดัดแปลงโดย การเชื่อมข้าม.....	158
38 ปริมาณความชื้นของสตาร์คั่วเขียวที่ไม่ผ่านและผ่านการดัดแปลงโดย การเชื่อมข้าม.....	158

สารบัญภาพ

ภาพที่		หน้า
1	การใช้ประโยชน์จากถั่วเขียวในประเทศไทย.....	8
2	การแปรรูปถั่วเขียว และผลิตภัณฑ์.....	9
3	โครงสร้างของเม็ดสตาร์ซีมีลักษณะเป็นรัศมีจากจุดศูนย์กลางแบบกึ่งผลึก.....	11
4	โครงสร้างโมเลกุลของสตาร์ซีประกอบด้วย (ก) อะไมโลส และ (ข) อะไมโลเพคติน ซึ่งอยู่ร่วมกับไขมันทั้งภายนอก และภายในโมเลกุล.....	11
5	โครงสร้างโมเลกุลของอะไมโลส.....	12
6	ลักษณะโครงสร้างของเม็ดสตาร์ซีในส่วนผลึก และส่วนอัลฟานานิชีส์ความกว้าง ของชั้นอนุญี่งในช่วง 5-6 และ 2-5 นาโนเมตร ตามลำดับ.....	13
7	รูปแบบ X-ray diffraction ของผลึกแบบ A, B และ C จากตัวอย่างแบ่งชั้ว เหนียวแบ่งมันฝรั่ง และแบ่งเมล็ดบัว ตามลำดับ.....	15
8	รูปแบบ X-ray diffraction ของผลึกแบบ A, B และ V.....	15
9	โครงสร้างผลึกแบบ A และ B ของอะไมโลส.....	16
10	ตัวอย่างกราฟที่ได้จากการวิเคราะห์ความหนืดของแบ่งหรือสตาร์ซีด้วยเครื่อง Rapid Visco Analyser (RVA).....	18
11	ปฏิกิริยาการเกิด dialdehyde starch และ dicarboxyl starch.....	36
12	การทำปฏิกิริยาของสตาร์ซีกับสารครอบคลุม.....	41
13	โครงสร้างสตาร์ซีครอบคลุม.....	41
14	ภาพถ่ายจากกล้องจุลทรรศน์อิเลคตรอนแบบส่องภาพแสดงลักษณะปราการ ทางสัณฐานของสตาร์ซีถั่วเขียวที่ไม่ผ่านและผ่านการดัดแปลงโดยการ ย่อยด้วยกรด อุณหภูมิ 40 องศาเซลเซียส ที่กำลังขยาย 170, 650 และ 1,700 เท่า ตามลำดับ.....	56
15	ภาพถ่ายจากกล้องจุลทรรศน์อิเลคตรอนแบบส่องภาพแสดงลักษณะปราการ ทางสัณฐานของสตาร์ซีถั่วเขียวที่ไม่ผ่านและผ่านการดัดแปลงโดยการ ย่อยด้วยกรด อุณหภูมิ 60 องศาเซลเซียส ที่กำลังขยาย 170, 650 และ 1,700 เท่า ตามลำดับ.....	57
16	ปริมาณอะไมโลสของสตาร์ซีถั่วเขียวที่ไม่ผ่านและผ่านการดัดแปลงโดย การย่อยด้วยกรด.....	60

ภาพที่	หน้า
17 รูปแบบ X-ray diffraction ของสตาร์ชถั่วเขียวที่ไม่ผ่านและผ่านการดัดแปลงโดยการย่อยด้วยกรด.....	61
18 การเปลี่ยนแปลงความหนืดจากการวิเคราะห์ด้วยเครื่อง RVA ของสตาร์ชถั่วเขียวที่ไม่ผ่านและผ่านการดัดแปลงโดยการย่อยด้วยกรด ที่อุณหภูมิ 40 และ 60 องศาเซลเซียส ความเข้มข้นของกรดไฮโดรคลอริก 0.0, 0.5 และ 1.0%.....	63
19 การเปลี่ยนแปลงเชิงความร้อนต่อการเกิดเจลาตินเข้าขันของสตาร์ชถั่วเขียวที่ไม่ผ่านและผ่านการดัดแปลงโดยการย่อยด้วยกรด.....	66
20 ค่าร้อยละการถูกย่อยด้วยเอนไซม์แอลฟากะไมเลสของสตาร์ชถั่วเขียวที่ไม่ผ่านและผ่านการดัดแปลงโดยการย่อยด้วยกรด.....	69
21 ภาพถ่ายจากกล้องจุลทรรศน์อิเลคตรอนแบบส่องกราดแสดงลักษณะ ปรากฏทางสัณฐานภายในหลังการย่อยด้วยเอนไซม์แอลฟากะไมเลส ของสตาร์ชถั่วเขียวที่ไม่ผ่านและผ่านการดัดแปลงโดยการย่อยด้วยกรด อุณหภูมิ 40 องศาเซลเซียส ที่กำลังขยาย 170, 650 และ 1,700 เท่า ตามลำดับ.....	70
22 ภาพถ่ายจากกล้องจุลทรรศน์อิเลคตรอนแบบส่องกราดแสดงลักษณะ ปรากฏทางสัณฐานภายในหลังการย่อยด้วยเอนไซม์แอลฟากะไมเลส ของสตาร์ชถั่วเขียวที่ไม่ผ่านและผ่านการดัดแปลงโดยการย่อยด้วยกรด อุณหภูมิ 60 องศาเซลเซียส ที่กำลังขยาย 170, 650 และ 1,700 เท่า ตามลำดับ.....	71
23 ค่ากำลังการพองและร้อยละการละลายของสตาร์ชถั่วเขียวที่ไม่ผ่านและผ่านการดัดแปลงโดยการย่อยด้วยกรด.....	73
24 ค่าร้อยละการแยกตัวของของเหลวของสตาร์ชถั่วเขียวที่ไม่ผ่านและผ่านการดัดแปลงโดยการย่อยด้วยกรด.....	74
25 ความแข็งแรงของเจลของสตาร์ชถั่วเขียวที่ไม่ผ่านและผ่านการดัดแปลงโดยการย่อยด้วยกรด.....	76

ภาพที่	หน้า
26 ภาพถ่ายจากกล้องจุลทรรศน์อิเลคตรอนแบบส่องกราดแสดงลักษณะ ประกายทางสัณฐานของสตาร์ชถ้าเขียวที่ไม่ผ่านและผ่านการ ตัดแปรงโดยวิธีออกซิเดชัน ที่กำลังขยาย 170, 650 และ 1,700 เท่า ตามลำดับ.....	78
27 ปริมาณอะไมโลสของสตาร์ชถ้าเขียวที่ไม่ผ่านและผ่านการตัดแปรงโดยวิธี ออกซิเดชัน.....	81
28 รูปแบบ X-ray diffraction ของสตาร์ชถ้าเขียวที่ไม่ผ่านและผ่านการตัดแปรง โดยวิธีออกซิเดชัน.....	82
29 การเปลี่ยนแปลงความหนืดจากการวิเคราะห์ด้วยเครื่อง RVA ของสตาร์ช ถ้าเขียวที่ไม่ผ่านและผ่านการตัดแปรงด้วยวิธีออกซิเดชัน.....	83
30 การเปลี่ยนแปลงความร้อนต่อการเกิดเจลาตินเซชันของสตาร์ชถ้าเขียว ที่ไม่ผ่านและผ่านการตัดแปรงด้วยวิธีออกซิเดชัน.....	86
31 ค่าร้อยละการถูกย่อยด้วยเอนไซม์แอลฟากะบะไมเลสของสตาร์ชถ้าเขียว ที่ไม่ผ่านและผ่านการตัดแปรงด้วยวิธีออกซิเดชัน.....	88
32 ภาพถ่ายจากกล้องจุลทรรศน์อิเลคตรอนแบบส่องกราดแสดงลักษณะ ประกายทางสัณฐานภายหลังการย่อยด้วยเอนไซม์แอลฟากะบะไมเลส ของสตาร์ชถ้าเขียวที่ไม่ผ่านและผ่านการตัดแปรงโดยวิธีออกซิเดชัน ที่กำลังขยาย 170, 650 และ 1,700 เท่า ตามลำดับ.....	89
33 ค่ากำลังการพองตัวและการละลายของสตาร์ชถ้าเขียวที่ไม่ผ่านและผ่าน การตัดแปรงโดยวิธีออกซิเดชัน.....	91
34 ค่าร้อยละการแยกตัวของของเหลวของสตาร์ชถ้าเขียวที่ไม่ผ่านและผ่าน การตัดแปรงโดยวิธีออกซิเดชัน.....	92
35 ความแข็งแรงของเจลของสตาร์ชถ้าเขียวที่ไม่ผ่านและผ่านการตัดแปรง ด้วยวิธีออกซิเดชัน.....	93
36 ภาพถ่ายจากกล้องจุลทรรศน์อิเลคตรอนแบบส่องกราดแสดงลักษณะ ประกายทางสัณฐานของสตาร์ชถ้าเขียวที่ไม่ผ่านการตัดแปรง ที่กำลังขยาย 170, 650 และ 1,700 เท่า ตามลำดับ.....	95

ภาพที่		หน้า
37	ภาพถ่ายจากกล้องจุลทรรศน์อิเลคตรอนแบบส่องกราดแสดงลักษณะ ประกายทางสัณฐานของสตาร์ชถั่วเขียวที่ผ่านการดัดแปลงโดย การเชื่อมข้าม ที่กำลังขยาย 170, 650 และ 1,700 เท่า ตามลำดับ.....	96
38	ปริมาณอะไมโน酇ของสตาร์ชถั่วเขียวที่ไม่ผ่านและผ่านการดัดแปลงโดย การเชื่อมข้าม.....	98
39	รูปแบบ X-ray diffraction ของสตาร์ชถั่วเขียวที่ไม่ผ่านและผ่านการดัดแปลง โดยการเชื่อมข้าม.....	99
40	การเปลี่ยนแปลงความหนืดจากการวิเคราะห์ด้วยเครื่อง RVA ของสตาร์ช ถั่วเขียวที่ไม่ผ่านและผ่านการดัดแปลงโดยการเชื่อมข้าม.....	101
41	การเปลี่ยนแปลงความร้อนต่อการเกิดเจลาตินเซ็นของสตาร์ชถั่วเขียวที่ ไม่ผ่านและผ่านการดัดแปลงโดยการเชื่อมข้าม.....	104
42	ค่าร้อยละการถูกย่อยด้วยเอนไซม์แอลฟາอะไมเลสของสตาร์ชถั่วเขียวที่ ไม่ผ่านและผ่านการดัดแปลงโดยการเชื่อมข้าม.....	106
43	ภาพถ่ายจากกล้องจุลทรรศน์อิเลคตรอนแบบส่องกราดแสดงลักษณะ ประกายทางสัณฐานภายหลังการย่อยด้วยเอนไซม์แอลฟາอะไมเลส ของสตาร์ชถั่วเขียวที่ไม่ผ่านการดัดแปลง ที่กำลังขยาย 170, 650 และ 1,700 เท่า ตามลำดับ.....	107
44	ภาพถ่ายจากกล้องจุลทรรศน์อิเลคตรอนแบบส่องกราดแสดงลักษณะ ประกายทางสัณฐานภายหลังการย่อยด้วยเอนไซม์แอลฟາอะไมเลส ของสตาร์ชถั่วเขียวที่ผ่านการดัดแปลงโดยการเชื่อมข้าม ที่กำลังขยาย 170, 650 และ 1,700 เท่า ตามลำดับ.....	108
45	ค่ากำลังการพองตัวและการละลายของสตาร์ชถั่วเขียวที่ไม่ผ่านการดัดแปลง และผ่านการดัดแปลงโดยการเชื่อมข้าม.....	110
46	ค่าร้อยละการแยกตัวของของเหลวของสตาร์ชถั่วเขียวที่ไม่ผ่านและผ่านการ ดัดแปลงโดยการเชื่อมข้าม.....	111
47	ความแข็งแรงของเจลของสตาร์ชถั่วเขียวที่ไม่ผ่านการดัดแปลงและผ่านการ ดัดแปลงโดยการเชื่อมข้าม.....	112

ภาพที่		หน้า
48	ปริมาณฟอสฟอรัสของสตาร์ชถั่วเขียวที่ไม่ผ่านและผ่านการดัดแปลงโดยการเชื่อมข้าม.....	113
49	กราฟมาตรฐานระหว่างปริมาณอะไมโนเจส (กรัมต่อสตาร์ชถั่วเขียว 100 กรัม) กับค่าการดูดกลืนแสงที่ความยาวคลื่น 620 นาโนเมตร.....	130
50	กราฟมาตรฐานระหว่างปริมาณมอลโตส (มิลลิกรัม) กับค่าการดูดกลืนแสงที่ความยาวคลื่น 540 นาโนเมตร สำหรับเทียบค่าแอดดิทีฟของเอนไซม์แอลฟาอะไมเลสจากตับอ่อนของสุกร.....	138
51	กราฟมาตรฐานระหว่างปริมาณกากูโคส (ไมโครกรัมต่อมิลลิลิตร) กับค่าการดูดกลืนแสงที่ความยาวคลื่น 485 นาโนเมตร สำหรับเทียบค่าปริมาณคาร์บอไไฮเดรตทั้งหมด.....	141
52	กราฟมาตรฐานระหว่างปริมาณฟอสเฟต (มิลลิกรัมต่อ 100 มิลลิลิตร) กับค่าการดูดกลืนแสงที่ความยาวคลื่น 470 นาโนเมตร สำหรับเทียบค่าปริมาณฟอสเฟต.....	147

คำอธิบายสัญลักษณ์

Native starch	= สตาร์ชถั่วเขียวที่ไม่ผ่านการดัดแปลง
AT-40-CT	= สตาร์ชถั่วเขียวที่ผ่านการดัดแปลงโดยการย่อยด้วยกรดที่อุณหภูมิ 40 องศาเซลเซียส ความเข้มข้นของกรดไฮโดรคลอริก 0.0% เป็นตัวอย่างควบคุม (control)
AT-40-0.5	= สตาร์ชถั่วเขียวที่ผ่านการดัดแปลงโดยการย่อยด้วยกรดที่อุณหภูมิ 40 องศาเซลเซียส ความเข้มข้นของกรดไฮโดรคลอริก 0.5%
AT-40-1.0	= สตาร์ชถั่วเขียวที่ผ่านการดัดแปลงโดยการย่อยด้วยกรดที่อุณหภูมิ 40 องศาเซลเซียส ความเข้มข้นของกรดไฮโดรคลอริก 1.0%
AT-60-CT	= สตาร์ชถั่วเขียวที่ผ่านการดัดแปลงโดยการย่อยด้วยกรดที่อุณหภูมิ 60 องศาเซลเซียส ความเข้มข้นของกรดไฮโดรคลอริก 0.0% เป็นตัวอย่างควบคุม (control)
AT-60-0.5	= สตาร์ชถั่วเขียวที่ผ่านการดัดแปลงโดยการย่อยด้วยกรดที่อุณหภูมิ 60 องศาเซลเซียส ความเข้มข้นของกรดไฮโดรคลอริก 0.5%
AT-60-1.0	= สตาร์ชถั่วเขียวที่ผ่านการดัดแปลงโดยการย่อยด้วยกรดที่อุณหภูมิ 60 องศาเซลเซียส ความเข้มข้นของกรดไฮโดรคลอริก 1.0%
OXI-CT	= สตาร์ชถั่วเขียวที่ผ่านการดัดแปลงโดยวิธีออกซิเดชันที่แอคทีฟคลอรีน 0.0% เป็นตัวอย่างควบคุม (control)
OXI-0.5	= สตาร์ชถั่วเขียวที่ผ่านการดัดแปลงโดยวิธีออกซิเดชันที่แอคทีฟคลอรีน 0.5%
OXI-1.0	= สตาร์ชถั่วเขียวที่ผ่านการดัดแปลงโดยวิธีออกซิเดชันที่แอคทีฟคลอรีน 1.0%
OXI-1.5	= สตาร์ชถั่วเขียวที่ผ่านการดัดแปลงโดยวิธีออกซิเดชันที่แอคทีฟคลอรีน 1.5%
OXI-2.0	= สตาร์ชถั่วเขียวที่ผ่านการดัดแปลงโดยวิธีออกซิเดชันที่แอคทีฟคลอรีน 2.0%
CL-CT	= สตาร์ชถั่วเขียวที่ผ่านการดัดแปลงโดยการเชื่อมข้ามที่ความเข้มข้นของโซเดียม ไตรเมต้าฟอสเฟต 0.0% เป็นตัวอย่างควบคุม (control)
CL-5	= สตาร์ชถั่วเขียวที่ผ่านการดัดแปลงโดยการเชื่อมข้ามที่ความเข้มข้นของโซเดียม ไตรเมต้าฟอสเฟต 5.0%
CL-10	= สตาร์ชถั่วเขียวที่ผ่านการดัดแปลงโดยการเชื่อมข้ามที่ความเข้มข้นของโซเดียม ไตรเมต้าฟอสเฟต 10.0%

CL-15

= สถาร์ชั่วเวียที่ฝ่านการดัดแปลงการเชื่อมข้ามที่ความเข้มข้นของโซเดียม
ไตรเมต้าฟอสเฟต 15.0%

บทที่ 1

บทนำ

1. ความเป็นมาและความสำคัญของปัจจุบัน

สาหร่ายมีบทบาทสำคัญต่ออุตสาหกรรมอาหาร โดยสาหร่ายจะมีคุณสมบัติเชิงหน้าที่ (functional properties) เกี่ยวกับเนื้อสัมผัส ความชื้นหนึ่ด ความคงตัวและความละลายในการแปรรูปของอาหาร สาหร่ายสามารถผลิตได้จากพืชหลายชนิด เช่น มันสำปะหลัง ข้าว ข้าวโพด มันฝรั่งและถั่วเขียว เป็นต้น ซึ่งสาหร่ายแต่ละชนิดจะให้คุณสมบัติแตกต่างกัน อย่างไรก็ตามสาหร่ายธรรมชาติอาจมีข้อจำกัดหรือข้อด้อยในการนำไปใช้ประโยชน์ เช่น ช่วงการให้ความหนืดแครบ ไม่ทนต่อกัด ความร้อนหรือการกวนในกระบวนการแปรรูป เป็นต้น จึงจำเป็นต้องทำการปรับปรุงให้สาหร่ายมีคุณสมบัติที่ดีขึ้นตามต้องการ หรือการนำไปใช้ประโยชน์ได้หลากหลายขึ้น เป็นการสร้างส่วนผสมอาหาร (food ingredients) ใหม่ ๆ ให้ผู้ผลิตอาหารมีทางเลือกมากขึ้น นอกจากนี้ยังเป็นการทำให้สาหร่ายนิดต่างๆ ซึ่งเป็นสินค้าเกษตรที่ผลิตได้มากในประเทศไทย มีมูลค่าเพิ่มสูงขึ้นและมีศักยภาพในการส่งออกมากขึ้น

เนื่องจากถั่วเขียวเป็นพืชที่มีคุณค่าทางโภชนาการสูง มีโปรตีนโปรตีนสูง นอกจากรสชาติที่ดีแล้ว ยังมีโปรตีนคาร์โบไฮเดรตสูง จึงนิยมนำมาบริโภคทั้งเมล็ด ผลิตเป็นถั่วงอก แบ่งถั่วเขียว สาหร่ายถั่วเขียว และเนื้อเทียม

สาหร่ายถั่วเขียว (mungbean starch) ที่นำมาใช้ในอุตสาหกรรมอาหารส่วนใหญ่ใช้ในอุตสาหกรรมการผลิตวุ้นเส้นและเส้นก๋วยเตี๋ยวเชียงใหม่ ซึ่งสาหร่ายที่ใช้เป็นสาหร่ายที่ยังไม่ผ่านการดัดแปลง ดังนั้นถ้าดัดแปลงสาหร่ายถั่วเขียวให้มีคุณสมบัติบางประการดีขึ้นน่าจะส่งผลให้ผลิตภัณฑ์อาหาร เช่น วุ้นเส้นที่ผลิตจากสาหร่ายถั่วเขียวดัดแปลงมีคุณภาพดีขึ้น และอาจช่วยลดต้นทุนการผลิต ดังนั้นสาหร่ายถั่วเขียวดัดแปลงจึงมีศักยภาพในการเป็นส่วนผสมอาหารชนิดใหม่ที่มีมูลค่าเพิ่มสูงขึ้น อย่างไรก็ตามการศึกษาเกี่ยวกับการดัดแปลงสาหร่ายยังมีอยู่น้อยมากจำเป็นต้องมีการวิจัยพื้นฐานลึกซึ้งของการดัดแปลงต่างๆ ต่อคุณสมบัติที่เปลี่ยนแปลงไปของสาหร่ายถั่วเขียว

2. วัตถุประสงค์ของการศึกษา

เพื่อศึกษาผลของการดัดแปลงสตาร์ชถั่วเขียวโดยการย่อหดด้วยกรด (acid-thinning) ออกซิเดชัน (oxidation) และการเชื่อมข้าม (cross-linking) ที่ระดับของการดัดแปลงต่างกัน ต่อคุณสมบัติของสตาร์ชถั่วเขียว

3. สมมติฐานของการศึกษา

การดัดแปลงสตาร์ชถั่วเขียวโดยการย่อหดด้วยกรด ออกซิเดชัน และการเชื่อมข้าม ที่ระดับของการดัดแปลงต่างกัน จะส่งผลกระทบต่อคุณสมบัติของสตาร์ชถั่วเขียวต่างกัน

4. ขอบเขตของการศึกษา

1.4.1 ศึกษาการดัดแปลงสตาร์ชถั่วเขียวโดยการย่อหดด้วยกรด ที่ความเข้มข้นของกรดไฮโดรคลอริก 3 ระดับ คือ 0.0, 0.5 และ 1.0% และอุณหภูมิ 2 ระดับ คือ 40 และ 60 องศาเซลเซียส

1.4.2 ศึกษาการดัดแปลงสตาร์ชถั่วเขียวโดยวิธีออกซิเดชัน ที่ความเข้มข้นของแอกทีฟคลอรีน (active chlorine) 5 ระดับคือ 0.0, 0.5, 1.0, 1.5 และ 2.0%

1.4.3 ศึกษาการดัดแปลงสตาร์ชถั่วเขียวโดยการเชื่อมข้าม ที่ความเข้มข้นของโซเดียมไตรเมต้าฟอสเฟต (sodium trimetaphosphate, STMP) 4 ระดับ คือ 0.0, 5.0, 10.0 และ 15.0%

1.4.4 วิเคราะห์คุณสมบัติของสตาร์ชถั่วเขียวดัดแปลงที่ได้ ในด้านปริมาณความชื้น ลักษณะปูนภูเขา ค่าสี ปริมาณอะไมโนไลท์ พฤติกรรมการเปลี่ยนแปลงความหนืด การเปลี่ยนแปลงเชิงความร้อน ความคงตัวต่อการย่อหดด้วยเอนไซม์ การละลายและกำลังการพองตัว ความแข็งแรงของเจลสตาร์ช ความคงตัวต่อการแข็ง-แข็ง-ละลาย ปริมาณฟอสฟอรัส ปริมาณหมุ่คาร์บอนิล และหมุ่คาร์บออกซิล

5. ประโยชน์ที่คาดว่าจะได้รับจากการวิจัย

1.5.1 เกิดองค์ความรู้ใหม่เกี่ยวกับคุณสมบัติของสตาร์ชถั่วเขียวที่ผ่านการดัดแปลงด้วยวิธีการทางเคมี

1.5.2 องค์ความรู้ที่ได้จากการวิจัยนี้สามารถนำไปใช้พัฒนาการผลิตสตาร์ชดัดเพื่อจากถัวเขียวให้มีคุณสมบัติหลากหลาย นำไปใช้ประโยชน์ได้อย่างเหมาะสมและกว้างขวางยิ่งขึ้น ซึ่งจะก่อให้เกิดมูลค่าเพิ่มและศักยภาพในการส่งออก

1.5.3 องค์ความรู้ที่ได้จากการวิจัยนี้สามารถนำไปใช้ในการพัฒนาส่วนผสมอาหาร (food ingredients) ใหม่ๆ ซึ่งจะช่วยให้ผู้ผลิตอาหารมีทางเลือกในการปรับปรุงและพัฒนาผลิตภัณฑ์มากขึ้น

บทที่ 2

เอกสารและงานวิจัยที่เกี่ยวข้อง

1. ถั่วเขียว

เมล็ดถั่วมีมากหลายชนิด จึงมีรูปร่างลักษณะและองค์ประกอบทางเคมีแตกต่างกันบ้าง หรือคล้ายคลึงกันบ้าง แบ่งได้เป็น 3 กลุ่มคือ กลุ่มที่มีโปรตีนสูง กลุ่มที่มีไขมันสูง และกลุ่มปกติที่มีคาร์โบไฮเดรตสูง ถั่วเขียว (mungbean) จัดอยู่ในกลุ่มถั่วปกติที่มีคาร์โบไฮเดรตสูง แต่ก็ให้โปรตีนมากกว่าธัญชาติ นิยมนำมาบริโภคทั้งเมล็ด ผลิตเป็นถั่วงอกซึ่งบริโภคเป็นผัก ผลิตเป็นแป้งถั่วเขียว (mungbean flour) และทำวุ้นเส้นรวมทั้งเนื้อเทียมซึ่งผลิตจากจากโปรตีนสกัด

ถั่วเขียวแบ่งออกเป็น 4 ชนิด ทั้งนี้ขึ้นอยู่กับรูปร่าง ลักษณะของเมล็ด ดังนี้ 1) ถั่วเขียวธรรมดា หรือถั่วเขียวเมล็ดด้าน เป็นพันธุ์ที่นิยมใช้ทำถั่วงอก วุ้นเส้น และสังฆาน่ายังต่างประเทศ ซึ่งได้ผลผลิตผลิตต่อไกร่สูงกว่าพันธุ์อื่น ๆ คือ 300–350 กิโลกรัมต่อไร่ 2) ถั่วทองหรือถั่วเขียวสีทอง เป็นพันธุ์ที่มีเมล็ดสีเหลืองหรือสีทอง เนื้อข้างในเป็นสีเหลือง นิยมใช้ทำข้าม เพราะเนื้อสีเหลืองน่ารับประทาน 3) ถั่วเขียนันเมล็ดใหญ่ เป็นพันธุ์ที่มีเมล็ดนันและเมขนาดโตกว่าพันธุ์อื่น ๆ ได้ผลผลิตต่อไกร่สูงอยู่ระหว่าง 250–300 กิโลกรัมต่อไร่ 4) ถั่วเขียวผิดคำ เป็นพันธุ์ที่มีเมล็ดสีดำ มีชื่อทางวิทยาศาสตร์ว่า *Vigna Omungo* มักใช้ทำเป็นอาหารสัตว์หรือหมูที่ทำเป็นปุ๋ย เนื่องจากเมื่อนำมาทำอาหารแล้วรสชาติไม่ดี ปัจจุบันนี้ใช้เพาะถั่วงอก เนื่องจากถั่วงอกที่เพาะจากถั่วเขียวผิดคำมีความคงทนกว่ารับประทานและคงความสดไว้ได้นานกว่าถั่วงอกที่เพาะจากถั่วเขียวธรรมดา (จินตนา, 2538)

1.1 องค์ประกอบทางเคมีของถั่วเขียว

ถั่วเขียวเป็นพืชที่มีคุณค่าทางอาหารสูง (ตารางที่ 1) มีปริมาณโปรตีนค่อนข้างสูงแต่มีปริมาณไขมันต่ำจึงไม่สามารถใช้เป็นแหล่งของน้ำมันจากพืชได้ องค์ประกอบที่มีมากที่สุดในถั่วเขียวคือคาร์โบไฮเดรต จึงใช้ถั่วเขียวเป็นวัตถุดิบในการผลิตแป้ง (flour) และสตาร์ช (starch) ได้เป็นอย่างดี (จินตนา, 2538)

อรอนงค์ และคณะ (2531) ได้วิเคราะห์องค์ประกอบทางเคมีของถั่วเขียว 20 พันธุ์ ดังแสดงในตารางที่ 2 พบว่ามีโปรตีนอยู่ระหว่าง 19.0-23.9 % มีเก้าออยู่ระหว่าง 3.88-4.71% ไขมัน 1.04-1.37% เยื่อใย 0.82-3.24 % และคาร์บอไฮเดรต 59.8-65.7% จึงสามารถแบ่งถั่วเขียวออกเป็นสามกลุ่มคือ กลุ่มที่มีโปรตีนสูงแต่มีคาร์บอไฮเดรตต่ำ กลุ่มที่มีปริมาณโปรตีนและปริมาณคาร์บอไฮเดรตปานกลาง และกลุ่มที่มีปริมาณโปรตีนต่ำและปริมาณคาร์บอไฮเดรตสูง เมื่อทำการสกัดโปรตีนและสารจากถั่วเขียวพันธุ์วีซี-2745 วีซี-2742 และวีซี-2755 เทียบกับพันธุ์อื่น 1 แล้วพบว่า ถั่วเขียวทั้ง 3 พันธุ์มีโปรตีนสูงกว่าพันธุ์อื่น 1 แต่ให้สารต่ำกว่าพันธุ์อื่น 1 (ตารางที่ 3)

ตารางที่ 1 องค์ประกอบทางเคมีของถั่วเขียว แบ่งถั่วเขียว เปรียบเทียบกับถั่วเหลือง

Nutrients	ถั่วเหลือง	ถั่วเขียว	แบ่งถั่วเขียว
โปรตีน (protein)	40.00	25.98	25.40
ไขมัน (fat)	21.04	1.30	2.52
เก้า (ash)	4.79	3.80	3.16
เยื่อใย (crude fiber)	5.41	4.79	1.01
คาร์บอไฮเดรต (carbohydrate)	28.76	64.12	58.77
สารคาร์บอไฮเดรต (starch)	-	51.80	-

ที่มา: Prabhavat (1990)

1.2 คุณสมบัติทางเคมีของถั่วเขียว

เมื่อเปรียบเทียบคุณสมบัติของสารต่ำเขียวพันธุ์วีซี-2745 วีซี-2742 และวีซี-2755 กับพันธุ์อื่น 1 พบว่าคุณสมบัติของสารต่ำเขียวทั้ง 3 สายพันธุ์ไม่แตกต่างกันและไม่แตกต่างกับสารต่ำเขียวพันธุ์อื่น 1 (ตารางที่ 3) โดยสารต่ำเขียวที่ได้จะดูดซึมน้ำได้ดีกว่าน้ำมันประมาณ 10-20% และเกิดเจลได้ในส่วนผสมของสารต่ำสุดประมาณ 16-20% น้ำหนักต่อปริมาตร คุณสมบัติของโปรตีนของถั่วเขียว 3 สายพันธุ์ไม่แตกต่างกัน แต่แตกต่างจากการถั่วเขียวพันธุ์อื่น 1 ซึ่งมีความสามารถในการดูดซึมน้ำและน้ำมันอยู่กว่า แต่ทั้งหมดอยู่ในช่วง 2.88-3.0 % และต้องใช้โปรตีนในส่วนผสมกับน้ำในการเกิดเจลมากกว่าเกือบ 2 เท่า แต่อยู่ในช่วง 8-14%

คุณสมบัติเหล่านี้มีผลต่อการผลิตสตาร์ชและโปรตีนสกัด สำหรับนำไปใช้เป็นวัตถุดิบในการ
แปรรูปผลิตภัณฑ์อาหารต่างๆ ซึ่งจะเกี่ยวข้องกับน้ำมันและการเกิดเจล เมื่อวัตถุดิบนี้ไปรวมกับ[†]
ส่วนผสมอื่น การนำถั่วเขียวไปแปรรูปและใช้ประโยชน์แสดงไว้ในภาพที่ 1 และ 2

ตารางที่ 2 องค์ประกอบทางเคมีของถั่วเขียว 20 พันธุ์

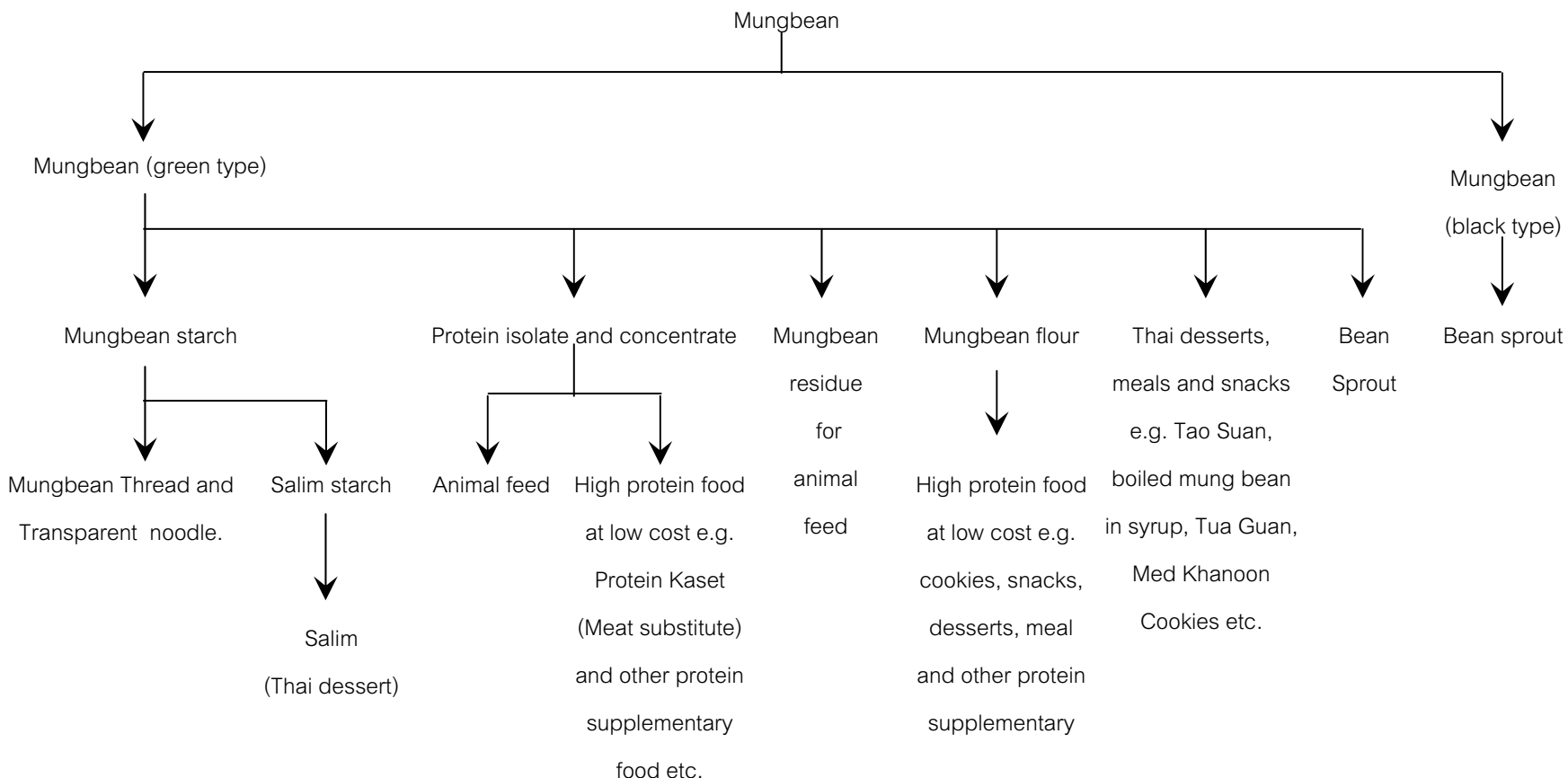
No.	Varietis name or Pedigree	Country of Origin	%Moisture	%Composition (as dry basis)				
				Protein	Ash	Fat	Fiber	Carbohydrate
1	MG-50-10A(v) x ML-5	Philippines x India	8.82	19.7	4.40	1.04	1.74	64.3
2	MG-50-10A(v) x PLM-445	Philippines x India	9.33	22.9	4.71	1.12	1.92	60.1
3	MG-50-10A(g) x ML15	Philippines x India	9.33	22.1	4.18	1.17	3.24	60.0
4	MG-50-10A(g) x MC-3	Philippines x India	8.55	23.9	4.22	1.26	2.00	60.1
5	MG-50-10A(g) x CES-1D-21	Philippines x Philippines	9.45	23.4	3.98	1.12	2.25	61.9
6	EG-MG-16 x LM-6	Philippines x India	8.20	19.1	4.51	1.22	2.25	64.7
7	CES-1D-21 x ML-5	Philippines x India	8.72	19.0	4.55	1.22	0.82	65.7
8	PHLV # 18 x ML-3	Philippines x India	8.62	32.5	4.26	1.03	1.54	62.0
9	PHLV # 18 x ML-5	Philippines x India	8.49	22.5	4.51	1.27	1.08	62.1
10	PHLV # 18 x CES-87	Philippines x Philippines	6.98	19.3	4.54	1.03	2.41	65.7
11	MC-3 x LM-6	India x India	9.19	19.9	4.34	1.21	1.71	63.6
12	VC. 2742	AVRDC. Taiwan	8.86	22.5	4.14	1.08	2.89	59.8
13	VC. 2745	AVRDC. Taiwan	8.87	23.3	4.04	1.23	2.83	60.5
14	VC. 2750	AVRDC. Taiwan	7.89	19.7	3.88	1.16	1.44	65.9
15	VC. 2755	AVRDC. Taiwan	8.27	20.9	4.15	1.34	1.22	64.1
16	VC. 2770	AVRDC. Taiwan	8.67	22.8	4.08	1.37	2.31	60.8
17	VC. 2781	AVRDC. Taiwan	8.25	24.2	4.12	1.25	1.49	60.6
18	VC. 2785	AVRDC. Taiwan	7.79	23.2	4.25	1.25	1.85	61.7
19	VC. 2790	AVRDC. Taiwan	8.45	20.9	4.09	1.21	2.65	62.7
20	U-Thong 1	Thailand	9.01	21.7	3.92	1.07	1.73	62.6
Mean Average± SD				8.59± 0.59	21.7± 1.7	4.24± 0.23	1.18± 1.01	1.97± 0.64
								62.5± 2.1

ที่มา: อรอนงค์ และคณะ (2531)

ตารางที่ 3 ผลผลิตและคุณสมบัติเชิงหน้าที่ของสตาร์ชและโปรตีนที่สกัดแยกออกจากถั่วเขียว

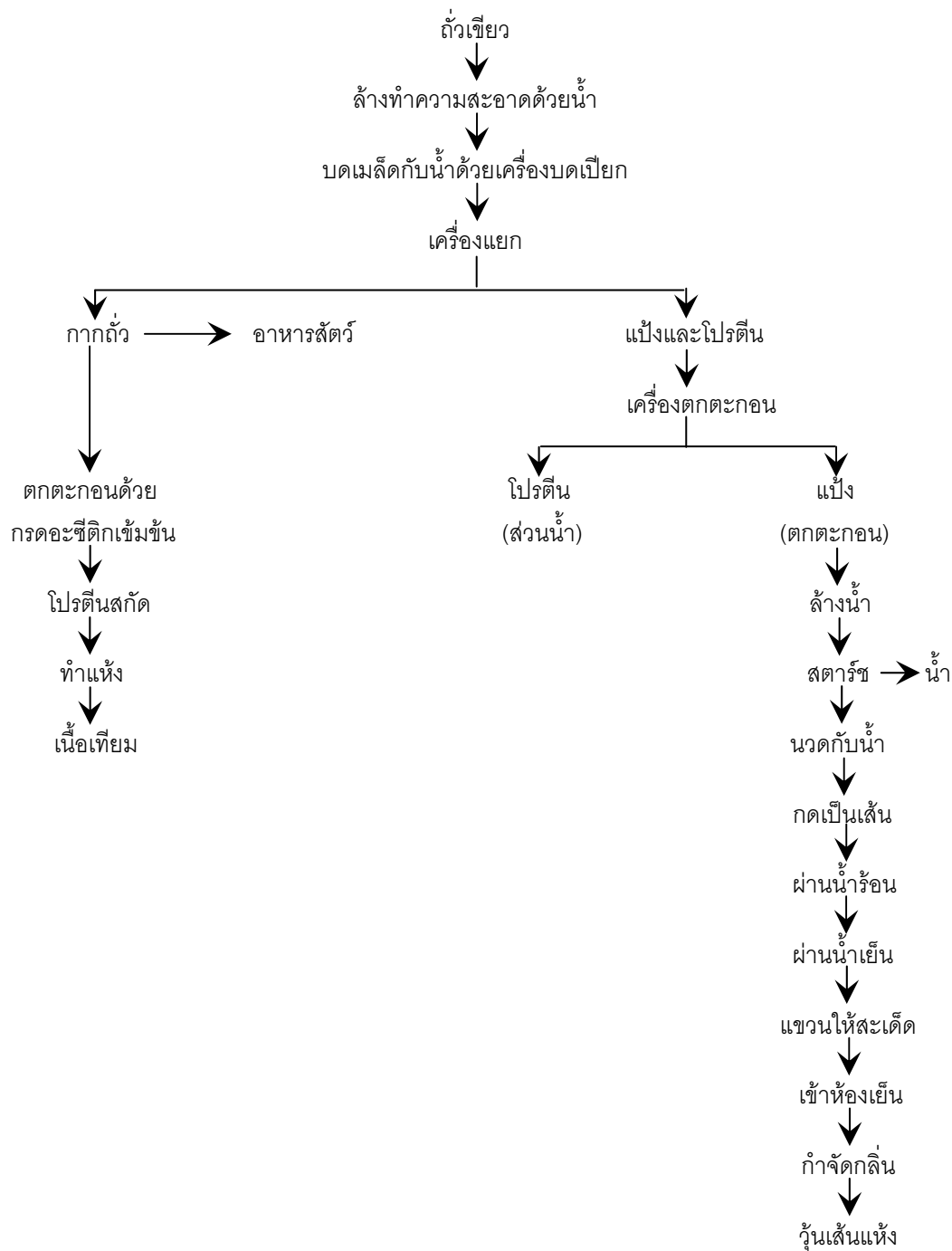
Mungbean	% Starch	% Protein	% Water absorption		% Oil absorption	
			Starch	Protein	Starch	Protein
VC. 2742	12.0	17.0	93	3.03	75	3.01
VC. 2745	12.8	16.5	92	3.05	72	2.99
VC. 2755	15.4	15.5	84	3.08	80	2.83
U-Thong 1	21.9	12.2	99	2.88	79	2.50

ที่มา: อรอนงค์ และคณะ (2531)



ภาพที่ 1. การใช้ประโยชน์จากถั่วเขียวในประเทศไทย

ที่มา : Prabhavat (1987)



ภาพที่ 2 การแปรรูปถั่วเขียว และผลิตภัณฑ์

ที่มา : คณาจารย์ภาควิชาวิทยาศาสตร์ และเทคโนโลยีอาหาร คณะอุตสาหกรรมเกษตร

มหาวิทยาลัยเกษตรศาสตร์ (2543)

2. คุณลักษณะพื้นฐานของสตาร์ช

2.1 ขนาดและรูปร่างของเม็ดสตาร์ช (starch granule)

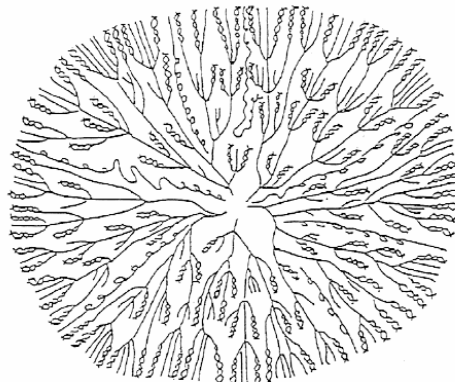
ถ้าเขียวมีขนาดของเม็ดสตาร์ชที่ไม่สม่ำเสมอ มีทั้งขนาดเล็กและขนาดใหญ่ โดยเม็ดสตาร์ชที่มีขนาดเล็กจะมีลักษณะกลม ในขณะที่เม็ดสตาร์ชที่มีขนาดใหญ่จะมีรูปร่างกลมรี ไปจนถึงรูปร่างคล้ายไต (Kasemsuwan และคณะ, 1998; Chang และคณะ, 2006; Liu และ Shen, 2007) เม็ดสตาร์ชบางเม็ดจะมีร่อง โดยจะพบร่องในเม็ดสตาร์ชขนาดใหญ่มากกว่าเม็ดสตาร์ชขนาดเล็ก (Chang และคณะ, 2006) เม็ดสตาร์ชถ้าเขียวมีขนาดอยู่ในช่วง 5-20 ไมโครเมตร (Kasemsuwan และคณะ, 1998) 0.4-48.3 ไมโครเมตร (Chang และคณะ, 2006) 6.5-32.7 ไมโครเมตร (Liu และ Shen, 2007)

2.2 โครงสร้างและองค์ประกอบภายในเม็ดสตาร์ช

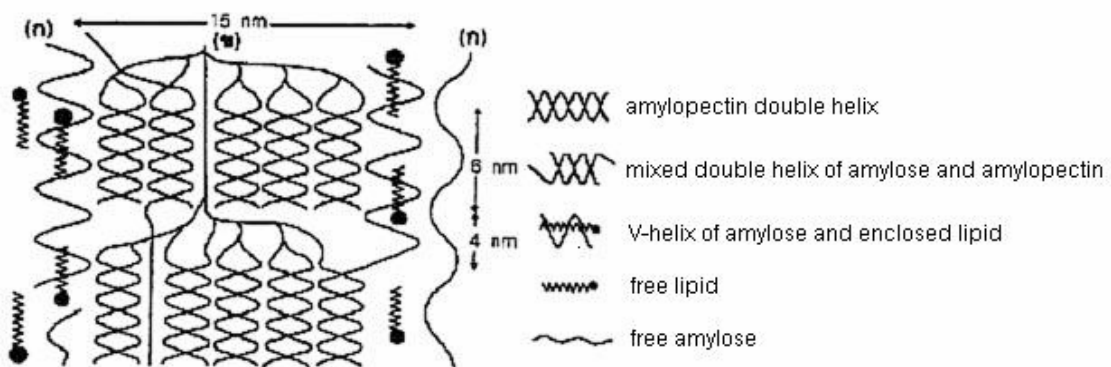
เม็ดสตาร์ชมีโมเลกุลที่เป็นองค์ประกอบหลัก 2 ชนิด คือ อะโนไลส์ (โพลิเมอร์เชิงเส้น) และอะโนไลเพคติน (โพลิเมอร์เชิงกิ่ง) ซึ่งโมเลกุลจะจัดเรียงตัวกันแน่นจนเป็นเม็ดสตาร์ช โดยมีโครงสร้างที่มีลักษณะเป็นรังสีจากจุดศูนย์กลางแบบกึ่งผลึก (semi-crystallinity) แสดงดังภาพที่ 3 โดยโพลิเมอร์ดังกล่าวจะมีสัดส่วนแตกต่างกันขึ้นกับชนิดและสายพันธุ์ของพืช นอกจากนี้ยังมีองค์ประกอบสำคัญอื่นๆ ที่มีอยู่ในปริมาณน้อยแต่มีผลต่อคุณสมบัติของเม็ดสตาร์ช ได้แก่ ไขมันและโปรตีน

อะโนไลส์เป็นโพลิเมอร์เชิงเส้นตรง ประกอบด้วยกลุ่มcosปะมาณ 2,000 หน่วย เชื่อมต่อกันด้วยพันธะ α -D-(1,4) ไกลโคซิດิก มีน้ำหนักโมเลกุลอยู่ในช่วง 10^5 - 10^6 ดาลตัน อะโนไลส์ในสตาร์ชแต่ละชนิดจะมีน้ำหนักโมเลกุลที่แตกต่างกันออกไป และมีค่า DP (degree of polymerization) ของอะโนไลส์ต่างกันด้วย อะโนไลส์สามารถตัวเป็นสารประกอบเชิงช้อนกับไอกोดีนและสารประกอบอินทรีย์อื่นๆ เช่น บิวทานอล พีโนล กรดไขมัน สารลดแรงตึงผิว และไฮโดรคาร์บอนสารประกอบเชิงช้อนเหล่านี้จะไม่ละลายน้ำ โดยอะโนไลส์จะพันเป็นเกลียวล้อมรอบสารประกอบอินทรีย์และไอกอเดิน อะโนไลส์ที่รวมตัวกับไอกอเดินจะให้สีน้ำเงิน ซึ่งเป็นลักษณะเฉพาะที่บ่งบอกถึงสตาร์ชที่มีองค์ประกอบของอะโนไลส์ ตำแหน่งของอะโนไลส์ภายในเม็ดสตาร์ชขึ้นอยู่กับสายพันธุ์ของพืช โดยบางส่วนอาจกระจายอยู่ในกลุ่มของอะโนไลเพคติน บางส่วนกระจายอยู่ทั้งในส่วน

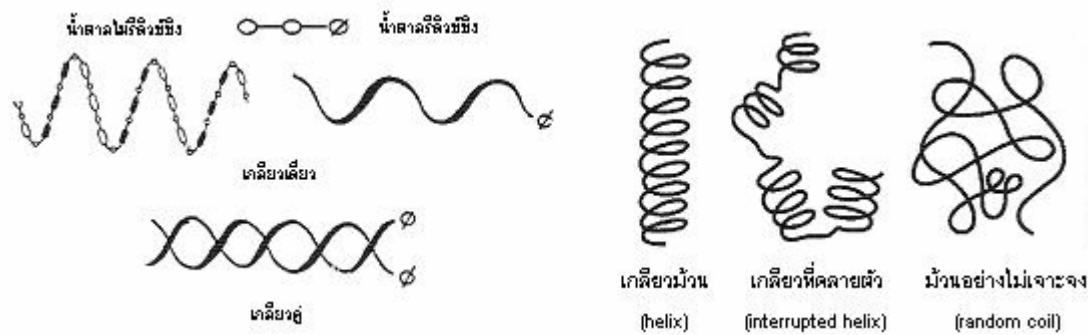
อสัณฐาน (amorphous) และส่วนผลึก (crystalline) โครงสร้างของอะไมโลสมีทั้งแบบสายเดี่ยว และสายคู่ เมื่อยูไนสารละลายจะมีหลายรูปแบบ คือ ลักษณะเป็นเกลียวม้วน (helix) เกลียวที่คล้ายตัว (interrupted helix) หรือม้วนงอๆ (random coil) แสดงดังภาพที่ 5 อะไมโลสที่มีน้ำหนักโมเลกุลตั้งแต่ 6,500-160,000 Dalton ตัน มีโมเลกุลแบบม้วนงอๆ ระยะไม่ยาวในสารละลาย สำหรับอะไมโลสที่มีน้ำหนักโมเลกุลน้อยกว่า 6,500 Dalton ตัน จะมีบางส่วนละลายได้และไม่เกลียวจะอยู่ในลักษณะเกลียวคู่ที่แข็งแรง (double helix)



ภาพที่ 3 โครงสร้างของเม็ดสตาร์ที่มีลักษณะเป็นรัศมีจากจุดศูนย์กลางแบบกึ่งผลึก
ที่มา: Lineback (1984)



ภาพที่ 4 โครงสร้างโมเลกุลของสตาร์ทประกอบด้วย (ก) อะไมโลส และ (ข) อะไมโลเพคตินซึ่งอยู่ร่วมกับไขมันทั้งภายนอกและภายในโมเลกุล
ที่มา: ดัดแปลงมาจาก Blanchard (1987)



ภาพที่ 5 โครงสร้างโมเลกุลของอะไมโลส

ที่มา: Oates (1996) และ Whistler และ Daniel (1984)

อะไมโลเพคติน เป็นโพลิเมอร์เชิงกิ่งของกลูโคส ประกอบด้วยส่วนที่เป็นเส้นตรงของกลูโคส เชื่อมต่อกันด้วยพันธะ α -D-(1,4) ไกลโคซิดิก และส่วนที่เป็นกิ่งสาขึ้นเป็นโพลิเมอร์กลูโคสสาย สั้น มี DP อยู่ในช่วง 10 ถึง 60 หน่วย เชื่อมต่อกันด้วยพันธะ α -D-(1,6) ไกลโคซิดิก มีอยู่ประมาณ ร้อยละ 5 ของปริมาณหน่วยกลูโคสในอะไมโลเพคตินทั้งหมด DP ของอะไมโลเพคตินในสตาร์ชแต่ละชนิดจะมีค่าประมาณ 2 ล้านหน่วย อะไมโลเพคตินมีหนักโมเลกุลประมาณ 1,000 เท่า ของอะไมโลส คือประมาณ 10^7 - 10^9 ดาลตัน และมีอัตราการคืนตัวต่ำ เนื่องจากอะไมโลเพคตินมีลักษณะโครงสร้างเป็นกิ่ง

ลักษณะโครงสร้างแบบกิ่งของอะไมโลเพคตินประกอบด้วยสายโมเลกุล (chain) 3 ชนิด คือ

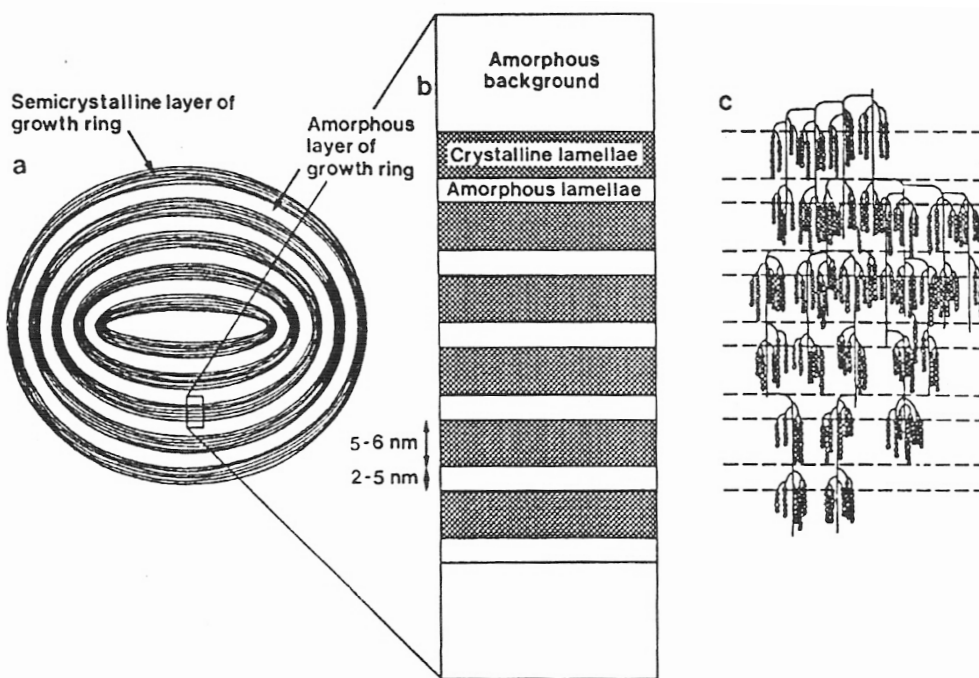
1) สาย A (A-chain) เชื่อมต่อกับสายอื่นที่ต่ำแห่งเดียว ไม่มีกิ่งเชื่อมต่อออกจากสายชนิดนี้ (unbranched structure)

2) สาย B (B-chain) มีโครงสร้างแบบกิ่งเชื่อมต่อกับสายอื่นๆ 2 สายหรือมากกว่า โครงสร้างอะไมโลเพคติน ประกอบด้วยสาย A และสาย B ในอัตราส่วน 0.8-0.9:1

3) สาย C (C-chain) แบบสายแกน ซึ่งประกอบด้วยหมู่ริดิวเซชิง 1 หมู่ ในอะไมโลเพคตินแต่ละโมเลกุลประกอบด้วยสาย C หนึ่ง สายเท่านั้น

จากการศึกษาของนักวิจัยหลายท่านพบว่า หน่วยความยาวของสาย (unit chain lengths) หรือเรียกสั้นๆ ว่า ความยาวของสาย (chain lengths, CL) ของอะไมโลเพคตินมีความสัมพันธ์กับลักษณะผลึกของสตาร์ชแต่ละชนิด โดยสตาร์ชที่มีผลึกแบบ A (CL ประมาณ 14-20 หรือมากกว่า 20) จะมีความยาวของสายอะไมโลเพคตินสั้นกว่าแบบ B (CL ประมาณ 16-22 หรือมากกว่า 22) (Hizukuri, 1985; Cheetam และ Tao, 1998; Tester, Karkalas และ Qi, 2004a)

ไขมันมีความสัมพันธ์กับเม็ดสตาร์ช 3 ลักษณะ คือ 1) ไขมันที่อยู่ชิดกับโปรตีนซึ่งอยู่ที่ผิวของเม็ดสตาร์ชภายในอกหรืออาจอยู่รวมกับโครงสร้างของอะไมโลเพคตินสายยนอกที่ส่วนผิวของเม็ดสตาร์ช 2) ไขมันที่อยู่ภายในเม็ดสตาร์ชโดยเก้าะเกี่ยวกับสตาร์ช และ 3) ไขมันที่อยู่ภายในเม็ดสตาร์ชแต่ไม่เก้าะเกี่ยวกับสตาร์ช



ภาพที่ 6 ลักษณะโครงสร้างของเม็ดสตาร์ชในส่วนผลึกและส่วนอสัณฐาน ซึ่งมีความกว้างของชั้นอยู่ในช่วง 5-6 และ 2-5 นาโนเมตร ตามลำดับ

ที่มา: Jacobs และ Delcour (1998)

2.3 โครงสร้างผลึกของเม็ดสตาร์ช

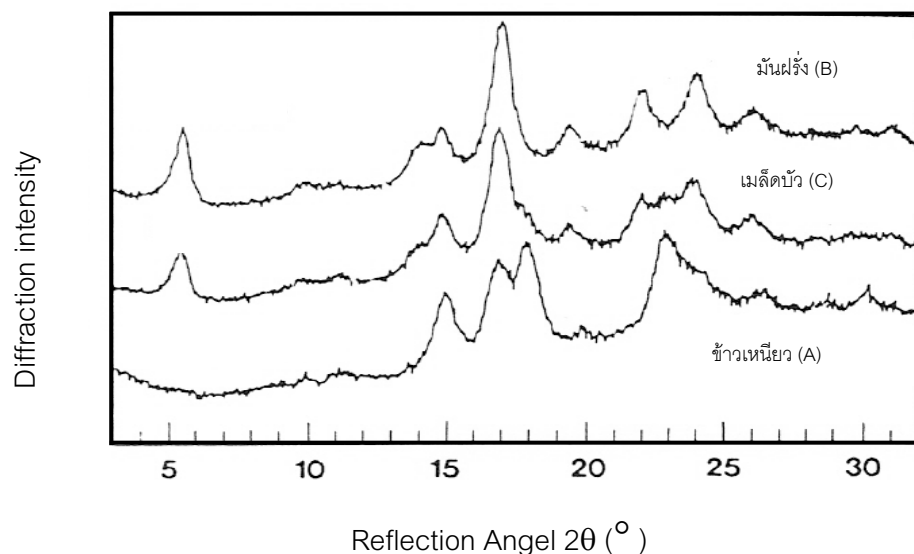
เม็ดสตาร์ชมีโครงสร้างเป็นแบบกึ่งผลึก โดยสายสัมขของอะไมโลเพคตินจะจัดเรียงตัวในลักษณะเกลียวคู่ ซึ่งบางส่วนจะเกิดเป็นโครงสร้างส่วนที่เป็นผลึก สตาร์ชในธรรมชาติจะมีความเป็นผลึกประมาณร้อยละ 15-45 (Zobel, 1988) โครงสร้างที่เป็นส่วนอสัณฐานของเม็ดสตาร์ชจะประกอบด้วยโมเลกุลของอะไมโลสและสายยาวของอะไมโลเพคติน แสดงดังภาพที่ 6

เม็ดสตาร์ชมีโครงสร้างผลึก 4 แบบ คือ แบบ A, B, C และ V จากการศึกษาโครงสร้างผลึกของสตาร์ชโดยเครื่อง X-ray diffractometer โครงสร้างผลึกแบบ A จะให้พีคที่ตำแหน่ง 2θ เท่ากับ

17 และ 17.9 องศา พบในสตาร์ซจากอัณฑูพีชเป็นส่วนใหญ่ แบบ B จะให้พีคที่ตำแหน่ง 20 เท่ากับ 5.6 และ 17 องศา พบในสตาร์ซจากพีชหัวหรือจากพีชที่มีปริมาณอะไมโลสสูงกว่าร้อยละ 49 (Zobel, 1988) แบบ C เป็นลักษณะที่รวมกันของแบบ A และ B จะให้พีคที่ตำแหน่ง 20 เท่ากับ 5.6 และ 17.9 องศา พบในสตาร์ซจากพีชตระกูลถัว (Rickard, Asaoka และ Blanshard, 1991) แสดงดังภาพที่ 7 และ 8 แบบ V จะให้พีคที่ตำแหน่งช่วง 20 เท่ากับ 7-8, 13, 19-20 และ 22-23 องศา แสดงดังภาพที่ 8 อันเป็นรูปแบบที่เกิดจากการเกิดสารประกอบเชิงช้อนของสตาร์ซกับสารอื่น เช่น กับไอโอดีน แอลกอฮอล์ และไขมัน (fatty acid และ monoglycerides) เป็นต้น (Le Bali และคณะ, 1997) หรือขณะเกิดเจลาตินเซ็น (Hibi และคณะ, 1990) นอกจากนี้ยังพบในสตาร์ซที่ถูกตัดแบ่งด้วยการใช้ความร้อนและในสตาร์ซที่มีปริมาณอะไมโลสสูงด้วย (Eliasson และ Gudmundsson, 1996) โดยสิ่งที่มีอิทธิพลต่อการแสดงลักษณะโครงสร้างผลึกชนิดนั้นๆ ได้แก่ ความเยาว์ของสายอะไมโลเพคติน (Hizukuri และคณะ, 1981) คุณภาพที่พีชเจริญเติบโต (Hizukuri, 1961) และกรดไขมันที่เป็นองค์ประกอบ (Hizukuri, 1996)

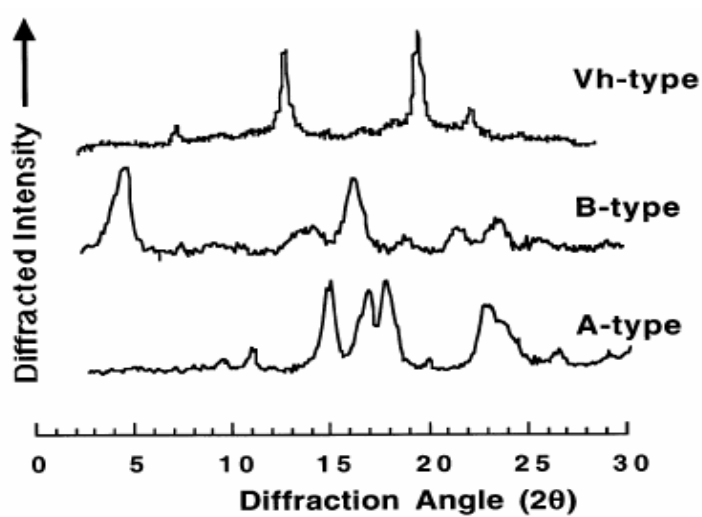
Gunaratne และ Hoover (2002) กล่าวว่าการที่สตาร์ซแต่ละชนิดมีปริมาณความเป็นผลึก (relative crystallinity) แตกต่างกันเนื่องมาจากมีความแตกต่างของ 1) ขนาดของผลึก 2) การจัดเรียงตัวของสายเกลียวคู่ภายในส่วนโครงสร้างผลึก 3) ความเยาว์เฉลี่ยของอะไมโลเพคติน และ 4) อัตราส่วนโดยมวลของอะไมโลเพคตินสายสั้น (DP 10-13)

ลักษณะผลึกแบบ A และ B มีความแตกต่างกันที่การจัดเรียงตัวของสายเกลียวคู่ (double helixes) และปริมาณน้ำในโครงสร้าง โดยผลึกแบบ B การจัดเรียงตัวของสายเกลียวคู่เป็นลักษณะเอกซากอนอลยูนิตเซลล์ (hexagonal unit cell) โดยมีช่องว่างขนาดใหญ่ตรงกลางซึ่งสามารถจับกับโมเลกุลของน้ำได้ 36 โมเลกุลต่อยูนิตเซลล์ ในขณะที่ผลึกแบบ A การจัดเรียงตัวของสายเกลียวคู่เป็นลักษณะในคลินิกยูนิตเซลล์ (monoclinic unit cell) ซึ่งมีสายเกลียวคู่ตรงกลางของโครงสร้างทำให้จับกับโมเลกุลของน้ำได้น้อยกว่า (Buléon และคณะ, 1998; Gunaratne และ Hoover, 2002) แสดงดังภาพที่ 9

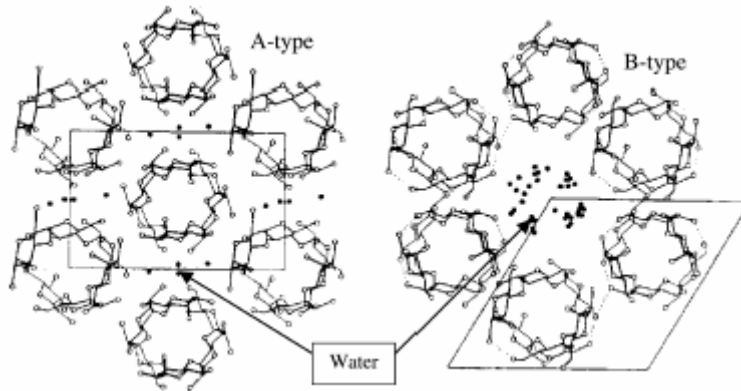


ภาพที่ 7 รูปแบบ X-ray diffraction ของผลึกแบบ A, B และ C จากตัวอย่างแบ่งช้าเหนียวแบ่งมัน
ผิว และแบ่งเมล็ดบัว ตามลำดับ

ที่มา: Hizukuri (1996)



ภาพที่ 8 รูปแบบX-ray diffraction ของผลึกแบบ A, B และ V
ที่มา: Buléon และคณะ (1998)



ภาพที่ 9 โครงสร้างผลึกแบบ A และ B ของคอลลาเจน

ที่มา: Tester, Karkalas และ Qi (2004a)

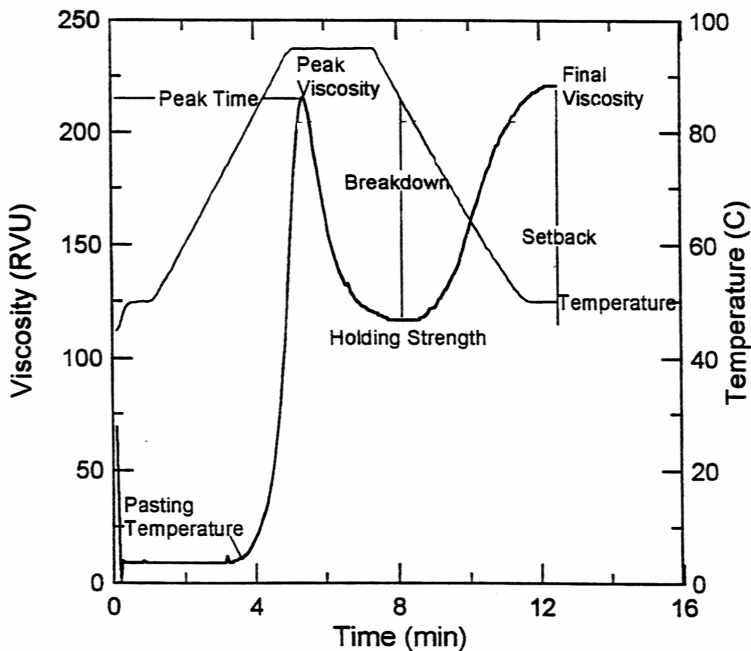
2.4 ความหนืด

ความหนืดเป็นคุณสมบัติเฉพาะตัวที่สำคัญของสตาร์ช เกิดจากการเปลี่ยนแปลงทางกายภาพ ปัจจัยที่มีผลต่อกลางหนืดของสตาร์ช ได้แก่ ชนิดและสายพันธุ์ของสตาร์ช กระบวนการที่ใช้ในการทำให้สุก ความเข้มข้นของสตาร์ช และการตัดแปรสตาร์ชด้วยวิธีการต่างๆ (กล้านรงค์ และเกี้กอุล, 2543 และ Swingkels, 1985)

การเปลี่ยนแปลงความหนืดของสตาร์ชเกิดจากการเกิดปฏิกิริยา กับน้ำซึ่งสามารถแบ่งออกได้เป็น 3 ระยะ คือ ระยะแรกเมื่ออุ่นน้ำเย็น เม็ดสตาร์ชจะสามารถดูดซึมน้ำและพองตัวได้เล็กน้อย แต่เมื่อยังคงไม่เลกุลงของสตาร์ชประกอบด้วยหมู่ไฮดรอกซิล (hydroxyl group) เป็นจำนวนมากมาก และยึดเกาะกันด้วยพันธะไฮโดรเจน เมื่อนำไปทำให้แห้งก็จะกลับมา มีลักษณะเหมือนเดิม เนื่องจากส่วนที่เป็นผลึกสามารถยึดหยุ่นได้ (อย่างจำกัด) ความหนืดของสตาร์ชแขวนลอยไม่เปลี่ยนแปลงมากนัก และเม็ดสตาร์ชจะยังคงรูปร่างและคุณสมบัติการหักเหแสงโพลาไรซ์ (polarization crosses) ซึ่งสามารถตรวจสอบได้โดยส่องด้วยกล้องจุลทรรศน์ที่ใช้แสงโพลาไรซ์ ระยะที่ 2 เมื่อให้ความร้อนกับสตาร์ชแขวนลอยจนถึงอุณหภูมิหนึ่ง (ขีนกับชนิดของสตาร์ช) จะทำให้พันธะไฮโดรเจนคลายลง เม็ดสตาร์ชจะดูดซึมน้ำ และพองตัวอย่างรวดเร็วและถาวร ทำให้ส่วนผสมดังกล่าวมีความหนืดและใสมากขึ้น เรียกว่า การบวมพองแบบไม่ผันกลับ (irreversible swelling) และเรียกอุณหภูมิที่สตาร์ชแขวนลอยเริ่มมีการเปลี่ยนแปลงความหนืดว่า pasting temperature เม็ดสตาร์ชจะมีการเปลี่ยนแปลงรูปร่างและสูญเสียสมบัติการหักเหแสง โพลาไรซ์ มีการบวมพองมากขึ้นทำให้ความหนืดของสตาร์ชแขวนลอยสูงขึ้น เมื่อเม็ดสตาร์ชมีการ

พองตัวสูงสุดจะทำให้ความหนืดมีค่าสูงสุด เช่นกัน จากนั้นเม็ดสตาร์ชจะเริ่มแตกออก เมื่อให้ความร้อนต่อไป เม็ดสตาร์ชเริ่มเข้าสู่ระยะที่ 3 คือ มีการแตกตัวของเม็ดสตาร์ชอย่างสมบูรณ์ การละลายของสตาร์ชจะเพิ่มสูงขึ้นด้วย โดยในขณะที่เม็ดสตาร์ชพองตัวเต็มที่แล้วแตกออกogn ไม่เกิดขึ้น อะไมโลสที่มีขนาดเล็กจะกระจายตัวออกมากจากเม็ดสตาร์ช ความหนืดของสารละลายสตาร์ชจะลดลง กรณิที่มีความเข้มข้นของสตาร์ชสูง เมื่อปล่อยให้สตาร์ชสุกเย็นตัวลงจะเกิดการจัดเรียงตัวเป็นโครงสร้างร่างแท่งสามมิติขึ้น โดยไม่เกิดขึ้นอะไมโลสที่ออกมากจากเม็ดสตาร์ชจะเข้ามาเรียงตัวใกล้ๆ กัน และเกาะกีบกันเองด้วยพันธะไฮดรเจนที่สามารถอุ้มน้ำและไม่ละลายน้ำอีกเกิดโครงสร้างที่มีลักษณะเป็นเจล (gelation) แต่ถ้าหากความเข้มข้นของสตาร์ชต่ำมากจะไม่เกิดโครงสร้างที่เป็นเจล แต่จะรวมตัวกัน และเกิดการตกตะกอน (precipitation) โดยถ้าหากลดอุณหภูมิของสตาร์ชลงอีกและทิ้งระยะเวลานานขึ้น การจัดเรียงตัวเป็นโครงสร้างดังกล่าวจะแน่นหนาขึ้นทำให้ไม่เกิดอิสระของน้ำที่อยู่ภายในถูกบีบออกมานอกเจล (syneresis) ทำให้เจลมีลักษณะขุ่นและความหนืดของสตาร์ชจะเพิ่มขึ้นอีกร้อย (เฉลิมเกียรติ, 2546)

การวัดความหนืดของสตาร์ชสามารถทำได้หลายวิธี โดยในปัจจุบันเครื่องมือที่ได้รับความนิยมและใช้กันอย่างแพร่หลายชนิดหนึ่ง ได้แก่ เครื่องวัดความหนืด Rapid Visco Analyser (RVA) เป็นเครื่องมือที่มีความสามารถในการเปลี่ยนระดับอุณหภูมิทั้งการทำให้ร้อนและทำให้เย็นได้อย่างแม่นยำและรวดเร็ว สามารถรักษาอุณหภูมิให้คงที่ได้ดี ใช้ระยะเวลาในการวัดแต่ละตัวอย่างน้อย (ประมาณ 13 นาที) และใช้ปริมาณตัวอย่างน้อย ลักษณะของกราฟความหนืดที่วัดด้วยเครื่อง RVA แสดงดังภาพที่ 10



ภาพที่ 10 ตัวอย่างกราฟที่ได้จากการวิเคราะห์ความหนืดของแป้งหรือสตารชด้วยเครื่อง Rapid Visco Analyser (RVA).

ที่มา: Newport Scientific Pty, Ltd. (1995)

ค่าตัวแปรต่างๆ ที่เครื่อง RVA แสดงผลมีดังต่อไปนี้

Peak time หมายถึง เวลาที่เกิดความหนืดสูงสุด หน่วยเป็นนาที

Pasting temperature หมายถึง อุณหภูมิที่เริ่มมีการเปลี่ยนค่าความหนืด หรืออุณหภูมิที่ความหนืดเพิ่มขึ้น 2 RVU ในเวลา 20 วินาที หน่วยเป็นองศาเซลเซียส

Peak viscosity หมายถึง จุดที่เกิดความหนืดสูงสุดขณะให้ความร้อน หน่วยเป็น RVU

Peak temperature หมายถึง อุณหภูมิที่เกิดความหนืดสูงสุด หน่วยเป็นองศาเซลเซียส

Holding strength หรือค่า Trough หมายถึง ความหนืดต่ำสุด เมื่อเริ่มการทำให้เย็น หน่วยเป็น RVU

Breakdown หมายถึง ความแตกต่างของความหนืดสูงสุด และความหนืดต่ำสุด เมื่อเริ่มการทำให้เย็น หน่วยเป็น RVU

Final viscosity หมายถึง ความหนืดสูดท้ายของการวัด หน่วยเป็น RVU

Setback from peak หมายถึง ผลต่างของความหนืดสุดท้ายกับความหนืดที่จุดสูงสุดขณะให้ความร้อน หน่วยเป็น RVU

Setback from trough หมายถึง ผลต่างของความหนืดสุดท้ายกับความหนืดต่ำสุดเมื่อเริ่มทำให้เย็น หน่วยเป็น RVU

2.5 การเกิดเจลาตีไนเซชัน (Gelatinization)

การเกิดเจลาตีไนเซชัน คือปรากฏการณ์ที่ไม่ผันกลับที่เกิดขึ้นเมื่อให้ความร้อนแก่เม็ดสตาร์ซในสภาพที่มีน้ำ โดยพันธุ์ไซโตรเจนระหว่างโมเลกุลของสตาร์ซจะคลายตัวลงเนื่องจากความร้อนทำให้พันธุ์เกิดการสั่นสะเทือน มีการแทรกตัวของโมเลกุลน้ำเข้าไปในเม็ดสตาร์ซและจับกับโมเลกุลของสตาร์ซ ทำให้เม็ดสตาร์ซเกิดการพองตัว สตาร์ซแขวนโดยจะมีความหนืดเพิ่มขึ้นเนื่องจากโมเลกุลของน้ำอิสระรอบๆ เม็ดสตาร์ซลดลง เม็ดสตาร์ซเคลื่อนไหวได้ยากขึ้นและมีความใสเพิ่มขึ้นเนื่องจากสตาร์ซกระจายตัวในน้ำได้ดีขึ้น อุณหภูมิที่สตาร์ซแขวนโดยเริ่มเกิดความหนืดเรียกว่า pasting temperature ซึ่งการเกิดเจลาตีไนเซชันของเม็ดสตาร์ซในน้ำยังวัดได้จากการสูญเสียคุณสมบัติการหักเหแสงโพลาไรซ์ หรือที่เรียกว่า birefringence

การเกิดเจลาตีไนเซชันของเม็ดสตาร์ซแบ่งได้เป็น 3 ระยะ คือ ระยะแรกเม็ดสตาร์ซจะดูดซึมน้ำเย็นได้อย่างจำกัดและเกิดการพองตัวแบบผันกลับได้ เมื่อมีการเติมสารเคมีหรือให้ความร้อนสตาร์ซแขวนโดยจะเข้าสู่ระยะที่ 2 ในระยะนี้เม็ดสตาร์ซจะพองตัวอย่างรวดเร็ว ร่างแหะระหว่างไม่เซลล์ภายในเม็ดสตาร์ซข่อนและเนื่องจากพันธุ์ไซโตรเจนถูกทำลาย เม็ดสตาร์ซจะดูดซึมน้ำเข้ามามากและเกิดการพองตัวแบบผันกลับไม่ได้ เรียกว่า เกิดเจลาตีไนเซชัน สตาร์ซที่ละลายน้ำได้จะเริ่มละลายออกมาก เมื่อมีการเพิ่มอุณหภูมิต่อไปจนเข้าสู่ระยะที่ 3 รูปร่างของเม็ดสตาร์ซจะไม่แน่นอนหรือเกิดการแตกของเม็ดสตาร์ซ การละลายของสตาร์ซจะเพิ่มขึ้น เมื่อทำให้เย็นจะเกิดเจลการเกิดเจลาตีไนเซชันของสตาร์ซจะทำให้หนูไซโตรอกซิลของสตาร์ซสามารถทำปฏิกิริยา กับสารอื่นได้ดีขึ้น รวมทั้งพร้อมที่จะถูกย่อยด้วยเอนไซม์ชนิดต่างๆ ได้ดีขึ้นด้วย (กล้านรงค์ และเกื้อกูล, 2543)

ความแตกต่างของระดับอุณหภูมิในการเกิดเจลาตีไนเซชันระหว่างสตาร์ซแต่ละชนิดเกี่ยวข้องกับ 3 ปัจจัยดังนี้ คือ 1) โครงสร้างโมเลกุลของอะไมโลเพคติน ซึ่งจะเกี่ยวข้องกับความยาวของสายอะไมโลเพคติน และปริมาณของกิ่งก้าน 2) องค์ประกอบของสตาร์ซ ได้แก่ อัตราส่วนของอะไมโลสต่ออะไมโลเพคติน จำนวนของการเกิดสารประกอบเชิงซ้อนกับไขมัน ปริมาณอะไมโลสและ

ปริมาณฟอสฟอรัส และ 3) การจัดเรียงตัวของโครงสร้างภายในเม็ดสตาร์ช (อัตราส่วนของโครงสร้างส่วนผลึกต่อส่วนอสัณฐาน) (Gunaratne และ Hoover, 2002)

เนื่องจากการจัดเรียงตัวของอะไมโลสและอะไมโลเพคตินภายในเม็ดสตาร์ชมีความหนาแน่นไม่สม่ำเสมอ และเม็ดสตาร์ซึ่งมีขนาดต่างกัน ดังนั้นการเกิดเจลาติในเซชันจึงเกิดเป็นช่วงอุณหภูมิไม่ได้เกิดเฉพาะอุณหภูมิใดอุณหภูมินี้

การวัดอุณหภูมิการเกิดเจลาติในเซชันด้วยเครื่อง Differential Scanning Calorimeter (DSC) เป็นวิธีการนึงที่นิยมใช้ศึกษาการเกิดเจลาติในเซชันของสตาร์ช โดย DSC เป็นเครื่องมือวิเคราะห์ปริมาณพลังงานความร้อนที่ใช้ในการทำให้สตาร์ชเกิดเจลาติในเซชัน โดยสามารถตั้งอัตราการให้ความร้อนด้วยการควบคุมอุณหภูมิที่เพิ่มขึ้นอย่างคงที่ ดังนั้นค่าพลังงานความร้อนที่รัดได้จะมีความสัมพันธ์โดยตรงกับการนำสตาร์ชไปผ่านกระบวนการแปลงเป็นผลิตภัณฑ์อาหาร ผลจาก การวิเคราะห์ด้วย DSC จะได้ค่าอุณหภูมิ (หน่วยองศาเซลเซียส) ที่สำคัญ 3 ค่า คือ อุณหภูมิเริ่มเกิดเจลาติในเซชันของสตาร์ช (onset temperature, T_o) อุณหภูมิที่สตาร์ชดูดความร้อนขณะเกิดเจลาติในเซชันสูงสุด (peak temperature, T_p) อุณหภูมิสุดท้ายที่สตาร์ชเกิดเจลาติในเซชัน (conclusion temperature, T_c) และค่าพลังงานเอนthalpie (ΔH) ที่ใช้ในการเจลาติในเซชันสตาร์ช มีหน่วยเป็นจูลต่อกิโลกรัม (J/g) (อราอนงค์, 2547) ค่าอุณหภูมิเหล่านี้เป็นค่าที่บ่งบอกถึงด้านปริมาณและคุณภาพของความเป็นผลึกของอะไมโลเพคตินในสตาร์ชนิดนั้นๆ

2.6 การเกิดรีโทรกราเดชัน (Retrogradation)

การเกิดรีโทรกราเดชันหรือการคืนตัว (setback) เป็นปรากฏการณ์ที่เกิดขึ้นหลังการเกิดเจลาติในเซชัน โดยเมื่อเม็ดสตาร์ชได้รับความร้อนจนถึงอุณหภูมิเจลาติในซึ่งแล้วให้ความร้อนต่อไป เม็ดสตาร์จะพองตัวเต็มที่ และแตกออก ไม่เลกูลของอะไมโลสขนาดเล็กกระจายในน้ำ เมื่อสตาร์ชแขวนโดยเย็นลง ไม่เลกูลของสตาร์จะจัดเรียงตัวกันใหม่ด้วยพันธะไฮโดรเจน เกิดเป็นโครงสร้างแบบร่างແဆามมิติที่สามารถอุ่มน้ำ และไม่มีการดูดน้ำเข้ามาอีก ถ้าสารละลายสตาร์ซึ่งมีความเข้มข้นต่ำ และเย็นตัวซึ่งทำให้เกิดการแตกตะกอน เนื่องจากไม่เลกูลของสตาร์เข้ามาเรียงชิดกัน แต่ถ้าสารละลายสตาร์ซึ่งมีความเข้มข้นสูง และเย็นตัวเร็วจะทำให้เกิดลักษณะเป็นเจลขึ้น โครงสร้างแบบร่างແဆามมิติเก็บกักน้ำไว้ภายในได้ เมื่อเก็บสตาร์เจลไว้ที่อุณหภูมิต่ำการเรียงตัวของโครงสร้างจะแน่นขึ้น ไม่เลกูลอิสระของน้ำที่อยู่ภายในจะถูกบีบออกมาก咽นอกเจล เรียกว่า syneresis ทำให้เจลมีลักษณะขุ่น และมีความหนืดเพิ่มขึ้น (กล้านรงค์ และเกื้อกูล, 2543)

ปริมาณและความยาวของโมเลกุลอะไมโลสมีความสำคัญต่อการคืนตัวหรือวิธีกราเดชันของสตาร์ช สตาร์ชที่มีปริมาณอะไมโลสสูงจะเกิดการคืนตัวได้มากและเร็วกว่าสตาร์ชที่มีปริมาณอะไมโลเพคตินสูง ความยาวของสายอะไมโลสประมาณ 100-200 กดูโคลสูนิต จะเกิดการคืนตัวได้ดีที่สุด โดยที่อัตราการคืนตัวจะลดลงเมื่อความยาวของอะไมโลสสั้นหรือยาวกว่านี้ ถ้าโมเลกุลอะไมโลสยาวเกินไปการเคลื่อนที่เข้าใกล้กันของสายอะไมโลสที่อยู่ใกล้กันจะเกิดยากขึ้น และถ้าสายอะไมโลสสั้นเกินไปจะทำให้การเกิดพันธะไฮโดรเจนระหว่างโมเลกุลของอะไมโลสเป็นโครงสร้างแบบร่างแท้ได้ไม่สมบูรณ์และอาจไม่เกิดลักษณะเจล (Swinkels, 1985)

2.7 การย่อยสตาร์ชด้วยเอนไซม์แอลฟ้าอะไมเลส

การนำสตาร์ซmany อยู่ด้วยเอนไซมน์จากจากจะมีความสำคัญในกระบวนการผลิตน้ำตาลและสารให้ความหวานต่างๆ แล้ว ยังเป็นวิธีหนึ่งที่ใช้ในการศึกษาโครงสร้างของสตาร์ชด้วยแอลฟ้าอะไมเลส (α -amylase; EC 3.2.1.1; α -(1,4)-glucan glucanohydrolase) เป็นเอนไซม์ที่ตัดพันธะแบบสุ่มตัดจากภายใน (endo enzyme) ที่พบได้ในพืช สัตว์ และจุลชีพชนิดต่างๆ โดยจะตัดพันธะ α -(1,4)-ไกลโคซิติก ในอะไมโลส อะไมโลเพคติน และองค์ประกอบของประเภทโอลิโกแซคคาไรด์ โดยทำให้วางแนวกลุ่โคลสเปลี่ยนแปลงลักษณะการเรียงตัวจากรูปแบบเก้าอี้ (chair) เป็นแบบกึ่งเก้าอี้ (half chair) เพื่อให้มุ่งไกลโคซิลที่เหลือทำปฏิกิริยา กับเอนไซม์และนำไปได้ดีขึ้น แอลฟ้าอะไมเลสจะสามารถตัดพันธะแบบ multiple attack mechanism คือ หลังจากมีการตัดพันธะครั้งแรก และได้สตาร์ชเป็น 2 สาย (fragments) แล้ว เอนไซม์จะเข้าจับกับสายสั้นๆ (fragment) ของสตาร์ชสายหนึ่งที่ได้จากการตัดพันธะในครั้งแรก จากนั้นจะทำการตัดพันธะในสตาร์ชสายสั้นๆ นั้นอีกหลายพันธะ ก่อนที่จะเข้าจับกับชับส่วนที่โมเลกุลนั้นเพื่อทำการย่อยต่อไปโดยแอลฟ้าอะไมเลสจะย่อยสตาร์ชจากด้าน reducing end มาทางด้าน nonreducing end (Robyt, 1984)

การย่อยเม็ดสตาร์ชด้วยเอนไซม์สามารถแบ่งได้เป็น 2 ระยะ คือ ระยะแรกอัตราการย่อยเม็ดสตาร์ชจะเกิดขึ้นอย่างรวดเร็ว ระยะที่ 2 อัตราการย่อยจะลดลง และคงที่ในที่สุดเมื่อความยาวของสายสตาร์ชสั้นลง (Reilly, 1985; Li และคณะ, 2004)

การใช้เอนไซม์แอลฟ้าอะไมเลสจากตับอ่อนของสุกร (porcine pancreatic α -amylase) ในการย่อยอะไมโลเพคตินหรือไกลโคเจน พบรากจะได้ผลิตภัณฑ์เป็นกลุ่มของเดกซ์ตรินที่มีกิ่งของพันธะ α -(1,6)-ไกลโคซิติก อยู่ด้วย (Robyt, 1984)

เมื่อย่ออยู่สตาร์ชถั่ว (smooth pea starch) ด้วยเอนไซม์แอลฟ่าอะไมเลสจากตับอ่อนของสุกรแล้วนำไปส่องด้วยกล้องจุลทรรศน์อิเลคตรอนแบบส่องกราด (SEM) พบว่าเกิดการกัดกร่อนบริเวณผิวของเม็ดสตาร์ชเป็นจำนวนมาก เม็ดสตาร์ชที่ถูกกัดกร่อนหลายเม็ดเกิดการเปลี่ยนรูป (deform) ไป และบางเม็ดเกิดรูขนาดใหญ่ และแตกที่บริเวณผิว (Hoover และ Zhou, 2003) Li และคณะ (2004) ได้นำเอนไซม์แอลฟ่าอะไมเลสจากตับอ่อนของสุกรมาทำการย่อยสตาร์ชจากบาร์เลย์ (hull-less barley) พบว่าเกิดการกัดกร่อนทั้งที่บริเวณผิว ภายในเม็ดสตาร์ช และในแนวระนาบ ส่วนกลางของเม็ดสตาร์ช ซึ่งอาจเกิดจากการที่สตาร์ชบาร์เลย์มีรูปรุนที่ผิวของเม็ดสตาร์ช และมีช่องภายในเม็ดสตาร์ชโดยธรรมชาติ ทำให้เอนไซม์เข้าทำปฏิกิริยาภายในเม็ดสตาร์ชได้ดีขึ้น และเมื่อทิ้งระยะเวลาในการย่อยนานขึ้น พบว่าขนาด และความลึกในการกัดกร่อนเพิ่มเด่นชัดขึ้นซึ่งปรากฏการณ์นี้จะเกิดขึ้นมากกว่าการเพิ่มจำนวนของบริเวณในการกัดกร่อน

ปัจจัยเกี่ยวกับเม็ดสตาร์ชที่มีผลต่อการถูกย่อยด้วยเอนไซม์ ได้แก่ 1) ชนิดและสายพันธุ์ของสตาร์ช 2) ขนาด และรูปร่างของเม็ดสตาร์ช โดยพบว่าเม็ดสตาร์ชที่มีขนาดเล็กจะถูกย่อยได้เร็ว และมากกว่าเม็ดสตาร์ชที่มีขนาดใหญ่ เนื่องจากมีพื้นที่ผิวให้เอนไซม์เข้าทำปฏิกิริยาได้มากกว่า (Tester และคณะ, 2004b) นอกจากนี้ลักษณะรูปร่างของเม็ดสตาร์ชก็มีส่วนสำคัญต่อความยากง่ายในการถูกย่อยด้วยเอนไซม์ เช่นกัน เม็ดสตาร์ชที่มีลักษณะกลมจะถูกย่อยได้ยากกว่าเม็ดสตาร์ชที่มีลักษณะเหลี่ยม บริเวณที่เป็นเหลี่ยมนูนของเม็ดสตาร์ชนั้นจะเป็นส่วนที่อ่อนแอที่สุดในการถูกย่อยด้วยเอนไซม์ (Valetudie และคณะ, 1993) 3) การเกิดเจลาตินไฮเซ็น โดยปกติแล้วเอนไซม์สามารถย่อยสตาร์ชได้ในสภาวะที่สตาร์ชเกิดเจลาตินไฮเซ็นแล้ว แต่ในสตาร์ชที่ยังไม่เกิดการเจลาตินไฮเซ็นสามารถถูกย่อยได้เช่นกันแต่จะใช้ระยะเวลาในการย่อยนานกว่า 4) การเกิดพันธะระหว่างโมเลกุลกันกับสตาร์ช เช่น การเกิดโครงสร้างสารประกอบเชิงช้อนระหว่างอะไมโลสกับไขมันภายในเม็ดสตาร์ชซึ่งพบได้ในสตาร์ชจากกลุ่มธัญพืช จะจำกัดการถูกย่อยของสตาร์ชจากเอนไซม์แอลฟ่าอะไมเลสลง 5) อัตราส่วนของอะไมโลสต่ออะไมโลเพคติน โดยเฉพาะในสายขออะไมโลเพคติน (อยู่ในส่วนโครงสร้างผลึกภายในเม็ดสตาร์ช) พบว่าตำแหน่งที่มีการแตกกิ่งหรือเกิดพันธะ α -(1,6)-ไกลโคซิติก จะเป็นตำแหน่งที่มีความอ่อนแอ เนื่องจากเอนไซม์สามารถเข้าจับและทำปฏิกิริยาได้ง่ายกว่าพันธะ α -(1,4)-ไกลโคซิติก (Gunaratne และ Hoover, 2002) ซึ่งสอดคล้องกับการศึกษาของ Hu และคณะ (2004) ที่พบว่าสตาร์ชข้าวเหนียวและสตาร์ชข้าวที่มีปริมาณอะไมโลสต่ำ (ซึ่งจะมีปริมาณอะไมโลเพคตินสูง) จะสามารถถูกย่อยด้วยเอนไซม์ได้เร็วกว่าสตาร์ชข้าวที่มีปริมาณอะไมโลสระดับปานกลาง และสูง 6) ระดับความเป็นผลึกของสตาร์ชโดยโครงสร้างผลึกส่วนอัตโนมัติจะถูกย่อยด้วยเอนไซม์ได้ง่ายกว่าโครงสร้างแบบผลึก (Tester และ

คง, 2004b) เนื่องจากโครงสร้างส่วนผลึกนั้นจะมีการจัดเรียงตัวอย่างหนาแน่นและเป็นระเบียบมากกว่าจึงทำให้โครงสร้างมีความแข็งแรงและทนทานต่อการถูกย่ออยู่ได้มากกว่า แต่เมื่อให้เวลาในการทำปฏิกิริยากับเอนไซม์นานขึ้น โครงสร้างส่วนที่ย่อยได้ยากดังกล่าวจะถูกทำให้คลายตัวลง และทำปฏิกิริยาได้ในที่สุด (วราวนคณा, 2544) 7) ชนิดของโครงสร้างผลึก (แบบ A, B, C หรือ V) โดยทั่วไปพบว่าโครงสร้างผลึกแบบ A (พบรูปกลุ่มธัญพืช และมันสำปะหลัง) จะถูกย่ออยู่ด้วยเอนไซม์แอลฟารอะไมเดส์ได้เร็วกว่าผลึกแบบ B (พบรูปข้าวโพดอะไมโลสสูง และมันฝรั้ง) เนื่องจากโครงสร้างผลึกแบบ B มีพันธะที่แข็งแรงระหว่างโมเลกุลอื่นกับสตาร์ช (Li และคง, 2004) 8) สารยับยั้งเอนไซม์ เช่น ในข้าวสาลี ข้าวโพด ข้าวบาร์เลย์ ข้าวไกซ์ ข้าวฟาง ถั่วถั่ว และเผือก พบรูปขับยั้งเอนไซม์ตามธรรมชาติที่เป็นไปรอดใน มีน้ำหนักโมเลกุลประมาณ 9,000-63,000 Dalton ซึ่งมีคุณสมบัติค่อนข้างทนต่อความร้อน โดยอาจต้องใช้เวลาในการทำลายด้วยความร้อนนานอย่างน้อย 1 ชั่วโมง (นิธิยา, 2545) 9) การมีช่องหรือรูพรุนที่ผิวของเม็ดสตาร์ชจะทำให้เอนไซม์สามารถแทรกตัวผ่านเข้าไปย่อยภายในเม็ดสตาร์ชได้ดีและง่ายขึ้น ส่วนรูพรุนและช่องอัลตราซาวน์นั้นก็จะถูกย่ออยู่จนมีลักษณะกว้างขึ้นเช่นกัน โดยลักษณะรูพรุนบนผิวของเม็ดสตาร์ชแต่ละชนิดจะมีความไวต่อการถูกย่ออยู่ด้วยเอนไซม์แตกต่างกันออกไป (วราวนคณा, 2544)

2.8 การพองตัวและการละลาย

สตาร์ชจะไม่ละลายในน้ำที่มีอุณหภูมิต่ำกว่าอุณหภูมิเจลาตีนซ์ เนื่องจากการเกิดพันธะไฮโดรเจนที่เกิดจากหมู่ไฮดรอกซิลของสตาร์ชที่อยู่ใกล้กันโดยตรงหรืออาศัยน้ำเป็นตัวกลาง เชื่อมต่อ แต่เมื่อให้ความร้อนแก่สตาร์ชในสภาพที่มีน้ำ โมเลกุลของน้ำจะแทรกตัวเข้าไปในเม็ดสตาร์ชและเกิดพันธะไฮโดรเจนกับโมเลกุลของสตาร์ชที่อยู่ภายในเม็ดสตาร์ช โดยเริ่มจากส่วนอัลตราซาวน์ ทำให้เม็ดสตาร์ชเริ่มเกิดการพองตัว เมื่อให้ความร้อนต่อไปเม็ดสตาร์ชจะเกิดการพองตัวมากขึ้นจนกระทั่งถึงอุณหภูมินึงที่เป็นอุณหภูมิวิกฤต (อุณหภูมิเจลาตีนซ์) จะเกิดการทำลายโครงสร้างผลึกของเม็ดสตาร์ช ทำให้สูญเสียสมบัติการหักเหแสงไฟลาใจซีไป โดยระหว่างที่เม็ดสตาร์ชเกิดการพองตัวโมเลกุลของอะไมโลสที่มีขนาดเล็กและเป็นอิสระภายใต้เม็ดสตาร์ชจะละลายออกมายู ในส่วนสารละลาย เนื่องเม็ดสตาร์ชพองตัวเต็มที่แล้วแตกในที่สุดจะทำให้เกิดสภาพการละลายมากขึ้น (Swinkels, 1985 และ วราวนคณा, 2544)

ปัจจัยที่มีผลต่อการพองตัว และความสามารถในการละลายของสตาร์ช ได้แก่ 1) ชนิดของสตาร์ช สตาร์ชจากขัญพืชมีรูปแบบการพองตัวและการละลาย 2 ขั้น ซึ่งแสดงถึงการจับกันระหว่างโมเลกุลหรือมีพันธะภายในเม็ดสตาร์ชที่แตกต่างกัน 2 ชุด คือ พันธะบริเวณผลึกและบริเวณอสัณฐานของเม็ดสตาร์ช ในขณะที่สตาร์ชจากส่วนหัวและรากของพืชมีรูปแบบการพองตัวและการละลายขั้นเดียว 2) จำนวนและชนิดของพันธะภายในเม็ดสตาร์ช ส่วนประกอบและการกระจายตัวของร่างแห่งภายในเม็ดสตาร์ช อัตราส่วนของอะไมโลสและอะไมโลเพคติน น้ำหนักโมเลกุล การกระจายตัวของโมเลกุล การจัดเรียงตัวและความยาวของสาขาในอะไมโลเพคติน เป็นต้น 3) องค์ประกอบในเม็ดสตาร์ชที่ไม่ใช่คาร์บอไฮเดรตเป็นปัจจัยที่สำคัญต่อการพองตัวของเม็ดสตาร์ช เช่น สตาร์ชข้าวโพดที่ถูกสกัดไขมันออกจะมีการพองตัวอย่างอิสระ และเป็นรูปแบบเดียวกันดีกว่าสตาร์ชข้าวโพดปกติ เนื่องจากกรดไขมันในครรภชาติของสตาร์ชข้าวโพดจะยับยั้งการพองตัวของเม็ดสตาร์ช 4) ปริมาณน้ำที่มีอยู่ในสภาวะที่เกิดการพองตัวโดยในสภาพที่มีปริมาณน้ำอยู่น้อยจะทำให้การพองตัวอย่างอิสระของเม็ดสตาร์ช และการละลายหรือการกระจายตัวของอะไมโลสออกมากายนอกเม็ดสตาร์ชถูกยับยั้ง (กล้านวงศ์ และเกื้อกูล, 2543)

3. การตัดแปรสตาร์ช

เนื่องจากสตาร์ชมีคุณสมบัติเฉพาะตัว ซึ่งบางครั้งไม่เป็นที่ต้องการต่อการใช้ในระดับอุตสาหกรรมหรือยังไม่เหมาะสมกับสภาวะบางอย่าง จึงมีการนำสตาร์ชมาปรับเปลี่ยนคุณสมบัติสตาร์ชดัดแปลง (modified starch) ตามมาตรฐานผลิตภัณฑ์อุตสาหกรรม มอก. 1073-2535 หมายถึง ผลิตภัณฑ์ที่ได้จากการนำสตาร์ช เช่น สตาร์ชมันสำปะหลัง สตาร์ชข้าวโพด สตาร์ชมันฝรั่ง ฯลฯ มาเปลี่ยนสมบัติทางเคมีและ/หรือทางฟิสิกส์จากเดิมด้วยความร้อน และ/หรือเอนไซม์ และ/หรือสารเคมีชนิดต่าง ๆ เพื่อให้เหมาะสมกับการนำไปใช้ในอุตสาหกรรมอาหารต่าง ๆ ซึ่งคุณลักษณะเด่นที่ซึ่งดัดแปลงแต่ละประเภทจะต้องเป็นไปตามข้อกำหนดมาตรฐานผลิตภัณฑ์อุตสาหกรรม (กระทรวงอุตสาหกรรม, 2535)

สตาร์ชดิบโดยทั่วไปมีสมบัติบางประการไม่เหมาะสมกับการผลิตในอุตสาหกรรม ได้แก่ มีช่วงความหนืดที่แคบ มีลักษณะเนื้อสัมผัสไม่ดี มีความคงทนต่อแรงเฉือนในกระบวนการผลิตหรือความคงทนต่อสภาวะต่าง ๆ ต่ำ ซึ่งทำให้ผลิตภัณฑ์มีคุณภาพต่ำและสิ้นเปลืองบประมาณในการผลิตโดยไม่จำเป็น ดังนั้นจึงมีการดัดแปลงคุณสมบัติบางประการของสตาร์ชดิบเพื่อให้เหมาะสมกับการใช้งาน เช่น ทำให้มีลักษณะเนื้อสัมผัสที่ดีขึ้น คงทนต่อสภาวะการผลิตได้ดี (Light, 1990)

การเกิดเจลาตีไนซ์ (gelatinization) การคืนตัว (retrogradation) และการสูญเสียน้ำของเจลลดลง มีความคงตัวในการละลายจากการแข็งเย็น (freeze-thaw) เพิ่มขึ้น ลักษณะของเนื้อเจลดีขึ้น มีคุณสมบัติความเป็นการเพิ่มขึ้น มีคุณสมบัติไม่ชอบน้ำ (hydrophobic) หรือความสามารถในการผสมกับตัวทำละลายอื่น ๆ เพิ่มขึ้น (BeMiller, 1997)

4. การแบ่งประเภทของสารชัดแปร

การดัดแปรสตาร์ชแบ่งกลุ่มได้ดังนี้ (BeMiller, 1997)

4.1 การดัดแปรทางเคมี (Chemical Modification)

4.1.1 การเกิดอนุพันธ์ (derivatization)

- การแทนที่สารในโมเลกุลเดี่ยวของสตาร์ช (monostarch substitution) ทั้งปฏิกิริยาเอสเทอโรฟิเคชัน เช่น สตาร์ชแอซెటే特 (starch acetate) หรือปฏิกิริยาอีเทอโรฟิเคชัน เช่น ไฮดรอกซైโอดิสตาร์ช (hydroxyethyl starch)
- การแทนที่โมเลกุลที่มีหมู่พังก์ชันมากกว่า 1 หมู่ เช่น ครอสลิงสตาร์ช (cross-linked starch)

4.1.2 การลดขนาดโมเลกุลสตาร์ชโดยกรด (acid-thinning) เช่น สตาร์ชย่อยด้วยกรด (acid-modified starch) หรือ thin-boiling starch

4.1.3 เดกซ์ทรินเจชัน (dextrinization) เป็นการลดขนาดหรือเปลี่ยนการจับเกาะ (depolymerization/transglycosilation) โดยการเข้าความร้อน หรือความร้อนกับกรด เช่น มอลโตเดกซ์ทริน (maltodextrin)

4.1.4 ออกซิเดชัน (oxidation) ทำให้เกิดการฟอกสีและลดขนาดของโมเลกุลโดยปฏิกิริยาออกซิเดชัน (bleaching และ depolymerization) เช่น ออกซิไดซ์สตาร์ช (oxidized starch)

4.1.5 การย่อยสลาย (hydrolysis) โดยใช้น้ำย่อยหรือกรด เพื่อย่อยสลายเป็นน้ำตาลโมเลกุลเล็ก เช่น enzymatically modified starch

4.2 การดัดแปลงกายภาพ (Physical Modification)

4.2.1 เจลาติไนเซชัน (gelatinization) เป็นการให้ความร้อนสตาร์ชจนผ่านขั้นตอนของเจลาติไนเซชันแล้วทำแห้งทันที เช่น พรีเจลาติไนซ์สตาร์ช (pregelatinized starch)

4.2.2 สตาร์ชละลายน้ำเย็น (Granule-Cold-Water-Soluble-Starch : GCWSS) เป็นการแปรรูปจนได้สตาร์ชที่สามารถละลายได้ในน้ำเย็น โดยไม่ต้องผ่านขั้นตอนการเกิดเจลาติไนเซชัน

4.2.3 การลดขนาดเม็ดสตาร์ชโดยทางกล การทำให้เม็ดสตาร์ชแตกโดยทางกล จะได้เม็ดสตาร์ชขนาดเล็กกว่าปกติ

4.2.4 Annealing เป็นการให้ความร้อนในขณะที่เม็ดสตาร์ชอยู่ในอุณหภูมิต่ำกว่าจุดเจลาติไนเซชัน

4.2.5 การแปรรูปด้วยความร้อนชื้น (heat moisture treatment) เป็นการให้ความร้อนสูงกว่าจุดเจลาติไนเซชันแก่สตาร์ชในขณะที่สตาร์ชมีความชื้นต่ำ

4.3 การดัดแปลงเทคโนโลยีชีวภาพ (Biotechnological Modification)

การเปลี่ยนแปลงคุณสมบัติของสตาร์ชโดยใช้การเปลี่ยนแปลงทางพันธุกรรม

4.3.1 Waxy starch คือ สตาร์ชที่มีอะไมโลสต่ำหรือไม่มีเลย

4.3.2 High-amyllose starch คือ สตาร์ชที่มีอะไมโลสสูง

5. การดัดแปลงเคมี

ในการทำปฏิกิริยาเคมีกับสตาร์ช โดยส่วนใหญ่แล้วจะทำในสภาพแวดล้อมที่อุณหภูมิต่ำกว่าอุณหภูมิ เจลาติไนเซชัน (40-50 องศาเซลเซียส) สารเคมีจะทำปฏิกิริยากับสตาร์ชบริเวณพื้นผิวนีดสตาร์ช โดยจะเกิดปฏิกิริยาเคมีของเน็ดสตาร์ชขึ้นที่บริเวณพื้นผิวของส่วนผลึกและภายในส่วนอัลตราซาวน์ เนื่องจากเม็ดสตาร์ชประกอบด้วยอะไมโลสประมาณ 25% เมื่อทำปฏิกิริยาจะหัวงสตาร์ชแบ่งกับสารละลายไอโอดีน (มีน้ำเป็นตัวกลาง) เม็ดสตาร์ชจะให้ส่วนประกอบเชิงชั้นอนสีน้ำเงินทันที แต่เมื่อทำปฏิกิริยาเม็ดสตาร์ชแห้งกับไอโอดีนจะได้สีน้ำตาลแดง ซึ่ง

แสดงว่าปฏิกริยานี้เกิดขึ้นที่บริเวณพื้นผิวของเม็ดสตาร์ชเท่านั้น ดังนั้นในการใช้สารเคมีทำปฏิกริยากับเม็ดสตาร์ชแห้ง สารเคมีจะไม่สามารถเข้าทำปฏิกริยาได้ แต่เมื่อทำปฏิกริยากับเม็ดสตาร์ชที่ชุมน้ำหรือเม็ดสตาร์ชที่ผ่านการปรับสภาพด้วยด่าง เม็ดสตาร์ชจะพองตัวและสามารถทำปฏิกริยาเคมีกับสารที่มีน้ำหนักไม่เกิน 1,000 ได้ (Hoseney และ Lineback, 1996)

ในระหว่างการตัดแปรสตาร์ซทางเคมี จะหลีกเลี่ยงการเกิดเจลาตีไนซ์ได้โดยการเติมโซเดียมซัลเฟต หรือโซเดียมคลอไรด์ลงในส่วนผสม (Hoseney และ Lineback, 1996) การตัดแปรทางเคมีในระบบอุตสาหกรรมจะใช้สารเคมีในการทำปฏิกริยานีอย ปฏิกริยาส่วนใหญ่ทำในน้ำ ใช้ค่า degree of substitution (DS) ต่ำประมาณ 0.1–0.2 ใช้วิธีการตัดแปรหลาย ๆ วิธีร่วมกันให้ได้ลักษณะทางเคมีของผลิตภัณฑ์ที่สามารถปรับปูร์ได้ (Sanders, 1996)

จะกล่าวถึงรายละเอียดเฉพาะวิธีการตัดแปรที่ทำในการวิจัยครั้งนี้

6. การตัดแปรสตาร์ชโดยการย่อออกด้วยกรด (Acid-thinning)

การผลิตสตาร์ชตัดแปรโดยการลดขนาดโมเลกุลของสตาร์ช เป็นการทำปฏิกริยาระหว่างสตาร์ชและกรดเกลือหรือกรดกำมะถันเจือจาง กรดจะตัดโมเลกุลของสตาร์ชทำให้ขนาดโมเลกุลเล็กลง จนได้ความหนืดที่ต้องการ ได้ผลิตภัณฑ์สตาร์ชตัดแปรด้วยกรด (acid-modified starch) หรือ thin-boiling starch หรืออะมิโลเดกซ์ทริน (amylodextrin) (Wurzburg, 1986 และ Hoseney และ Lineback, 1996) ผลิตภัณฑ์ที่ได้ส่วนใหญ่ยังคงอยู่ในรูปของเม็ดสตาร์ช ให้ความหนืดขณะร้อนต่ำกว่าสตาร์ชดิบ ทำให้สามารถใช้สตาร์ชได้ในปริมาณมากขึ้น เมื่อเกิดการคืนตัวจะได้เจลที่แข็ง สามารถยึดเกาะกันได้ดี ใช้ในผลิตภัณฑ์ลูก gwad ท็อฟฟี่ ช็อกโกแลต เนื่องจากมีความหนืดต่ำขณะร้อน สะดวกในการเทลงพิมพ์ และได้เจลที่แข็งและใสกว่าสตาร์ชดิบ (Imeson, 1992)

กระบวนการผลิตสตาร์ชย่อออกด้วยกรด โดยทั่วไปเริ่มจากการนำสารละลายสตาร์ชเข้มข้น (ของแข็ง 36–40 %) มาให้ความร้อนที่อุณหภูมิต่ำกว่าอุณหภูมิเจลาตีไนซ์ (ประมาณ 40–60 องศาเซลเซียส) เติมกรด กวนเป็นระยะเวลา 1–หลายชั่วโมง จนได้ความหนืดที่ต้องการ ทำให้เป็นกลางกรองหรือเที่ยงให้ได้เม็ดสตาร์ช นำมาล้างและทำให้แห้ง ชนิดของกรดที่ใช้ เช่น กรดไฮโดรคลอริก กรดซัลฟูริก โดยความเข้มข้นของกรดที่ใช้ อุณหภูมิความเข้มข้นของสตาร์ช และเวลาที่ทำปฏิกริยาจะขึ้นอยู่กับผู้ผลิต และคุณสมบัติของสตาร์ชตัดแปรที่ต้องการ ในระหว่างกระบวนการผลิต กรดจะ

ย่อยพันธุ์ไกลโคซิดิกทำให้สายสันหลงโดยที่พันธุ์ α -D-(1,4)-ไกลโคซิดิก จะถูกย่อยได้ง่ายกว่า พันธุ์ α -D-(1,6)-ไกลโคซิดิก (Wurzburg, 1986)

6.1 ผลของการดัดแปลงโดยการย่อยด้วยกรดต่อคุณสมบัติของสตาร์ช

6.1.1 ผลต่อลักษณะสัณฐานของเม็ดสตาร์ช

Sandhu, Singh และ Lim (2007) ได้ศึกษาโครงสร้างทางสัณฐานของสตาร์ชข้าวโพดที่ไม่ผ่านการดัดแปลง และผ่านการดัดแปลงโดยการย่อยด้วยกรด พบร่วมกับสตาร์ชข้าวโพดที่ไม่ผ่านการดัดแปลงเมล็ดสตาร์ชเป็นรูปทรงหลาเหลี่ยม และพบว่าการย่อยด้วยกรดไม่ส่งผลกระทบต่อการเปลี่ยนแปลงโครงสร้างของเม็ดสตาร์ช อาจเนื่องมาจากการดัดแปลงอยู่ในระดับต่ำ (0.14 มิลาร์ ของกรดไฮโดรคลอริก ที่อุณหภูมิ 50°C คงคาเฉลี่ย 8 ชั่วโมง) แต่พบว่าพื้นผิวของสตาร์ชมีความเรียบเพิ่มมากขึ้นหลังจากผ่านการดัดแปลงเป็นระยะเวลา 12 ชั่วโมง Lawal (2004); Lawal และ Lim (2007) พบร่วมกับหลังจากผ่านการดัดแปลงโดยการย่อยด้วยกรดจะไม่ส่งผลกระทบต่อการเปลี่ยนแปลงลักษณะทางสัณฐานของเม็ดสตาร์ชเช่นเดียวกัน

Wang และคณะ (2007) ได้ดัดแปลงสตาร์ชไชนีสแยม (chinese yam) ด้วยกรดไฮโดรคลอริกเข้มข้น 2.2 มิลาร์ ที่อุณหภูมิ 35°C คงคาเฉลี่ย $2, 4, 8, 16$ และ 32 วัน โดยสตาร์ชดิบเมล็ดสตาร์ชกลม รี มีขนาด $8-80 \text{ } \mu\text{m}$ ไมโครเมตร ในระยะเวลาการย่อยสตาร์ช 2 วัน จะไม่ส่งผลกระทบต่อการเปลี่ยนแปลงรูปร่างของเม็ดสตาร์ช เมื่อผ่านไป 4 วัน จะพบสายสตาร์ชเส้นสั้นๆ บริเวณผิวของเม็ดสตาร์ช ซึ่งเกิดในขณะที่เม็ดสตาร์ชปล่อยโมเลกุลสตาร์ชสายสั้นๆ ออกมานะ และเกิดการรวมตัวกันของโมเลกุลสายสั้นๆ เหล่านี้ในระหว่างการย่อย เมื่อระยะเวลาการย่อยผ่านไป 8 วัน เม็ดสตาร์ชจะมีขนาดเล็กลง และบางขึ้น เมื่อเทียบกับสตาร์ชที่ไม่ผ่านการดัดแปลง โดยผิวบล็อกเรียบไม่พบการกัดกร่อน หรือหลอมรวมกัน จากเม็ดสตาร์ชที่มีลักษณะกลม รี จะมีรูปร่างเปลี่ยนไปคล้ายขนมปัง หรือขนมడีก พบร่วมกับการย่อยสตาร์ชด้วยกรด 16 และ 32 วัน เม็ดสตาร์ชจะมีลักษณะที่แตกต่างไปจากสตาร์ชที่ไม่ผ่านการดัดแปลงและสตาร์ชที่ผ่านการดัดแปลงในระดับที่ต่ำ จากผลที่เกิดขึ้นสามารถกล่าวได้ว่าบริเวณใจกลางของเม็ดสตาร์ชจะเป็นส่วนที่ง่ายที่สุดที่จะทำให้ไฮโดรเจนไอโอน (H^+) เข้าไปย่อย (โดยทั่วไปส่วนที่เป็นอสัณฐานจะถูกย่อยได้ง่ายที่สุด และบริเวณส่วนอสัณฐานของเม็ดสตาร์ชจะอยู่บริเวณภายใน) และเมื่อระยะเวลาการย่อยผ่านไป 16 วัน เม็ดสตาร์ชจะเกิดการแตกหัก และที่ผิวจะเกิดการกัดกร่อนและจะเกิดการกัดกร่อนอย่างรุนแรงมากขึ้นเมื่อระยะเวลาผ่านไป 32 วัน

6.1.2 ผลต่อลักษณะโครงสร้างผลึก

Chung, Jeong และ Lim (2003) พบว่าสตาร์ชข้าวโพดที่มีปริมาณอะไมโลสสูง (high amylose maize) จะให้โครงสร้างผลึกแบบ B+V ซึ่งเมื่อระยะเวลาในการย่อยเพิ่มสูงขึ้น (2 ชั่วโมง) จะส่งผลให้พื้นที่พืคโดยรวมมีค่าสูงขึ้น โดยการย่อยสตาร์ชด้วยกรดจะส่งผลในการลดความยาวของสายสตาร์ช ทำให้มีความสามารถในการเคลื่อนที่เพิ่มสูงขึ้น จึงง่ายต่อการจัดเรียงโครงสร้างผลึก ซึ่งผลที่ได้คล้ายกับการทดลองของ Vasanthan และ Bhatty (1998) ที่ทำการย่อยสตาร์ชข้าวโพดที่มีปริมาณอะไมโลส สูง ที่ระยะเวลา 0.5-6 ชั่วโมง

Wang และคณะ (2007) ได้ดัดแปลงสตาร์ชไนเซนและ โดยการย่อยด้วยกรด ซึ่งก่อนการดัดแปลงสตาร์ชจะมีโครงสร้างผลึกแบบ C (เป็นลักษณะที่ร่วมกันระหว่าง A และ B) คือเกิดพืคที่ตำแหน่ง 20 เท่ากับ 6.5 องศา ซึ่งให้ลักษณะของผลึกแบบ B และพืคที่ตำแหน่ง 20 เท่ากับ 27.4 องศา ซึ่งเป็นพืคที่ให้ลักษณะของผลึกแบบ A หลังจากผ่านการย่อยด้วยกรดเป็นระยะเวลา 2 วัน โครงสร้างผลึกของสตาร์ชยังคงเป็นแบบ C แต่พืคที่ตำแหน่ง 20 เท่ากับ 6.5 องศา จะลดลง เล็กน้อย และพืคที่ตำแหน่ง 20 เท่ากับ 17.7, 20 และ 27.0 องศา จะมีลักษณะที่แผลมขึ้นเล็กน้อย การลดลงของพืคที่ตำแหน่ง 20 เท่ากับ 6.5 องศา เนื่องมาจากการลดโครงสร้างผลึกแบบ B ในระหว่างการดัดแปลง ส่วนการเพิ่มขึ้นของพืคที่ตำแหน่ง 20 เท่ากับ 17.7, 20 และ 27.0 องศา แสดงว่าปริมาณผลึกภายในเม็ดสตาร์ชมีค่าเพิ่มสูงขึ้น เมื่อระยะเวลาในการย่อยเพิ่มขึ้น โครงสร้างผลึกแบบ C จะเปลี่ยนเป็นโครงสร้างผลึกแบบ A โดยหลังผ่านการย่อยด้วยกรด 4 วัน พืคที่ตำแหน่ง 20 เท่ากับ 6.5 องศา จะหายไป และเมื่อระยะเวลาในการย่อยผ่านไป 16 วัน พืคที่ตำแหน่ง 20 เท่ากับ 20 องศา จะเกิดการแยกออกเป็น 2 พืค ที่ตำแหน่ง 20 เท่ากับ 20 และ 21 องศา ซึ่งเป็นลักษณะที่เด่นของโครงสร้างผลึกแบบ A

สตาร์ชข้าวโพดลูกผสม (hybrid maize) จะให้ลักษณะโครงสร้างผลึกแบบ A คือเกิดพืคที่ตำแหน่ง 20 เท่ากับ 15.9, 17.2, 18.8 และ 25.0 องศา ซึ่งหลังจากผ่านการย่อยด้วยกรด พืคที่ตำแหน่ง 20 เท่ากับ 18.8 และ 25.0 องศา จะเพิ่มขึ้นเล็กน้อย แต่ยังคงโครงสร้างผลึกแบบ A การเพิ่มขึ้นของพืคแสดงว่าการย่อยด้วยกรดมีผลในการเพิ่มปริมาณร้อยละความเป็นผลึกสัมพัทธ์ (Lawal และคณะ, 2005) ซึ่งผลการทดลองที่ได้สอดคล้องกับ Lawal (2004) ที่ศึกษาสตาร์ชนิวโคโคแยม (new cocoyam) ที่มีลักษณะโครงสร้างผลึกเป็นแบบ A และ Lawal และ Adebowale (2005) ที่ศึกษาสตาร์ชถั่ว (jack bean) ที่มีโครงสร้างผลึกเป็นแบบ C ซึ่งหลังผ่านการ

ดัดแปลงโดยการย่อค่ายกรดจะไม่ส่งผลให้เกิดการเปลี่ยนแปลงของโครงสร้างผลึก แต่จะมีปริมาณร้อยละความเป็นผลึกเพิ่มขึ้นเล็กน้อย

6.1.3 ผลต่อความหนืด

Lawal และคณะ (2005) ได้ทำการศึกษาความหนืดของสารช้าวโพดลูกผสมด้วยเครื่องบาร์เบนเดอร์ (Brabender) พบว่าการย่อคายกรดจะส่งผลให้อุณหภูมิเริ่มต้นในการเกิดความหนืดลดลง ค่าความหนืดสูงสุด ความหนืดขณะร้อน ความหนืดขณะเย็น และค่าเบรกดาวน์มีค่าลดลง ในขณะที่เซตแบคไม่ค่าเพิ่มขึ้น Sandhu, Singh และ Lim (2007) พบว่าหลังผ่านการย่อคายสารช้าวโพดช้าวเหนียว และสารช้าวโพดด้วยกรด ค่าความหนืดสูงสุด ความหนืดขณะร้อน ความหนืดขณะเย็น เบรกดาวน์ และเซตแบค จะมีค่าลดลง และอุณหภูมิเริ่มต้นในการเกิดความหนืดเพิ่มสูงขึ้น โดยในสารช้าวโพดช้าวเหนียวจะมีค่าเบรกดาวน์ และเซตแบคลดลงอย่างมาก ส่วนในสารชานิวโคโดยมีที่ผ่านการย่อคายด้วยกรด จะมีค่าความหนืดสูงสุด เบรกดาวน์ และความหนืดขณะร้อนลดต่ำลง ในขณะที่มีความหนืดขณะเย็น เซตแบค และอุณหภูมิเริ่มต้นในการเกิดความหนืดเพิ่มสูงขึ้น (Lawal, 2004) ในกรณีของการดัดแปลงสารช้าวสาลี สารชามันฝรั่งและสารช้าวโพด พบร่วมกับสารช้าวทั้ง 3 ชนิด ผ่านการดัดแปลงโดยการย่อคายกรด ความหนืดสูงสุด ความหนืดขณะร้อน ความหนืดขณะเย็น เบรกดาวน์ และเซตแบค มีค่าลดลง (Gunaratne และ Corke, 2007)

Chung, Jeong และ Lim (2007) กล่าวว่าการลดลงของความหนืดเกิดเนื่องมาจากการที่สารชามีสายของโพลิเมอร์สั้นลงหลังจากผ่านการย่อคายด้วยกรด ซึ่งจะเป็นการเพิ่มการจัดเรียงผลึกในส่วนของสายอะไมโลส ส่งผลให้ความหนืดเปลี่ยนแปลงไป เพราะว่าสายเกลียวคู่ที่ไม่ถูกทำลายในระหว่างกระบวนการให้ความร้อนส่งผลในการต้านการพองตัวของสารช้าว ซึ่งคล้ายกับรายงานของ Wang และ Wang (2001)

Lawal และคณะ (2005) ให้เหตุผลว่าการย่อคายสารช้าวโพดด้วยกรดจะทำให้ส่วนที่เป็นอสังฐานของสารช้าวถูกย่อคาย และส่งผลต่อการจับกันของน้ำกับสายของสารช้าว และลดค่าการพองตัวในระหว่างการให้ความร้อน จึงส่งผลให้สารชามีความหนืดลดต่ำลง เช่นเดียวกับ Gunaratne และ Corke (2007) ที่กล่าวว่าเมื่อเม็ดสารช้าวเกิดการอ่อนตัวลง และเกิดการแตกออกในระหว่างการให้ความร้อน เมื่อถูกแรงกดจะทำให้เกิดการเสียสภาพได้ง่าย ส่งผลให้ความหนืดลดลง เมื่อพิจารณาถึงค่าเซตแบค (การเกิดรีไทรกราเดชัน) ที่มีค่าเพิ่มสูงขึ้น แสดงให้เห็นว่าการย่อคายสารช้าว

ด้วยกรดจะไปส่งเสริมการเพิ่มปริมาณสายอะไมโลสสายสันทำให้สามารถเกิดการจัดเรียงตัวกันได้อย่างรวดเร็ว (Lawal, 2004; Lawal และคณะ, 2005) แต่จากการทดลองของ Sandhu, Singh และ Lim (2007); Gunaratne และ Corke (2007) พบร่วมกับแบบค่าลดลง โดย Sandhu, Singh และ Lim (2007) ให้เหตุผลว่าเกิดจากพฤติกรรมด้านความหนืดของสตาร์ชที่เป็นแบบนิวตันเนียน (Newtonian) คือความหนืดจะลดลงเมื่อเกิดแรงเฉือน แต่ Gunaratne และ Corke (2007) กล่าวว่า โดยปกติการย่อยสตาร์ชด้วยกรดจะส่งผลให้เกิดสตาร์ชที่เป็นสันตรงเพิ่มมากขึ้น น่าจะมีความหนืดสูดท้ายเพิ่มขึ้น แต่จากโปรแกรมของเครื่อง RVA ใช้ระยะเวลาในการทำเย็นไม่เพียงพอ จึงส่งผลให้ค่าเซตแบบลดลง

6.1.4 ผลต่อการเกิดเจลต้านเชื้อ

จากการศึกษาอุณหภูมิที่เกี่ยวข้องกับการเกิดเจลต้านเชื้อของสตาร์ช ได้แก่ อุณหภูมิเริ่มต้นในการเกิดเจลต้านเชื้อ (T_o) อุณหภูมิที่ทำให้สตาร์ชดูดความร้อนมากที่สุดขณะเกิดเจลต้านเชื้อ (T_p) อุณหภูมิสุดท้ายที่สตาร์ชเกิดเจลต้านเชื้อ (T_c) และพลังงานเอนthalpy ของการเกิดเจลต้านเชื้อ (ΔH) หลังการตัดแบบสตาร์ชต่างๆ โดยการย่อยด้วยกรด พบร่วมค่า T_o , T_p และ T_c จะมีค่าเพิ่มขึ้นในกรณีของสตาร์ชข้าวโพด (Sandhu, Singh และ Lim, 2007) สตาร์ชข้าวสาลี มันฝรั่ง และข้าวโพดที่มีปริมาณอะไมโลสสูง (Gunaratne และ Corke, 2007) สตาร์ชถั่ว (Lawal และ Adebowale, 2005) สตาร์ชโนโวโคลิโคลแยม (Lawal, 2004) ในขณะที่พบร่วมค่า T_o , T_p และ T_c จะมีค่าลดลงในกรณีของสตาร์ชข้าวโพดลูกผสม (Lawal และคณะ, 2005) สตาร์ชข้าวโพดข้าวเหนียว (Sandhu, Singh และ Lim, 2007) ซึ่งการที่อุณหภูมิในการเกิดเจลต้านเชื้อของสตาร์ชมีค่าเพิ่มสูงขึ้น เนื่องมาจากการที่กรดจะเข้าไปทำลายส่วนที่เป็นอสัมฐานภายในเม็ดสตาร์ชทำให้เกิดการเข้ามายังบริเวณที่ไม่เสถียร ดังนั้นจึงส่งผลให้บริเวณผลึกของสตาร์ชเกิดการหลอมเหลวที่อุณหภูมิสูงขึ้น ส่วน Morrison และคณะ (1993) กล่าวว่าการที่อุณหภูมิในการเกิดเจลต้านเชื้อเพิ่มสูงขึ้น เนื่องมาจากสายเกลี่ยวัสดุที่มีขนาดยาวที่เกิดจากการย่อยด้วยกรดจะมีผลมากกว่าสายอะไมโลเพคตินที่ไม่ถูกย่อย

ค่าพลังงานเอนталปีของการเกิดเจลต้านเชื้อ เป็นค่าที่บอกร่องไว้ในการลดลงโดยเด่นชัดของสายสตาร์ช และ Cooke และ Gidley (1992) กล่าวว่าค่า ΔH บ่งบอกถึงการเกิดผลึกทั้งในด้านปริมาณและคุณภาพ และเป็นชี้วัดการสูญเสียโมเลกุลภายในเม็ดสตาร์ช แต่จะมีค่า ΔH เพิ่มขึ้น ลดลง หรือไม่เปลี่ยนแปลงขึ้นกับสภาวะในการตัดแบบและชนิดของสตาร์ช (Donovan และ

Maper, 1980) เช่นจะมีค่า ΔH ลดลงในสตาร์ชข้าวโพดลูกผสม (Lawal และคณะ, 2005) ข้าวโพด และข้าวโพดข้าวเหนียว (Sandhu, Singh และ Lim, 2007) แต่มีค่าเพิ่มขึ้นในสตาร์ชนิวโคโคง (Lawal, 2004) สตาร์ชข้าวสาลี มันฝรั่งและข้าวโพด (Gunaratne และ Corke, 2007) และสตาร์ชถั่ว (Lawal และ Adebawale, 2005) และการศึกษาของ Gunaratne และ Corke (2007) ยังพบว่าสตาร์ชที่ผ่านการย่อยด้วยกรดจะปรากฏเป็นพีคขนาดเล็กขึ้นอีก 1 พีคที่อุณหภูมิประมาณ 100 องศาเซลเซียส ซึ่งเกิดจากการรวมตัวกันของสายอะไมโลสกับไขมัน (amylase-lipid complex)

6.1.5 ผลต่อกำลังการพองตัวและการละลายของสตาร์ช

หลังผ่านการตัดແປรอดโดยวิธีการย่อยด้วยกรดสตาร์ชส่วนมากจะมีกำลังการพองตัวที่ลดลง เช่น สตาร์ชนิวโคโคง (Lawal, 2004) ข้าวโพดลูกผสม (Lawal และคณะ, 2005) และสตาร์ชถั่ว (Lawal และ Adebawale, 2005) สตาร์ชข้าวโพด ข้าวโพดข้าวเหนียว (Sandhu, Singh และ Lim, 2007) แต่เมื่อระยะเวลาเพิ่มมากขึ้นสตาร์ชจะมีค่ากำลังการพองตัวที่สูงขึ้น Lawal และคณะ (2005) กล่าวว่าในกระบวนการการย่อยด้วยกรด H_3O^+ (hydroxonium ion) จะเข้าไปจับที่พันธะไกลโคลชิเดิก และเกิดการย่อยพันธะไกลโคลชิเดิกภายในโมเลกุล ทำให้เกิดอะไมโลสสายสั้นๆ เป็นจำนวนมาก ส่วน Lawal (2004) กล่าวว่าจากการที่ปริมาณร้อยละความเป็นผลลัพธ์เพิ่มสูงขึ้น หลังจากผ่านการย่อยด้วยกรด จะส่งผลในการจำกัดการพองตัวของสตาร์ช โดยจะไปส่งผลให้เกิดความแข็งแรงของการเกาะกันของโครงสร้างของอะไมโลเพคตินในบริเวณผลลัพธ์ของสตาร์ช ซึ่งตรงข้ามกับการทดลองในสตาร์ชข้าวสาลี มันฝรั่งและข้าวโพด (Gunaratne และ Corke, 2007) ที่พบว่าหลังผ่านการย่อยด้วยกรดไฮดรคลอริก 0.1 มิลลาร์ สตาร์ชมีกำลังการพองตัวเพิ่มขึ้น เล็กน้อย แต่จะมีกำลังการพองตัวลดลงเมื่อผ่านการย่อยด้วยกรดไฮดรคลอริก 0.5 และ 1.0 มิลลาร์ ที่เป็นเช่นนี้เนื่องจากที่ความเข้มข้นของกรดไฮดรคลอริกที่ระดับต่ำจะเกิดการทำลายพันธะไฮดรเจนในสายโพลิเมอร์ซึ่งจะส่งผลให้เพิ่มความสามารถในการพองตัว แต่ที่ระดับความเข้มข้นของกรดสูงจะเกิดการกัดกร่อนในส่วนของอสัณฐานซึ่งจะส่งผลให้กำลังการพองตัวลดลง โดย Jayakody และ Hoover (2000) สนับสนุนว่าการเพิ่มกำลังการพองตัวในสตาร์ชจากฮัปพีชในช่วงการย่อยช่วงแรก จะส่งผลเพิ่มการทำงานทำปฏิกิริยาระหว่างอะไมโลสและน้ำ ส่งผลให้กำลังการพองตัวเพิ่มขึ้นในช่วงระยะเวลาแรก ของการตัดແປร

สถาร์ช้าวโพด ข้าวโพดข้าวเหนียว (Sandhu, Singh และ Lim, 2007) สถาร์ชนิวโคโคแยม (Lawal, 2004) สถาร์ช้าวโพดลูกผสม (Lawal และคณะ, 2005) สถาร์ถั่ว (Lawal และ Adebowale, 2005) และสถาร์ช้าวสาลี มันฝรั่งและข้าวโพด (Gunaratne และ Corke, 2007) จะมีค่าการละลายเพิ่มสูงขึ้นหลังผ่านการตัดแบบโดยวิธีอย่างด้วยกรด เนื่องมาจากกราฟที่สถาร์จะเกิดไม่เลกุลที่มีขนาดเล็ก ส่งผลให้มีไออกซิโดรophilic (hydrophilic) หรือมี –OH มีจำนวนเพิ่มมากขึ้น จึงทำให้สามารถละลายออกมากได้มากขึ้น แต่จากทฤษฎีของการจับน้ำของมี –OH จะส่งผลให้กำลังการพองตัวเพิ่มขึ้น แต่จะตรงข้ามกับในกรณีของสถาร์ที่ถูกย่อยด้วยกรด เพราะเมื่อให้ความร้อน เม็ดสถาร์จะเกิดการแตกออกอย่างรวดเร็ว โดยจะไม่ส่งผลต่อการจัดเรียงโครงสร้าง ดังนั้นจึงไม่สามารถจับน้ำไว้ภายในโครงสร้าง ทำให้กำลังการพองตัวลดลง

6.2 คุณสมบัติและการนำไปใช้

สถาร์ที่ถูกลดขนาดไม่เลกุลด้วยกรดที่คุณภาพมิต่ำกว่าคุณภาพมิเจลาตินซ์ จะได้ผลิตภัณฑ์เป็นสถาร์ที่ย่อยด้วยกรด ซึ่งมีลักษณะเป็นเม็ดสถาร์ คุณสมบัติในการปิดระบบแสงไฟฟ้า (*waterproof*) และคุณสมบัติที่ไม่ละลายในน้ำเย็นเหมือนกับสถาร์ดิบ (Rohwer และ Klem, 1984) แต่มีคุณสมบัติบางประการที่เปลี่ยนแปลงไป ในขณะที่ให้ความร้อนเม็ดสถาร์ที่ย่อยด้วยกรดจะแตกออก ได้ สถาร์เปลี่ยนเป็นของเหลวใสที่มีความหนืดลดลง มีความเหลว (fluidity) เพิ่มขึ้น จึงสามารถให้ความร้อนแก่สถาร์ที่มีความเข้มข้นสูงได้ แต่เมื่อยืนลงจะเกิดการคืนตัวทำให้สูญเสียความใส ได้เป็นเจลแข็งทึบแสง นอกจากนี้สถาร์ย่อยด้วยกรดยังมีคุณสมบัติเหมาะสมที่จะใช้ขึ้นรูป ไม่เนื่องจากมีความหนืดต่ำ สามารถให้ความร้อนได้ถึงแม่น้ำสถาร์จะมีความเข้มข้นสูง ดูดน้ำหรือระเหยน้ำได้น้อย ดังนั้นพิล์มจะแห้ง แข็ง และเกะกะติดได้เร็ว (Wurzburg, 1986)

ในอุตสาหกรรมอาหาร ใช้ผลิตลูกกรวด ห้อฟี่ ในอุตสาหกรรมสิ่งทอ ใช้เคลือบเส้นด้าย ทำให้เส้นไยผ้าแข็งแรงและทนต่อการเสียดสีระหว่างการห่อ ใช้ในอุตสาหกรรมกระดาษ โดยเคลือบกระดาษเพื่อกันไม่ให้น้ำมีกซึมผ่านกระดาษ ได้กระดาษที่มีผิวน้ำเรียบ มีคุณสมบัติในการพิมพ์ (printability) ที่ดีและใช้ผลิตกระดาษลูกฟูก (Rohwer และ Klem, 1984)

ในอุตสาหกรรมยา ใช้ทำเป็นสารช่วยเพิ่มปริมาณเมื่อนำไปปัดผสมรวมกับยา ทำให้มีความคงทนมากขึ้นและพัฒนาคุณสมบัติในเรื่องการปลดปล่อยตัวยา การแตกของเม็ดยา และการสึกกร่อนของตัวยา (Atichokudomchai และ Varavinit, 2003) นอกจากนี้ยังได้นำสถาร์ช

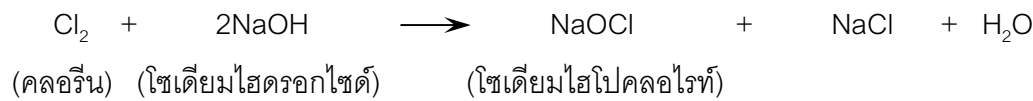
ดัดแปลงโดยการย่อยด้วยกรรมภาพสมกับตัวยาและนำไปผ่านการพ่นฝอย (Spray drying) หรือที่เรียกว่า spherical agglomerated starch ซึ่งเม็ดยาที่ได้จะมีความสามารถในการไหลที่ดีขึ้น (free flowing) ทำให้มีเม็ดยา มีคุณสมบัติที่ดีขึ้น และขึ้นรูปได้ง่าย

7. การดัดแปลงสารชีวภัยออกซิเดชัน (Oxidation)

การดัดแปลงโดยวิธีออกซิเดชันเป็นการทำปฏิกิริยากับสารออกซิไดร์ เช่น โซเดียมไฮโปคลอไรต์ แคลเซียมไฮโปคลอไรต์ แอมโมเนียมเปอร์ซัลเฟต โพแทสเซียมเปอร์ซัลเฟต โพแทสเซียมเปอร์แมงกาเนต ในการทำปฏิกิริยาจะทำให้โครงสร้าง คุณสมบัติทางเคมี และขนาดของโมเลกุลเม็ดสารชีวะเปลี่ยนแปลงไป ได้สารชีวะดัดแปลงที่เรียกว่าออกซิไดร์สตาร์ช (oxidized starch) หรือคลอรินेटสตาร์ช (chlorinated starch) หรือออกซิสตาร์ช (oxystarch) ปฏิกิริยาเคมีที่เกิดขึ้นจะเปลี่ยนหมุนไฮดรอกซิลให้เป็นหมุนแอลดีไฮด์ หมุนคีโตน หรือหมุนคาร์บออกซิล และมีการตัดโมเลกุลของสตาร์ช ทำให้เกิดการกำจัดสีและทำลายจุลทรรศน์ ทำให้สตาร์ชมีความขาวเพิ่มขึ้น (Smith, 1982) ออกซิไดร์สตาร์ชที่ใช้ในอุตสาหกรรมอาหารจะต้องทำปฏิกิริยากับคลอรีนในรูปของโซเดียมไฮโปคลอไรต์ไม่เกินร้อยละ 5.5 และมีกลุ่มคาร์บออกซิลไม่เกินร้อยละ 1.1 (กระทรวงอุตสาหกรรม, 2535)

ในการผลิตออกซิไดร์สตาร์ชทางการค้าจะใช้โซเดียมไฮโปคลอไรต์หรือแคลเซียมไฮโปคลอไรต์เป็นสารออกซิไดร์

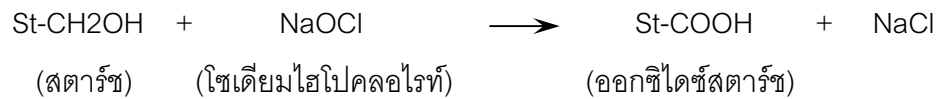
การเตรียมโซเดียมไฮโปคลอไรต์ทำโดยเติมก๊าซคลอรีนอย่างช้า ๆ ลงในสารละลายน้ำโซเดียมไฮดรอกไซด์ที่เย็น ดังปฏิกิริยา



ปฏิกิริยานี้เป็นปฏิกิริยาสายความร้อน (24,650 แคลอรี) ในการผลิตต้องควบคุมความร้อนจากปฏิกิริยาให้ต่ำกว่า 30 องศาเซลเซียส สารละลายน้ำไฮโปคลอไรต์ที่ผลิตเพื่อใช้ในการออกซิไดร์สตาร์ชโดยทั่วไปจะมีคลอรีนเป็นองค์ประกอบอยู่ 5-10% และมีความเป็นเบสเพียงเล็กน้อย

การผลิตออกซิไดร์สตาร์ช ทำโดยการเติมสารละลายน้ำโซเดียมไฮโปคลอไรต์ลงในสารละลายน้ำสตาร์ช ปริมาณของสารละลายน้ำไฮโปคลอไรต์ที่ใช้กัดเป็น % available chlorine ต่อน้ำหนักสตาร์ช

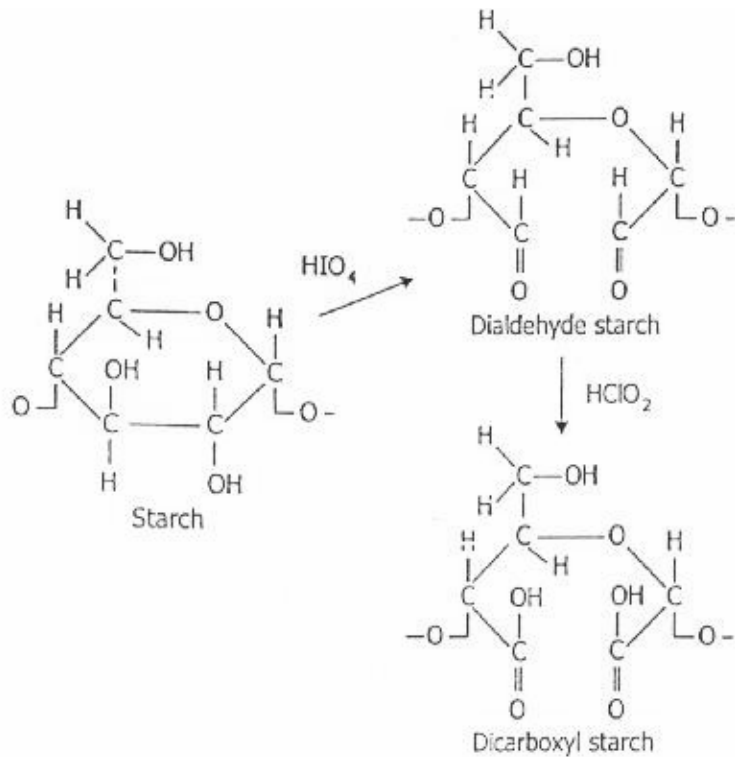
โดยทั่วไป %available chlorine ในสตาร์ชสูงสุดที่ใช้ในการทำปฏิกิริยาจะไม่เกิน 5-6% เมื่อเติมโซเดียมไฮโปคลอไรท์จะเกิดปฏิกิริยา กับเม็ดสตาร์ชดังนี้



หลังจากเติมสารละลายไฮโปคลอไรท์จนถึงจุดที่ต้องการแล้ว ปรับค่า pH เอซของสารละลายสตาร์ชให้เป็นกลางหรือเป็นกรดเล็กน้อย (pH 6.0-6.5) กำจัดไฮโปคลอไรท์ที่เกินโดยเติมตัวเรductants เช่น ไบโซลไฟฟ์ หลังจากนั้นล้างสารละลายสตาร์ชโดยใช้ continuous vacuum filter หรือ Dorr clones กำจัดน้ำออกจากสารละลายโดยใช้ vacuum filter หรือ centrifuge ทำให้แห้งใน hot-air dryer จนได้ความชื้นที่สมดุล

เนื่องจากปฏิกิริยาออกซิเดชันเป็นปฏิกิริยาสายความร้อน ดังนั้นในระหว่างดำเนินปฏิกิริยา จะต้องระดับความร้อนที่จะเพิ่มขึ้น โดยการใช้สารละลายที่เย็นเมื่อเริ่มต้นปฏิกิริยา หรือให้ความเย็นแก่สารละลายในระหว่างการทำดำเนินปฏิกิริยา ถ้าอุณหภูมิในระหว่างการทำดำเนินปฏิกิริยา เพิ่มสูงขึ้นถึงจุดหนึ่งที่จะทำให้เม็ดสตาร์ชในบางส่วนละลายหรือพองตัว จะทำให้เกิดการสูญเสียของเม็ดออกซิไดซ์สตาร์ชในระหว่างการทำดำเนินน้ำ

เมื่อพิจารณาโครงสร้างของไมโลเพกทินของสตาร์ช จะเห็นได้ว่าหมู่ไฮดรอกซิลของคาร์บอน ตำแหน่งที่ 6 จะไม่เกิดปฏิกิริยานៅจากมีพันธะแบบ α -D-(1,6) ไกลโคซิດิก การเกิดปฏิกิริยา ออกซิเดชัน ส่วนมากจะเกิดที่คาร์บอนตำแหน่งที่ 2 และ 3 ในการผลิตทางการค้าจะควบคุมให้มีค่าความเป็นกรด-ด่าง 7-8 หมู่ไฮดรอกซิลที่คาร์บอนตำแหน่งที่ 2 และ/หรือคาร์บอนตำแหน่งที่ 3 จะเปลี่ยนไปเป็นหมู่คาร์บออกซิล และเมื่อให้เกิดปฏิกิริยาต่อ พันธะระหว่างคาร์บอนตำแหน่งที่ 2 และ 3 จะแตกออกได้ ได้อลดีไฮด์สตาร์ช (ภาพที่ 11) จากนั้นให้ทำปฏิกิริยากับไฮโปคลอไรท์ที่เป็นด่างจะทำให้พันธะระหว่างหมู่กลูโคไซด์พาราโนสแตกออก ทำให้เกิดการเปลี่ยนแปลงอย่างรวดเร็วกับสตาร์ชได้โดยการบูกซิลสตาร์ช



ภาพที่ 11 ปฏิกิริยาการเกิด dialdehyde starch และ dicarboxyl starch
ที่มา: Knight (1969)

7.1 ผลของการดัดแปลงด้วยวิธีออกซิเดชันต่อคุณสมบัติของสตาร์ช

7.1.1 ผลต่อลักษณะสัณฐานของเม็ดสตาร์ช

Kuakpetoon และ Wang (2008) ได้ดัดแปลงสตาร์ชข้าวโพด ข้าวโพดข้าวเหนียวและข้าวโพดที่มีปริมาณอะไมโลสสูงด้วยวิธีออกซิเดชันที่ระดับแอคทีพคลอริน 2% พบร่วมกับผิวของสตาร์ชที่ผ่านการดัดแปลงมากกว่าเมื่อเทียบกับสตาร์ชที่ไม่ผ่านการดัดแปลงในขณะที่ Li และ Vasanthan (2003) พบร่วมกับสตาร์ชจาก field pea หลังผ่านการดัดแปลงด้วยวิธีออกซิเดชันที่ระดับแอคทีพคลอริน 0.89-3.28% ไม่มีความแตกต่างจากสตาร์ชที่ไม่ผ่านการดัดแปลงทั้งขนาดและรูปร่าง

Rutenberg และ Solarek (1984) รายงานว่าสตาร์ชข้าวโพดและมันฝรั่งที่ดัดแปลงด้วยวิธีออกซิเดชันที่ระดับแอคทีพคลอริน 6% ไม่พบความแตกต่างระหว่างสตาร์ชดัดแปลงและสตาร์ชที่ไม่ผ่านการดัดแปลง แต่ที่ระดับแอคทีพคลอริน 8% จะเห็นการเปลี่ยนแปลงของสตาร์ชดัดแปลง และ

พบว่าสตราว์ชข้าวสาลีมีขนาดเส้นผ่านศูนย์กลางเพิ่มขึ้น 16% ในขณะที่สตราว์ชข้าวโพดข้าวเหนียวขนาดไม่เปลี่ยนแปลง

7.1.2 ผลต่ออักษณะโครงสร้างผลึก

สตราว์ชข้าวโพดลูกผสม (Lawal และคณะ, 2005) มีโครงสร้างผลึกแบบ A คือเกิดพีคที่ตำแหน่ง 20 เท่ากับ 15.9, 17.2, 18.8 และ 25.0 องศา ซึ่งหลังจากผ่านการตัดແปรโดยวิธีอกอကซิเดชัน สตราว์ชดัดແปรปั้งคงมีโครงสร้างผลึกเป็นแบบ A

7.1.3 ผลต่อความหนืด

Wang และ Wang (2003) ได้ศึกษาการตัดແປรสตราว์ชข้าวโพด และข้าวโพดข้าวเหนียวที่ระดับแอกที่พคลอวิน 0.25-3.0% พบว่าที่ระดับการตัดແປรต่ำๆ (น้อยกว่าหรือเท่ากับ 1% แอกที่พคลอวินสำหรับสตราว์ชข้าวโพด และน้อยกว่าหรือเท่ากับ 0.75% สำหรับสตราว์ชข้าวโพดข้าวเหนียว) อุณหภูมิที่เริ่มมีการเปลี่ยนแปลงความหนืดของสตราว์ชข้าวโพดมีค่าลดลง แต่ในสตราว์ชข้าวโพดข้าวเหนียวไม่เปลี่ยนแปลง ในขณะที่ความหนืดสูงสุด และความหนืดสุดท้ายมีค่าเพิ่มขึ้นเมื่อเทียบกับสตราว์ชที่ไม่ผ่านการตัดແປร Farley และ Hixun (1942) กล่าวว่าที่ระดับของการตัดແປรต่ำๆ เม็ดสตราว์ชสามารถพองตัวได้มากกว่าเม็ดสตราว์ชที่ไม่ผ่านการตัดແປร เนื่องมาจากหมู่คาวบอคชิลภายในโมเลกุลส่งผลให้สามารถจับกันได้มากขึ้นทำให้ความหนืดสูงสุดมีค่าสูงขึ้น

Li และ Vasanthan (2003) พบว่าสตราว์ชจาก field pea เมื่อผ่านการตัดແປรต่ำๆ วิธีออกอคชิเดชัน อุณหภูมิที่เริ่มมีการเปลี่ยนแปลงความหนืดเปลี่ยนแปลงค่อนข้างน้อย และเมื่อระดับของการตัดແປรสูงขึ้น ความหนืดสูงสุด ความหนืดขณะร้อน ความหนืดขณะเย็น และเซตแบคเมค่าลดลง แต่เบรากดาวน์มีค่าเพิ่มขึ้น นอกจากนี้ยังพบว่าที่ระดับการตัดແປรสูงสุด (แอกที่พคลอวิน 3.28%) การให้ความร้อน และการหล่อเย็นส่งผลต่อความหนืดเพียงเล็กน้อย

7.1.4 ผลต่อการเกิดเจลาตีไนเซชัน

Wang และ Wang (2003) พบว่าสตราว์ชข้าวโพด และข้าวโพดข้าวเหนียวหลังผ่านการออกอคชิเดชันที่ระดับแอกที่พคลอวินไม่เกิน 1.25 % อุณหภูมิเริ่มต้นในการเกิดเจลาตีไนเซชัน (T_0) อุณหภูมิที่ทำให้สตราว์ชดุดความร้อนมากที่สุดขณะเกิดเจลาตีไนเซชัน (T_p) มีค่าสูงขึ้น แต่พลังงาน

เอนทาลปีของการเกิดเจลาติในเซชัน (ΔH) ไม่เปลี่ยนแปลง เมื่อเทียบกับสตาร์ชที่ไม่ผ่านการดัดแปลง ซึ่งการเพิ่มขึ้นของอุณหภูมิในการเกิดเจลาติในเซชันเป็นผลมาจากการที่เป็นอสัณฐานถูกย่ออยู่ไป (Donovan, 1979) แต่ถ้าระดับของแอดค์พคลอรีนกิน 1.25 % พบร้า T_o และ T_p มีค่าลดลง อาจจะเกิดจากขั้นของผลึกถูกย่ออย ขณะที่ ΔH ไม่เปลี่ยนแปลง อาจเป็นเพราะออกซิเดชันไม่มีผลต่อปริมาณของผลึก

Lawal และคณะ (2005) พบร้า T_o , T_p , T_c และ ΔH มีค่าลดลงหลังสตาร์ชข้าวโพดลูกผสมผ่านการออกซิไดร์ การทำพันธุ์ไกลโคซิติกถูกตัดระหว่างการทำปฏิกิริยาเคมี อาจทำให้ ΔH มีค่าลดลง เมื่อเทียบกับสตาร์ชที่ไม่ผ่านการดัดแปลง

7.1.5 ผลต่อกำลังการพองตัวและการละลายของสตาร์ช

Lawal และคณะ (2005) พบร้ากำลังการพองตัวมีค่าลดลงเมื่อผ่านการออกซิไดร์ แต่ค่าการละลายเพิ่มสูงขึ้น ค่าการละลายที่เพิ่มสูงขึ้นเนื่องมาจากโครงสร้างที่อ่อนแอลงและการจัดเรียงตัวใหม่ของโมเลกุลภายในเม็ดสตาร์ช

7.2 คุณสมบัติและการนำไปใช้

คุณสมบัติของออกซิไดร์สตาร์ช คือ เป็นเมล็ดขนาดเป็นประจุลบ เนื่องจากมีหมู่คาร์บอไฮเดรตเข้าไปอยู่ในโมเลกุลอะไมโลส ทำให้อัตราการคืนตัวของสตาร์ชเปียกลดลง สตาร์ชเปียกที่ร้อนจะมีความหนืดต่ำลง ทำให้สามารถใช้สตาร์ชเปียกที่มีความเข้มข้นสูงในน้ำร้อนได้ สตาร์ชเปียกสารละลาย และฟิล์มมีความใสมากขึ้น เจลที่ได้มีความคงตัวสูง เม็ดสตาร์ชขาวขั้น กันดีขึ้นและมีปริมาณจุลินทรีย์ลดลง เนื่องจากการฟอกสีของไอกลูโคไวท์จะไปละลายส่วนที่ไม่บริสุทธิ์และล้างออกจากสตาร์ช (Sanders, 1996)

เม็ดสตาร์ชของออกซิไดร์สตาร์ชมีลักษณะเหมือนเม็ดสตาร์ชดิบ มีคุณสมบัติ polarization และการย้อมสีไอโอดีนคงเดิม เม็ดสตาร์ชมีรอยแตกตามรอยรัศมีจากการทำปฏิกิริยาของสารออกซิไดร์ เมื่อนำไปให้ความร้อนภายใต้น้ำ เม็ดสตาร์ชจะแตกออกตามรอยแยกมากกว่าที่จะพองตัวเหมือนเม็ดสตาร์ชดิบ เม็ดสตาร์ชออกซิไดร์มีความไวต่อเมทิลลีนบลูและสีย้อมประจุบวกอื่น ๆ เช่น เม็ดสตาร์ชออกซิไดร์จะดูดซับสีย้อม ในขณะที่เม็ดสตาร์ชดิบจะไม่ดูดซับสีย้อม ดังนั้นเมื่อย้อมเม็ดสตาร์ชด้วยเมทิลลีนบลูแล้วล้างส่วนที่ไม่ถูกดูดซับออก จะสามารถจำแนกเม็ดสตาร์ชออกซิไดร์ออกจากเม็ดสตาร์ชดิบได้ วิธีนี้เป็นการวัดปริมาณของประจุลบของหมู่คาร์บอไฮเดรตในเม็ด

สตาร์ชจึงไม่เจาะจงเฉพาะออกซิไดร์สตาร์ชเท่านั้น อนุพันธ์ที่มีประจุลบกสามารถทำปฏิกิริยานี้ได้ เช่นกัน

สตาร์ชเปยกของออกซิไดร์สตาร์ชมีคุณสมบัติเหมาะสมในการทำหมากฟรังและลูกอม ซึ่งจะ มีอายุการเก็บที่ยาวนานกว่าผลิตภัณฑ์จากสตาร์ชอยู่ด้วยกรดเนื่องจากความเสถียรในสภาวะที่มี น้ำตาลและความต้านทานต่อการหดตัวของออกซิไดร์สตาร์ช

ออกซิไดร์สตาร์ชนี้รูปเป็นแผ่นพิล์มที่มีลักษณะเป็นเนื้อดียกัน แข็งและใสมากขึ้น มีแนวโน้มในการแตกตัวหรือหดตัวน้อยกว่าพิล์มจากสตาร์ชอยู่ด้วยกรดหรือสตาร์ชดิบ มีความสามารถในการละลายน้ำได้มากกว่า เนื่องจากคุณสมบัติการซับน้ำของหมูคาร์บออกซิลที่ เกิดระหว่างการออกซิเดชัน

ในอุตสาหกรรมอาหาร เช่น ทำลูกภาค ลูกอม ชูปิงสำเร็จรูป หรืออาหารประเภทของเหลว ที่ต้องการความชื้น เช่น น้ำสลัด Majority (Knight, 1969 และ Voragen, 1996) ใช้เป็นสารยึดเกาะสำหรับเคลือบกระดาษ เพิ่มความแข็งแรงให้แก่กระดาษ เคลือบผิวน้ำกระดาษให้เรียบและ แทรกซึมเข้าไปในในช่องว่างของเยื่อกระดาษสำหรับกันน้ำมีกซึม ใช้สำหรับเคลือบเส้นใยใน อุตสาหกรรมสิ่งทอ ให้เส้นด้ายลื่น และมีความยืดหยุ่น ใช้เป็นส่วนประกอบในอุปกรณ์ก่อสร้าง เช่น ฝาผนัง ฉนวน กระเบื้อง (Wurzburg, 1986)

8. การตัดแปรสตาร์ชด้วยวิธีการเชื่อมข้าม (Cross-linking)

สตาร์ชครอสลิงหรือที่มีชื่อเรียกอื่นๆ ว่า crossbonded starch หรือ inhibit starch การเชื่อมข้ามเป็นการดัดแปรสตาร์ชกับสารเคมีที่มีหมุ่ฟังก์ชันมากกว่า 1 หมุ่ (multifunctional reagent) เรียกสารเคมีนี้ว่า Cross-linking reagent เช่น โซเดียมไตรเมตาฟอสเฟต ฟอสฟอรัสออกไซด์ และอิพิคโลโรไฮดริน เป็นต้น ซึ่งสารเคมีที่ใช้สามารถทำปฏิกิริยากับหมูไฮดรอกซิลของโมเลกุล สตาร์ชได้มากกว่า 1 หมุ่ ทำให้เกิดการเชื่อมข้ามระหว่างโมเลกุลของสตาร์ชในสภาพแวดล้อม

ฟอสฟอรัสออกซิคโลไฮด์เป็นสารที่นิยมใช้ในการผลิต cross-linked starch esters โดย ทำปฏิกิริยาที่ค่าความเป็นกรด-ด่างสูง (ประมาณ 11.5) ในสภาวะที่มีเกลือหรือไม่มีเกลือ เกลือที่ใช้กันคือ โซเดียมคลอไฮเดต หรือโซเดียมซัลไฟต์ ตามปกติปฏิกิริยาจะสิ้นสุดภายใน 1 ชั่วโมงที่ อุณหภูมิห้อง สตาร์ชดัดแปรที่ได้จัดเป็น di-starch phosphate แต่ฟอสฟอรัสออกซิคโลไฮด์เป็นสารเคมีที่มีความเป็นพิษ ซึ่งไอของมันสามารถปนเปื้อนกับอากาศได้ง่าย (Wu และ Seib, 1990) โซเดียมไตรเมตาฟอสเฟตสามารถใช้ในการผลิต cross-linked starch esters ที่เป็น

di-starch phosphate ได้เช่นเดียวกันกับฟอสฟอรัสออกซีคลอไรด์ แต่ใช้เดี่ยมไตรเมตาฟอสเฟต ต้องใช้เวลาในการทำปฏิกิริยานานกว่ามาก อย่างน้อยหลายชั่วโมง สถาาร์ซดัดแปรที่ได้มีคุณสมบัติคล้ายคลึงกับการใช้ฟอสฟอรัสออกซีคลอไรด์

การใช้ส่วนผสมของ adipic และ acetic anhydride จะทำให้เกิด organic ester linkages ในสถาาร์ซที่คงตัวมากในสภาพความเป็นกรด-ด่างเป็นกลาง แต่ในสภาพที่เป็นกรด หรือเบสมากๆ จะคงตัวน้อยกว่า ether หรือ inorganic ester linkages ดังนั้นการใช้ส่วนผสมดังกล่าวในการดัดแปรจึงควรทำปฏิกิริยาที่ค่า pH เฉลี่ยต่ำกว่า 9 สถาาร์ซที่ดัดแปรได้จะมีการแทนที่ของหมู่อะเซทิลร่วมด้วย

โดยทั่วไปการทำครอสลิงจะช่วยเสริมพันธะไฮโดรเจนในเม็ดสถาาร์ซด้วยพันธะเคมี ซึ่งจะทำหน้าที่เหมือนสะพานเชื่อมระหว่างโมเลกุล ดังนั้นมีอิทธิพลต่อความร้อนแก่สถาาร์ซครอสลิงในน้ำพันธะไฮโดรเจนจะถูกทำลาย แต่เม็ดสถาาร์ซยังคงอยู่ในสภาพปกติ

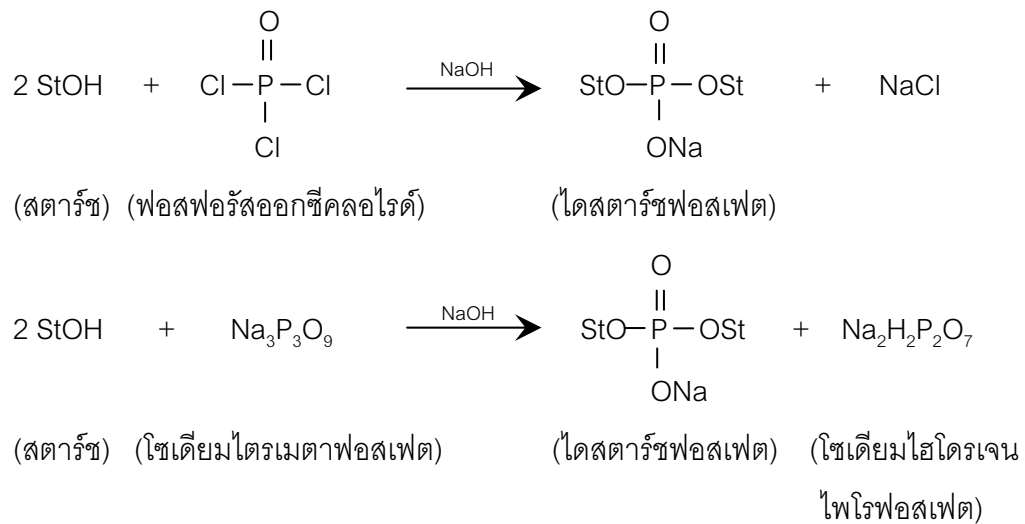
การทำครอสลิงเป็นการควบคุมคุณสมบัติในระดับเม็ดสถาาร์ซ ซึ่งพันธะไฮโดรเจนจะน้อยมาก สถาาร์ซ เมื่อเทียบกับน้ำหนัก และปริมาณกลูโคสทั้งหมดที่มีภายในเม็ดสถาาร์ซ สถาาร์ซครอสลิงโดยส่วนใหญ่จะมีพันธะครอสลิง 1 พันธะต่อกลูโคส 100-3,000 หน่วย

ในอุตสาหกรรมอาหารมีเกณฑ์กำหนด และลักษณะซึ่งบ่งบอกสถาาร์ซดัดแปรประเภทไฮดรอกซิล คือ ปริมาณฟอสเฟต (จำนวนเป็นฟอสฟอรัส) ไม่เกินร้อยละ 0.14 สำหรับสถาาร์ซดัดแปรที่มาจากมันฝรั่งหรือจากข้าวสาลี และไม่เกินร้อยละ 0.04 สำหรับสถาาร์ซประเภทอื่น เจลของสถาาร์ซดัดแปรที่ได้ต้องมีความคงตัว และเกิดเป็นเจลที่อุณหภูมิต่ำกว่าสถาาร์ซดิบโดยทั่วไป (กระทรวงอุตสาหกรรม, 2535)

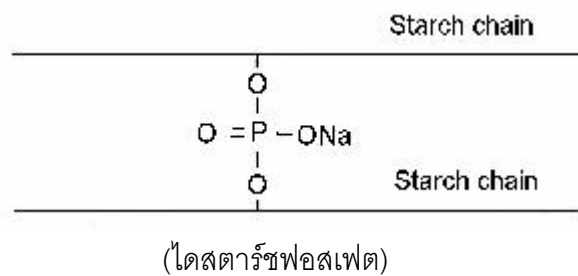
การผลิตไฮดรอกซิลฟอสเฟตสามารถใช้ได้ในอุตสาหกรรมอาหาร ผลิตโดยปรับปรุงคุณสมบัติของสารเแขวนลดลงสถาาร์ซด้วยฟอสฟอรัสออกซีคลอไรด์ หรือใช้เดี่ยมไตรเมตาฟอสเฟตในสภาพเบส ดังภาพที่ 12 และ 13 อัตราการเกิดปฏิกิริยาของฟอสฟอรัสออกซีคลอไรด์จะดำเนินไปอย่างรวดเร็ว สำหรับอัตราการเกิดปฏิกิริยาของโซเดียมไตรเมตาฟอสเฟตจะเป็นไปอย่างช้าๆ สามารถเร่งปฏิกิริยาให้เร็วขึ้นได้โดยทำปฏิกิริยานในสภาพที่มีอุณหภูมิสูง ได้สถาาร์ซฟอสเฟตจะมีพันธะ inorganic ester เชื่อมหมู่ไฮดรอกซิลภายในโมเลกุลสถาาร์ซ ทำให้สามารถด้านท่านความเป็นกรดและเบสอ่อนๆ ได้ แต่สามารถถูกย่อยได้ในสภาพที่เป็นเบสปานกลาง

สภาพที่ใช้ผลิตสถาาร์ซครอสลิงจะแตกต่างกันไปตามสารเคมีที่ใช้ โดยทั่วไปจะทำปฏิกิริยาที่อุณหภูมิห้องจนถึง 50 องศาเซลเซียส ภายใต้สภาพเป็นกลางค่อนข้างเบส แต่ต่ำกว่าระดับที่ทำให้สถาาร์ซเกิดการพองตัว เมื่อถึงระดับการเชื่อมข้ามที่ต้องการ หยุดปฏิกิริยาโดยการปรับพีเอชให้

เป็นกลไกด้วยกรดเจือจาง แล้วกรองล้างเกลือหรือสารเคมีที่ไม่ทำปฏิกิริยา และลิงเจือปนออก
(Wurzburg, 1989; Rutenberg และ Solarek, 1984)



ภาพที่ 12 การทำปฏิกิริยาของสตาร์ชกับสารครอบลิง
ที่มา : Rutenburg และ Solarek (1984)



ภาพที่ 13 โครงสร้างสตาร์ชครอบลิง
ที่มา : กล้านรงค์ และ เกื้อฤทธิ์ (2543)

8.1 ผลของการดัดแปลงด้วยวิธีการเชื่อมข้ามต่อคุณสมบัติของสตาร์ช

8.1.1 ผลต่อลักษณะสัณฐานของเม็ดสตาร์ช

Kaur และ Singh (2005) ได้ดัดแปลงสตาร์ชจากมันฝรั่งด้วยการใช้สารฟอสฟอรัสออกซิคลอ-ไฮด์ริด และอิพิคลอโรไฮดริน พบว่าหลังผ่านการดัดแปลงด้วยการเชื่อมข้ามสตาร์ชยังคงมีผิวที่เรียบไม่แตกต่างจากที่ไม่ผ่านการดัดแปลง เช่นเดียวกับการทดลองของ Kim และ Lee (2002) ในสตาร์ช มันฝรั่งที่ดัดแปลงโดยการเชื่อมข้ามด้วยสารละลายอิพิคลอโรไฮดรินที่ระดับความเข้มข้น 0.1, 0.5, 1.0 และ 2.0% ที่อุณหภูมิห้อง เป็นระยะเวลา 24 ชั่วโมง พบว่าไม่มีการเปลี่ยนแปลงของเม็ดสตาร์ชหลังผ่านการเชื่อมข้าม แม้จะมีการใช้ความเข้มข้นของสารละลายอิพิคลอโรไฮดรินเพิ่มสูงขึ้น ในกรณีของ Yeh และ Yeh (1993) ที่พบว่าการดัดแปลงด้วยวิธีการเชื่อมข้ามไม่ส่งผลกระทบต่อการเปลี่ยนแปลงขนาดหรือลักษณะปراกภูของสตาร์ชข้าวเจ้า โดยสภาวะในการดัดแปลงคือ ใช้ความเข้มข้นของสารละลายฟอสฟอรัสออกซิคลอโรไฮด์รอยละ 0.1 ในสารละลายด่างที่มีสารละลายโซเดียมซัลเฟตร้อยละ 5 และทำปฏิกิริยาที่อุณหภูมิ 35 องศาเซลเซียส เป็นระยะเวลา 15, 30, 60 และ 120 นาที

8.1.2 ผลต่อลักษณะโครงสร้างผลึก

Kim และ Lee (2002) ได้ทำการศึกษาการดัดแปลงสตาร์ชโดยการเชื่อมข้ามในสตาร์ชมันฝรั่ง พบว่าสตาร์ชมันฝรั่งมีโครงสร้างผลึกแบบ B คือเกิดพีคที่ตำแหน่ง 20 เท่ากับ 5.59, 14.4, 17.2 และ 22.1 องศา และหลังจากผ่านการดัดแปลงด้วยวิธีการเชื่อมข้าม สตาร์ชจะเกิดพีคที่ตำแหน่ง 20 เท่ากับ 14.4, 17.2, 22 และ 24 องศา แต่ยังคงมีโครงสร้างผลึกเป็นแบบ B ไม่แตกต่างจากสตาร์ชที่ไม่ผ่านการดัดแปลง และเมื่อพิจารณาถึงปริมาณร้อยละความเป็นผลึกสัมพัทธ์ พบว่าไม่เกิดการเปลี่ยนแปลง ซึ่งแสดงว่าการดัดแปลงโดยการเชื่อมข้ามไม่ส่งผลกระทบต่อการเปลี่ยนแปลงความเป็นผลึกของเม็ดสตาร์ช

8.1.3 ผลต่อความหนืด

Yeh และ Yeh (1993) ได้ทำการวัดคุณสมบัติทางด้านความหนืดของสตาร์ชข้าวเจ้าด้วยเครื่องบราเบนเดอร์ โดยสตาร์ชจะให้ความหนืดเริ่มต้นที่อุณหภูมิ 71.4 องศาเซลเซียส ค่าความ

หนึ่ดสูงสุด 600 BU (brabender unit) ที่อุณหภูมิ 84.6 องศาเซลเซียส โดยหลังจากการดัดแปลงด้วยการเชื่อมข้าม สถาร์ชข้าวเจ้าจะมีความหนึ่ดสูงสุดเพิ่มขึ้นเป็น 800 BU ที่อุณหภูมิ 87 องศาเซลเซียส

Liu, Ramsden และ Corke (1999) พบว่าหลังผ่านการเชื่อมข้าม สถาร์ชข้าวเจ้าจะมีความหนึ่ดสูงสุด อุณหภูมิในการเริ่มเกิดความหนึ่ดลดต่ำลง แต่จะค่าเพิ่มสูงขึ้นในสถาร์ชข้าวเหนียว ซึ่งสถาร์ชทั้ง 2 จะมีค่าเบรากดาวน์ลดต่ำลง ความหนึ่ดขณะร้อน ความหนึ่ดขณะเย็น เพิ่มสูงขึ้น Hirsch และ Kokini (2002) ได้ทำการศึกษาสารเคมีที่ใช้ในการดัดแปลงโดยการเชื่อมข้าม พบว่าฟอสฟอรัสออกซิคลอโรต์จะให้คุณสมบัติทางด้านความหนึ่ดมากกว่าสารเคมีชนิดอื่น (โซเดียมไตรเมตาฟอสเฟตและอิพิคลอโรไซดริน)

8.1.4 ผลต่อการเกิดเจลาตีไนเซ็น

Singh, Kaur และ McCarthy (2007) กล่าวว่าการเกิดเจลาตีไนเซ็นคือการทำลายโมเลกุลภายในเม็ดสถาร์ช ซึ่งส่งผลให้เกิดการเปลี่ยนแปลงแบบไม่ผันกลับของการเปลี่ยนแปลงคุณสมบัติของสถาร์ช เช่น การพองตัวของเม็ดสถาร์ช การหลอมเหลวของผลึก การสูญเสียคุณสมบัติในการบิดระนาบแสงไฟลาไวร์ และการละลายของสถาร์ช

Chatakanonda, Varavinit และ Chinachoti (2000) ได้ทำการศึกษาอุณหภูมิในการเกิดเจลาตีไนเซ็นของสถาร์ชข้าวเจ้าที่ผ่านการดัดแปลงด้วยการเชื่อมข้ามโดยโซเดียมไตรเมตาฟอสเฟตและโซเดียมไตรโพลีฟอสเฟต (99:1) ที่อุณหภูมิ 50 องศาเซลเซียส เป็นระยะเวลา 20 ชั่วโมง ด้วยเครื่อง DSC พบว่าสถาร์ชข้าวเจ้าเริ่มเกิดเจลาตีไนซ์ (T_g) เท่ากับ 57.4 องศาเซลเซียส อุณหภูมิที่ทำให้สถาร์ชดูดความร้อนมากที่สุดขณะเกิดเจลาตีไนซ์ (T_p) เท่ากับ 67.3 องศาเซลเซียส อุณหภูมิสุดท้ายที่สถาร์ชเกิดเจลาตีไนซ์ (T_c) เท่ากับ 76.8 องศาเซลเซียส และพลังงานอนทาลปีของการเกิดเจลาตีไนเซ็น (ΔH) เท่ากับ 6.7 จูลต่อกรัม หลังจากผ่านการดัดแปลงสถาร์ชจะมีช่วงการเกิดเจลาตีไนเซ็น ($T_c - T_g$) แคบลง เมื่อเทียบกับสถาร์ชที่ไม่ผ่านการดัดแปลง และตัวควบคุม (ไม่เติมโซเดียมไตรเมตาฟอสเฟต) และสถาร์ชควบคุมจะมีอุณหภูมิในการเกิดเจลาตีไนซ์ลดลงเล็กน้อย แต่สถาร์ชที่ผ่านการเชื่อมข้ามจะมีอุณหภูมิในการเกิดเจลาตีไนเซ็นเพิ่มสูงขึ้นเล็กน้อย และจะมีค่าเพิ่มขึ้นเมื่อระดับของการดัดแปลงสูงขึ้น จากผลดังกล่าวทำให้ยืนยันได้ว่าหมู่ฟอสเฟตจะเข้าไปในโมเลกุลของสถาร์ช ผลงานให้สถาร์ชเกิดการจับตัวกันแน่นมากขึ้น และมีค่า ΔH ลดต่ำลงหลังผ่านการเชื่อมข้าม และยังพบพีคที่เกิดขึ้นอีก 1 พีคที่อุณหภูมิ 90-110 องศาเซลเซียส ซึ่งเป็น

ลักษณะของการรวมกันของอะไมโลส และไขมัน เช่นเดียวกับ Vermeylen และ Delcour (2001) ที่พบพีคที่อุณหภูมิ 120 องศาเซลเซียสด้วย

Choi และ Kerr (2004) รายงานว่าการดัดแปลงการเชื่อมข้ามโดยใช้ฟอสฟอรัสออกซิคลอไรด์ที่ระดับต่ำๆ จะทำให้ช่วงการเกิดเจลาตินเข้มข้นของสตาร์ชไม่แตกต่างจากสตาร์ชที่ไม่ผ่านการดัดแปลงในขณะที่ถ้าระดับของการดัดแปลงเพิ่มสูงขึ้น จะส่งผลให้อุณหภูมิในการเกิดเจลาตินในเชิงเพิ่มสูงขึ้น และค่า ΔH เพิ่มสูงขึ้น คล้ายกับการทดลองของ Yeh และ Yeh (1993)

Kaur และคณะ (2002) กล่าวว่าลักษณะการเปลี่ยนแปลงทางความร้อนของสตาร์ชที่ผ่านการดัดแปลงด้วยวิธีการเชื่อมข้ามจะขึ้นอยู่กับ 1) ความเข้มข้น และชนิดของสารที่ใช้ในการทำปฏิกิริยา 2) สภาพที่ใช้ในการดัดแปลง 3) แหล่งของสตาร์ช

8.1.5 ผลต่อกำลังการพองตัวและการละลายของสตาร์ช

Kaur และ Singh (2005) ได้ทำการศึกษาสตาร์ชมันฝรั่งที่ดัดแปลงโดยการเชื่อมข้ามด้วยฟอสฟอรัสออกซิคลอไรด์และอิพิคอลโกราโนดิน พบร่วมกับการผ่านการเชื่อมข้ามสตาร์ชจะมีค่าร้อยละกำลังการพองตัวลดลง เช่นเดียวกับการทดลองในสตาร์ชข้าวเจ้า และข้าวเหนียวที่หลังจากการดัดแปลงโดยการเชื่อมข้าม จะมีค่าร้อยละกำลังการพองตัวลดลง (Liu, Ramsden และ Corke, 1999)

Singh, Kaur และ McCarthy (2007) กล่าวว่าการที่กำลังการพองตัวของสตาร์ชที่ผ่านการดัดแปลงโดยการเชื่อมข้ามมีค่าลดลงเนื่องมาจากการเชื่อมข้ามมีค่าลดลง 1) ชนิดของสารที่ใช้ในการทำปฏิกิริยา 2) สภาพที่ใช้ในการดัดแปลง 3) ชนิดของสตาร์ช ซึ่ง Leach (1995) กล่าวว่าความแข็งแรงของร่างแท้มีเดสตาร์ชเป็นปัจจัยหลักที่ควบคุมการพองตัวของเม็ดสตาร์ช ส่วน Choi และ Kerr (2004) รายงานว่าการเกิดการเชื่อมข้ามภายในเม็ดสตาร์ชจะส่งผลให้เม็ดสตาร์ชต้านทานต่ออุณหภูมิ และความร้อนได้สูงขึ้น ซึ่งความแข็งแรงของพันธะที่เกิดการเชื่อมข้ามภายในเม็ดสตาร์ชจะทำให้ต้านทานต่อการพองตัว

Yeh และ Yeh (1993) ได้ทำการศึกษาความสามารถในการละลายของสตาร์ชข้าวเจ้าในสารละลาย dimethyl sulphoxide (DMSO) พบร่วมกับการละลายของสตาร์ชข้าวเจ้าจะเพิ่มขึ้นอย่างเป็นเส้นตรงเมื่อระยะเพิ่มมากขึ้น ส่วนสตาร์ชข้าวเจ้าที่ดัดแปลงการเชื่อมข้ามจะมีค่าการละลายลดลงเมื่อเปรียบเทียบกับสตาร์ชที่ไม่ผ่านการดัดแปลง เนื่องจากการทำการเชื่อมข้ามจะส่งผลให้พันธะระหว่างสายสตาร์ชเพิ่มมากขึ้น และเกิดการรวมตัวกันภายในเม็ดสตาร์ช

8.2 คุณสมบัติและการนำไปใช้

ลักษณะโครงสร้างภายในอกของเม็ดสตาร์ชครอสลิงไม่มีการเปลี่ยนแปลง พันธะเคมีที่เกิดขึ้น เสริมพันธะไออกเรเจนทำให้เม็ดสตาร์ชแข็งแรงและเสถียรมากขึ้น ไม่แตกง่าย มีการละลายลดลง มีอุณหภูมิในการเกิดเจลาตินซูตรูปสูงขึ้น สตาร์ชเปี่ยมกับความต้านทานต่อแรงเฉือนและความเป็นกรดมากขึ้น ลักษณะเนื้อครีมเนียนคล้ายขี้ผึ้ง ใช้เป็นสารเพิ่มความชื้นในอาหาร หมายเหตุ สำหรับใช้ผลิตอาหารที่มีสภาพเป็นกรด ใช้อุณหภูมิสูงเป็นเวลานาน และมีแรงเฉือนจากการกวนของเครื่องมือ หรือส่งผ่านตามท่อโดยใช้ปั๊ม รวมทั้งจะลดการเกิดเจลาตินเข้าทำให้ผลิตภัณฑ์มีความชื้นหนึ่ดตามที่ต้องการเมื่อยืนตัวลง (Wurzburg, 1986) มีคุณสมบัติเป็นสารเพิ่มความชื้นหนึ่ดที่สูง ช่วยปรับปรุงคุณสมบัติของสตาร์ชให้เหมาะสมแก่การหุงต้ม เมื่อเพิ่มระดับการทำครอสลิงจะเพิ่มความแข็งแรงให้แก่เม็ดสตาร์ชจึงหมายความว่าสตาร์ชที่จะใช้ในอาหารที่มีค่าความเป็นกรด-ต่างต่ำ เช่น ซอสพริก ซอสมะเขือเทศ ไส้ผลไม้สำหรับผลิตภัณฑ์เบเกอรี่ และอาหารที่ผ่านการทำให้ความร้อนสูง เช่น อาหารกระป๋อง (Luallen, 1985) ฟิล์มที่ได้จากสตาร์ชครอสลิงมีคุณสมบัติที่ดี มีความหนึ่ดคงตัว หมายเหตุ สำหรับใช้ในอุตสาหกรรมสิ่งทอ (Kirby, 1986)

ในอุตสาหกรรมอาหาร อาศัยคุณสมบัติของสตาร์ชครอสลิงที่ไม่สูญเสียความหนึ่ดที่พิเศษต่อ นำมาเป็นสารให้ความชื้นสำหรับอาหารที่มีความเป็นกรดสูง เช่น ซอส น้ำสลัด และอาศัยคุณสมบัติของสตาร์ชที่มีอัตราการพองตัวและการเกิดเจลาตินเข้าลดลงที่อุณหภูมิสูง นำมาใช้กับอาหารกระป๋องที่ต้องการความร้อนสูงและต้องการความหนึ่ดต่ำในช่วงแรก ซึ่งทำให้การนำความร้อนในกระป๋องเป็นไปได้อย่างรวดเร็ว ใช้เวลาในการฆ่าเชื้อน้อยลง ได้ผลิตภัณฑ์ที่มีความหนึ่ดตามต้องการเมื่อยืนตัวลง (Rutenberg และ Solarek, 1984) นอกจากนี้ยังใช้ผลิตอาหารว่างได้ผลิตภัณฑ์ที่มีโครงอากาศละเอียดและสม่ำเสมอกว่าเมื่อผลิตโดยใช้สตาร์ชดิบ (ดวงใจ, 2536) ใช้สตาร์ชครอสลิงเป็นสารทำให้เกิดความคงตัวในซอสมะเขือเทศ ทำให้ซอสมะเขือเทศมีความหนึ่ด และคุณภาพทางประสาทสัมผัสเหมาะสม และรักษาความคงตัวในซอสมะเขือเทศได้เป็นเวลานาน (วรรณพร, 2528)

ในอุตสาหกรรมกระดาษ สิ่งทอ และภาชนะ ใช้สตาร์ชครอสลิงเคลือบกระดาษและสิ่งทอ และผลิตภัณฑ์ที่ทนน้ำ ในด้านอื่น ๆ เช่น ใช้สตาร์ชครอสลิงในรูปเม็ดสตาร์ชในการทำ surgical dusting power ใช้ epichlorohydrin cross-linked starch เป็นสารเพิ่มความชื้นในสารทำความสะอาดเดาอยู่ (Wurzburg, 1986)

Nebeshima และ Grossmann (2001) นำสตาร์ชมันสำปะหลังที่ผ่านการเชื่อมข้ามไปทำการอัดผ่านเกลียว พบร่วมผลิตภัณฑ์ที่ได้มีความแข็งแรงของเจล ค่าการดูดซึมน้ำ ทนต่ออุณหภูมิและ การกร润เพิ่มมากขึ้น แต่มีค่าแรงยึดเหนี่ยวระหว่างเจล ความใสและการละลายลดลง

บทที่ 3

วัตถุดิบ เครื่องมือและอุปกรณ์ สารเคมีและวิธีการดำเนินการวิจัย

1. วัตถุดิบ

- สตาร์ชถั่วเขียว

2. เครื่องมือและอุปกรณ์

- เครื่องซั่งน้ำหนัก (Sartorius, BP 3100S, Germany)
- ตู้อบลมร้อนแบบควบคุมอุณหภูมิได้ (hot air oven) (WTB binder, Germany)
- เครื่อง Rapid Visco Analyser (RVA) (Newport Scientific, Model RVA-4, Australia)
- กล้องจุลทรรศน์อิเลคตรอนแบบส่องกราด (Scanning Electron Microscope; SEM) (Jeol, JSM-5410LV, England)
 - เครื่องหมุนเหวี่ยง (centrifuge) (Hettich Zentrifugen, Universal 16/16R, Germany)
 - เครื่องวัดค่าพีเอช (pH meter) (MeterLab, PHM 210, France)
 - ปั๊มกรอง (suction pump) (Eyela, Aspirator A-3S, Tokyo)
 - อ่างน้ำควบคุมอุณหภูมิ (Stuart Scientific, SBS 30, USA)
 - แท่นให้ความร้อนพร้อมระบบกวนตัวยแม่เหล็ก (Framo, Type M 22/1, Thailand)
 - เครื่องวัดค่าการดูดกลืนแสง (UV-visible spectrophotometer) (Spectronic Unicam, Genesys 10 UV, USA)
 - เครื่อง Differential Scanning Calorimeter (DSC) (Perkin-Elmer, Pyris1, USA)
 - เครื่องวัดสี (colorimeter) (HunterLab, Miniscan, USA)
 - เครื่องกวนผสม (Heidolph, RZR 2021, Germany)
 - เครื่องวิเคราะห์เนื้อสัมผัส (Texture Analyzer, TA-XT2i, England)
 - เตาเผา (furnace)
 - เครื่องผสมวอร์เตค
 - ถาดอลูมิเนียมขนาด 17x20 นิ้ว

- ถุงพลาสติกทึบความร้อนขนาด 6×8 และ 12×18 นิ้ว
- ตะเกียงร้อนขนาด 35 เมซ
- เทอร์โมมิเตอร์ (thermometer)
- แท่งแม่เหล็กสำหรับกวน (magnetic bar)
- บีกเกอร์ (beaker)
- ปีเปต (pipette)
- ขวดแก้วูปชุมพู่ (erlenmeyer flask)
- หลอดทดลอง (test tube)
- แท่งแก้กวน (stirring rod)
- กระบอกตวง
- ขวดแก้วัดปริมาตร (volumetric flask)
- หลอดวัดค่าการดูดกลืนแสง (cuvette)
- หลอดเหวี่ยง (centrifuge tube)
- กระดาษกรอง (Whatman) เปอร์ 1 และ 4
- กระถางกรอง
- ทีคีบ (tongs และ forceps)
- โถดูดความชื้น (desiccator)
- ถ้วยอะลูมิเนียมมีฝา (moisture can)
- อะลูมิเนียมฟอยล์
- ชุดกรอง (suction flask และ Büchner funnel)

3. สารเคมี

3.1 สารเคมีที่ใช้ในการตัดแปรสตาร์ชถั่วเขียวโดยวิธีการย้อมด้วยกรด

- กรดไฮโดรคลอโริก
- โซเดียมไฮดรอกไซด์

3.2 สารเคมีที่ใช้ในการดัดแปลงสารซัลฟิวไดอิโอดีออกซิเดชัน

- โซเดียมไฮปอคลอไรต์ (sodium hypochlorite)
- โซเดียมไฮดรอกไซด์
- กรดซัลฟูริก

3.3 สารเคมีที่ใช้ในการดัดแปลงสารซัลฟิวไดอิโอดีการเชื่อมข้าม

- โซเดียมไตรเมต้าฟอสเฟต (sodium trimetaphosphate)
- โซเดียมไฮดรอกไซด์
- โซเดียมคาร์บอนเนต
- กรดไฮดรคลอริก

3.4 สารเคมีที่ใช้ในการรีเคราะห์ปริมาณอะไมโลส

- อะไมโลสบริสุทธิ์จากมันฝรั่ง
- เอทานอล 95%
- โซเดียมไฮดรอกไซด์
- กรดแกลเชียลอะซิติก
- ไอโอดีน
- โพแทสเซียมไอโอดีด

3.5 สารเคมีที่ใช้ในการรีเคราะห์ปริมาณคาร์บอไฮเดรตทั้งหมดภายหลังถูกย่อยด้วยเอนไซม์แอลฟะอะไมเลส

3.5.1 สารเคมีที่ใช้ในการรีเคราะห์แอคติวิตี้ของเอนไซม์

- โซเดียมไฮดรอกไซด์
- โซเดียมคลอไรด์
- โซเดียมฟอสฟ์มอนอบาซิกเอนไฮดรัส (sodium phosphate monobasic anhydrous)

- สตาร์ชมันฝรั่งที่ละลายน้ำได้
- โซเดียมโพแทสเซียมทาเรต (sodium potassium tartrate)
- กรดไดโนตรชาลิกไซลิก (dinitrosalicylic acid)
- น้ำตาลมอลติสมาร์จูน
- น้ำดีไอโอดีน (deionized water)
- เอ็นไซม์แอลฟ้าอะไมเลสจากตับอ่อนของสุกร (Alpha-amylase from porcine pancreatic suspension in 2.9 M NaCl solution containing 3 mM CaCl₂) (Sigma aldrich chemical, GmbH, Germany)

3.5.2 สารเคมีที่ใช้ในการวิเคราะห์ความสามารถในการถูกย่อยด้วยเอนไซม์

- โซเดียมไสเดอกไซด์
- โซเดียมคลอไรด์
- โซเดียมฟอสเฟตโมโนเบสิกแคนไฮดรัส (sodium phosphate monobasic anhydrous)
- เอทานอล 95%
- เอ็นไซม์แอลฟ้าอะไมเลสจากตับอ่อนของสุกร (Alpha-amylase from porcine pancreatic suspension in 2.9 M NaCl solution containing 3 mM CaCl₂) (Sigma aldrich chemical, GmbH, Germany)

3.5.3 สารเคมีที่ใช้ในการวิเคราะห์ปริมาณคาร์บอโนเดคต์ทั้งหมด

- น้ำตาลกลูโคสมาร์จูน
- พินอล
- กรดซัลฟูริก

3.6 สารเคมีที่ใช้ในการวิเคราะห์ปริมาณฟอสฟอรัส

- แอมโมเนียมมอลบเดต (ammonium molybdate)

- แอมโมเนียมวานาเดต (ammonium vanadate)
- โพแทสเซียมไนโตรเจนฟอสเฟต (potassium dihydrogen phosphate)
- กรดไฮโดรคลอริก
- กรดไนต์ริก

3.7 สารเคมีที่ใช้ในการวิเคราะห์ปริมาณหมู่คาร์บอนิลและหมู่คาร์บออกซิล

- โซเดียมไฮดรอกไซด์
- กรดไฮโดรคลอริก
- โพแทสเซียมไฮดรเจนทาเลต (potassium hydrogen phthalate)
- พีโนลฟทาลีน
- ไฮดรอกซิลอะมีนไฮดรคลอไรด์ (hydroxylamine hydrochloride)

4. วิธีดำเนินการวิจัย

4.1 การผลิตสตาร์ชถั่วเขียวดัดแปร

4.1.1 การเตรียมสตาร์ชดัดแปรโดยวิธีการย่อยด้วยกรด

เตรียมของผสมน้ำกับสตาร์ชถั่วเขียวความเข้มข้นร้อยละ 35 (น้ำหนักต่อน้ำหนัก) เติมกรดไฮดรคลอริกให้มีความเข้มข้นของกรดร้อยละ 0.0, 0.5 และ 1.0 (ปริมาตรต่อน้ำหนัก) จากนั้นนำของผสมเข้าเครื่องเขย่าชั่งควบคุมอุณหภูมิที่ 40 และ 60 องศาเซลเซียส เมื่อครบกำหนดเวลา 1 ชั่วโมง ทำการหักให้เย็นอย่างรวดเร็ว ปรับพิเชชของของผสมให้เป็นกลางโดยใช้สารละลายโซเดียมไฮดรอกไซด์เข้มข้น 0.1 นอร์มอล ทำการกรองสลับกับการล้างด้วยน้ำกลัน 3 รอบ นำสตาร์ชที่ได้ไปอบแห้งที่อุณหภูมิ 60 องศาเซลเซียส นาน 18 ชั่วโมง ทำการบดแล้วร่อนด้วยตะกรงขนาด 35 เมซ

4.1.2 การเตรียมสตาร์ชดัดแปลงโดยวิธีอุกซิเดชัน (ดัดแปลงจาก Wang และ Wang, 2003)

เตรียมของผสมน้ำกับสตาร์ชถัวเฉี่ยวกว่าความเข้มข้นร้อยละ 35 (น้ำหนักต่อน้ำหนัก) จำนวน 200 กรัม และปรับให้ของผสมมีค่าพีเอชประมาณ 9.5 ด้วยสารละลายโซเดียมไฮดรอกไซด์เข้มข้น 2 นอร์มอล จากนั้นค่อยๆเติมโซเดียมไฮโปคลอไรท์ 0, 20, 40, 60 และ 80 กรัม ตามต้องการ เพื่อให้มีแอกทิพคลอรีน 0.0, 0.5, 1.0, 1.5 และ 2.0% (น้ำหนักต่อน้ำหนัก) ตามลำดับ อย่างช้าๆ ภายในเวลา 30 นาที โดยต้องควบคุมอุณหภูมิให้อยู่ประมาณ 35 องศาเซลเซียส และควบคุมให้มีค่าพีเอชประมาณ 9.5 ด้วยสารละลายกรดซัลฟูริกเข้มข้น 1 นอร์มอล หลังจากเติมโซเดียมไฮโปคลอไรท์หมด ควบคุมพีเอชของของผสมให้มีค่าประมาณ 9.5 ด้วยสารละลายโซเดียมไฮดรอกไซด์เข้มข้น 1 นอร์มอล ต่อไปอีกเป็นเวลา 50 นาที จากนั้นปรับให้พีเอชของของผสมเป็นกลางด้วยสารละลายกรดไฮโดรคลอริกเข้มข้น 1 นอร์มอล ทำการกรองสลับกับการล้างด้วยน้ำกลั่น 3 รอบ แล้วนำสตาร์ชที่ได้ไปอบแห้งที่อุณหภูมิ 40 องศาเซลเซียส เป็นเวลา 48 ชั่วโมง ทำการบดแล้วร่อนผ่านตะเกียงขนาด 35 เมซ

4.1.3 การเตรียมสตาร์ชดัดแปลงโดยวิธีการเชื่อมข้าม (ดัดแปลงจาก Atichokudomchai และ Varavinit, 2003)

เตรียมสารละลายโซเดียมไฮดรอกไซด์ที่มีความเข้มข้นตามต้องการร้อยละ 0.0, 5.0, 10.0 หรือ 15.0 ปริมาตร 600 มิลลิลิตร จากนั้นเติมโซเดียมไฮดรอกไซด์ 1.8 กรัม และโซเดียมคาร์บอเนต 9 กรัม เติมสตาร์ชถัวเฉี่ยวน้ำ 300 กรัม (น้ำหนักแห้ง) กรณีที่อุณหภูมิห้อง 3 ชั่วโมง จากนั้นปรับให้ของผสมมีค่าพีเอช 6.5 ด้วยสารละลายกรดไฮโดรคลอริกเข้มข้น 0.2 นอร์มอล ทำการกรองสลับกับการล้างด้วยน้ำกลั่น 3 รอบ นำสตาร์ชที่ได้ไปอบแห้งที่อุณหภูมิ 60 องศาเซลเซียส เป็นเวลา 18 ชั่วโมง ทำการบด แล้วร่อนด้วยตะเกียงขนาด 35 เมซ

4.2 การตรวจสอบคุณสมบติของสตาร์ชถัวเฉี่ยวน้ำ

สตาร์ชถัวเฉี่ยวน้ำที่ไม่ผ่านการดัดแปลง (native) และสตาร์ชถัวเฉี่ยวดัดแปลงจะผ่านการตรวจสอบและวิเคราะห์คุณสมบติ (ภาคผนวก ก) ดังต่อไปนี้

- 4.2.1 ปริมาณความชื้น ด้วยการอบแห้ง (AOAC, 1990)
- 4.2.2 ลักษณะปูรากว่าทางสัณฐาน ด้วยกล้องจุลทรรศน์แบบส่องกราด (Scanning Electron Microscope, SEM) (Walker, 1976)
- 4.2.3 ค่าสี ด้วยเครื่อง colorimeter (Nollet, 1996)
- 4.2.4 ปริมาณอะมิโนไลซ์ (Juliano, 1971)
- 4.2.5 โครงสร้างผลึกภายในเม็ดสตาร์ช ด้วยเครื่อง X-ray Diffractometer (Cheetham และ Tao, 1998)
- 4.2.6 พฤติกรรมการเปลี่ยนแปลงความหนืด ด้วยเครื่อง Rapid Visco Analyzer (RVA) (Newport Scientific Pty, Ltd., 1995)
- 4.2.7 การเปลี่ยนแปลงเชิงความร้อน ด้วยเครื่อง Differential Scanning Calorimeter (DSC) (ดัดแปลงจากกล้าวนรงค์ และเกี้กอุ่ล, 2543)
- 4.2.8 ความคงตัวต่อการย่อยด้วยเอนไซม์ (susceptibility to enzyme digestion) โดยการวิเคราะห์ปริมาณคาร์บอไฮเดรตทั้งหมด (Bernfeld, 1995, Li และคณะ, 2003 และ Dubois และคณะ, 1956)
- 4.2.9 การพองตัว และการละลาย (Leach และคณะ, 1959)
- 4.2.10 ความคงตัวต่อการแข็ง-ละลาย (ดัดแปลงจาก Jayati, Singhal และ Kulkarni, 2002)
- 4.2.11 ความแข็งแรงของเจล ด้วยเครื่อง Texture Analyzer
- 4.2.12 ปริมาณหมู่คาร์บอนิลและหมู่คาร์บออกซิล (เฉพาะสตาร์ชถั่วเขียวที่ผ่านการดัดแปลงโดยวิธีออกซิเดชัน) (Wang และ Wang, 2003)
- 4.2.13 ปริมาณฟอสฟอรัส (เฉพาะสตาร์ชถั่วเขียวที่ผ่านการดัดแปลงโดยการเชื่อมข้าม) (ดัดแปลงจาก Food analysis, 1998)

4.3 การวางแผนการทดลองและวิเคราะห์ข้อมูลทางสถิติ

ทำการวางแผนการทดลองแบบ Augmented Factorial Design (3x2+control) ใน การศึกษาสตาร์ชถั่วเขียวดัดแปลงโดยวิธีการย่อยด้วยกรด และวางแผนการทดลองแบบ Complete Randomized Design (CRD) ในการศึกษาสตาร์ชถั่วเขียวดัดแปลงโดยวิธีออกซิเดชัน และการ เชื่อมข้าม ทำการทดลอง 2 ชั้น วิเคราะห์ข้อมูลทางสถิติด้วยโปรแกรมสำหรับจูป Statistical

Analysis System (SAS) Version 8.1 (SAS Institute Inc., Cary, NC, USA) และเปรียบเทียบความแตกต่างโดยใช้ The Least Significant Difference (LSD) ที่ระดับความเชื่อมั่นร้อยละ 95

บทที่ 4

ผลการทดลองและการวิจารณ์

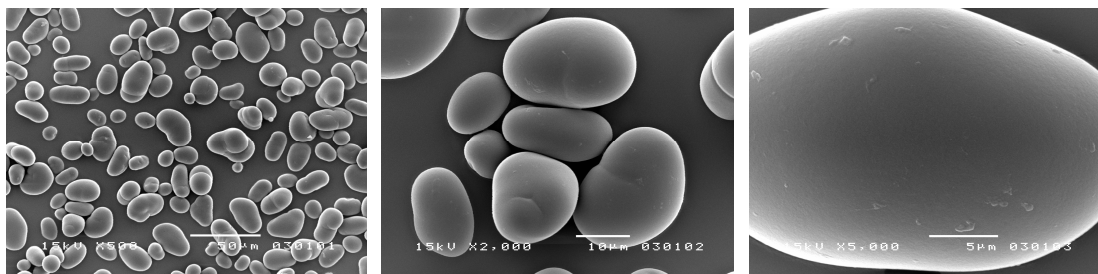
1. การตัดแปร์สตราชถั่วเขียวโดยการย่อยด้วยกรด

1.1 ผลของการตัดแปร์สตราชถั่วเขียวโดยลักษณะปรากฏทางสัณฐานวิทยาของสตราชถั่วเขียว

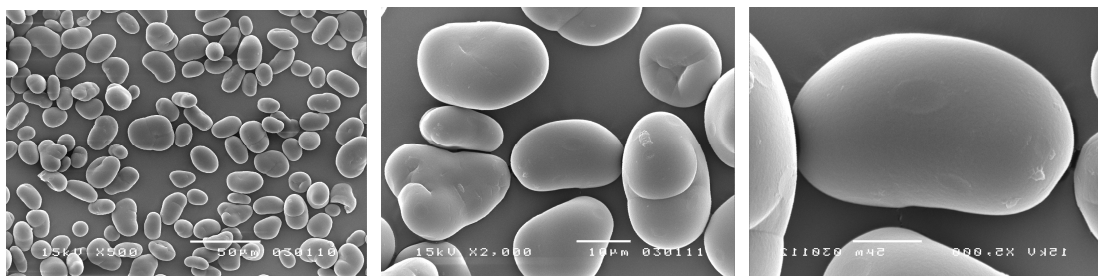
ภาพถ่ายจากกล้องจุลทรรศน์อิเลคตรอนแบบส่องกราด (Scanning Electron Microscope, SEM) ของสตราชถั่วเขียวที่ไม่ผ่านการตัดแปร์ (native starch) และตัดแปร์โดยการย่อยด้วยกรดที่ อุณหภูมิ 40 และ 60 องศาเซลเซียส ระดับของกรดไฮโดรคลอริก 0.0 และ 1.0% ดังแสดงในภาพที่ 14 และ 15 ตามลำดับ

จากภาพที่ 14 พบร่วมกันว่าสตราชถั่วเขียวที่ไม่ผ่านการตัดแปร์มีลักษณะรูปร่างหลายแบบ ได้แก่ กลม กลมรี ไปจนถึงมีลักษณะคล้ายไต และมีขนาดที่แตกต่างกัน โดยเม็ดสตราชที่มีรูปร่างกลมจะ มีขนาดเล็ก เม็ดสตราชที่มีรูปร่าง กลมรี และคล้ายไตจะมีขนาดใหญ่ เม็ดสตราชบางเม็ดจะมีร่อง ซึ่งจะพร่องในเม็ดสตราชขนาดใหญ่มากกว่าเม็ดสตราชขนาดเล็ก โดยเม็ดสตราชจะกระจายตัว อยู่แบบเม็ดเดี่ยว ไม่มีการจับเป็นกลุ่มก้อน

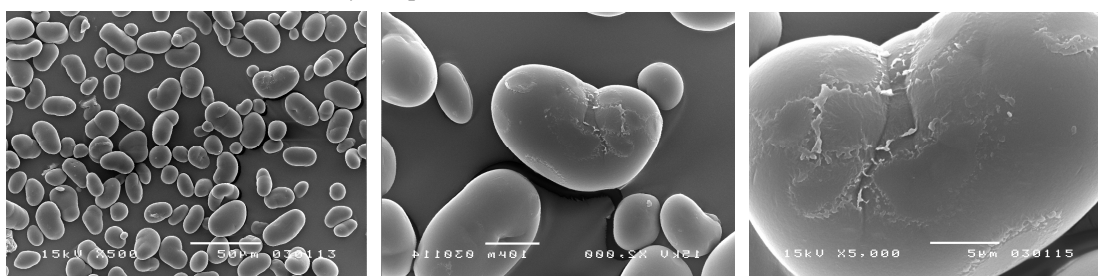
จากภาพที่ 14 และ 15 พบร่วมกันว่าภายหลังการตัดแปร์สตราชถั่วเขียวด้วยการย่อยด้วยกรด บริเวณผิวของเม็ดสตราชมีรอยของการถูกย่อย เมื่อความเข้มข้นของกรดไฮโดรคลอริกเพิ่มขึ้น จะพบรอยที่ถูกย่อยเพิ่มขึ้นด้วย ผลที่ได้สอดคล้องกับการทดลองของ วัชร์รุสา และลัดดาวัลย์ (2548); Atichokudomchai และ Varavinit (2003) ซึ่งแสดงให้เห็นว่ากรดจะเข้าไปย่อยสลายที่เป็น กลุ่มสัณฐาน โดยเฉพาะจะไม่ละลายเม็ดสตราช



สตาร์ชที่ไม่ผ่านการตัดแพร

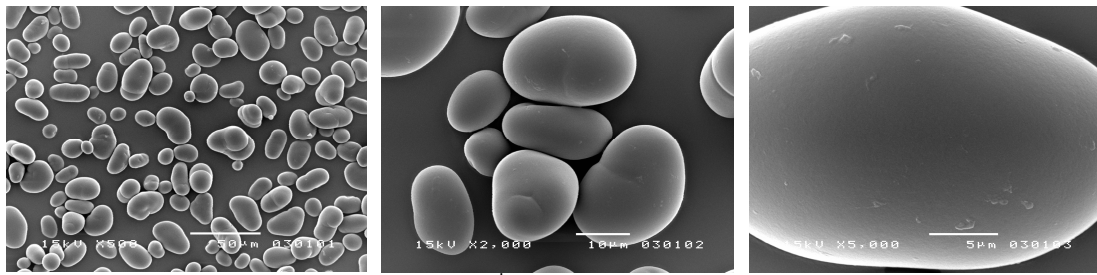


สตาร์ชตัดแพรที่อุณหภูมิ 40 องศาเซลเซียส ความเข้มข้นของกรด 0.0%

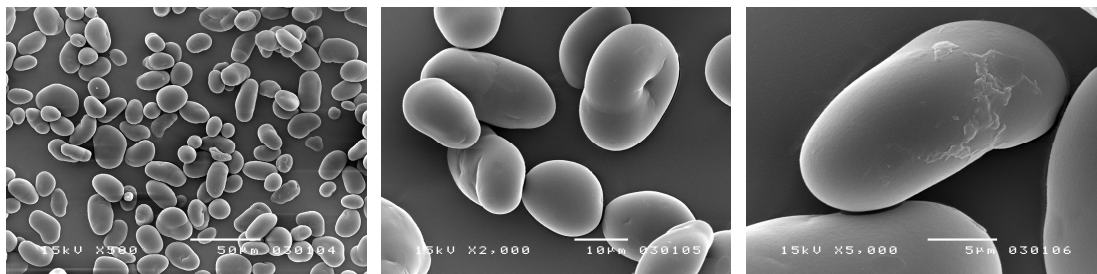


สตาร์ชตัดแพรที่อุณหภูมิ 40 องศาเซลเซียส ความเข้มข้นของกรด 1.0%

ภาพที่ 14 ภาพถ่ายจากกล้องจุลทรรศน์อิเลคตรอนแบบส่องการดัดแปลงลักษณะปูากฎทางสันฐานของสตาร์ชถัวเขียวที่ไม่ผ่านและผ่านการตัดแพรโดยการย่อยด้วยกรด อุณหภูมิ 40 องศาเซลเซียส ที่กำลังขยาย 170, 650 และ 1,700 เท่า ตามลำดับ (จากซ้ายไปขวา)



สตาร์ชที่ไม่ผ่านการดัดแปลง



สตาร์ชดัดแปลงที่อุณหภูมิ 60 องศาเซลเซียส ความเข้มข้นของกรด 0.0%



สตาร์ชดัดแปลงที่อุณหภูมิ 60 องศาเซลเซียส ความเข้มข้นของกรด 1.0%

ภาพที่ 15 ภาพถ่ายจากกล้องจุลทรรศน์อิเลคตรอนแบบส่องการดัดแปลงลักษณะปรากฏทางสัมผัสของสตาร์ชถ้าเขียวที่ไม่ผ่านและผ่านการดัดแปลงโดยการย่อยด้วยกรด อุณหภูมิ 60 องศาเซลเซียส ที่กำลังขยาย 170, 650 และ 1,700 เท่า ตามลำดับ (จากซ้ายไปขวา)

1.2 ผลของการดัดแปลงต่อค่าสีของสตาร์ชถ้าเขียว

ค่าสีที่วัดจากเครื่องวัดสีของสตาร์ชถ้าเขียวที่ไม่ผ่านและผ่านการดัดแปลงโดยการย่อยด้วยกรดแสดงไว้ในตารางที่ 4 ค่า L^* เป็นค่าที่แสดงถึงความสว่าง มีค่าอยู่ในช่วง 0-100 โดยที่ 0 แสดงถึงสีดำ และ 100 แสดงถึงสีขาว $+a^*$ แสดงความเป็นสีแดง $-a^*$ แสดงความเป็นสีเขียว $+b^*$ แสดงความเป็นสีเหลือง และ $-b^*$ แสดงความเป็นสีน้ำเงิน

จากการวิเคราะห์ทางสถิติพบว่าปัจจัยร่วมระหว่างอุณหภูมิและความเข้มข้นของกรดไออกซิไดคลอริกที่ใช้ในการดัดแปลงมีอิทธิพลต่อค่า L^* , a^* และ b^* อย่างมีนัยสำคัญทางสถิติ ซึ่งจากการ

ทดลองพบว่าสตาร์ชถัวเรียบที่ไม่ผ่านการดัดแปลงมีค่า L* เท่ากับ 78.22 a* เท่ากับ 0.36 และ b* เท่ากับ 1.95 สตาร์ชที่ผ่านการดัดแปลงมีค่า L* อยู่ระหว่าง 77.94-80.85 โดยสตาร์ชที่ดัดแปลงที่อุณหภูมิ 60 องศาเซลเซียส ความเข้มข้นของกรดไฮโดรคลอริก 0.5% มีค่าความขาวสูงสุด เมื่อสตาร์ชผ่านการย่อยด้วยกรดพบว่าจะมีค่า a* ลดลง ยกเว้นสตาร์ชที่ผ่านการดัดแปลงที่อุณหภูมิ 60 องศาเซลเซียส ความเข้มข้นของกรด 1.0% ที่มีค่า a* เพิ่มมากขึ้น สตาร์ชย่อยด้วยกรด มีค่า b* เพิ่มมากขึ้น โดยสตาร์ชที่ดัดแปลงที่อุณหภูมิ 40 องศาเซลเซียส ความเข้มข้นของกรด 0.5% มีค่า b* มากที่สุด ซึ่งรัฐสูตร และลัดดาวัลย์ (2548) รายงานว่าการดัดแปลงสตาร์ชข้าวเจ้าโดยการย่อยด้วยกรด ไม่ส่งผลต่อค่า L* และ a* แต่จะทำให้ค่า b* เพิ่มขึ้น

ตารางที่ 4 ค่าสีของสตาร์ชถัวเรียบที่ไม่ผ่านการดัดแปลงและผ่านการดัดแปลงโดยการย่อยด้วยกรด

ตัวอย่าง	ค่าสี		
	L*	a*	b*
native starch	78.22 ± 0.01 ^d	0.36 ± 0.02 ^b	1.95 ± 0.02 ^d
AT-40-CT	77.94 ± 0.08 ^d	0.16 ± 0.02 ^e	2.25 ± 0.73 ^c
AT-40-0.5	78.09 ± 0.34 ^d	0.06 ± 0.03 ^f	2.94 ± 0.26 ^a
AT-40-1.0	78.73 ± 0.31 ^c	0.26 ± 0.03 ^c	2.44 ± 0.04 ^b
AT-60-CT	79.74 ± 0.03 ^b	-0.02 ± 0.03 ^f	2.41 ± 0.01 ^b
AT-60-0.5	80.85 ± 0.31 ^a	0.21 ± 0.03 ^d	2.45 ± 0.08 ^b
AT-60-1.0	78.12 ± 0.70 ^d	0.43 ± 0.04 ^a	2.51 ± 0.09 ^b

a,...,f = ตัวเลขที่มีตัวอักษรกำกับเหมือนกันในคอลัมน์เดียวกันคือไม่มีความแตกต่างอย่างมีนัยสำคัญทางสถิติที่ระดับความเชื่อมั่นร้อยละ 95 ในตารางคือค่าเฉลี่ย ± SD (n=2)

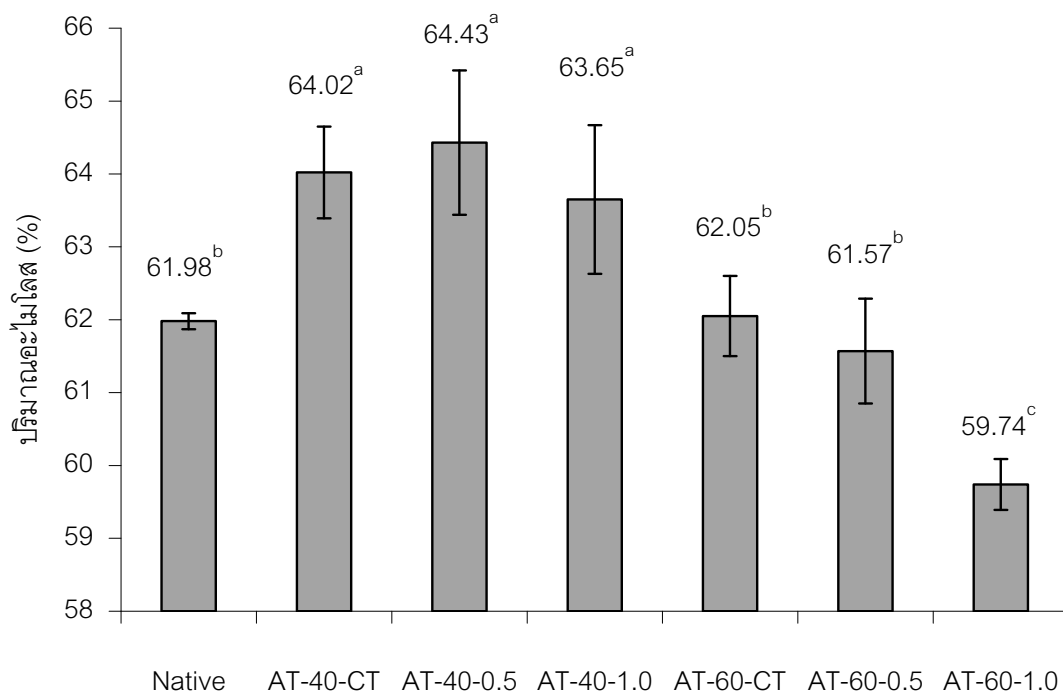
1.3 ผลของการดัดแปลงต่อปริมาณอะไมโลสของสตาร์ชถัวเรียบ

การหาปริมาณอะไมโลสเพื่อตรวจสอบการสลายตัวของไมเลกุลสตาร์ชที่มีขนาดใหญ่เป็นไมเลกุลที่มีขนาดเล็กลง โดยอาศัยการที่อะไมโลสสามารถรวมตัวเป็นสารประกอบเชิงชั้นกับ

ไอโอดีน โดยอะไมโลสจะไปพันเป็นเกลียวล้อมรอบไอโอดีน (Galliard และ Bowler, 1987) ซึ่งจะให้สีน้ำเงิน และสามารถค่าการดูดกลืนแสงที่ความยาวคลื่น 620 นาโนเมตรได้

จากผลการวิเคราะห์ทางสถิติพบว่าปัจจัยร่วมระหว่างอุณหภูมิและความเข้มข้นของกรดไฮโดรคลอริกที่ใช้ในการตัดแปรมีผลต่อปริมาณอะไมโลสอย่างมีนัยสำคัญทางสถิติ ผลการทดลองการหาปริมาณอะไมโลสของสถาาร์ชถัวเฉียวนี้ไม่ผ่านและผ่านการตัดแปรโดยย่อโดยด้วยกรด ดังแสดงในภาพที่ 16 และตารางที่ 17 พบร่วมกับสถาาร์ชถัวเฉียวนี้ไม่ผ่านการตัดแปรมีปริมาณอะไมโลสอยู่ร้อยละ 61.98 ซึ่งเป็นปริมาณที่สูงมากเมื่อเทียบกับสถาาร์ชถัวเฉียวนายางานอื่นๆ ที่มีอะไมโลสร้อยละ 30.7 (Kasemsuwan, Bailey และ Jane, 1998) หรือร้อยละ 32.7-34.3 (Liu และ Shen, 2007a และ Liu และ Shen, 2007b) อาจเนื่องมาจากการผลิตหรือสารเคมีที่ใช้ในการสกัดโปรดีนจึงส่งผลให้ปริมาณอะไมโลสสูงกว่ารายงานอื่นๆ หรืออาจเกิดจากอะไมโลสเพกตินที่มีสายยวากิดการรวมเป็นสารประกอบเชิงช้อนกับไอโอดีนจึงส่งผลให้ปริมาณอะไมโลสที่วัดได้มีค่าสูง (Kasemsuwan, Bailey และ Jane, 1998)

หลังผ่านการตัดแปรโดยการย่อยด้วยกรดที่อุณหภูมิ 40 องศาเซลเซียส พบร่วมกับปริมาณอะไมโลสได้เพิ่มมากขึ้น เนื่องจากการย่อยด้วยกรดจะส่งผลให้โมเลกุลของสถาาร์ชถูกตัดให้สั้นลง หรือทำการตัดส่วนที่เชื่อมต่อกันในโครงผลึกให้เกิดเป็นเส้นตรงเพิ่มมากขึ้น (Gunaratne และ Corke, 2007) ส่วนการตัดแปรที่อุณหภูมิ 60 องศาเซลเซียส พบร่วมกับปริมาณอะไมโลสลดลงเมื่อความเข้มข้นของกรดเท่ากับ 1.0% ซึ่ง Lawal (2004) กล่าวว่าปริมาณอะไมโลสจะลดลงหากใช้ระดับของการตัดแปรที่สูง อาจเนื่องมาจากกรดได้ตัดสายสถาาร์ชจนมีขนาดสั้นเกินกว่าที่จะสามารถรวมเป็นสารประกอบเชิงช้อนกับไอโอดีนได้



ภาพที่ 16 ปริมาณของชั้นในของสตาร์ชถั่วเขียวที่ไม่ผ่านและผ่านการดัดแปลงการย่อยด้วยกรด

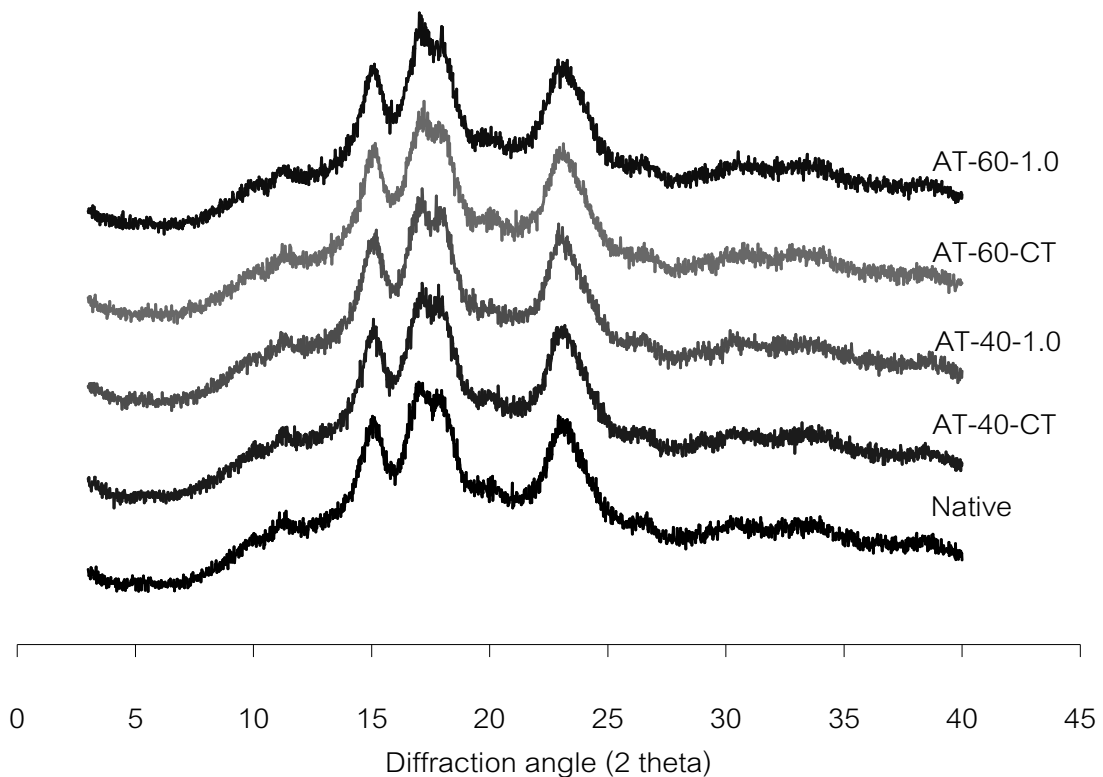
1.4 ผลของการดัดแปลงต่อโครงสร้างผลึกของสตาร์ชถั่วเขียว

ผลการวิเคราะห์โครงสร้างผลึกของสตาร์ชถั่วเขียวที่ไม่ผ่านและผ่านการดัดแปลงการย่อยด้วยกรด เมื่อวิเคราะห์ด้วยเครื่อง X-ray diffractometer ซึ่งทำการสแกนที่มุม 2θ เท่ากับ 3-40 องศา และแสดงไว้ในภาพที่ 17 และผลการคำนวนร้อยละความเป็นผลึกจากพื้นที่ได้กราฟ X-ray diffraction และแสดงไว้ในตารางที่ 18

สตาร์ชถั่วเขียวที่ไม่ผ่านการดัดแปลงมีโครงสร้างผลึกเป็นแบบ A ซึ่งมีพีคหลักปรากฏอยู่ 3 พีค คือที่ตำแหน่ง 2θ เท่ากับ 15 องศา สองพีคเชื่อมกันที่ 17 และ 18 องศา และพีคสุดท้ายที่ 23 องศา ซึ่งผลที่ได้สอดคล้องกับผลของ Liu และ Shen (2007b) สตาร์ชถั่วเขียวที่ไม่ผ่านการดัดแปลง มีร้อยละความเป็นผลึกเท่ากับ 51.84

หลังจากการดัดแปลงด้วยกรด พบร่วมสตาร์ชยังคงมีโครงสร้างเป็นแบบ A แต่จะส่งผลให้ความเข้มของพีคที่ตำแหน่ง 2θ เท่ากับ 17 และ 18 องศา เพิ่มสูงขึ้น และมีร้อยละความเป็นผลึกเพิ่มขึ้นเล็กน้อย

ในการย่ออยด้วยกรดจะไปย่ออยสายสตาร์ชในส่วนอสัณฐานให้มีสายลันลง ทำให้มีความสามารถในการเคลื่อนที่สูงขึ้น จึงง่ายต่อการจัดเรียงโครงสร้างผลึก (Lawal และคณะ, 2005) ซึ่งผลที่ได้สอดคล้องกับการทดลองในสตาร์ชข้าวโพดที่มีปริมาณอะไมโลสูง (Chung, Jeong และ Lim, 2003) สตาร์ชนิวโคโโคแยม (Lawal, 2004) สตาร์ชไนส์แยม (Wang และคณะ, 2007)



ภาพที่ 17 รูปแบบ X-ray diffraction ของสตาร์ชถั่วเขียวที่ไม่ผ่านและผ่านการดัดแปลงโดยการย่อด้วยกรด

1.5 ผลของการดัดแปลงพฤติกรรมการเปลี่ยนแปลงความหนืดของสตาร์ชถั่วเขียว

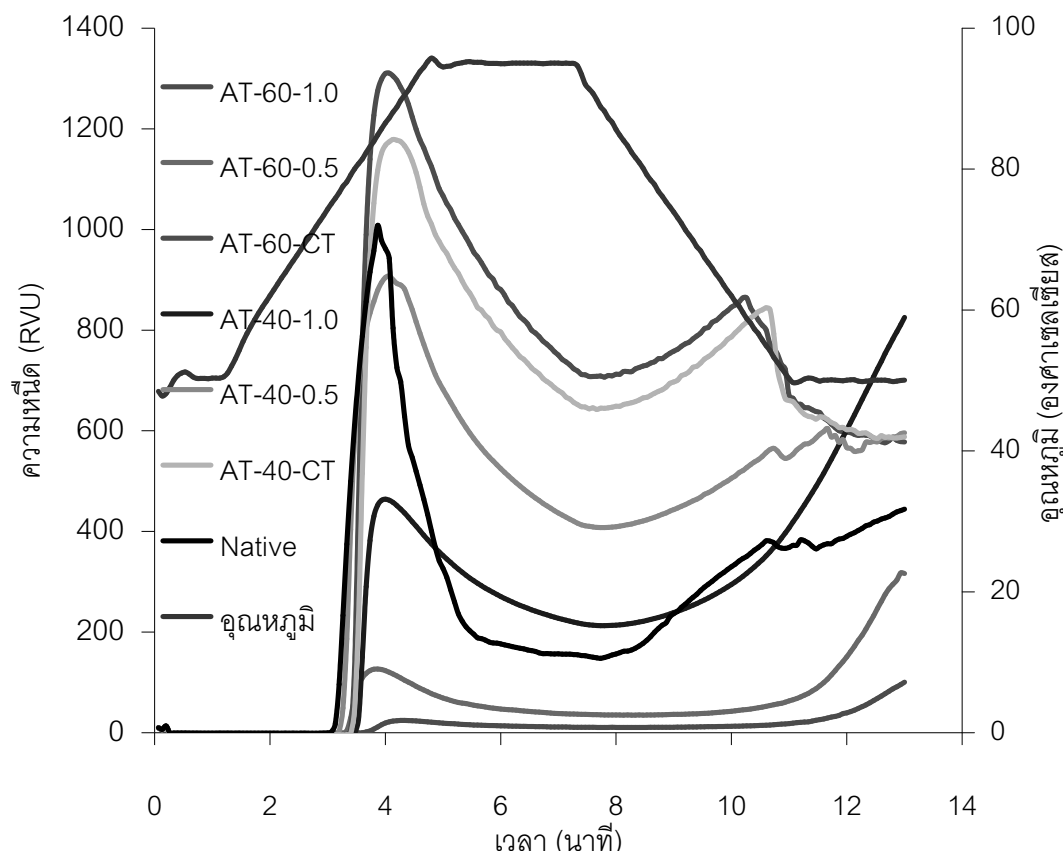
ผลการวิเคราะห์การเปลี่ยนแปลงความหนืดด้วยเครื่อง Rapid Visco Analyzer (RVA) ของสตาร์ชถั่วเขียวที่ไม่ผ่านและผ่านการดัดแปลงโดยการย่อด้วยกรด แสดงดังภาพที่ 18 และตารางที่ 5

จากการวิเคราะห์ผลทางสถิติพบว่าปัจจัยร่วมระหว่างอุณหภูมิและความเข้มข้นของกรดไฮโดรคลอริกที่ใช้ในการตัดแปรมีผลต่อการเปลี่ยนแปลงค่าความหนืดของสตาร์ชถัวเขียวดัดแปรอย่างมีนัยสำคัญทางสถิติ กล่าวคือ อิทธิพลของปัจจัยร่วมระหว่างอุณหภูมิและความเข้มข้นของกรดไฮโดรคลอริกมีผลต่อการเปลี่ยนแปลงค่าความหนืดของสตาร์ชถัวเขียวดัดแปรในทุกค่า ได้แก่ ค่าความหนืดสูงสุด (peak viscosity) ค่าความหนืดต่ำสุดเมื่อเริ่มการทำให้เย็น (trough) ผลต่างของค่าความหนืดสูงสุดกับความหนืดต่ำสุดเมื่อเริ่มการทำให้เย็นหรือเบรคดาวน์ (breakdown) ค่าความหนืดสุดท้าย (final viscosity) ผลต่างของค่าความหนืดสุดท้ายกับความหนืดต่ำสุดเมื่อเริ่มการทำให้เย็นหรือเซ็ตแบค (setback) อุณหภูมิเริ่มเกิดความหนืด (pasting temperature) และเวลาที่เกิดความหนืดสูงสุด (peak time) และพบว่าปัจจัยเดี่ยว ได้แก่ ความเข้มข้นของกรดไม่ส่งผลต่อค่าความหนืดต่ำสุดเมื่อเริ่มการทำให้เย็น และอุณหภูมิไม่ส่งผลต่ออุณหภูมิเริ่มเกิดความหนืด

สตาร์ชถัวเขียวที่ไม่ผ่านการตัดแปรมีความหนืดสูงสุดเท่ากับ 1022 RVU และอุณหภูมิที่เริ่มเปลี่ยนแปลงความหนืดเท่ากับ 74.30 องศาเซลเซียส เมื่อผ่านการย่อยด้วยกรดพบว่า ความหนืดสูงสุด เบรคดาวน์ มีค่าลดลง และอุณหภูมิที่เริ่มเปลี่ยนแปลงความหนืดมีค่าสูงขึ้น ผลที่ได้ สอดคล้องกับ Sandhu, Singh และ Lim (2007) ค่าความหนืดที่ลดลงเกิดจากกรดไปตัดโมเลกุลของสตาร์ชให้มีขนาดสั้นลง และเกิดการย่อยในบริเวณส่วนที่เป็นอสังหาริมทรัพย์ ซึ่งเป็นการจัดเรียงผลึกในสายอะไมโลส ส่งผลให้ความหนืดเปลี่ยนแปลงไป เพราเสียเกลียวคู่ที่ไม่ถูกทำลายในระหว่างกระบวนการให้ความร้อนส่งผลในการต้านการพองตัวของสตาร์ช (Chung, Jeong และ Lim, 2003) ค่าความหนืดต่ำสุดเมื่อเริ่มการทำให้เย็นและค่าความหนืดสุดท้าย ที่อุณหภูมิ 40 องศาเซลเซียส มีค่าเพิ่มขึ้น ส่วนที่อุณหภูมิ 60 องศาเซลเซียส มีค่าลดลง สตาร์ชถัวเขียวที่ผ่านการตัดแปรโดยการย่อยด้วยกรดที่อุณหภูมิ 40 องศาเซลเซียส ความเข้มข้นของกรดไฮโดรคลอริก 1.0% มีค่าเซ็ตแบคมากที่สุด เวลาที่เกิดความหนืดสูงสุดมีค่าเพิ่มขึ้น ยกเว้นสตาร์ชที่ผ่านการตัดแปรที่อุณหภูมิ 60 องศาเซลเซียส ความเข้มข้นของกรด 0.5% ที่มีค่าไม่แตกต่างจากสตาร์ชที่ไม่ผ่านการตัดแปรอย่างมีนัยสำคัญทางสถิติ

จากการทดสอบการเปลี่ยนแปลงความหนืด จะพบว่าสตาร์ชถัวเขียวที่ผ่านการตัดแปรโดยการย่อยด้วยกรดที่อุณหภูมิ 40 และ 60 องศาเซลเซียส ความเข้มข้นของกรดไฮโดรคลอริก 0.0% (control) เมื่อผ่านช่วงให้ความเย็นบริเวณส่วนท้ายของกราฟจะมีการลดลงของค่าความหนืดเนื่องมาจากการสตาร์ชเกิดเป็นเจลที่แข็งแรงมากจึงส่งผลให้เมื่อทำการวน เจลสตาร์ชได้แตก

ออกเป็นช่องว่างและมีชิ้นของเจลสตาร์ซึ่งเมื่อสัมผัสกับไบพัคแล้วจะส่งผลให้กราฟมีค่าความหนึ่ดลงลด



ภาพที่ 18 การเปลี่ยนแปลงความหนืดจากการวิเคราะห์ด้วยเครื่อง RVA ของสตาร์ซั่วเขียวที่ไม่ผ่านและผ่านการตัดแบนโดยการย่ออยด้วยกรด ที่อุณหภูมิ 40 และ 60 องศาเซลเซียส ความเข้มข้นของกรดไฮโดรคลอริก 0.0, 0.5 และ 1.0%

ตารางที่ 5 ค่าการเปลี่ยนแปลงความหนืดจากการวิเคราะห์ด้วยเครื่อง RVA ของสตาร์ชถั่วเขียวที่ไม่ผ่านและผ่านการตัดแบบโดยการปอกด้วยกรด

ตัวอย่าง	Peak (RVU)	Trough (RVU)	Breakdown (RVU)	Final viscosity (RVU)	Setback (RVU)	Peak time (min)	Pasting temp. (°C)
Native starch	1022.92 ± 6.61 ^c	146.89 ± 8.30 ^d	876.03 ± 8.17 ^a	444.31 ± 91.96 ^c	297.42 ± 83.72 ^b	3.94 ± 0.12 ^d	74.30 ± 0.05 ^f
AT-40-CT	1180.01 ± 17.43 ^b	598.49 ± 42.92 ^a	581.53 ± 44.26 ^c	588.04 ± 43.16 ^b	10.45 ± 26.11 ^e	4.19 ± 0.07 ^b	79.63 ± 0.46 ^c
AT-40-0.5	907.99 ± 44.04 ^d	407.67 ± 7.62 ^b	500.37 ± 48.46 ^d	595.90 ± 51.96 ^b	188.24 ± 46.65 ^c	4.05 ± 0.04 ^c	77.09 ± 0.64 ^e
AT-40-1.0	464.50 ± 6.61 ^e	212.59 ± 10.47 ^c	251.92 ± 15.71 ^e	825.34 ± 54.31 ^a	612.75 ± 47.13 ^a	4.00 ± 0.04 ^{cd}	80.43 ± 0.70 ^b
AT-60-CT	1311.28 ± 18.13 ^a	596.50 ± 17.42 ^a	714.78 ± 31.16 ^b	577.89 ± 28.33 ^b	18.59 ± 23.77 ^e	4.06 ± 0.05 ^c	78.29 ± 0.51 ^d
AT-60-0.5	126.70 ± 10.44 ^f	34.88 ± 4.82 ^e	91.82 ± 6.47 ^f	316.30 ± 37.98 ^d	281.49 ± 34.73 ^b	3.85 ± 0.04 ^e	77.38 ± 0.34 ^e
AT-60-1.0	24.74 ± 1.55 ^g	10.17 ± 1.12 ^f	14.57 ± 0.76 ^g	100.64 ± 3.90 ^e	90.49 ± 4.51 ^d	4.31 ± 0.05 ^a	82.27 ± 1.03 ^a

a,...,g = ตัวเลขที่มีตัวอักษรกำกับเหมือนกันในคอลัมน์เดียวกันคือไม่มีความแตกต่างอย่างมีนัยสำคัญทางสถิติที่ระดับความเชื่อมั่นร้อยละ

95 ค่าในตารางคือ ค่าเฉลี่ย ± SD (n=2)

1.6 ผลของการดัดแปลงต่อการเปลี่ยนแปลงเชิงความร้อนในการเกิดเจลาตีในเซชันของสตาร์ชถั่วเขียว

ผลการวิเคราะห์การเปลี่ยนแปลงเชิงความร้อน ได้แก่ อุณหภูมิเริ่มเกิดเจลาตีในเซชัน (onset temperature, T_O) อุณหภูมิที่เกิดการเปลี่ยนแปลงสูงสุด (peak temperature, T_P) อุณหภูมิสุดท้ายในการเกิดเจลาตีในเซชัน (conclusion temperature, T_C) ช่วงอุณหภูมิในการเกิดเจลาตีในเซชันของสตาร์ชถั่วเขียวที่ไม่ผ่านและผ่านการดัดแปลงโดยการย่อยด้วยกรดด้วยเครื่อง Differential Scanning Calorimeter (DSC) แสดงดังภาพที่ 19 และตารางที่ 6

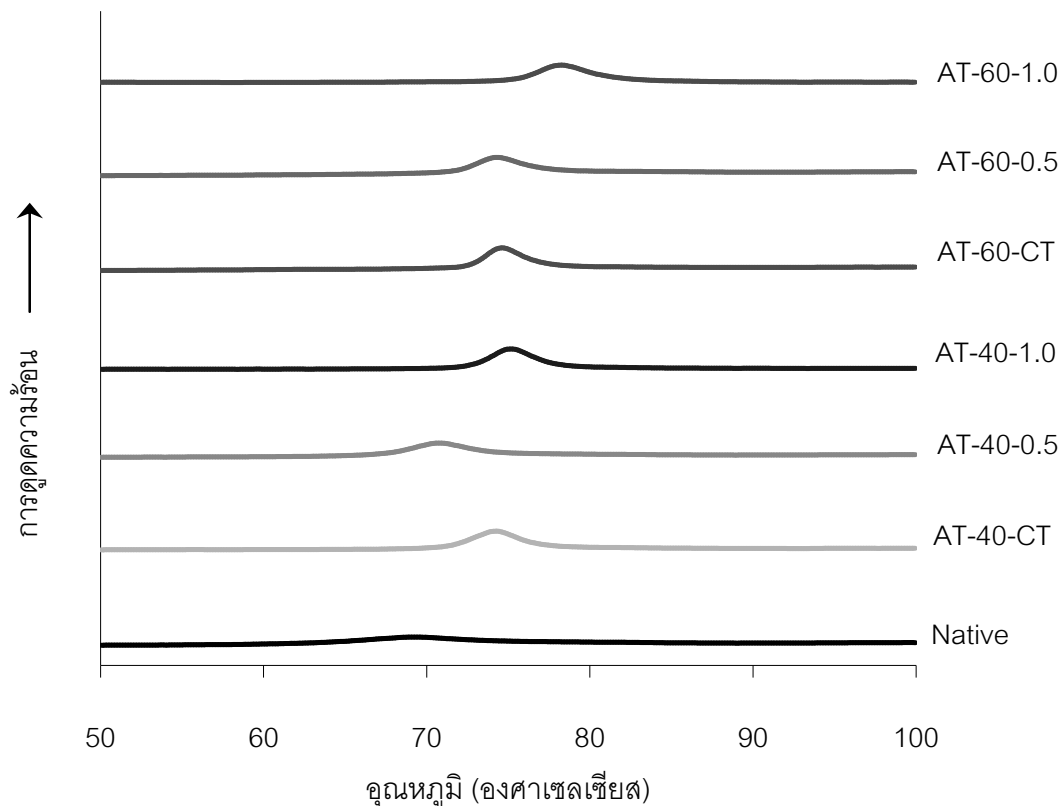
จากการวิเคราะห์ผลทางสถิติพบว่าปัจจัยร่วมระหว่างอุณหภูมิและความเข้มข้นของกรดไฮโดรคลอริกที่ใช้ในการดัดแปลงมีผลต่อ T_O , T_P และ T_C ส่วนปัจจัยเดียวคือ อุณหภูมิที่ใช้ในการดัดแปลงไม่ส่งผลต่อ T_O , T_P , T_C , T_C-T_O และ ΔH อย่างมีนัยสำคัญทางสถิติ

สตาร์ชถั่วเขียวที่ไม่ผ่านการดัดแปลง T_O เท่ากับ 68.91 องศาเซลเซียส T_P เท่ากับ 62.74 องศาเซลเซียส T_C เท่ากับ 75.35 องศาเซลเซียส T_C-T_O เท่ากับ 12.61 องศาเซลเซียส และ ΔH เท่ากับ 12.61 จูลต่อกรัม หลังจากผ่านการดัดแปลงโดยการย่อยด้วยกรดพบว่า T_O , T_P และ T_C มีค่าเพิ่มขึ้น ยกเว้นสตาร์ชย่อยด้วยกรดที่อุณหภูมิ 40 องศาเซลเซียส ความเข้มข้นของกรด 0.5% ที่มีค่า T_C ไม่ต่างจากสตาร์ชที่ไม่ผ่านการดัดแปลง ส่วน T_C-T_O มีค่าลดลง ซึ่งสอดคล้องกับการทดลองของ Gunaratne และ Corke (2007); Lawal และ Adebawale (2005); Lawal (2004) ที่พบว่า T_O , T_P และ T_C มีค่าเพิ่มขึ้น ส่วน T_C-T_O มีค่าลดลง

จากการทดลองพบว่า ΔH ไม่แตกต่างอย่างมีนัยสำคัญจากสตาร์ชที่ไม่ผ่านการดัดแปลงยกเว้นสตาร์ชย่อยด้วยกรดที่อุณหภูมิ 60 องศาเซลเซียส ความเข้มข้นของกรด 1.0% ซึ่งมีค่า ΔH เพิ่มขึ้น โดยมีแนวโน้มว่าจะมีค่า ΔH จะเพิ่มขึ้นเมื่อระดับการดัดแปลงสูงขึ้น ซึ่งผลที่ได้สอดคล้องกับการรายงานของ Gunaratne และ Corke (2007); Lawal และ Adebawale (2005); Lawal (2004) ที่พบว่า ΔH จะเพิ่มขึ้นเมื่อสตาร์ชผ่านการย่อยด้วยกรด

Sandhu, Singh และ Lim (2007) ได้ศึกษาการดัดแปลงโดยการย่อยด้วยกรดในสตาร์ชข้าวโพด และข้าวโพดข้าวเหนียว พบร่วมสตาร์ชข้าวโพดที่ผ่านการย่อยด้วยกรดจะส่งผลให้ T_O , T_P และ T_C มีค่าเพิ่มขึ้น ส่วน T_C-T_O มีค่าลดลง แต่ในสตาร์ชข้าวโพดข้าวเหนียวจะให้ผลในทางตรงข้ามกัน ในขณะที่ ΔH ของสตาร์ชทั้งสองชนิดจะมีค่าลดลงเมื่อผ่านการย่อยด้วยกรด

Gunaratne และ Corke (2007) กล่าวว่ากรดจะเข้าไปอยู่ส่วนที่เป็นอสัณฐานมากกว่าส่วนที่เป็นผลึก ส่งผลให้เพิ่มปริมาณผลึก ทำให้อุณหภูมิในการเกิดเจลาร์ติในเชื้อนสูงขึ้น ส่วน ΔH ที่เพิ่มสูงขึ้นเกิดเนื่องจากการย่อยด้วยกรดจะส่งผลให้เกิดการสร้างสายสตาร์ชที่เป็นเกลียวคู่ระหว่างอะไมโลส-อะไมโลส และอะไมโลส-อะไมโลเพคตินเพิ่มมากขึ้น ส่งผลให้ส่วนที่เป็นผลึกเพิ่มมากขึ้น จึงต้องใช้พลังงานสูงขึ้นในการทำลายพันธะภายในเม็ดสตาร์ช



ภาพที่ 19 การเปลี่ยนแปลงเชิงความร้อนต่อการเกิดเจลาร์ติในเชื้อนของสตาร์ชถ้าเอียที่ไม่ผ่านและผ่านการตัดแป้งโดยการย่อยด้วยกรด

ตารางที่ 6 การเปลี่ยนแปลงเชิงความร้อนต่อการเกิดเจลาติในเซชันจากการวิเคราะห์ด้วยเครื่อง DSC ของสตาร์ชถั่วเขียวที่ไม่ผ่านและผ่านการตัดแพรโดยการย่อยด้วยกรด

ตัวอย่าง	อุณหภูมิในการเกิดเจลาติในเซชัน (องศาเซลเซียส)				エネทอลปี (ΔH; J/g)
	T _O	T _P	T _C	(T _C -T _O)	
Native starch	62.74 ± 0.05 ^e	68.92 ± 0.22 ^e	75.35 ± 0.12 ^d	12.61 ± 0.22 ^a	12.61 ± 0.15 ^b
AT-40-CT	71.07 ± 0.17 ^c	74.26 ± 0.00 ^{bc}	77.44 ± 0.31 ^c	6.38 ± 0.49 ^b	13.35 ± 0.10 ^{ab}
AT-40-0.5	68.39 ± 1.51 ^d	71.41 ± 0.95 ^d	74.81 ± 0.32 ^d	6.42 ± 1.19 ^b	13.23 ± 0.98 ^{ab}
AT-40-1.0	72.93 ± 0.34 ^b	75.44 ± 0.48 ^b	78.49 ± 0.55 ^b	5.57 ± 0.21 ^{bc}	13.41 ± 0.00 ^{ab}
AT-60-CT	72.58 ± 0.01 ^{bc}	74.59 ± 0.00 ^{bc}	77.47 ± 0.18 ^c	4.89 ± 0.19 ^c	13.46 ± 0.93 ^{ab}
AT-60-0.5	71.36 ± 0.46 ^c	73.92 ± 0.48 ^c	77.25 ± 0.63 ^c	5.89 ± 0.17 ^{bc}	13.75 ± 0.21 ^{ab}
AT-60-1.0	75.87 ± 0.62 ^a	78.68 ± 0.58 ^a	82.26 ± 0.53 ^a	6.39 ± 0.09 ^b	14.30 ± 0.21 ^a

a,...,e = ตัวเลขที่มีตัวอักษรกำกับเหมือนกันในคอลัมน์เดียวกันคือไม่มีความแตกต่างอย่างมีนัยสำคัญทางสถิติที่ระดับความเชื่อมั่น
ร้อยละ 95 ค่าในตารางคือ ค่าเฉลี่ย ± SD (n=2)

1.7 ผลของการดัดแปลงต่อความคงตัวต่อการย่อยด้วยเอนไซม์ของสารซัลฟิเอียว

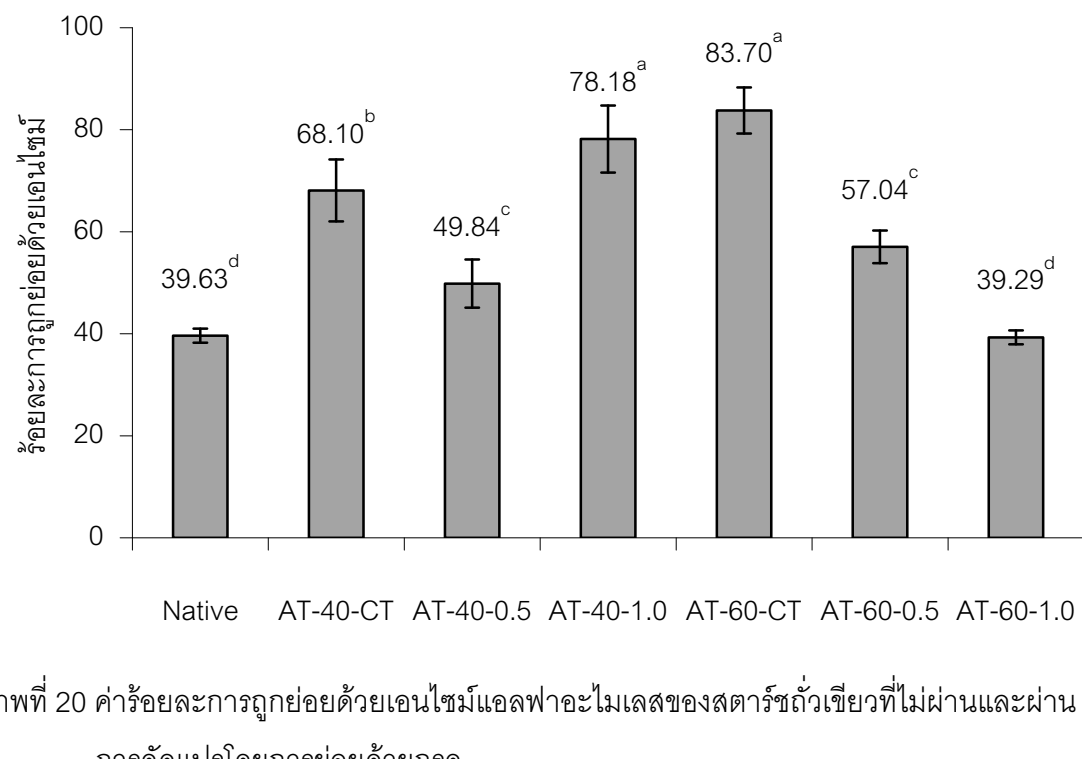
ผลการวิเคราะห์ความสามารถในการถูกย่อยด้วยเอนไซม์แอลฟ่าอะไมเลสنان 6 ชั่วโมง ของสารซัลฟิเอียวที่ไม่ผ่านและผ่านการดัดแปลงโดยการย่อยด้วยกรด แสดงในภาพที่ 20 และตารางที่ 19 และภาพถ่ายจากกล้องจุลทรรศน์อิเล็กตรอนแบบส่องกราด (SEM) ของสารซัลฟิเอียวที่ถูกย่อยด้วยเอนไซม์ดังกล่าว แสดงไว้ในภาพที่ 21 และ 22

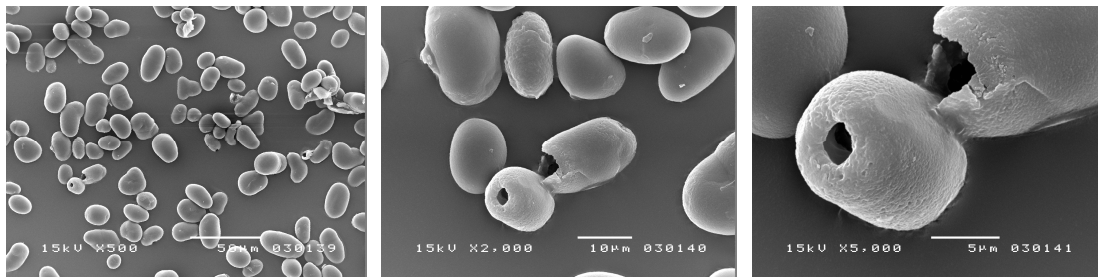
จากการวิเคราะห์ผลทางสถิติพบว่าอิทธิพลของปัจจัยร่วมระหว่างอุณหภูมิและความเข้มข้นของกรดไฮโดรคลอริกที่ใช้ในการดัดแปลงมีผลต่อความสามารถในการถูกย่อยด้วยเอนไซม์แอลฟ่าอะไมเลสของสารซัลฟิเอียวย่างมีนัยสำคัญทางสถิติ

จากภาพที่ 20 พบว่าสารซัลฟิเอียวที่ไม่ผ่านการดัดแปลงมีร้อยละของ การถูกย่อยด้วยเอนไซม์แอลฟ่าอะไมเลสเท่ากับ 39.63 และหลังจากผ่านการย่อยด้วยกรดพบร้อยละของกราฟิก ย่อยด้วยเอนไซม์เพิ่มขึ้น ยกเว้นสารซัลฟิเอียวที่ผ่านการย่อยที่อุณหภูมิ 60 องศาเซลเซียส ความเข้มข้นของกรดไฮโดรคลอริก 1.0% ที่ร้อยละการถูกย่อยด้วยเอนไซม์ไม่แตกต่างจากสารซัลฟิเอียวที่ไม่ผ่านการดัดแปลงอย่างมีนัยสำคัญทางสถิติ

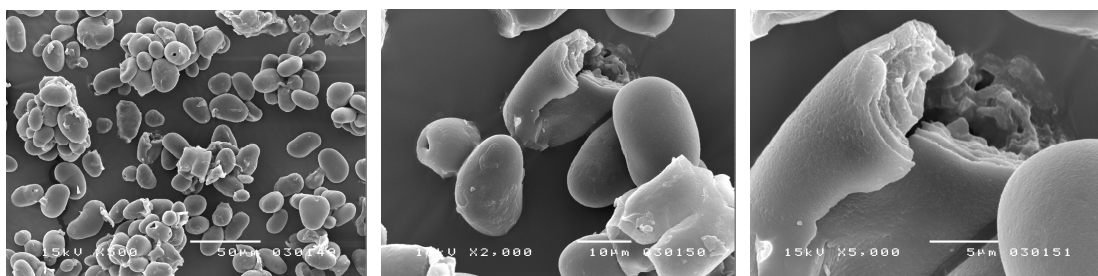
การที่สารซัลฟิเอียวดัดแปลงโดยการย่อยด้วยกรดมีความคงทนต่อการย่อยด้วยเอนไซม์ลดลง เนื่องมาจากการที่กรดสามารถตัดสายโมเลกุลของสารซัลฟิเอียวให้สั้นลง ซึ่งเป็นการเพิ่มปริมาณอะไมโลส เอนไซม์แอลฟ่าอะไมเลส มีคุณสมบัติเป็นเอนไซม์ที่ตัดพันธะภายในแบบสูม (endo enzyme) ที่จำเพาะเจาะจงต่อการตัดพันธะ α -(1,4)-ไกลโคซิດิก สารซัลฟิเอียวจึงถูกย่อยได้มากขึ้น ที่ระดับของการดัดแปลงสูงๆ กรดจะเข้าไปย่อยส่วนที่เป็นอสัณฐานภายในเม็ดสารซัลฟิเอียวโดยเฉพาะอะไมโลสจึงส่งผลปริมาณอะไมโลสลดลงมาก จึงทำให้ส่วนที่เอนไซม์จะเข้าไปย่อยได้มีปริมาณน้อยลงและเอนไซม์จะเข้าไปย่อยในส่วนที่เป็นผลึกได้ยากกว่าส่วนอสัณฐาน จึงส่งผลให้สารซัลฟิเอียวที่ผ่านการดัดแปลงโดยการย่อยด้วยกรดที่อุณหภูมิ 60 องศาเซลเซียส ความเข้มข้นของกรดไฮโดรคลอริก 1.0% มีร้อยละการถูกย่อยด้วยเอนไซม์ไม่แตกต่างจากสารซัลฟิเอียวที่ไม่ผ่านการดัดแปลงอย่างมีนัยสำคัญทางสถิติ

จากภาพที่ 21 และ 22 พบว่าบริเวณผิวของเม็ดสารซัลฟิเอียวถูกกัดกร่อนอย่างชัดเจน มีรูเกิดขึ้นในสารซัลฟิเอียว เม็ด บางเม็ดเสียสภาพไปหรือเหลือเพียงชั้นบางๆ ของเม็ดสารซัลฟิเอียว และบางเม็ดสารซัลฟิเอียวเกิดการเชื่อมกันบริเวณผิว ซึ่ง Gunaratne และ Hoover (2002) ได้อธิบายหลักการของการย่อยด้วยเอนไซม์แอลฟ่าอะไมเลสไว้ว่า แอลฟ่าอะไมเลสจะถูกดูดซับไว้ที่ผิวน้ำของเม็ดสารซัลฟิเอียว และทำการย่อยส่วนที่เป็นผลึกบริเวณผิวน้ำ หลังจากนั้นจะเข้าไปย่อยภายในเม็ดสารซัลฟิเอียวต่อไป

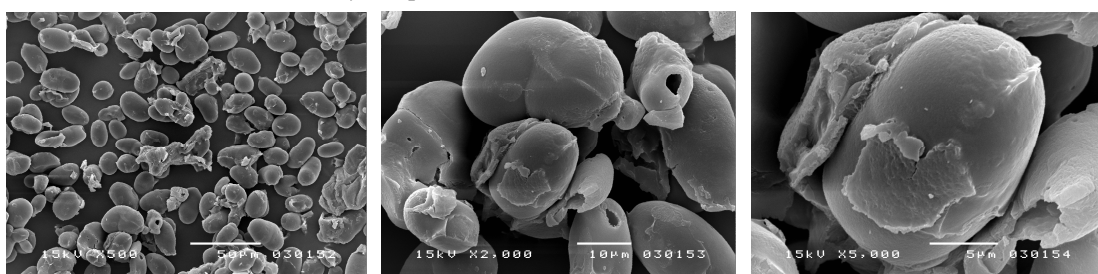




สตาร์ชที่ไม่ผ่านการดัดแปลง

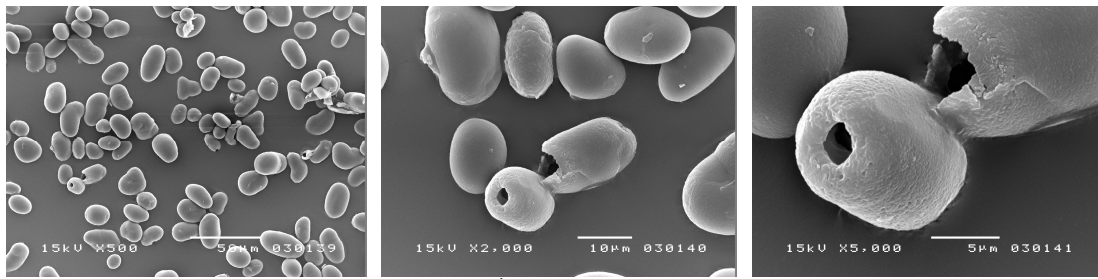


สตาร์ชดัดแปลงที่อุณหภูมิ 40 องศาเซลเซียส ความเข้มข้นของกรด 0.0%

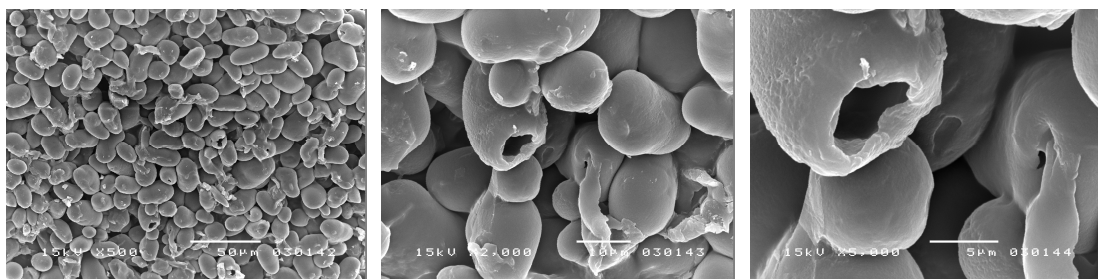


สตาร์ชดัดแปลงที่อุณหภูมิ 40 องศาเซลเซียส ความเข้มข้นของกรด 1.0%

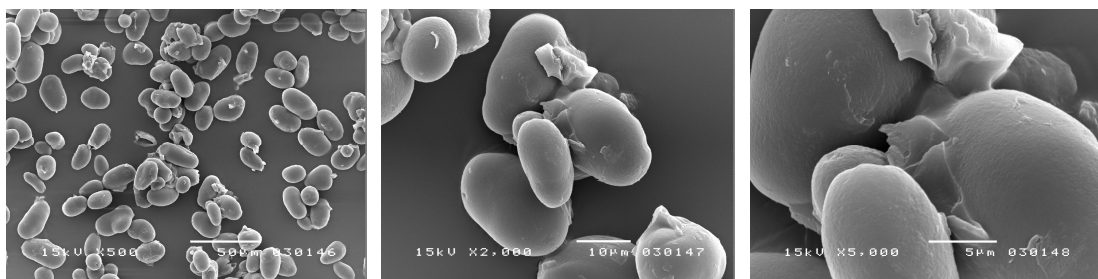
ภาพที่ 21 ภาพถ่ายจากกล้องจุลทรรศน์อิเลคทรอนแบบส่องการดัดแปลงลักษณะปูภาคภูทางสัณฐานภายในหลังการย่อยด้วยเอนไซม์แอลฟ่าอะไมเลสของสตาร์ชถ้าเขียวที่ไม่ผ่านและผ่านการดัดแปลงโดยการย่อยด้วยกรด อุณหภูมิ 40 องศาเซลเซียส ที่กำลังขยาย 170, 650 และ 1,700 เท่า ตามลำดับ (จากซ้ายไปขวา)



สตาร์ซที่ไม่ผ่านการดัดแปลร



สตาร์ซดัดแปลรที่อุณหภูมิ 60 องศาเซลเซียส ความเข้มข้นของกรด 0.0%



สตาร์ซดัดแปลรที่อุณหภูมิ 60 องศาเซลเซียส ความเข้มข้นของกรด 1.0%

ภาพที่ 22 ภาพถ่ายจากกล้องจุลทรรศน์อิเลคตรอนแบบส่องการดัดแปลงลักษณะปูากฎทางสัณฐานภายในหลังการรย่อยด้วยเอนไซม์แอลฟ่าอะไมเลสของสตาร์ซถัวเขียวที่ไม่ผ่านและผ่านการดัดแปลรโดยการรย่อยด้วยกรด อุณหภูมิ 60 องศาเซลเซียส ที่กำลังขยาย 170, 650 และ 1,700 เท่า ตามลำดับ

1.8 ผลของการดัดแปลงต่อกำลังการพองตัวและการละลายของสตาร์ชถั่วเขียว

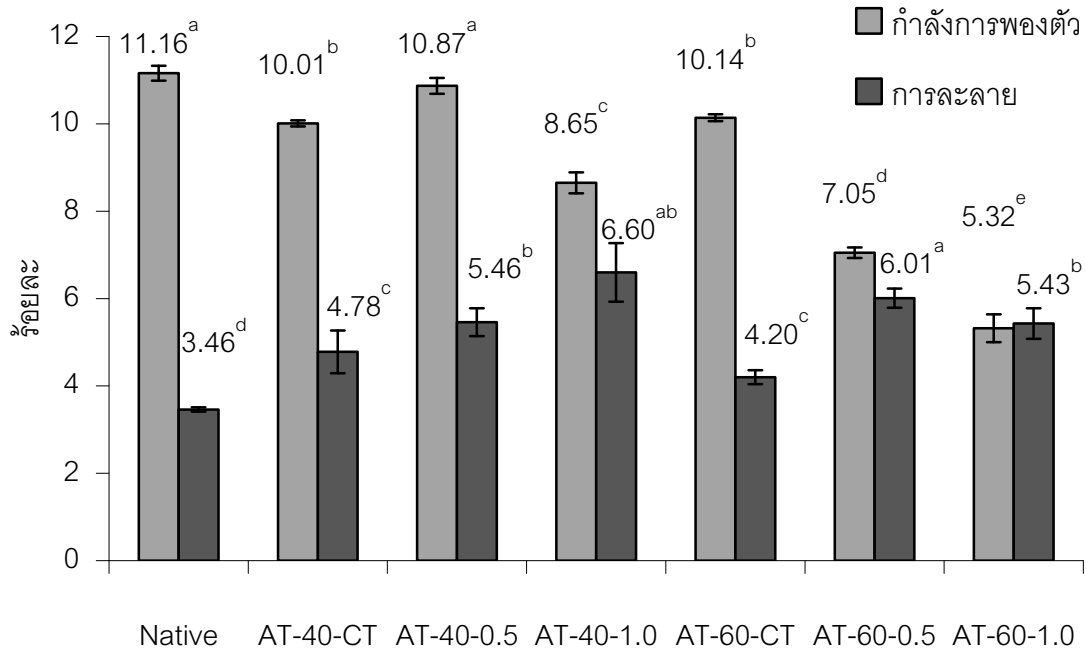
เมื่อมีการให้ความร้อนแก่เม็ดสตาร์ชที่แขวนลอย (starch suspension) เม็ดสตาร์ชจะเกิดการพองตัว และจะทำให้บางส่วนของเม็ดสตาร์ชละลายออกมานา ความสามารถในการละลายจะเป็นน้ำหนักของแข็งทั้งหมดที่ละลายในสารละลาย

จากการวิเคราะห์ผลทางสถิติพบว่าอิทธิพลของปัจจัยร่วมระหว่างอุณหภูมิและความเข้มข้นของกรดไฮโดรคลอริกที่ใช้ในการดัดแปลงมีผลต่อค่ากำลังการพองตัวและร้อยละการละลายของสตาร์ชถั่วเขียวอย่างมีนัยสำคัญทางสถิติ

ค่ากำลังการพองตัวและร้อยละการละลายของสตาร์ชถั่วเขียวที่ไม่ผ่านและการดัดแปลงโดยการย่อยด้วยกรด แสดงไว้ในภาพที่ 23 และตารางที่ 20 สตาร์ชถั่วเขียวที่ไม่ผ่านการดัดแปลงมีค่าร้อยละการละลายเท่ากับ 3.46 และมีกำลังการพองตัวเท่ากับ 11.16 ซึ่งหลังจากผ่านการดัดแปลงโดยการย่อยด้วยกรดพบว่ามีร้อยละการละลายเพิ่มขึ้นและค่ากำลังการพองตัวมีแนวโน้มลดลงเมื่อความเข้มข้นของกรดไฮโดรคลอริกเพิ่มขึ้น

Gunaratne และ Corke (2007) กล่าวว่าหากใช้ระดับการย่อยที่ต่ำจะส่งผลให้ค่ากำลังการพองตัวเพิ่มขึ้นเล็กน้อย แต่จะมีค่าลดลงเมื่อเพิ่มระดับความเข้มข้นของกรด โดยกรดจะเข้าไปทำลายพันธะไฮโดรเจนระหว่างสายโพลีเมอร์ จึงส่งผลทำให้เพิ่มความสามารถเพิ่มการพองตัวที่ระดับความเข้มข้นของกรดต่ำๆ แต่เมื่อระดับความเข้มข้นของกรดเพิ่มมากขึ้น จะทำให้เกิดการกัดกร่อนบริเวณส่วนอสัณฐานทำให้กำลังการพองตัวลดลง

ร้อยละการละลายที่เพิ่มขึ้น เกิดขึ้นเนื่องจากกรดเข้าไปตัดโมเลกุลของสตาร์ช ส่งผลให้สตาร์ช มีโครงสร้างอ่อนแอลง โมเลกุลของสตาร์ชบางส่วนละลายหลุดออกมานา ซึ่งคล้ายกับการทดลองของ Lawal และคณะ (2005); Sandhu, Singh และ Lim (2007) ที่กล่าวว่าการย่อยด้วยกรดจะส่งผลทำให้โมเลกุลของสตาร์ชมีขนาดเล็กลง ส่งผลให้หมูไฮดรophilic หรือหมูไฮดรอกซิล เพิ่มมากขึ้น จึงส่งผลให้สตาร์ชมีความสามารถในการละลายสูงขึ้น



ภาพที่ 23 ค่ากำลังการพอง และร้อยละการละลายของสตาร์ชถั่วเขียวที่ไม่ผ่านและผ่านการดัดแปลงโดยการย่อยด้วยกรด

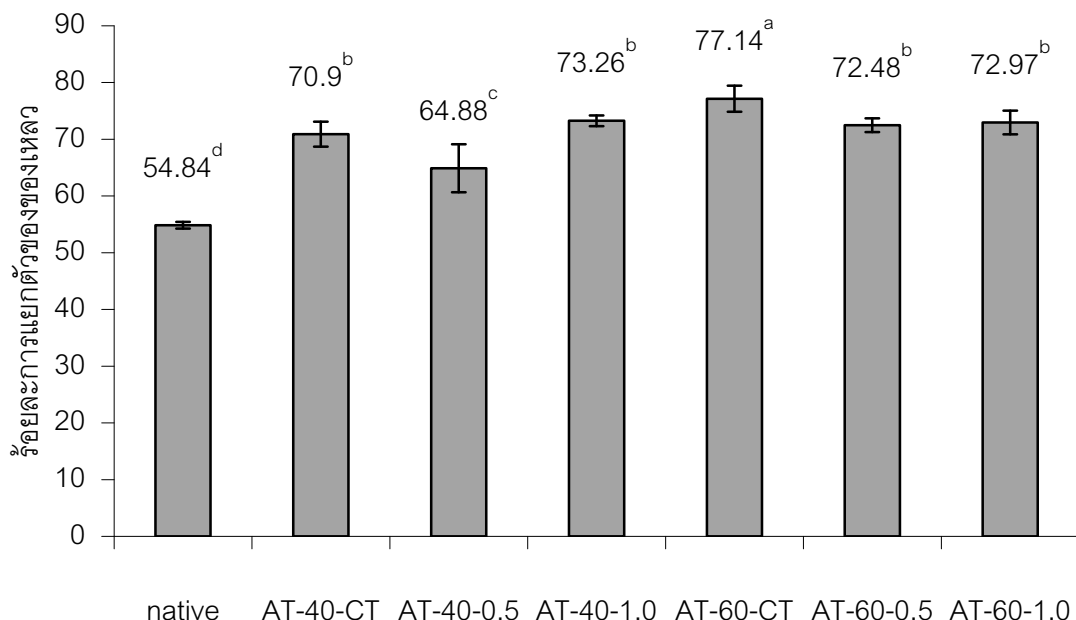
1.9 ผลของการดัดแปลงต่อความคงตัวต่อการแข็ง-ละลายของสตาร์ชถั่วเขียว

ผลการศึกษาความคงตัวต่อการแข็ง-ละลายของสตาร์ชถั่วเขียวที่ไม่ผ่านและผ่านการดัดแปลงโดยการย่อยด้วยกรดแสดงไว้ในภาพที่ 24 และตารางที่ 21 ซึ่งความคงตัวต่อการแข็ง-ละลายจะแสดงอยู่ในรูปของปริมาณการแยกตัวของเหลว (syneresis) ของสตาร์ชสูญที่ผ่านการแข็ง-ละลาย ถ้าหากมีร้อยละของ การแยกตัวของของเหลวออกมากสูง แสดงว่าตัวอย่างนั้นมีความคงตัวต่อการแข็ง-ละลายต่ำ

จากการวิเคราะห์ผลทางสถิติพบว่าอิทธิพลของปัจจัยร่วมระหว่างอุณหภูมิและความเข้มข้นของกรดไฮโดรคลอริกที่ใช้ในการดัดแปลงมีผลต่อค่าร้อยละการแยกตัวของของเหลวของสตาร์ชถั่วเขียวอย่างมีนัยสำคัญทางสถิติ

สตาร์ชถั่วเขียวที่ไม่ผ่านการดัดแปลงมีค่าร้อยละการแยกตัวของของเหลวเท่ากับ 54.84 และเมื่อผ่านการดัดแปลงโดยการย่อยด้วยกรด พบร่วมกับค่าร้อยละการแยกตัวของของเหลวเพิ่มขึ้น การที่ร้อยละการแยกตัวของของเหลวเพิ่มขึ้นเนื่องมาจากการย่อยด้วยกรดจะทำให้สายโมเลกุลของสตาร์ชสั้นลง เมื่อนำไปผ่านการให้ความร้อนและทำให้เย็นตัวลง จะส่งผลให้สายสตาร์ชเกิด

รีโพลิเมอร์เดชันสามารถกลับมาเกาะกันง่ายขึ้น ทำให้น้ำที่เกาะไม่เลกุลงของสตาร์ซัลูกบีบอกรมาได้มาก ทำให้มีร้อยละการแยกตัวของของเหลวเพิ่มสูงขึ้น



ภาพที่ 24 ค่าร้อยละการแยกตัวของของเหลว (syneresis) ของสตาร์ซัลูกที่ไม่ผ่านและผ่านการตัดແປรโดยการย่ออยด้วยกรดแสดงในภาพที่ 25 และตารางที่ 22

1.10 ผลของการตัดແປรต่อความแข็งแรงของเจลของสตาร์ซัลูก

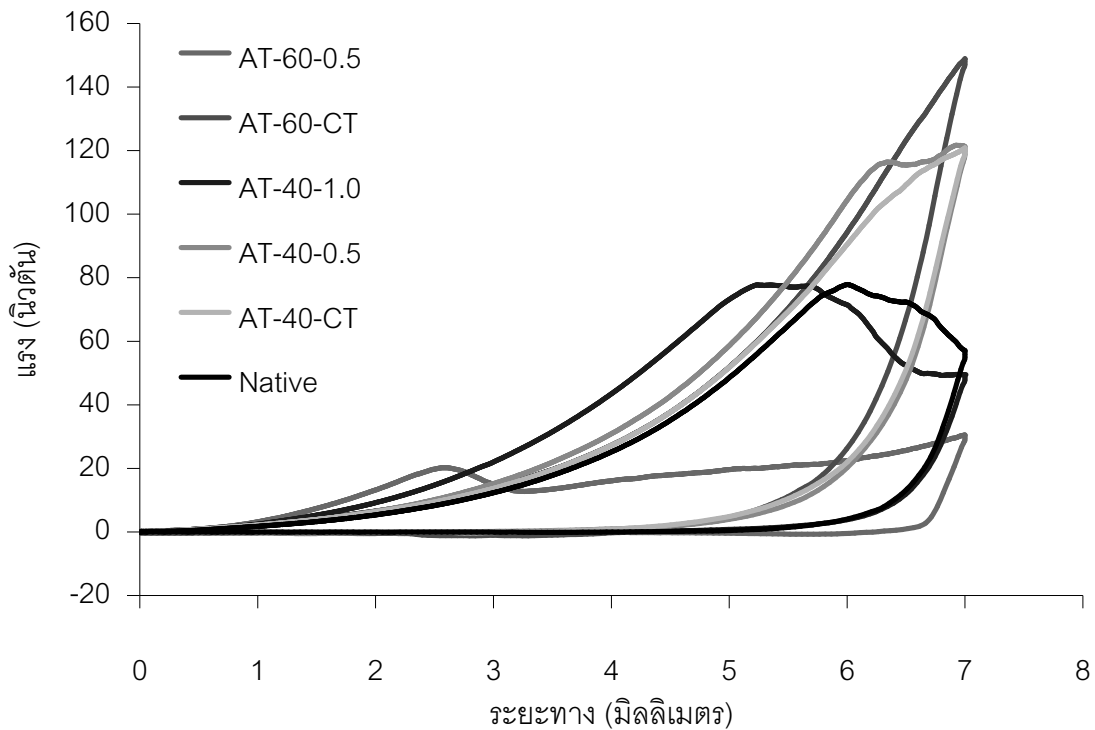
ผลการศึกษาความแข็งแรงของเจลจากสตาร์ซัลูกที่ไม่ผ่านและผ่านการตัดແປรโดยการย่ออยด้วยกรดแสดงในภาพที่ 25 และตารางที่ 22

จากการวิเคราะห์ผลทางสถิติพบว่าอิทธิพลของปัจจัยรวมระหว่างอุณหภูมิและความเข้มข้นของกรดไฮโดรคลอริกที่ใช้ในการตัดແປรมีผลต่อความแข็งแรงของเจลของสตาร์ซัลูกที่ไม่ผ่านการตัดແປรจะมีค่าความแข็งแรงของเจลเท่ากับ 78.96 นิวตัน หลังจากสตาร์ซัลูกที่ไม่ผ่านการย่ออยด้วยกรดพบว่าการย่ออยที่อุณหภูมิ 40 องศาเซลเซียส ความเข้มข้นของกรด 0.5% ทำให้ค่าความแข็งแรงของเจลเพิ่มขึ้น ในขณะที่ความเข้มข้นของกรด 1.0% ให้ค่าความแข็งแรงของเจลไม่แตกต่างอย่างมีนัยสำคัญทางสถิติกับสตาร์ซัลูกที่ไม่ผ่านการตัดແປร ส่วนการย่ออยที่อุณหภูมิ 60 องศาเซลเซียส พบว่าที่ค่าความเข้มข้นของกรด 0.5%

ทำให้ความแข็งแรงของเจลลดลง ส่วนที่ความเข้มข้นของกรด 1.0% ไม่สามารถวัดความแข็งแรงของเจลได้เนื่องจากเจลมีลักษณะเหลวติดพิมพ์

Gunaratne และ Corke (2007) ได้ศึกษาการตัดแบบโดยการย่ออัดด้วยกรดในสตาร์ชข้าวสาลีมันฝรั่งและข้าวโพด พบร่วมกับสตาร์ชข้าวสาลีเมื่อผ่านการตัดแบบโดยการย่ออัดด้วยกรดความแข็งแรงของเจลจะมีค่าลดลงเมื่อความเข้มข้นของกรดสูงขึ้น ในขณะที่สตาร์ชมันฝรั่งจะมีความแข็งแรงของเจลเพิ่มขึ้นเมื่อความเข้มข้นของกรดเพิ่มขึ้น แต่ในสตาร์ชข้าวโพดพบว่าที่ความเข้มข้นของกรดเท่ากับ 0.1 มิลลิกรัม ความแข็งแรงของเจลเพิ่มขึ้น เมื่อเพิ่มความเข้มข้นของกรดความแข็งแรงของเจลจะมีค่าลดลง การที่ความแข็งแรงของเจลมีค่าเพิ่มขึ้นเกิดจากความยาวของสายสตาร์ชที่เหมาะสม และความเข้มข้นของสายสตาร์ชส่วนที่เป็นเส้นตรงมีค่าสูง สำหรับที่ความแข็งแรงของเจลลดลงเนื่องมาจากการย่ออัดด้วยกรดทำให้สูญเสียความยืดหยุ่นในการพองตัวของเม็ดสตาร์ช และเกิดจากความยาวของสายอะไมโลสหลังจากถูกย่ออัดด้วยกรดไม่เหมาะสมทำให้ไม่มีประสิทธิภาพในการรวมตัวกัน แม้ว่าจะมีปริมาณอะไมโลสเพิ่มขึ้นหลังผ่านการย่ออัดด้วยกรด

Wang, Truong และ Wang (2003) ได้ศึกษาการตัดแบบสตาร์ชข้าวโพดโดยการย่ออัดด้วยกรดไฮโดรคลอริก ที่ความเข้มข้น 0.06, 0.14 และ 1.00 นอร์มอล พบร่วมกับความแข็งแรงของเจลเพิ่มขึ้นเมื่อเทียบกับสตาร์ชที่ไม่ผ่านการตัดแบบ และเมื่อความเข้มข้นของกรดเพิ่มขึ้นความแข็งแรงของเจลมีค่าลดลง ความแข็งแรงของเจลที่ลดลงเกิดจากไมโลสที่มีขนาดใหญ่เมื่อปริมาณลดลงเมื่อผ่านการย่ออัดด้วยกรดที่มีความเข้มข้นสูงขึ้น



ภาพที่ 25 ความแข็งแรงของเจลของสตาร์ชถั่วเขียวที่ไม่ผ่านและผ่านการดัดแปลบโดยการย่ออยด้วยกรด

2. การดัดแปลบสตาร์ชถั่วเขียวโดยวิธีออกซิเดชัน

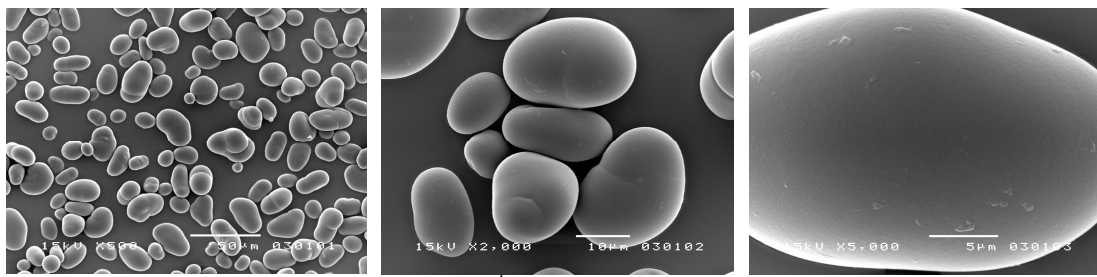
2.1 ผลของการดัดแปลบต่อลักษณะปรากฏทางสัณฐานวิทยาของสตาร์ชถั่วเขียว

ภาพถ่ายจากกล้องจุลทรรศน์อิเลคตรอนแบบส่องรากดของสตาร์ชถั่วเขียวที่ไม่ผ่านและผ่านการดัดแปลบโดยวิธีออกซิเดชันที่แอกทีพคลอริน 0.0, 1.0 และ 2.0% แสดงไว้ในภาพที่ 26

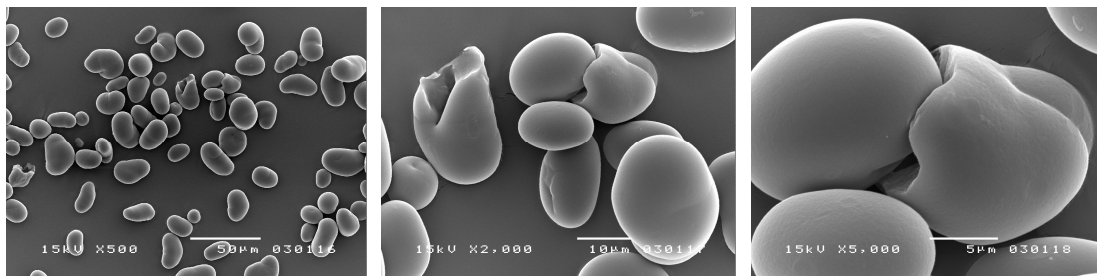
จากภาพที่ 26 พบร่วมกับสตาร์ชถั่วเขียวที่ไม่ผ่านการดัดแปลบมีลักษณะรูปร่างหลายแบบ ได้แก่ กลม กลมรี ไปจนถึงมีลักษณะคล้ายไต และมีขนาดที่แตกต่างกัน โดยเม็ดสตาร์ชที่มีรูปร่างกลมจะมีขนาดเล็ก เม็ดสตาร์ชที่มีรูปร่าง กลมรี และคล้ายไตจะมีขนาดใหญ่ เม็ดสตาร์ชบางเม็ดจะมีร่องซึ้งจะพร่องในเม็ดสตาร์ชขนาดใหญ่มากกว่าเม็ดสตาร์ชขนาดเล็ก โดยเม็ดสตาร์ชจะกระจายตัวอยู่แบบเม็ดเดี่ยว ไม่มีการจับเป็นกลุ่มก้อน

สตาร์ชถั่วเขียวที่ผ่านการดัดแปลบโดยวิธีออกซิเดชันจะมีการหลุดลอกที่บริเวณผิวของเม็ดสตาร์ช แต่รูปร่างของเม็ดสตาร์ชไม่เปลี่ยนแปลง การหลุดลอกบริเวณผิวของสตาร์ชเกิดขึ้น

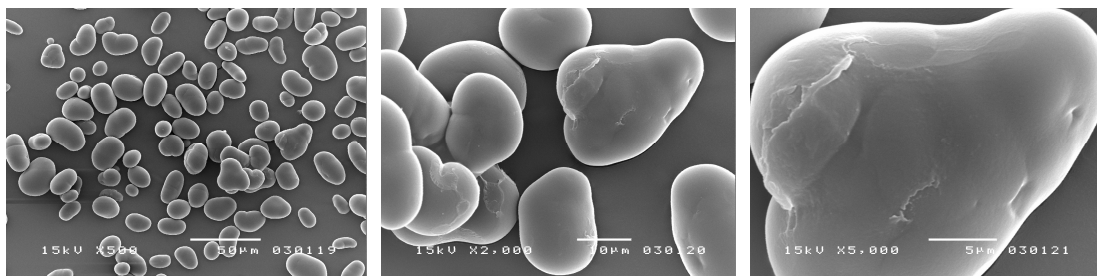
เนื่องจากไม่เลกุณของสตาร์ชถูกตัดให้มีขนาดสั้นลง ซึ่งผลที่ได้คล้ายกับการทดลองของ Kuakpetoon และ Wang (2008) ที่ศึกษาในสตาร์ชข้าวโพด ข้าวโพดข้าวเหนียว และข้าวโพดที่มีปริมาณอะไมโลสสูง แต่ต่างจากการทดลองของ Lawal และ Abedowale (2005) ที่ศึกษาการตัดแปรสตาร์ชจาก jack bean โดยวิธีออกซิเดชันที่ความเข้มข้นของเอดอกทีพคลอรีน 0.5% และ Lawal (2004) ที่ศึกษาการตัดแปรสตาร์ชนิวโคโคลแยมโดยวิธีอกรซิเดชันที่ความเข้มข้นของเอดอกทีพคลอรีน 0.5% ที่พบว่าหลังการตัดแปรลักษณะรูปร่างและขนาดไม่ต่างจากสตาร์ชที่ไม่ผ่านการตัดแปร Lawal และ Abedowale (2005) กล่าวว่าที่ไม่เห็นความแตกต่างระหว่างสตาร์ชที่ผ่านการตัดแปรกับสตาร์ชที่ไม่ผ่านการตัดแปรอาจเป็นเพราะลักษณะรูปร่างของเม็ดสตาร์ชและการตัดแปรสตาร์ชที่ความเข้มข้นของเอดอกทีพคลอรีนต่ำๆ



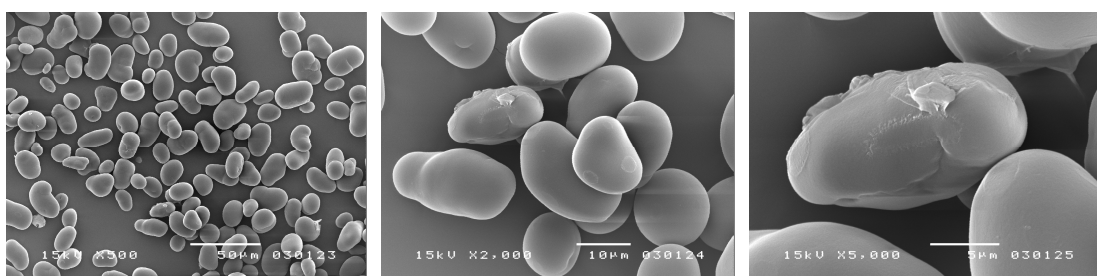
สตาร์ชที่ไม่ผ่านการดัดแปลง



สตาร์ชดัดแปลงที่แยกทีพคลอรีน 0.0%



สตาร์ชดัดแปลงที่แยกทีพคลอรีน 1.0%



สตาร์ชดัดแปลงที่แยกทีพคลอรีน 2.0%

ภาพที่ 26 ภาพถ่ายจากกล้องจุลทรรศน์อิเลคทรอนแบบส่องการดัดแปลงลักษณะปูรากว้าง
สัณฐานของสตาร์ชถัวเฉียวที่ไม่ผ่านและผ่านการดัดแปลงโดยวิธีออกซิเดชัน ที่
กำลังขยาย 170, 650 และ 1,700 เท่า ตามลำดับ (จากซ้ายไปขวา)

2.2 ผลของการดัดแปลงค่าสีของสารชั้วเยียว

ค่าสีที่วัดจากเครื่องวัดสีของสารชั้วเยียวที่ไม่ผ่านและผ่านการดัดแปลงโดยวิธีอักษิเดชันแสดงไว้ในตารางที่ 7 ค่า L* เป็นค่าที่แสดงถึงความสว่าง มีค่าอยู่ในช่วง 0-100 โดยที่ 0 แสดงถึงสีดำ และ 100 แสดงถึงสีขาว +a* แสดงความเป็นสีแดง -a* แสดงความเป็นสีเขียว +b* แสดงความเป็นสีเหลือง และ -b* แสดงความเป็นสีน้ำเงิน

จากการทดลองพบว่าสารชั้วเยียวที่ไม่ผ่านการดัดแปลงค่า L* เท่ากับ 78.22 ส่วนสารชั้วเยียวที่ผ่านการดัดแปลงโดยวิธีอักษิเดชันมีค่า L* เพิ่มขึ้น โดยที่ความเข้มข้นของแอดทีพคลอรินเท่ากับ 1.0, 1.5 และ 2.0% ให้ค่า L* ไม่แตกต่างกันอย่างมีนัยสำคัญทางสถิติ ซึ่งผลที่ได้สอดคล้องกับการทดลองของ Sánchez-Rivera และคณะ (2005) การดัดแปลงโดยวิธีอักษิเดชันเป็นการทำปฏิกริยา กับสารออกซิไดร์ ปฏิกริยาที่เกิดขึ้นจะเปลี่ยนหมุนไฮดรอกซิลให้เป็นหมุนอัลดีไฮด์ หมุนคีโตรนหรือหมุนคาร์บออกซิล และมีการตัดโมเลกุลของสารชั้วทำให้เกิดการกำจัดสีและทำลายจุลินทรีย์ สงผลให้สารชั้วมีความขาวมากขึ้น (Smith, 1982)

ตารางที่ 7 ค่าสีของสารชั้วเยียวที่ไม่ผ่านและผ่านการดัดแปลงโดยวิธีอักษิเดชัน

ตัวอย่าง	ค่าสี		
	L*	a*	b*
native starch	78.22 ± 0.01 ^d	0.36 ± 0.02 ^a	1.95 ± 0.02 ^c
OXI-CT	79.42 ± 0.27 ^b	-0.25 ± 0.03 ^c	2.69 ± 0.05 ^b
OXI-0.5	78.77 ± 0.05 ^c	0.02 ± 0.04 ^b	3.50 ± 0.05 ^a
OXI-1.0	81.80 ± 0.12 ^a	-0.23 ± 0.05 ^c	1.21 ± 0.04 ^f
OXI-1.5	82.22 ± 0.83 ^a	-0.28 ± 0.05 ^{cd}	1.41 ± 0.02 ^d
OXI-2.0	81.98 ± 0.26 ^a	-0.31 ± 0.03 ^d	1.31 ± 0.06 ^e

a,...,f = ตัวเลขที่มีตัวอักษรกำกับเหมือนกันในคอลัมน์เดียวกันคือไม่มีความแตกต่างอย่างมีนัยสำคัญทางสถิติที่ระดับความเชื่อมั่นร้อยละ 95 ในตารางคือค่าเฉลี่ย ± SD (n=2)

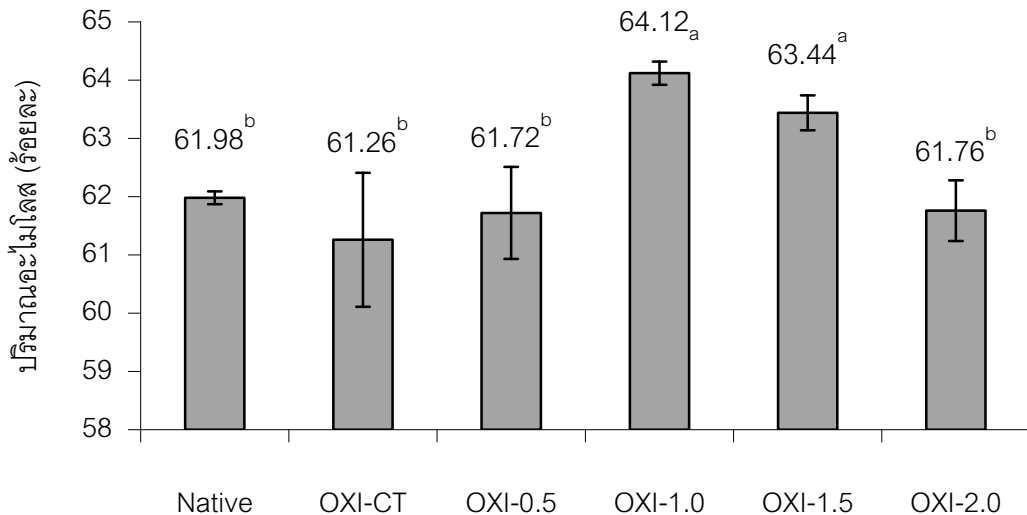
2.3 ผลของการดัดแปลงต่อปริมาณอะไมโลสของสตาร์ชถั่วเขียว

การหาปริมาณอะไมโลสเพื่อตรวจสอบการสลายตัวของโมเลกุลสตาร์ชที่มีขนาดใหญ่เป็นโมเลกุลที่มีขนาดเล็กลง โดยอาศัยการที่อะไมโลสสามารถรวมตัวเป็นสารประกอบเชิงซ้อนกับไอโอดีน โดยอะไมโลสจะไปพันเป็นเกลียวล้อมรอบไอโอดีน (Galliard และ Bowler, 1987) ซึ่งจะให้สีน้ำเงิน และสามารถค่าการดูดกลืนแสงที่ความยาวคลื่น 620 นาโนเมตรได้

ปริมาณอะไมโลสของสตาร์ชถั่วเขียวที่ไม่ผ่านและผ่านการดัดแปลงโดยวิธีออกซิเดชัน แสดงไว้ในภาพที่ 27 และตารางที่ 24 พบว่าสตาร์ชถั่วเขียวที่ไม่ผ่านการดัดแปลงมีปริมาณอะไมโลสอยู่ร้อยละ 61.98 ซึ่งเป็นปริมาณที่สูงมากเมื่อเทียบกับสตาร์ชถั่วเขียวในรายงานอื่นๆ ที่มีอะไมโลสร้อยละ 30.7 (Kasemsuwan, Bailey และ Jane, 1998) หรือร้อยละ 32.7-34.3 (Liu และ Shen, 2007a; Liu และ Shen, 2007b) อาจเนื่องมาจากกระบวนการผลิตหรือสารเคมีที่ใช้ในการสกัดโปรตีนจึงส่งผลให้ปริมาณอะไมโลสสูงกว่ารายงานอื่นๆ หรืออาจเกิดจากกิ่งของอะไมโลเกตินที่มีสายยาวเกิดการรวมเป็นสารประกอบเชิงซ้อนกับไอโอดีนจึงส่งผลให้ปริมาณอะไมโลสที่วัดได้มีค่าสูง (Kasemsuwan, Bailey และ Jane, 1998)

หลังจากการดัดแปลงโดยวิธีออกซิเดชันพบว่าที่ความเข้มข้นของเอนไซม์ที่พคลอรีนเท่ากับ 1.0 และ 1.5% มีปริมาณอะไมโลสเพิ่มขึ้น แต่ที่ความเข้มข้นของเอนไซม์ที่พคลอรีน 2.0% ปริมาณอะไมโลสไม่แตกต่างจากสตาร์ชที่ไม่ผ่านการดัดแปลงอย่างมีนัยสำคัญทางสถิติ ปริมาณอะไมโลสที่เพิ่มขึ้นอาจเกิดจากสารออกซิไดซ์เข้าไปย่อยสตาร์ชในส่วนที่เป็นอสัณฐาน ส่งผลให้มีโมเลกุลของอะไมโลสเพิ่มขึ้น แต่เมื่อระดับของเอนไซม์ที่พคลอรีนเพิ่มสูงขึ้น การย่อยหรือตัดโมเลกุลของสตาร์ชเกิดมากขึ้นจนส่งผลให้เกิดอะไมโลสสายสัน្តิ ไม่สามารถเกิดเป็นสารประกอบเชิงซ้อนกับไอโอดีนได้ จึงทำให้ปริมาณอะไมโลสไม่ต่างจากสตาร์ชที่ไม่ผ่านการดัดแปลง

Lawal และ Adebawale (2005) ได้ศึกษาการดัดแปลงโดยวิธีออกซิเดชันในสตาร์ช jack bean พบว่าที่ความเข้มข้นของเอนไซม์ที่พคลอรีน 0.5% สตาร์ชดัดแปลงมีปริมาณอะไมโลสลดลงเล็กน้อย ซึ่งผลที่ได้สอดคล้องกับการทดลองของ Lawal และคณะ (2005) ส่วน Lawal (2004) พบว่าหลังผ่านการดัดแปลงสตาร์ชนิวโคโคลาแมด้วยวิธีออกซิเดชันไม่พบความแตกต่างอย่างมีนัยสำคัญกับสตาร์ชที่ไม่ผ่านการดัดแปลง



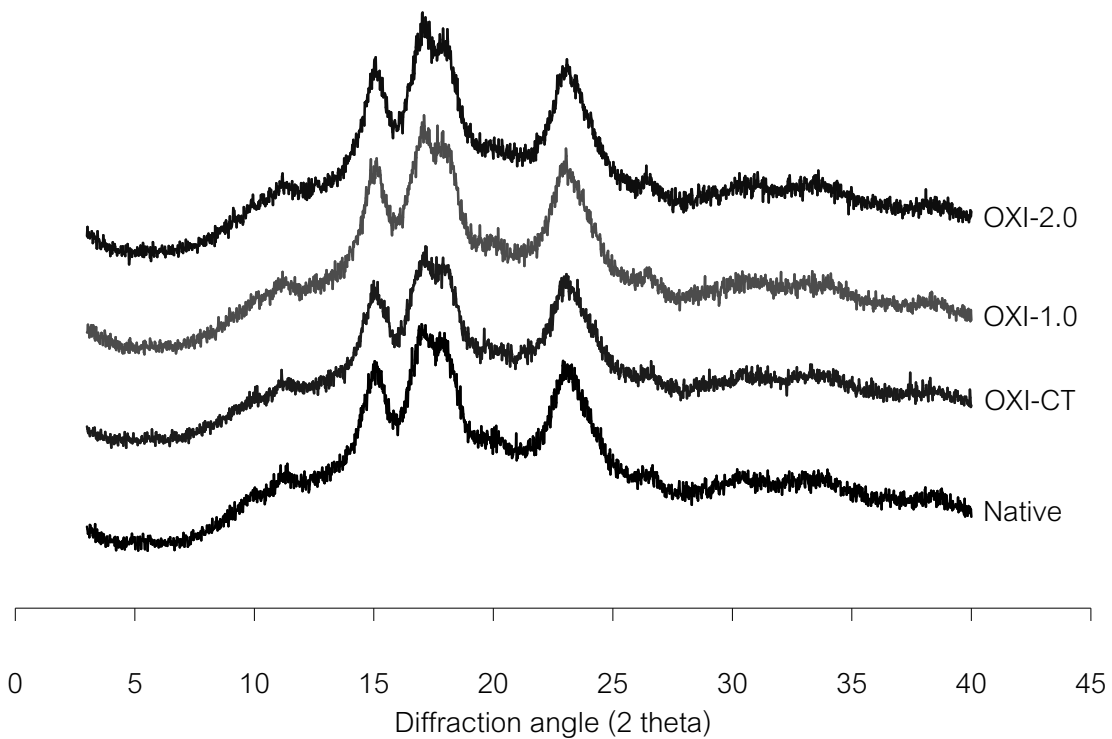
ภาพที่ 27 ปริมาณอะไมโลสของสตาร์ชถั่วเขียวที่ไม่ผ่านและผ่านการดัดแปลงโดยวิธีออกซิเดชัน

2.4 ผลของการดัดแปลงต่อโครงสร้างผลึกของสตาร์ชถั่วเขียว

ผลการวิเคราะห์โครงสร้างผลึกของสตาร์ชถั่วเขียวที่ไม่ผ่านและผ่านการดัดแปลงโดยวิธีออกซิเดชัน เมื่อวิเคราะห์ด้วยเครื่อง X-ray diffractometer ซึ่งทำการสแกนที่มุม 2θ เท่ากับ 3-40 องศา และแสดงไว้ในภาพที่ 28 และผลการคำนวณร้อยละความเป็นผลึกจากพื้นที่ได้กราฟ X-ray diffraction และแสดงไว้ในตารางที่ 25

สตาร์ชถั่วเขียวที่ไม่ผ่านการดัดแปลงมีโครงสร้างผลึกเป็นแบบ A ซึ่งมีพีคหลักป্রาก្ញญาญ่า 3 พีค คือที่ตำแหน่ง 2θ เท่ากับ 15 องศา สองพีคเชื่อมกันที่ 17 และ 18 องศา และพีคสุดท้ายที่ 23 องศา ซึ่งผลที่ได้สอดคล้องกับผลของ Liu และ Shen (2007b) สตาร์ชถั่วเขียวที่ไม่ผ่านการดัดแปลง มีร้อยละความเป็นผลึกเท่ากับ 51.84

หลังจากผ่านดัดแปลงโดยวิธีออกซิเดชัน โครงสร้างของผลึกไม่เปลี่ยนแปลง แต่มีร้อยละความเป็นผลึกเพิ่มขึ้นเล็กน้อย ซึ่งผลที่ได้สอดคล้องกับการทดลองของ Lawal (2004); Lawal และ Adebowale (2005); Lawal และคณะ (2005) เนื่องจากสารออกซิไดซ์จะเข้าไปทำปฏิกิริยาในส่วนของสันฐานของเม็ดสตาร์ช จึงไม่ส่งผลต่อโครงสร้างผลึก ซึ่งส่วนของสันฐานประกอบไปด้วยสายของอะไมโลส และบริเวณกึ่งของอะไมโลเพคติน และแสดงให้เห็นว่าอะไมโลสໄวต่อการเกิดออกซิเดชันมากกว่าอะไมโลเพคติน (Wang และ Wang, 2003)



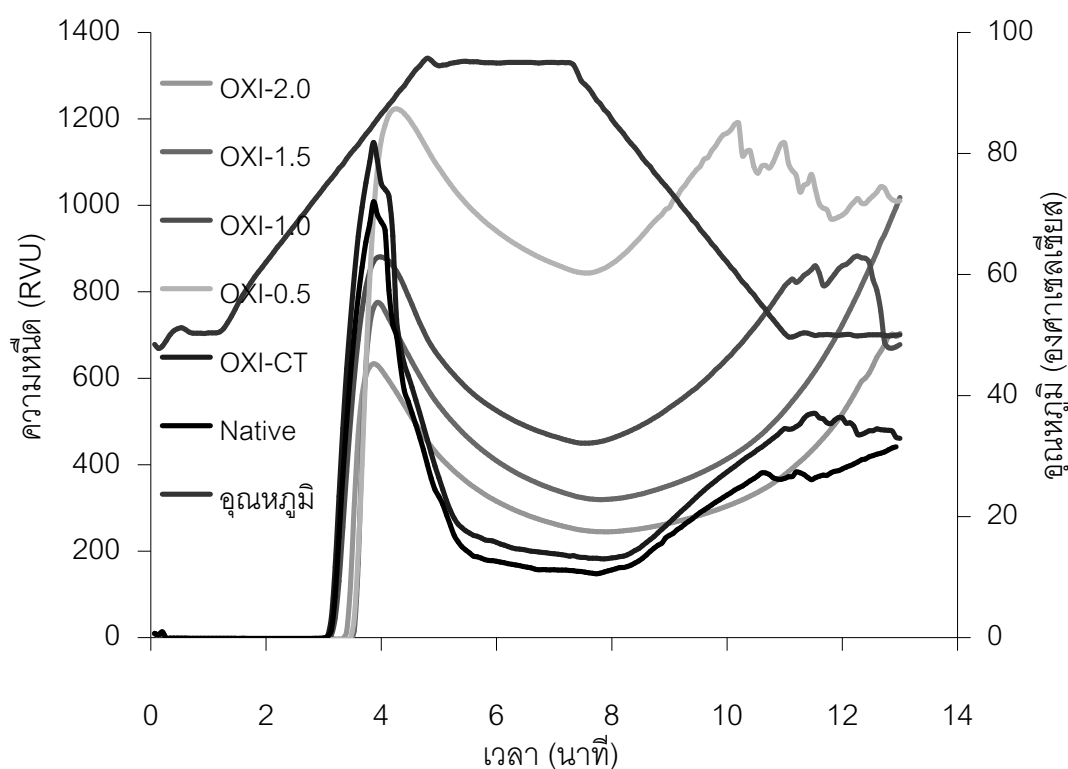
ภาพที่ 28 รูปแบบ X-ray diffraction ของสตาร์ชถั่วเขียวที่ไม่ผ่านและผ่านการดัดแปลงด้วยวิธีออกซิเดชัน

2.5 ผลของการดัดแปลงพฤติกรรมการเปลี่ยนแปลงความหนืดของสตาร์ชถั่วเขียว

ผลการวิเคราะห์การเปลี่ยนแปลงความหนืดด้วยเครื่อง Rapid Visco Analyzer (RVA) ของสตาร์ชถั่วเขียวที่ไม่ผ่านและผ่านการดัดแปลงโดยวิธีออกซิเดชัน แสดงดังภาพที่ 29 และตารางที่ 8 สตาร์ชถั่วเขียวที่ไม่ผ่านการดัดแปลงมีความหนืดสูงสุดเท่ากับ 1022 RVU และอุณหภูมิที่เริ่มเปลี่ยนแปลงความหนืดเท่ากับ 74.30 องศาเซลเซียส หลังจากผ่านการดัดแปลงพบว่าที่ความเข้มข้นของแอคทีฟคลอรีนเท่ากับ 0.5% ความหนืดสูงสุดมีค่าเพิ่มขึ้น เนื่องจากหมู่คาร์บอนิลและคาร์บออกซิลที่เกิดขึ้นส่งผลให้เม็ดสตาร์ชพองตัวได้มากขึ้น แต่เมื่อความเข้มข้นของแอคทีฟคลอรีนเพิ่มขึ้น ความหนืดสูงสุดมีค่าลดลง เนื่องจากเกิดการแตกออกของโมเลกุลของสตาร์ช (Sánchez-Rivera และคณะ, 2005; Wang และ Wang, 2003) อุณหภูมิที่เริ่มเปลี่ยนแปลงความหนืด ความหนืดสูดท้าย และความหนืดต่ำสุดเมื่อให้ความเย็นมีค่าเพิ่มขึ้น ส่วนเบรกดาวน์มีค่าลดลง

จากการแสดงการเปลี่ยนแปลงความหนืด จะพบว่าสตาร์ชถ้าเขียวที่ผ่านการตัดแปรด้วยวิธีอกซิเดชันที่ความเข้มข้นของเอก็อกลอรีน 0.0, 0.5 และ 1.0% เมื่อผ่านช่วงให้ความเย็นบวณ ส่วนท้ายของกราฟจะมีการแกว่งขึ้นและลงของค่าความหนืด เนื่องมาจากสตาร์ชเกิดเป็นเจลที่แข็งแรงมากจึงส่งผลให้มีการทำกราน เจลสตาร์ชได้แตกออกเป็นช่องว่างและมีชิ้นของเจลสตาร์ชซึ่งเมื่อสัมผัสถกับใบพัดแล้วจึงส่งผลให้กรานมีค่าความหนืดแกว่ง

Lawal (2004) กล่าวว่าความหนืดที่ลดลงหลังจากผ่านการตัดแปรโดยวิธีอกซิเดชันมีสาเหตุมาจากการแตกของพันธะไกลโคลิกซิดิกระหว่างทำปฏิกิริยาทำให้น้ำหนักไมเลกูลของสตาร์ชลดลง ซึ่งการที่ร่างกายในเม็ดสตาร์ชถูกย่อยสลายให้สตาร์ชไม่สามารถต่อเร่งกวนและไม่สามารถสูญเสียเม็ดสตาร์ชไว้ได้ จึงทำให้ความหนืดลดลง และความหนืดขณะให้ความเย็นมีค่าเพิ่มขึ้น เนื่องจากความตัวกันใหม่ของสตาร์ชซึ่งเกิดจากแรงดึงดูดระหว่างไมเลกูล



ภาพที่ 29 การเปลี่ยนแปลงความหนืดจากการวิเคราะห์ด้วยเครื่อง RVA ของสตาร์ชถ้าเขียวที่ไม่ผ่านและผ่านการตัดแปรโดยวิธีอกซิเดชัน

ตารางที่ 8 ค่าการเปลี่ยนแปลงความหนืดจากการวิเคราะห์ด้วยเครื่อง RVA ของสตาร์ชถัวเขียวที่ไม่ผ่านและผ่านการดัดแปลงโดยวิธีอุอกซิเดชัน

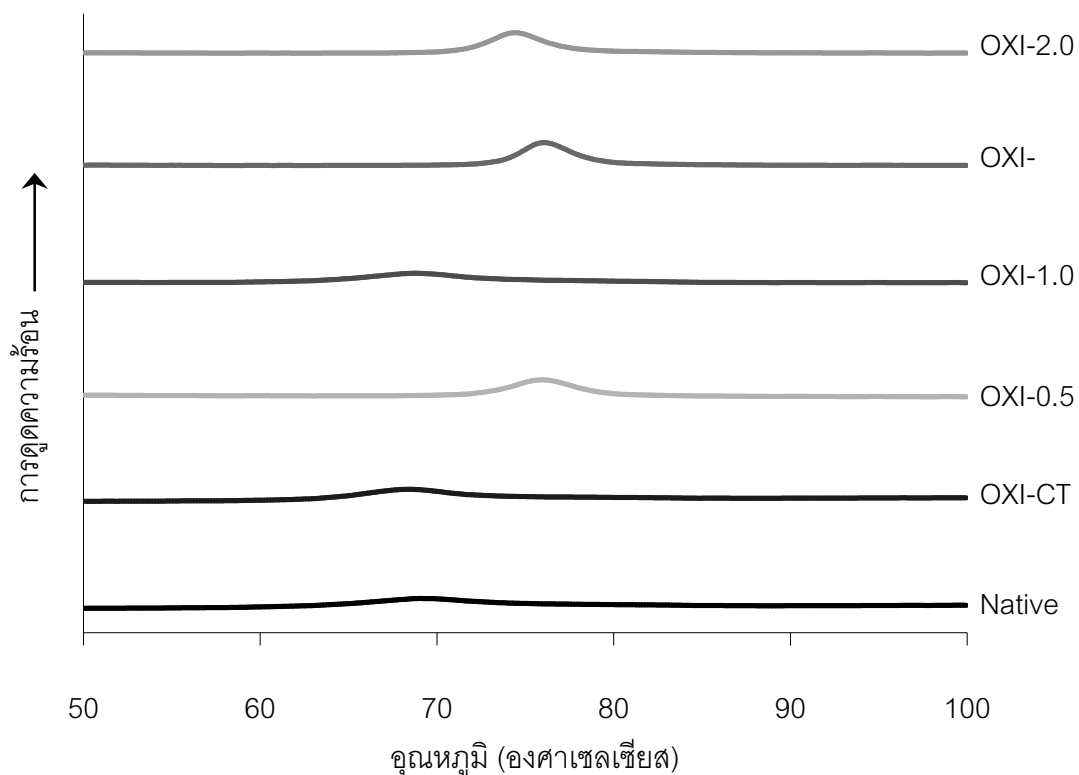
ตัวอย่าง	Peak	Trough	Breakdown	Final viscosity	Setback	Peak time	Pasting temp.
	(RVU)	(RVU)	(RVU)	(RVU)	(RVU)	(min)	(°C)
Native starch	1022.92 ± 6.61 ^c	146.89 ± 8.30 ^f	876.03 ± 8.17 ^b	444.31 ± 91.96 ^c	297.42 ± 83.72 ^c	3.94 ± 0.12 ^{bc}	74.30 ± 0.05 ^e
OXI-CT	1147.81 ± 22.09 ^b	181.54 ± 3.74 ^e	966.26 ± 21.61 ^a	461.11 ± 64.45 ^c	279.57 ± 65.03 ^{cd}	3.88 ± 0.02 ^c	75.44 ± 0.46 ^d
OXI-0.5	1225.99 ± 42.09 ^a	821.70 ± 10.85 ^a	404.29 ± 44.74 ^{de}	1010.57 ± 33.77 ^a	188.87 ± 38.41 ^e	4.25 ± 0.09 ^a	80.57 ± 0.88 ^a
OXI-1.0	881.67 ± 43.50 ^d	449.63 ± 20.68 ^b	432.04 ± 23.79 ^{cd}	677.79 ± 35.55 ^b	228.17 ± 51.92 ^{de}	3.98 ± 0.06 ^b	76.26 ± 0.67 ^c
OXI-1.5	775.75 ± 12.50 ^e	319.24 ± 6.71 ^c	456.52 ± 8.67 ^c	1018.31 ± 34.87 ^a	699.07 ± 40.37 ^a	3.94 ± 0.03 ^{bc}	80.41 ± 0.40 ^a
OXI-2.0	634.31 ± 4.40 ^f	244.77 ± 7.89 ^d	389.54 ± 10.30 ^e	704.07 ± 52.93 ^b	459.31 ± 51.36 ^b	3.88 ± 0.02 ^c	79.08 ± 0.70 ^b

a,...,f = ตัวเลขที่มีตัวอักษรกำกับเหมือนกันในคอลัมน์เดียวกันคือปีมีความแตกต่างอย่างมีนัยสำคัญทางสถิติที่ระดับความเชื่อมั่นร้อยละ 95 ค่าในตารางคือ ค่าเฉลี่ย ± SD (n=2)

2.6 ผลของการตัดแบ่งต่อการเปลี่ยนแปลงเชิงความร้อนในการเกิดเจลาติในเซชันของสตาร์ชถั่วเขียว

ผลการวิเคราะห์การเปลี่ยนแปลงเชิงความร้อน ได้แก่ อุณหภูมิเริ่มเกิดเจลาติในเซชัน (onset temperature, T_O) อุณหภูมิที่เกิดการเปลี่ยนแปลงสูงสุด (peak temperature, T_P) อุณหภูมิสุดท้ายในการเกิดเจลาติในเซชัน (conclusion temperature, T_C) ช่วงอุณหภูมิในการเกิดเจลาติในเซชัน ($T_C - T_O$) และพลังงานเอนทัลปี (gelatinization enthalpy, ΔH) ต่อการเกิดเจลาติในเซชันของสตาร์ชถั่วเขียวที่ไม่ผ่านและผ่านการตัดแบ่งโดยวิธีออกซิเดชันด้วยเครื่อง Differential Scanning Calorimeter (DSC) แสดงดังภาพที่ 30 และตารางที่ 9

สตาร์ชถั่วเขียวที่ไม่ผ่านการตัดแบ่งมี T_O เท่ากับ 68.91 องศาเซลเซียส T_P เท่ากับ 62.74 องศาเซลเซียส T_C เท่ากับ 75.35 องศาเซลเซียส $T_C - T_O$ เท่ากับ 12.61 องศาเซลเซียส และ ΔH เท่ากับ 12.61 จูลต่อกรัม หลังจากผ่านการตัดแบ่งโดยวิธีออกซิเดชันพบว่า T_O , T_P และ T_C มีค่าเพิ่มขึ้น ยกเว้นการตัดแบ่งที่ระดับแอกทีพคลอรีนเท่ากับ 1.0% ที่ค่า T_O , T_P และ T_C ไม่แตกต่างอย่างมีนัยสำคัญทางสถิติจากสตาร์ชที่ไม่ผ่านการตัดแบ่ง ค่า ΔH ของสตาร์ชตัดแบ่งไม่มีความแตกต่างอย่างมีนัยสำคัญกับสตาร์ชที่ไม่ผ่านการตัดแบ่ง ผลที่ได้สอดคล้องกับทดลองของ Wang และ Wang (2003) ซึ่งการเพิ่มขึ้นของอุณหภูมิในการเกิดเจลาติในเซชันเกิดจากบริเวณอสัน്ധานภายในเม็ดสตาร์ชถูกย่อย โดยเพิ่มการจับกับน้ำ และการพองตัวของส่วนที่เป็นผลึก เมื่อความเข้มข้นของแอกทีพคลอรีนเท่ากับ 2.0% มีแนวโน้มว่า T_O , T_P และ T_C มีค่าลดลง เมื่อเทียบกับความเข้มข้นของแอกทีพคลอรีน 1.5% อาจเกิดจากส่วนที่เป็นผลึกถูกย่อย ในขณะที่ Lawal (2004); Lawal และ Adebawale (2005); Lawal และคณะ (2005) พบร่วงหลังจากสตาร์ชผ่านการตัดแบ่งโดยวิธีออกซิเดชัน T_O , T_P , T_C และ ΔH มีค่าลดลง ส่วน Sánchez-Rivera และคณะ (2005) พบร่วง T_O , T_P และ T_C มีค่าเพิ่มขึ้น แต่ ΔH มีค่าลดลง



ภาพที่ 30 การเปลี่ยนแปลงความร้อนต่อการเกิดเจลาติในเข็มขันของสตาร์ชถ้าเขียวที่ไม่ผ่านและผ่านการดัดแปลงวิธีออกซิเดชัน

ตารางที่ 9 การเปลี่ยนแปลงเชิงความร้อนต่อการเกิดเจลาตินเซชันจากการวิเคราะห์ด้วยเครื่อง DSC ของสตาร์ชถั่วเขียวที่ไม่ผ่านและผ่านการตัดแพรโดยวิธีอุกซิเดชัน

ตัวอย่าง	อุณหภูมิในการเกิดเจลาตินเซชัน (องศาเซลเซียส)				エネทอลปี (ΔH; J/g)
	T_o	T_p	T_c	$(T_c - T_o)$	
Native starch	62.74 ± 0.05^b	68.92 ± 0.22^c	75.35 ± 0.12^b	12.61 ± 0.22^a	12.61 ± 0.15^{ab}
OXI-CT	64.59 ± 1.99^b	67.92 ± 0.71^c	73.91 ± 0.32^c	9.32 ± 1.67^b	11.64 ± 1.36^b
OXI-0.5	72.15 ± 0.55^a	75.29 ± 0.94^{ab}	78.65 ± 1.34^a	6.50 ± 0.79^c	12.01 ± 0.61^{ab}
OXI-1.0	63.00 ± 0.01^b	68.78 ± 0.00^c	74.43 ± 0.20^{bc}	11.43 ± 0.19^a	11.80 ± 0.46^b
OXI-1.5	73.11 ± 0.55^a	75.88 ± 0.35^a	79.10 ± 0.15^a	5.98 ± 0.39^c	13.34 ± 0.13^a
OXI-2.0	71.09 ± 0.63^a	74.20 ± 0.36^b	77.71 ± 0.07^a	6.61 ± 0.50^c	13.39 ± 0.05^a

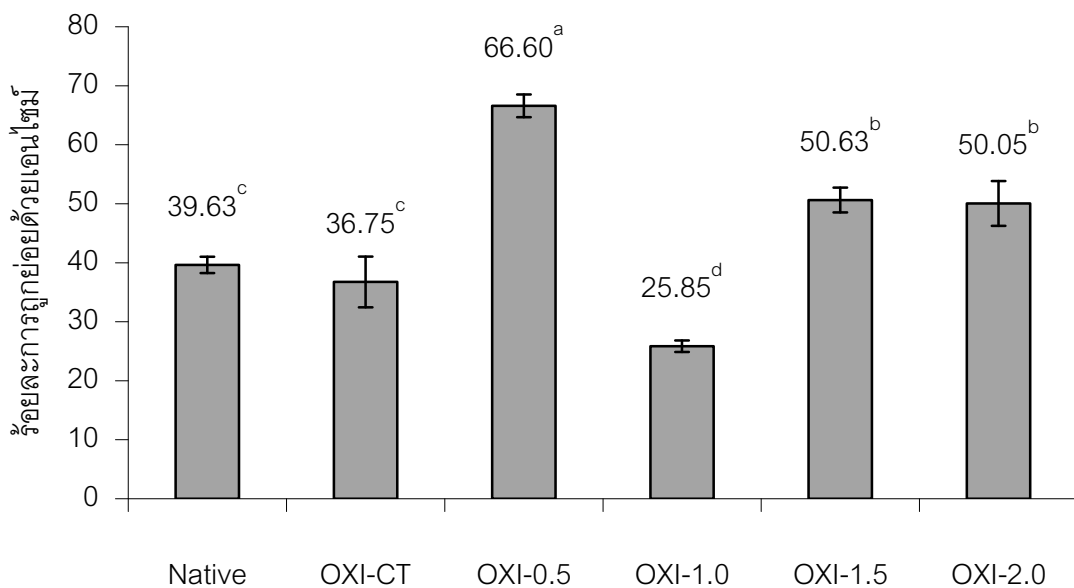
a,...,e = ตัวเลขที่มีตัวอักษรกำกับเหมือนกันในคอลัมน์เดียวกันคือไม่มีความแตกต่างอย่างมีนัยสำคัญทางสถิติที่ระดับความเชื่อมั่น
ร้อยละ 95 ค่าในตารางคือ ค่าเฉลี่ย \pm SD ($n=2$)

2.7 ผลของการดัดแปลงต่อความคงตัวต่อการย่อยด้วยเอนไซม์ของสตาร์ชถั่วเขียว

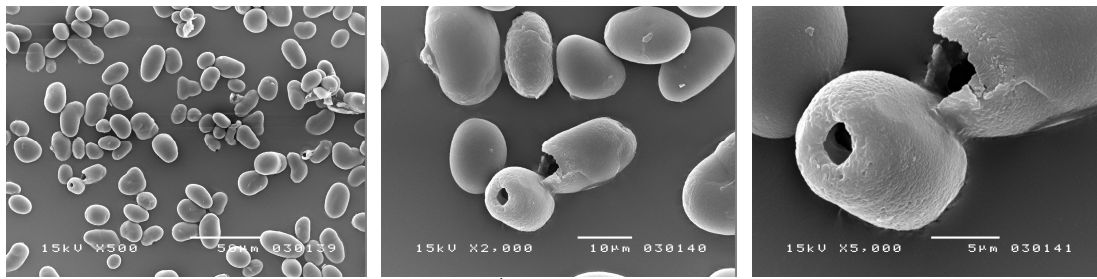
ผลการวิเคราะห์ความสามารถในการถูกย่อยด้วยเอนไซม์แอลฟ้าอะไมเลสنان 6 ชั่วโมง ของสตาร์ชถั่วเขียวที่ไม่ผ่านและผ่านการดัดแปลงโดยวิธีออกซิเดชัน แสดงในภาพที่ 31 และตารางที่ 26 และภาพถ่ายจากกล้องจุลทรรศน์อิเล็กตรอนแบบส่องกราด (SEM) ของสตาร์ชที่ไม่ผ่านและผ่านการดัดแปลงโดยวิธีออกซิเดชันแสดงในภาพที่ 32

จากภาพที่ 31 พบร่วมกับ 39.63 และหลังจากการดัดแปลงมีร้อยละของการถูกย่อยด้วยเอนไซม์แอลฟ้าอะไมเลสเท่ากับ 39.63 และหลังจากการดัดแปลงโดยวิธีออกซิเดชันพบว่าค่าร้อยละการถูกย่อยด้วยเอนไซม์เพิ่มขึ้น ยกเว้นที่ความเข้มข้นของเอดทีพคลอรีน 1.0% ที่มีค่าลดลง

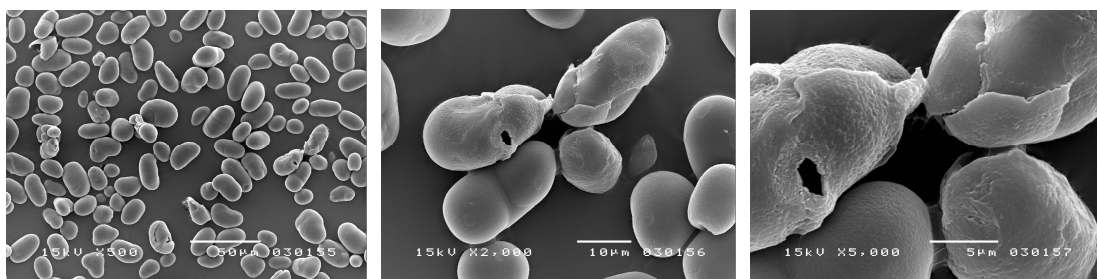
และจากภาพถ่ายจากกล้องจุลทรรศน์อิเล็กตรอนแบบส่องกราด พบว่าสตาร์ชถูกกัดกร่อนที่ผิวย่างเห็นได้ชัด มีบางเม็ดถูกเอนไซม์ย่อยจนเกิดเป็นโพรงภายใน บางส่วนมีการแตกของเม็ดสตาร์ช



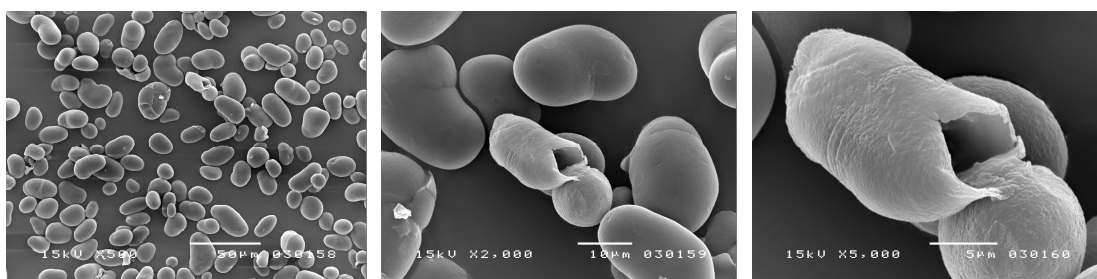
ภาพที่ 31 ค่าร้อยละการถูกย่อยด้วยเอนไซม์แอลฟ้าอะไมเลสของสตาร์ชถั่วเขียวที่ไม่ผ่านและผ่านการดัดแปลงด้วยวิธีออกซิเดชัน



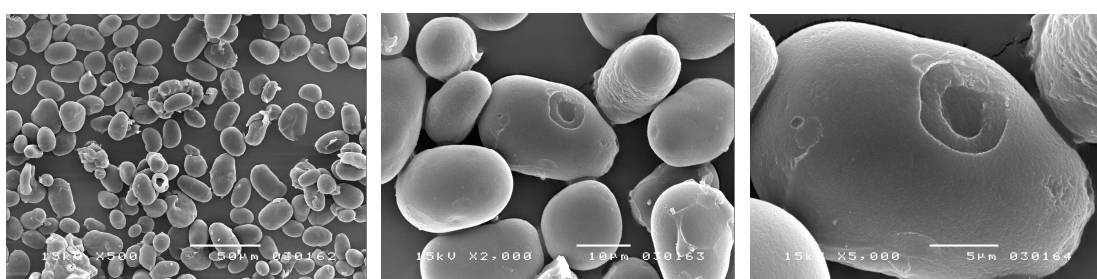
สตาร์ชที่ไม่ผ่านการดัดแปลง



สตาร์ชดัดแปลงที่แยกทีพคลอรีน 0.0%



สตาร์ชดัดแปลงที่แยกทีพคลอรีน 1.0%



สตาร์ชดัดแปลงที่แยกทีพคลอรีน 2.0%

ภาพที่ 32 ภาพถ่ายจากกล้องจุลทรรศน์อิเลคตรอนแบบส่องการดัดแปลงลักษณะปูภาคทางสันฐานภายในหลังการย่อยด้วยเอนไซม์แอลฟ่าอะไมเลสของสตาร์ชถ้าเขียวที่ไม่ผ่านและผ่านการดัดแปลงโดยวิธีออกซิเดชัน ที่กำลังขยาย 170, 650 และ 1,700 เท่า ตามลำดับ (จากซ้ายไปขวา)

2.8 ผลของการดัดแปลงตัวและภาระลักษณะของสตาร์ชถั่วเขียว

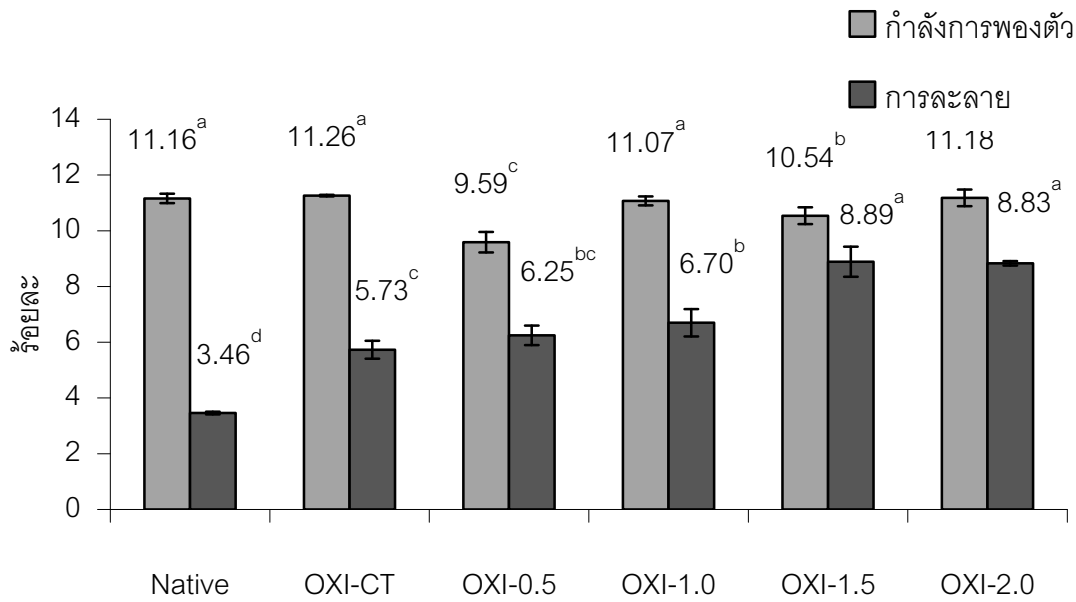
เมื่อมีการให้ความร้อนแก่เม็ดสตาร์ชที่แขวนลอย (starch suspension) เม็ดสตาร์ชจะเกิดการพองตัว และจะทำให้บางส่วนของเม็ดสตาร์ชละลายออกมานา ความสามารถในการละลายจะเป็นหนึ่งในของแข็งทั้งหมดที่ละลายในสารละลาย

ค่ากำลังการพองตัวและร้อยละการละลายของสตาร์ชถั่วเขียวที่ไม่ผ่านการดัดแปลงโดยวิธีออกซิเดชัน แสดงไว้ในภาพที่ 33 และตารางที่ 27 สตาร์ชถั่วเขียวที่ไม่ผ่านการดัดแปลงมีค่า ร้อยละการละลายเท่ากับ 3.46 และมีกำลังการพองตัวเท่ากับ 11.16 ซึ่งหลังจากผ่านการดัดแปลงโดยวิธีออกซิเดชันพบว่าที่ความเข้มข้นของแอดทีพคลอรีนเท่ากับ 0.5 และ 1.5% กำลังการพองตัวมีค่าลดลง ส่วนที่ความเข้มข้นของแอดทีพคลอรีนเท่ากับ 1.0 และ 2.0% ไม่มีความแตกต่างอย่างมีนัยสำคัญทางสถิติกับสตาร์ชที่ไม่ผ่านการดัดแปลง ในขณะที่ค่าการละลายมีค่าเพิ่มขึ้นหลังจากผ่านการดัดแปลงที่ได้คล้ายกับการทดลองของ Wang และ Wang (2003)

Lawal และ Adebawale (2005); Lawal และคณะ (2005); Lawal (2004); Adebawale, Afolabi และ Lawal (2002) รายงานว่าหลังจากสตาร์ชผ่านการดัดแปลงโดยวิธีออกซิเดชัน ที่อุณหภูมิ 85 องศาเซลเซียส ค่ากำลังการพองตัวจะลดลง แต่ค่าการละลายจะเพิ่มขึ้น ส่วน Sánchez-Rivera และคณะ (2005) รายงานว่าที่ความเข้มข้นของแอดทีพคลอรีนเท่ากับ 0.75 และ 1.0% กำลังการพองตัวจะลดลง แต่ที่ความเข้มข้นของแอดทีพคลอรีนเท่ากับ 1.5 และ 2.0% กำลังการพองตัวจะเพิ่มขึ้น และหลังผ่านการดัดแปลงค่าการละลายจะเพิ่มขึ้น

การที่กำลังการพองตัวลดลงเกิดขึ้นเนื่องจากเกิดจากจัดเรียงตัวใหม่ของอะไมโน酇ตินและสตาร์ชสูญเสียความสามารถในการจับกับน้ำ (Wang และ Wang, 2003) ไฮโพรคลอโรทีมิคลต่อโครงสร้างที่ไม่แข็งแรงภายในเม็ดสตาร์ชอย่างสูง จะส่งผลให้สตาร์ชสามารถละลายได้มากขึ้น ซึ่งเป็นสาเหตุให้กำลังการพองตัวลดลง (Adebawale, Afolabi และ Lawal, 2002)

Lawal (2004) กล่าวว่าสารออกซิไดซ์จะเข้าทำปฏิกิริยาภายในเม็ดสตาร์ชบริเวณที่เป็นอสังหาริมทรัพย์ ซึ่งค่าการละลายเพิ่มขึ้นเนื่องจากการจัดเรียงตัวใหม่ของโมเลกุลและโครงสร้างที่อ่อนแอลงของเม็ดสตาร์ช

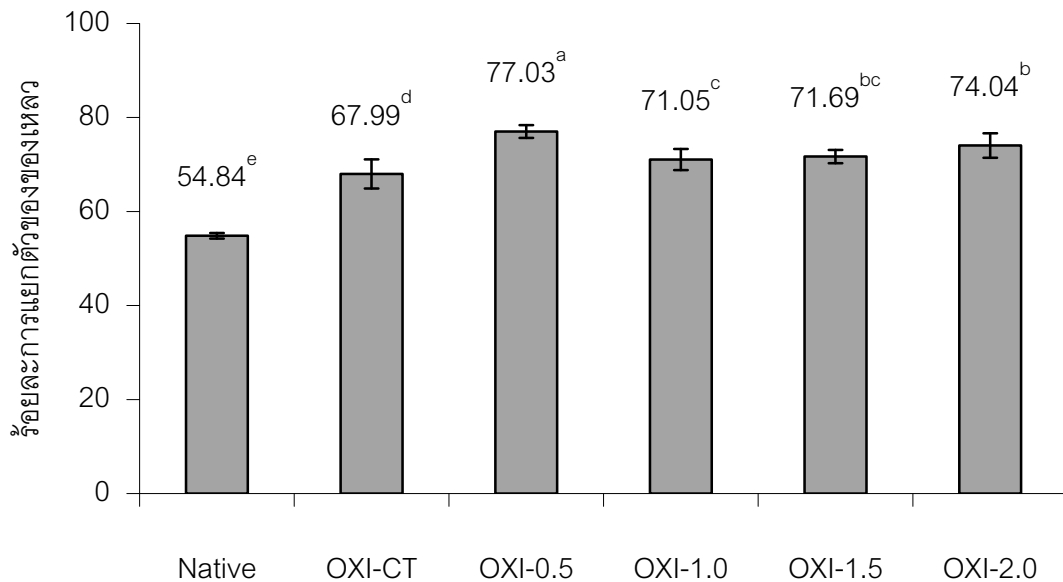


ภาพที่ 33 ค่ากำลังการพองตัวและการละลายของสตาร์ชั่วเขียวที่ไม่ผ่านและผ่านการดัดแปลงด้วยวิธีออกซิเดชัน

2.9 ผลของการดัดแปลงต่อความคงตัวต่อการแข็ง-ละลายของสตาร์ชั่วเขียว

ผลการศึกษาความคงตัวต่อการแข็ง-ละลายของสตาร์ชั่วเขียวที่ไม่ผ่านและผ่านการดัดแปลงด้วยวิธีออกซิเดชัน แสดงในภาพที่ 34 และตารางที่ 28 ความคงตัวต่อการแข็ง-ละลายจะแสดงอยู่ในรูปของปริมาณการแยกตัวของเหลว (syneresis) ของสตาร์ชสูกที่ผ่านการแข็ง-ละลาย ถ้าหากมีร้อยละของการแยกตัวของของเหลวออกมากสูง แสดงว่าตัวอย่างนั้นมีความคงตัวต่อการแข็ง-ละลายต่ำ

สตาร์ชั่วเขียวที่ไม่ผ่านการดัดแปลงมีร้อยละการแยกตัวของเหลวเท่ากับ 54.84 และเมื่อสตาร์ชผ่านการดัดแปลงด้วยวิธีออกซิเดชัน พบร่วมร้อยละการแยกตัวของของเหลวเพิ่มขึ้น การที่ร้อยละการแยกตัวของของเหลวเพิ่มขึ้นเนื่องมาจากการเปลี่ยนรูปโมเลกุลส่วนที่เป็นอะไมโลสได้มากกว่าอะไมโลเพคติน จึงทำให้สตาร์ชสามารถจัดเรียงตัวให้เป็นร่างแทสมมิติได้ดีขึ้น เมื่อเก็บสตาร์ชเจลไว้ที่อุณหภูมิต่ำการเรียงตัวของโครงสร้างจึงแน่นขึ้น ไม่เลกุลของน้ำจึงถูกบีบออกมานอกเจลมากกว่าสตาร์ชที่ไม่ผ่านการดัดแปลง

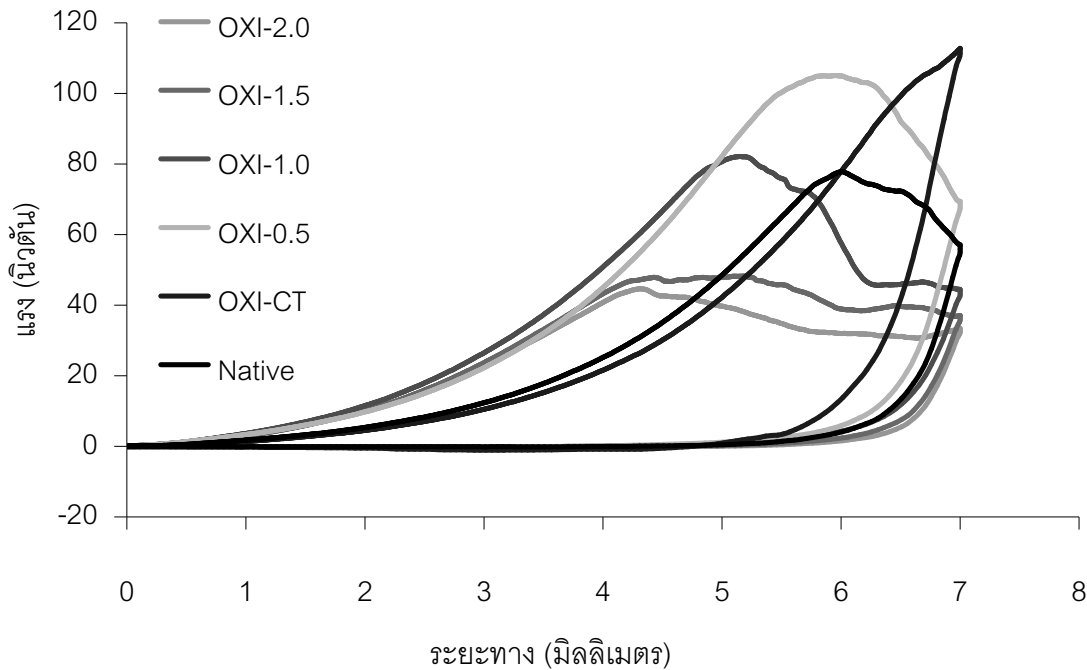


ภาพที่ 34 ค่าร้อยละการแยกตัวของของเหลว (syneresis) ของสตาร์ชถั่วเขียวที่ไม่ผ่านและผ่านการดัดแปลงโดยวิธีออกซิเดชัน

2.10 ผลของการดัดแปลงต่อความแข็งแรงของเจลของสตาร์ชถั่วเขียว

การศึกษาความแข็งแรงของเจลจากสตาร์ชถั่วเขียวที่ไม่ผ่านและผ่านการดัดแปลงโดยวิธีออกซิเดชัน แสดงในภาพที่ 35 และตารางที่ 29 ซึ่งสตาร์ชถั่วเขียวที่ไม่ผ่านการดัดแปลงจะมีค่าความแข็งแรงของเจลเท่ากับ 78.96 นิวตัน หลังจากสตาร์ชถั่วเขียวผ่านการดัดแปลงโดยวิธีออกซิเดชัน พบร่วมกับความเข้มข้นของแอกอทิพคลอริน 0.5% ทำให้ความแข็งแรงของเจลเพิ่มขึ้น ที่ความเข้มข้นของแอกอทิพคลอริน 1.0% ให้ค่าความแข็งแรงของเจลไม่แตกต่างอย่างมีนัยสำคัญ ทางสถิติจากสตาร์ชที่ไม่ผ่านการดัดแปลง ส่วนที่ความเข้มข้นของแอกอทิพคลอริน 1.5 และ 2.0% ทำให้ความแข็งแรงของเจลดลลง

การที่ความแข็งแรงของเจลเพิ่มขึ้นอาจเนื่องมาจากสตาร์ชถูกย่อยในส่วนที่เป็นสันฐาน ทำให้ไม่เกิดมีความพยายามที่เหมาะสม และทำให้เกิดพันธะไบโอดเรนระหว่างสายสตาร์ชมากขึ้นส่งผลให้เจลแข็งแรงขึ้น ส่วนที่ความระดับของการดัดแปลงสูงๆ ความแข็งแรงของเจลดลลงเนื่องจากหมุนคาร์บอนิลและคาร์บอฟิลภายในไม่เกิดสตาร์ชเกิดแรงผลักดัน ส่งผลให้การจัดเรียงตัวของสายสตาร์ชเกิดได้ยากขึ้น ส่งผลให้ความแข็งแรงของเจลดลลง



ภาพที่ 35 ความแข็งแรงของเจลของสตาร์ชถั่วเขียวที่ไม่ผ่านและผ่านการดัดแปลงวิธีออกซิเดชัน

2.11 ผลของการดัดแปลงต่อหมุนคาร์บอนิลและหมุนคาร์บออกซิลของสตาร์ชถั่วเขียว

การศึกษาปริมาณหมุนคาร์บอนิลและหมุนคาร์บออกซิลของสตาร์ชถั่วเขียวที่ไม่ผ่านและผ่านการดัดแปลงวิธีออกซิเดชัน แสดงไว้ในตารางที่ 10 สตาร์ชถั่วเขียวที่ไม่ผ่านการดัดแปลงมีร้อยละหมุนคาร์บอนิลเท่ากับ 0.0198 หลังจากการดัดแปลงสตาร์ชถั่วเขียวโดยวิธีออกซิเดชัน พบร่วร้อยละหมุนคาร์บอนิลและหมุนคาร์บออกซิลมีค่าเพิ่มขึ้นเมื่อความเข้มข้นของแอกทีพคลอรีนเพิ่มขึ้น โดยร้อยละหมุนคาร์บอนิลอยู่ในช่วง 0.0197-0.0810 และหมุนคาร์บออกซิลอยู่ในช่วง -0.0065-0.0667 ผลที่ได้สอดคล้องกับการทดลองของ Sánchez-Rivera และ คณะ (2005); Wang และ Wang (2003); Li และ Vasanthan (2003) ที่พบร่วร้อยละของหมุนคาร์บอนิลและหมุนคาร์บออกซิลมีค่าเพิ่มขึ้นเมื่อความเข้มข้นของแอกทีพคลอรีนเพิ่มขึ้น

กระทรวงอุตสาหกรรม (2535) ได้มีเกณฑ์กำหนดและลักษณะชี้บ่งของสตาร์ชที่ดัดแปลงโดยวิธีออกซิเดชันคือ ออกซิไดซ์สตาร์ชที่ใช้ในอุตสาหกรรมอาหารจะต้องทำปฏิกิริยา กับคลอรีนในรูปของโซเดียมไฮโปคลอไรท์ไม่เกินร้อยละ 5.5 และมีหมุนคาร์บออกซิลไม่เกินร้อยละ 1.1 ซึ่งจากการทดลองที่ความเข้มข้นของแอกทีพคลอรีน 2.0% ซึ่งเป็นระดับสูงสุดที่ใช้ในการดัดแปลง พบร่วร้อยละหมุนคาร์บออกซิลไม่เกินจากที่กฎหมายกำหนด ตัวอย่างเช่นเมื่อความเข้มข้นของแอกทีพคลอรีน 2.0% ซึ่งเป็นระดับสูงสุดที่ใช้ในการดัดแปลง พบร่วร้อยละหมุนคาร์บออกซิลไม่เกินจากที่กฎหมายกำหนด

ตารางที่ 10 ค่าร้อยละหมุ่ค่าร์บอนิลและหมุ่ค่าร์บอคซิลของสตาร์ชถั่วเขียวที่ไม่ผ่านและผ่านการดัดแปลงโดยวิธีออกซิเดชัน

ตัวอย่าง	ร้อยละหมุ่ค่าร์บอนิล	ร้อยละหมุ่ค่าร์บอคซิล
Native starch	0.0198 ± 0.0043 ^e	-
Oxidized starch, control	0.0197 ± 0.0046 ^e	-0.0065 ± 0.0012 ^d
Oxidized starch, 0.5% active chlorine	0.0286 ± 0.0041 ^d	0.0008 ± 0.0006 ^d
Oxidized starch, 1.0% active chlorine	0.0548 ± 0.0053 ^c	0.0094 ± 0.0011 ^c
Oxidized starch, 1.5% active chlorine	0.0641 ± 0.0031 ^b	0.0381 ± 0.0011 ^b
Oxidized starch, 2.0% active chlorine	0.0810 ± 0.0024 ^a	0.0667 ± 0.0019 ^a

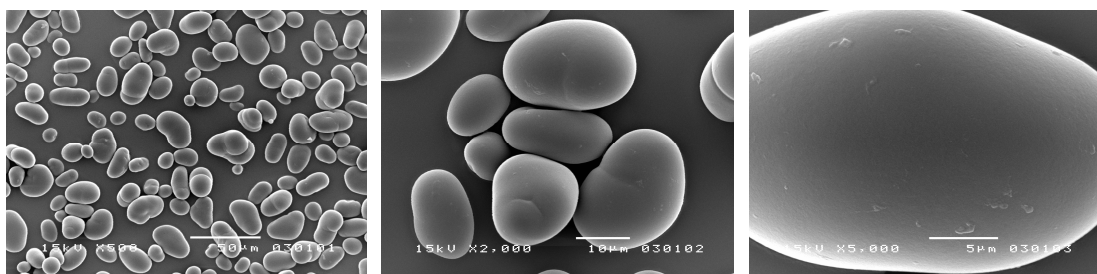
a,...,e = ตัวเลขที่มีตัวอักษรกำกับเหมือนกันในคอลัมน์เดียวกันคือไม่มีความแตกต่างอย่างมีนัยสำคัญทางสถิติที่ระดับความเชื่อมั่นร้อยละ 95 ในตารางคือค่าเฉลี่ย ± SD (n=2)

3. การดัดแปลงสตาร์ชถั่วเขียวโดยการเชื้อมข้าม

3.1 ผลของการดัดแปลงลักษณะปราภูทางสันฐานวิทยาของสตาร์ชถั่วเขียว

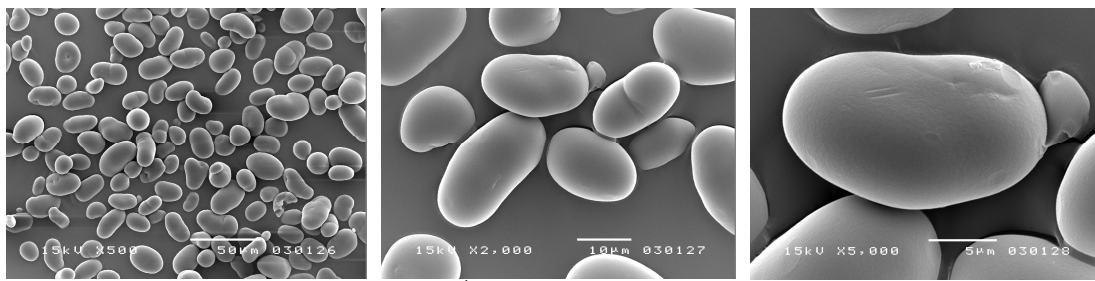
ภาพถ่ายจากกล้องจุลทรรศน์อิเลคตรอนแบบส่องกราดของสตาร์ชถั่วเขียวที่ไม่ผ่านการดัดแปลงในภาพที่ 36 และสตาร์ชถั่วเขียวที่ผ่านการดัดแปลงโดยการเชื้อมข้าม แสดงในภาพที่ 37 จากภาพที่ 36 พบร่วมกับสตาร์ชถั่วเขียวที่ไม่ผ่านการดัดแปลงมีลักษณะรูปร่างหลายแบบ ได้แก่ กลม กลมรี ไปจนถึงมีลักษณะคล้ายไต และมีขนาดที่แตกต่างกัน โดยเม็ดสตาร์ชที่มีรูปร่างกลมจะมีขนาดเล็ก เม็ดสตาร์ชที่มีรูปร่าง กลมรี และคล้ายไตจะมีขนาดใหญ่ เม็ดสตาร์ชบางเม็ดจะมีร่องซึ่งจะพบร่องในเม็ดสตาร์ชขนาดใหญ่มากกว่าเม็ดสตาร์ชขนาดเล็ก โดยเม็ดสตาร์ชจะกระจายตัวอยู่แบบเม็ดเดี่ยว ไม่มีการจับเป็นกลุ่มก้อน

หลังจากการดัดแปลงโดยการเชื้อมข้ามพบว่าบริเวณผิวของเม็ดสตาร์ชมีรอยคล้ายกับถูกย่ออยู่ ซึ่งน่าจะเกิดสภาพที่เป็นเบสในระหว่างการดัดแปลง ซึ่งผลที่ได้ต่างจาก Kaur, Singh และ Singh (2005); Kim และ Lee (2002); Yeh และ Yeh (1993); Kartha และ Srivastava (1985) ที่พบว่าการดัดแปลงโดยการเชื้อมข้ามไม่ส่งผลกระทบต่อการเปลี่ยนแปลงขนาดและรูปร่างของเม็ดสตาร์ช

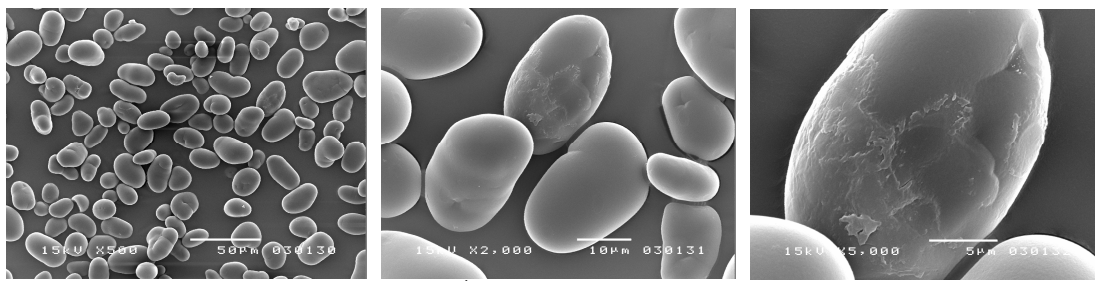


สตาร์ชที่ไม่ผ่านการตัดแบร์

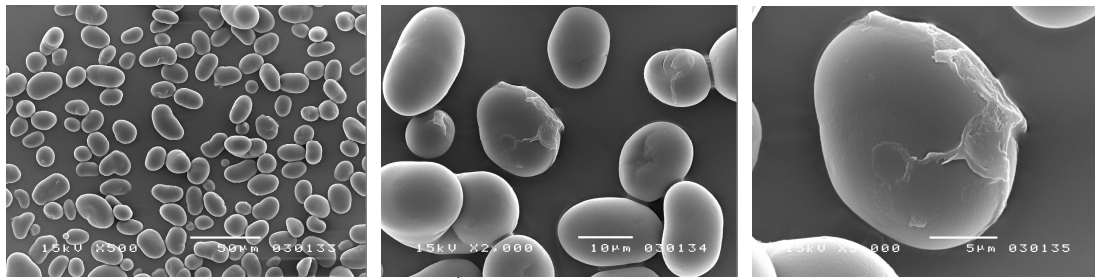
ภาพที่ 36 ภาพถ่ายจากกล้องจุลทรรศน์อิเลคตรอนแบบส่องการดูดเส้นลักษณะปีกภูทาง
สัณฐานของสตาร์ชถัวเฉียวที่ไม่ผ่านการตัดแบร์ ที่กำลังขยาย 170, 650 และ 1,700 เท่า
ตามลำดับ (จากซ้ายไปขวา)



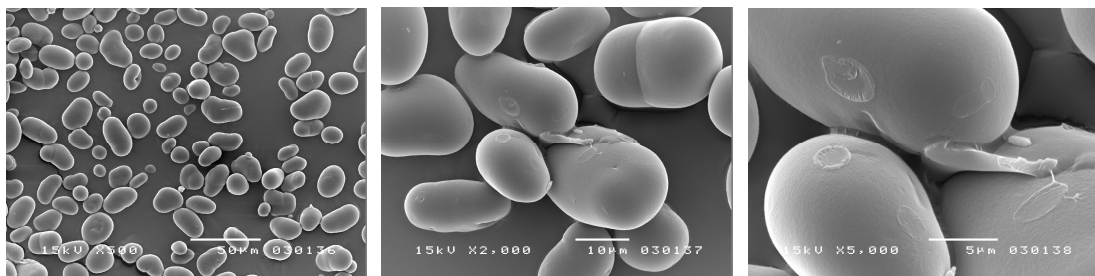
สตาร์ชดัดแปรที่ใช้เดี่ยมไตรเมต้าฟอสเฟต 0.0%



สตาร์ชดัดแปรที่ใช้เดี่ยมไตรเมต้าฟอสเฟต 5.0%



สตาร์ชดัดแปรที่ใช้เดี่ยมไตรเมต้าฟอสเฟต 10.0%



สตาร์ชดัดแปรที่ใช้เดี่ยมไตรเมต้าฟอสเฟต 15.0%

ภาพที่ 37 ภาพถ่ายจากกล้องจุลทรรศน์อิเลคทรอนแบบส่องการณ์แสดงลักษณะปูากฎทาง
สัณฐานของสตาร์ชถัวเฉียวที่ผ่านการดัดแปรโดยการเชื่อมข้าม ที่กำลังขยาย 170, 650
และ 1,700 เท่า ตามลำดับ (จากซ้ายไปขวา)

3.2 ผลของการดัดแปลงค่าสีของสตาร์ชถั่วเขียว

ค่าสีที่วัดจากเครื่องวัดสีของสตาร์ชถั่วเขียวที่ไม่ผ่านและผ่านการดัดแปลงโดยการเชื่อมข้ามแสดงไว้ในตารางที่ 11 ค่า L* เป็นค่าที่แสดงถึงความสว่าง มีค่าอยู่ในช่วง 0-100 โดยที่ 0 แสดงถึงสีดำ และ 100 แสดงถึงสีขาว +a* แสดงความเป็นสีแดง -a* แสดงความเป็นสีเขียว +b* แสดงความเป็นสีเหลือง และ -b* แสดงความเป็นสีน้ำเงิน

สตาร์ชถั่วเขียวที่ไม่ผ่านการดัดแปลงค่า L* เท่ากับ 78.22 a* เท่ากับ 0.36 และ b* เท่ากับ 1.95 หลังจากการดัดแปลงโดยการเชื่อมข้ามพบว่าค่า a* และ b* มีค่าเพิ่มขึ้น และสตาร์ชดัดแปลงที่ความเข้มข้นของโซเดียมไตรเมตافอฟไฟฟ์ 10.0 และ 15.0% มีค่า L* เพิ่มขึ้น

ตารางที่ 11 ค่าสีของสตาร์ชถั่วเขียวที่ไม่ผ่านและผ่านการดัดแปลงโดยการเชื่อมข้าม

ตัวอย่าง	ค่าสี		
	L*	a*	b*
Native starch	78.22 ± 0.01 ^c	0.36 ± 0.02 ^b	1.95 ± 0.02 ^c
CL-CT	78.34 ± 0.68 ^{bc}	0.11 ± 0.08 ^c	2.68 ± 0.05 ^a
CL-5.0	78.32 ± 0.35 ^{bc}	0.48 ± 0.07 ^a	2.60 ± 0.21 ^{ab}
CL-10.0	78.89 ± 0.18 ^{ab}	0.54 ± 0.03 ^a	2.46 ± 0.13 ^b
CL-15.0	78.94 ± 0.54 ^a	0.52 ± 0.06 ^a	2.64 ± 0.03 ^a

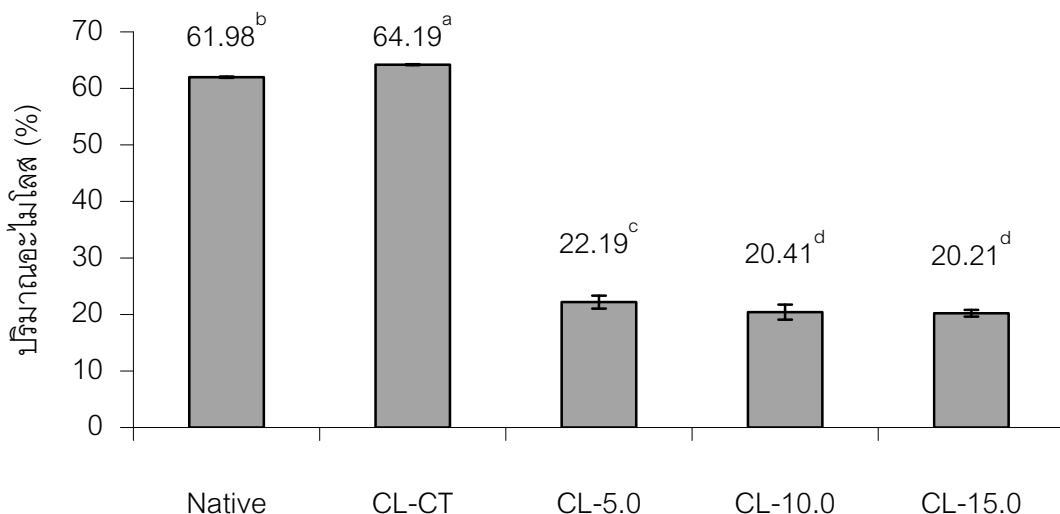
a,...,c = ตัวเลขที่มีตัวอักษรกำกับเหมือนกันในคอลัมน์เดียวกันคือไม่มีความแตกต่างอย่างมีนัยสำคัญทางสถิติที่ระดับความเชื่อมั่นร้อยละ 95 ในตารางคือค่าเฉลี่ย ± SD (n=2)

3.3 ผลของการดัดแปลงปริมาณอะไมโลสของสตาร์ชถั่วเขียว

การหาปริมาณอะไมโลสเพื่อตรวจสอบการสลายตัวของโมเลกุลสตาร์ชที่มีขนาดใหญ่เป็นโมเลกุลที่มีขนาดเล็กลง โดยอาศัยการที่อะไมโลสสามารถรวมตัวเป็นสารประกอบเชิงช้อนกับไอโอดีน โดยอะไมโลสจะไปพันเป็นเกลียวล้อมรอบไอโอดีน (Galliard และ Bowler, 1987) ซึ่งจะให้สีน้ำเงิน และสามารถค่าการดูดกลืนแสงที่ความยาวคลื่น 620 นาโนเมตรได้

จากผลการทดลองการหาปริมาณอะไมโลสของสตาร์ชถั่วเขียวที่ไม่ผ่านและผ่านการดัดแปลงโดยการเชื่อมข้าม ดังแสดงในภาพที่ 38 และตารางที่ 31 พบว่าสตาร์ชถั่วเขียวมีปริมาณอะไมโลสอยร้อยละ 61.98 ซึ่งเป็นปริมาณที่สูงมากเมื่อเทียบกับสตาร์ชถั่วเขียวในรายงานอื่นๆ ที่มีอะไมโลสร้อยละ 30.7 (Kasemsuwan, Bailey และ Jane, 1998) หรือร้อยละ 32.7-34.3 (Liu และ Shen, 2007a และ Liu และ Shen, 2007b) อาจเนื่องมาจากการผลิตหรือสารเคมีที่ใช้ในการสกัดโปรตีนจึงส่งผลให้ปริมาณอะไมโลสสูงกว่ารายงานอื่นๆ หรืออาจเกิดจากกิ่งของอะไมโลสเพกตินที่มีสายยาวเกิดการรวมเป็นสารประกอบเชิงช้อนกับไอกोเดินจึงส่งผลให้ปริมาณอะไมโลสที่วัดได้มีค่าสูง (Kasemsuwan, Bailey และ Jane, 1998)

เมื่อสตาร์ชผ่านการดัดแปลงโดยการเชื่อมข้ามพบว่าปริมาณอะไมโลสลดลงอยู่ในช่วง 20.21-22.19 การที่ปริมาณอะไมโลสลดลงเกิดจากพันธะระหว่างโมเลกุลเพิ่มขึ้นหลังการดัดแปลงผลให้มีปริมาณอะไมโลสต่ำลงอย่าง



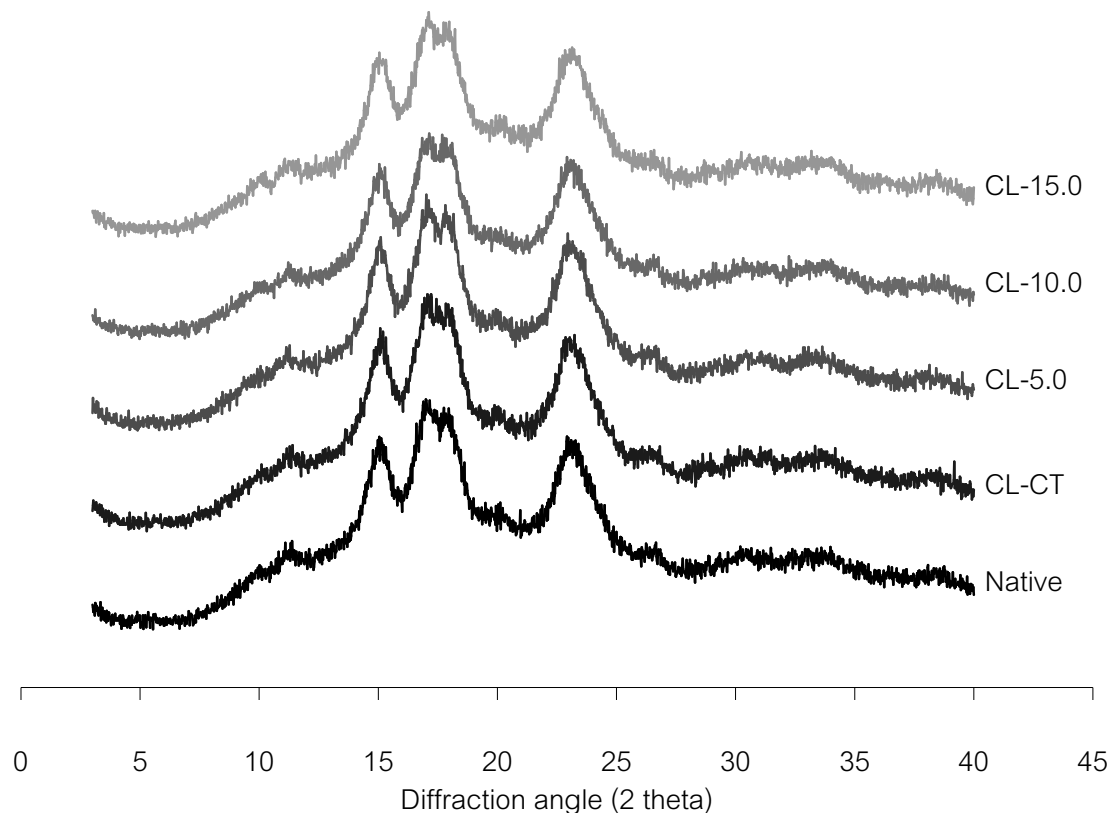
ภาพที่ 38 ปริมาณอะไมโลสของสตาร์ชถั่วเขียวที่ไม่ผ่านและผ่านการดัดแปลงโดยการเชื่อมข้าม

3.4 ผลของการดัดแปลงต่อโครงสร้างผลึกของสตาร์ชถั่วเขียว

ผลการวิเคราะห์โครงสร้างผลึกของสตาร์ชถั่วเขียวที่ไม่ผ่านและผ่านการดัดแปลงโดยการเชื่อมข้ามเมื่อวิเคราะห์ด้วยเครื่องด้วยเครื่อง X-ray diffractometer ซึ่งทำการสแกนที่มุม 2θ เท่ากับ 3-40 องศา แสดงไว้ในภาพที่ 39 และผลการคำนวณร้อยละความเป็นผลึกจากพื้นที่ต่อกำลัง X-ray diffraction แสดงไว้ในตารางที่ 32

สตาร์ชถั่วเขียวมีโครงสร้างผลึกเป็นแบบ A ซึ่งมีพีคหลักปรากฏอยู่ 3 พีค คือที่ตำแหน่ง 20 เท่ากับ 15 องศา สองพีคเชื่อมกันที่ 17 และ 18 องศา และพีคสุดท้ายที่ 23 องศา ซึ่งผลที่ได้ สอดคล้องกับผลของ (Lin และ Shen, 2007b) สตาร์ชถั่วเขียวมีร้อยละความเป็นผลึกเท่ากับ 51.84

สตาร์ชถั่วเขียวเมื่อผ่านการดัดแปลงโดยการเชื่อมข้ามพบร่วมโครงสร้างผลึกและร้อยละความเป็นผลึกไม่เปลี่ยนแปลงเมื่อเทียบกับสตาร์ชที่ไม่ผ่านการดัดแปลง ซึ่งผลทดลองที่ได้สอดคล้องกับการทดลองของ Atichoudomchai และ Varavinit (2003)



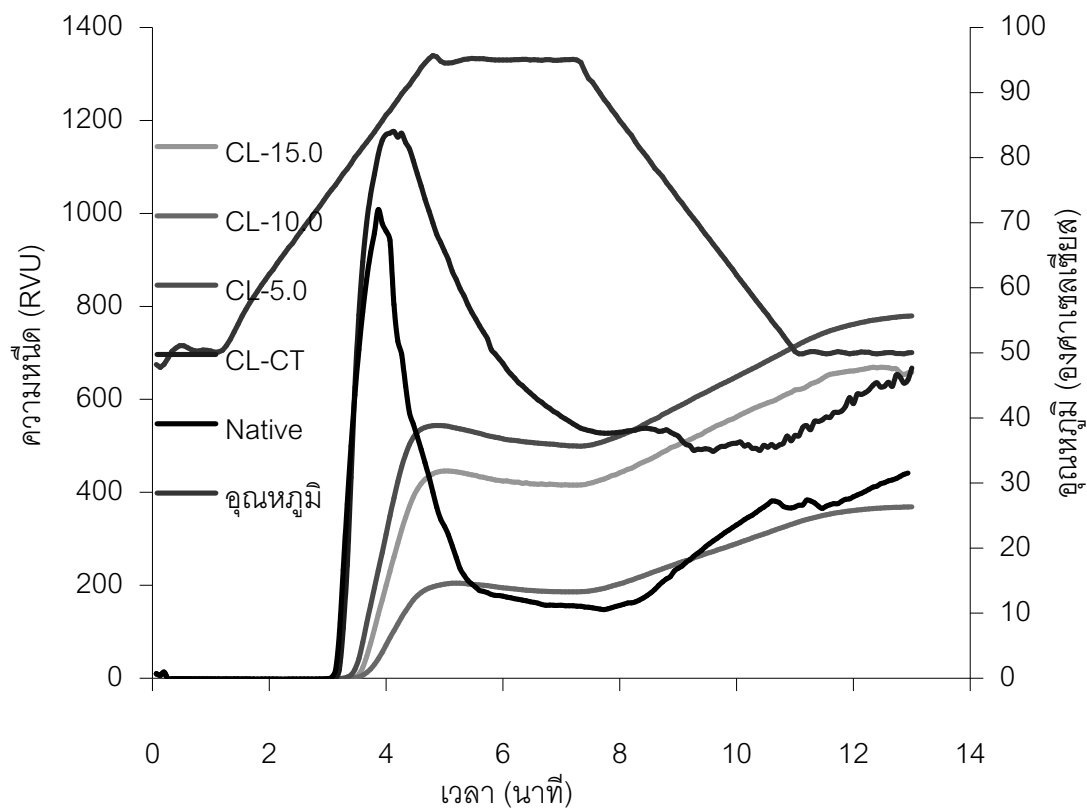
ภาพที่ 39 รูปแบบ X-ray diffraction ของสตาร์ชถั่วเขียวที่ไม่ผ่านและผ่านการดัดแปลงโดยการ เชื่อมข้าม

3.5 ผลของการดัดแปลงต่อพฤติกรรมการเปลี่ยนแปลงความหนืดของสตาร์ชถั่วเขียว

ผลการวิเคราะห์การเปลี่ยนแปลงความหนืดด้วยเครื่อง Rapid Visco Analyzer (RVA) ของสตาร์ชถั่วเขียวที่ไม่ผ่านและผ่านดัดแปลงโดยการเรี๊ยมข้าม แสดงดังภาพที่ 40 และตารางที่ 12 แสดงดังภาพที่ 40 และตารางที่ 12 สตาร์ชถั่วเขียวที่ไม่ผ่านการดัดแปลงมีความหนืดสูงสุดเท่ากับ 1022 RVU และอุณหภูมิที่เริ่มเปลี่ยนแปลงความหนืดเท่ากับ 74.30 องศาเซลเซียส หลังผ่านการดัดแปลงโดยการเรี๊ยมข้ามพบว่า ความหนืดสูงสุด เบรากดาวน์ และเซตแบคเมิค์ลดลง ส่วนอุณหภูมิที่เริ่มเปลี่ยนความหนืดมีค่าสูงขึ้น

การที่ความหนืดสูงสุดลดลงเนื่องจากการเพิ่มขึ้นของพันธะภายในเม็ดสตาร์ช ส่งผลให้เม็ดสตาร์ชมีความแข็งแรงมาก จนไปส่งผลขัดขวางหรือยับยั้งการพองตัวของเม็ดสตาร์ช จึงทำให้ความหนืดลดลง

ค่าเบรกดาวน์เป็นค่าที่อธิบายถึงความทนทานของเม็ดสตาร์ช หลังจากผ่านการดัดแปลงโดยการเรี๊ยมข้ามสตาร์ชจะมีค่าเบรกดาวน์ลดลง แสดงให้เห็นว่าสตาร์ชมีความทนทานเพิ่มขึ้น จึงเกิดการแตกของเม็ดสตาร์ชน้อยลง ซึ่งถ้าหากค่าเบรกดาวนมีค่าสูงขึ้น แสดงว่าเม็ดสตาร์ชจะเกิดการเปลี่ยนแปลงได้ง่ายเมื่อได้รับความร้อน และแรงเฉือน (พินทิพย์, 2547) เช่นเดียวกับการทดลองในสตาร์ชข้าวเหนียว และข้าวเจ้า จะมีค่าเบรกดาวน์ลดลงหลังผ่านการเรี๊ยมข้าม (Liu, Ramsden และ Corke, 1999)



ภาพที่ 40 การเปลี่ยนแปลงความหนืดจากการวิเคราะห์ด้วยเครื่อง RVA ของสตาร์ชถั่วเขียวที่ไม่ผ่านและผ่านการตัดแปรโดยการเชือมข้าม

ตารางที่ 12 ค่าการเปลี่ยนแปลงความหนืดจากการวิเคราะห์ด้วยเครื่อง RVA ของสตาร์ชถั่วเขียวที่ไม่ผ่านและผ่านการดัดแปลงโดยการเชื่อมข้าม

ตัวอย่าง	Peak	Trough	Breakdown	Final viscosity	Setback	Peak time	Pasting temp.
	(RVU)	(RVU)	(RVU)	(RVU)	(RVU)	(min)	(°C)
Native starch	1022.92 ± 6.61 ^b	146.89 ± 8.30 ^c	876.03 ± 8.17 ^a	444.31 ± 91.96 ^c	297.42 ± 83.72 ^a	3.94 ± 0.12 ^c	74.30 ± 0.05 ^c
CL-CT	1194.94 ± 50.51 ^a	473.88 ± 50.00 ^{ab}	715.04 ± 18.46 ^b	667.17 ± 41.54 ^b	193.29 ± 26.51 ^c	4.15 ± 0.10 ^c	76.43 ± 0.46 ^{bc}
CL-5.0	546.30 ± 25.06 ^c	499.36 ± 11.68 ^a	47.01 ± 17.29 ^c	773.60 ± 23.93 ^a	280.24 ± 5.66 ^{ab}	4.89 ± 0.18 ^b	78.71 ± 1.08 ^b
CL-10.0	206.59 ± 9.73 ^e	185.24 ± 16.03 ^c	21.35 ± 7.10 ^d	368.60 ± 23.41 ^c	183.35 ± 7.70 ^c	5.37 ± 0.26 ^a	82.23 ± 4.28 ^a
CL-15.0	446.89 ± 92.00 ^d	414.86 ± 88.65 ^b	32.03 ± 6.33 ^{cd}	658.28 ± 100.60 ^b	243.42 ± 27.94 ^b	5.08 ± 0.12 ^b	81.64 ± 1.20 ^a

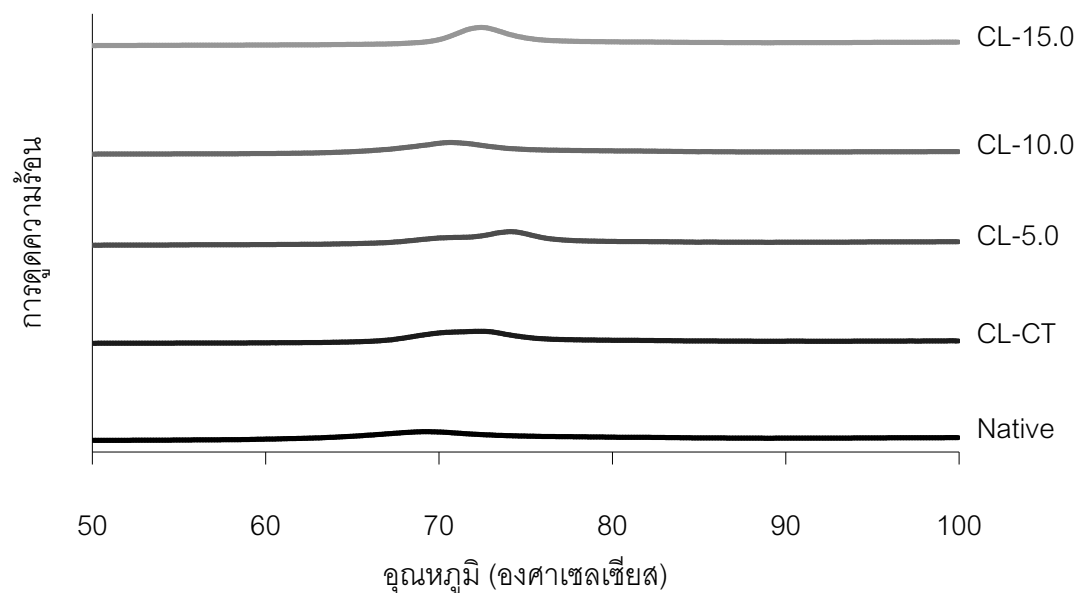
a,...,e = ตัวเลขที่มีตัวอักษรกำกับเหมือนกันในคอลัมน์เดียวกันคือไม่มีความแตกต่างอย่างมีนัยสำคัญทางสถิติที่ระดับความเชื่อมั่นร้อยละ 95 ค่าในตารางคือ ค่าเฉลี่ย ± SD (n=2)

3.6 ผลของการดัดแปลงต่อการเปลี่ยนแปลงเชิงความร้อนในการเกิดเจลาติในเซชันของสตาร์ชถั่วเขียว

ผลการวิเคราะห์การเปลี่ยนแปลงเชิงความร้อน ได้แก่ อุณหภูมิเริ่มเกิดเจลาติในเซชัน (onset temperature, T_O) อุณหภูมิที่เกิดการเปลี่ยนแปลงสูงสุด (peak temperature, T_P) อุณหภูมิสุดท้ายในการเกิดเจลาติในเซชัน (conclusion temperature, T_C) ช่วงอุณหภูมิในการเกิดเจลาติในเซชัน (T_C-T_O) และพลังงานเอนทัลปี (gelatinization enthalpy, ΔH) ต่อการเกิดเจลาติในเซชันของสตาร์ชถั่วเขียวที่ไม่ผ่านการดัดแปลงและผ่านการดัดแปลงโดยการใช้เครื่อง Differential Scanning Calorimeter (DSC) แสดงดังภาพที่ 41 และตารางที่ 13

สตาร์ชถั่วเขียวที่ไม่ผ่านการดัดแปลง T_O เท่ากับ 68.91 องศาเซลเซียส T_P เท่ากับ 62.74 องศาเซลเซียส T_C เท่ากับ 75.35 องศาเซลเซียส T_C-T_O เท่ากับ 12.61 องศาเซลเซียส และ ΔH เท่ากับ 12.61 จูลต่อกรัม หลังจากผ่านการใช้เครื่อง DSC พบว่า T_O มีค่าเพิ่มขึ้น ส่วน T_P , T_C และ ΔH ไม่มีความแตกต่างอย่างมีนัยสำคัญทางสถิติกับสตาร์ชที่ไม่ผ่านการดัดแปลง และ T_C-T_O มีค่าลดลง การใช้เครื่อง DSC วัดค่า T_O , T_P , T_C และ ΔH ของสตาร์ชถั่วเขียวที่อุณหภูมิสูงขึ้น (Atichokudomchai และ Varavinit, 2003)

ค่าเอนทัลปีเป็นการวัดความเป็นผลึกทั้งปริมาณและคุณภาพ และบ่งบอกถึงการสูญเสียโครงสร้างภายในเม็ดสตาร์ช (Cooke และ Gidley, 1992) จากการทดลองค่าเอนทัลปีไม่เปลี่ยนแปลงหลังผ่านการใช้เครื่อง DSC อาจเนื่องมาจาก การดัดแปลงไม่ส่งผลต่อการเปลี่ยนแปลงโครงสร้างผลึกของสตาร์ช



ກາພທີ 41 ກາຮເປົລືຢນແປລງຄວາມຮ້ອນຕ່ອກກາຣເກີດເຈລາຕີໃນເຫັນຂັ້ນຂອງສຕາວົງສັງເຊິວທີ່ໄມ່ຜ່ານແລະ
ຜ່ານກາວດັດແປຣໂດຍກາຣເຊື່ອມຂໍາມ

ตารางที่ 13 การเปลี่ยนแปลงเชิงความร้อนต่อการเกิดเจลาตินเซชันจากการวิเคราะห์ด้วยเครื่อง DSC ของสตาร์ชถัวเขียวที่ไม่ผ่าและผ่านการตัดเปรียบโดยการเข้ามีข้าม

ตัวอย่าง	อุณหภูมิในการเกิดเจลาตินเซชัน (องศาเซลเซียส)				エネทอลปี (ΔH; J/g)
	T_o	T_p	T_c	$(T_c - T_o)$	
Native starch	62.74 ± 0.05 ^b	68.92 ± 0.22 ^a	75.35 ± 0.12 ^a	12.61 ± 0.22 ^a	12.61 ± 0.15 ^a
CL-CT	67.80 ± 1.94 ^{ab}	71.43 ± 1.89 ^a	74.93 ± 0.18 ^a	7.13 ± 0.22 ^b	14.08 ± 1.29 ^a
CL-5.0	69.01 ± 3.74 ^a	72.43 ± 2.59 ^a	76.43 ± 0.81 ^a	7.42 ± 2.93 ^b	13.52 ± 1.25 ^a
CL-10.0	65.58 ± 3.00 ^{ab}	69.92 ± 1.42 ^a	75.18 ± 0.31 ^a	9.60 ± 3.30 ^{ab}	13.17 ± 0.76 ^a
CL-15.0	69.53 ± 0.31 ^a	72.43 ± 0.00 ^a	75.68 ± 0.27 ^a	6.15 ± 0.58 ^b	13.17 ± 0.07 ^a

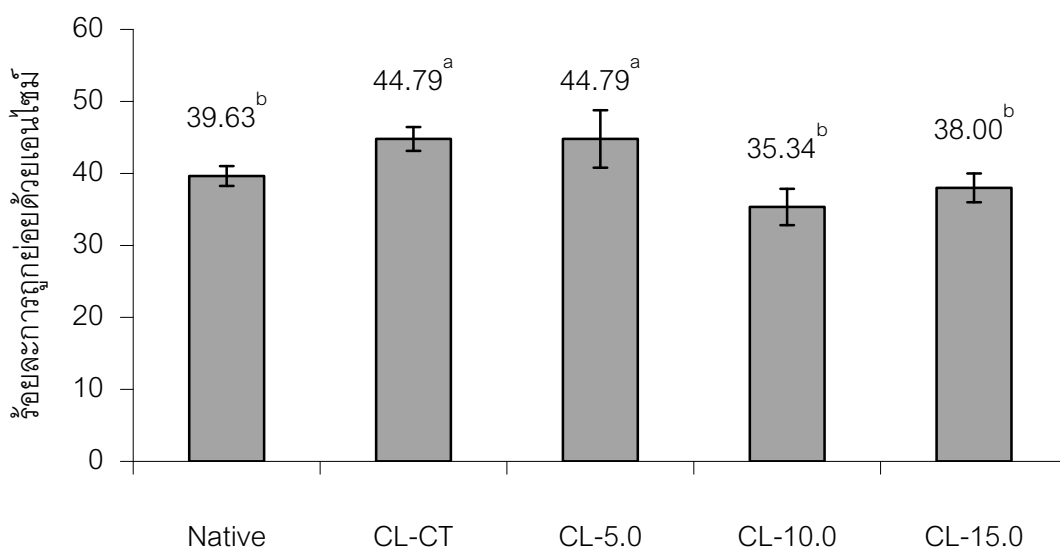
a,...,b = ตัวเลขที่มีตัวอักษรกำกับเหมือนกันในคอลัมน์เดียวกันคือไม่มีความแตกต่างอย่างมีนัยสำคัญทางสถิติที่ระดับความเชื่อมั่น
ร้อยละ 95 ค่าในตารางคือ ค่าเฉลี่ย ± SD (n=2)

3.7 ผลของการดัดแปลงต่อความคงตัวต่อการย่อยด้วยเอนไซม์ของสตาร์ชถั่วเขียว

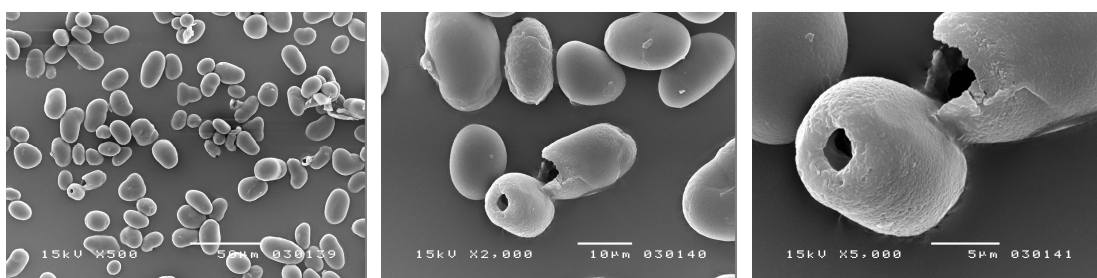
ผลการวิเคราะห์ความคงตัวต่อการย่อยด้วยเอนไซม์แอลฟ่าอะไมเลสنان 6 ชั่วโมง ของสตาร์ชถั่วเขียวที่ไม่ผ่านและผ่านการดัดแปลงโดยการเชื่อมข้าม แสดงไว้ในภาพที่ 42 และตารางที่ 33 ภาพถ่ายจากกล้องจุลทรรศน์อิเล็กตรอนแบบส่องกราด (SEM) ของสตาร์ชที่ไม่ผ่านการดัดแปลงการย่อยด้วยเอนไซม์แอลฟ่าอะไมเลส แสดงไว้ในภาพที่ 43 และสตาร์ชที่ผ่านการดัดแปลงการเชื่อมข้ามหลังการย่อยด้วยเอนไซม์แอลฟ่าอะไมเลสแสดงในภาพที่ 44

จากภาพที่ 42 พบร่วมกันว่าสตาร์ชถั่วเขียวมีร้อยละของการถูกย่อยด้วยเอนไซม์แอลฟ่าอะไมเลสเท่ากับ 39.63 หลังผ่านการดัดแปลงโดยการเชื่อมข้ามพบว่าที่ความเข้มข้นของโซเดียมไตรเมต้าฟอสเฟต 5.0% มีร้อยละการถูกย่อยด้วยเอนไซม์เพิ่มขึ้น ส่วนที่ความเข้มข้นของโซเดียมไตรเมต้าฟอสเฟต 10.0 และ 15.0% ไม่พบความแตกต่างอย่างมีนัยสำคัญทางสถิติเมื่อเทียบกับสตาร์ชที่ไม่ผ่านการดัดแปลง

ภาพถ่ายจากกล้องจุลทรรศน์อิเล็กตรอนแบบส่องกราด พบร่วมกันกับร่องอย่างชัดเจน โดยสตาร์ชบางเม็ดถูกย่อยจนภายในกล้ายเป็นโพรง บริเวณผิวของเม็ดสตาร์ชมีรูพุนที่เกิดจากเอนไซม์ และเกิดการเชื่อมกันของสตาร์ชบางส่วน

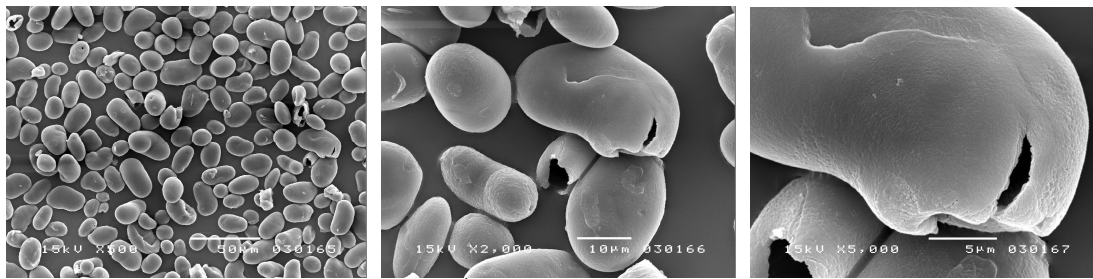


ภาพที่ 42 ค่าร้อยละการถูกย่อยด้วยเอนไซม์แอลฟ่าอะไมเลสของสตาร์ชถั่วเขียวที่ไม่ผ่านและผ่านการดัดแปลงโดยการเชื่อมข้าม

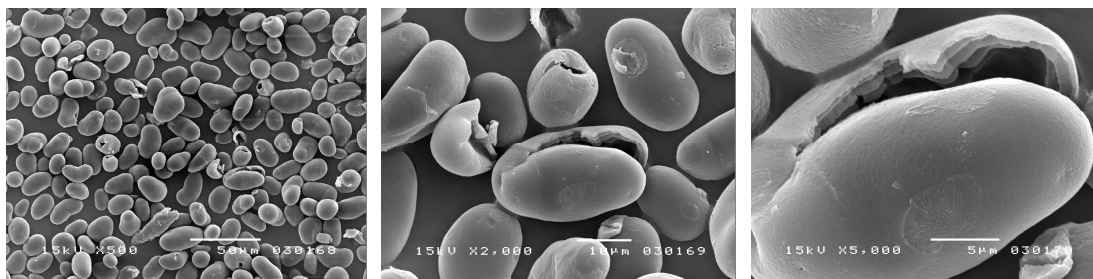


สตาร์ชที่ไม่ผ่านการดัดแปลง

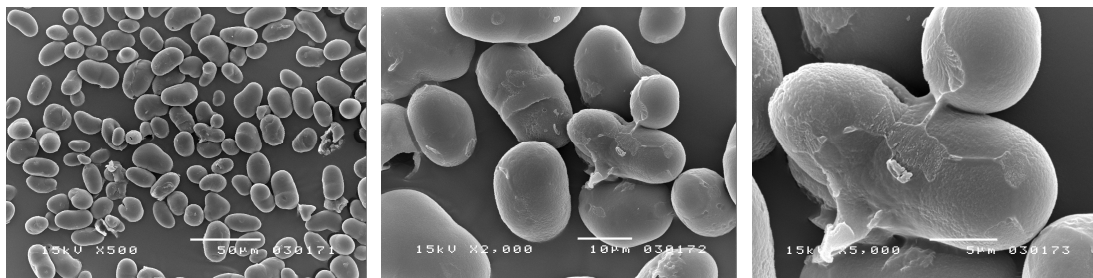
ภาพที่ 43 ภาพถ่ายจากกล้องจุลทรรศน์อิเลคตรอนแบบส่องการดัดแปลงลักษณะปูรากภูทาง สัณฐานภายในหลังการย่อยด้วยเอนไซม์แลฟาระไม่เลสของสตาร์ชถ้าเขียวที่ไม่ผ่านการดัดแปลงที่กำลังขยาย 170, 650 และ 1,700 เท่า ตามลำดับ (จากซ้ายไปขวา)



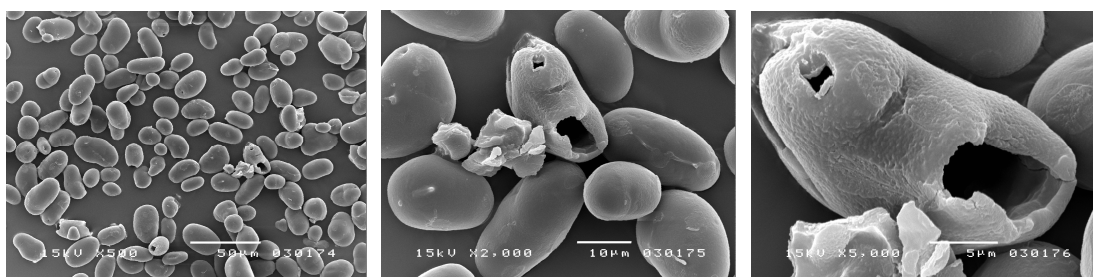
สตาร์ชดัดแปร์ทิโซเดียมไตรเมตาฟอสเฟต 0.0%



สตาร์ชดัดแปร์ทิโซเดียมไตรเมตาฟอสเฟต 5.0%



สตาร์ชดัดแปร์ทิโซเดียมไตรเมตาฟอสเฟต 10.0%



สตาร์ชดัดแปร์ทิโซเดียมไตรเมตาฟอสเฟต 15.0%

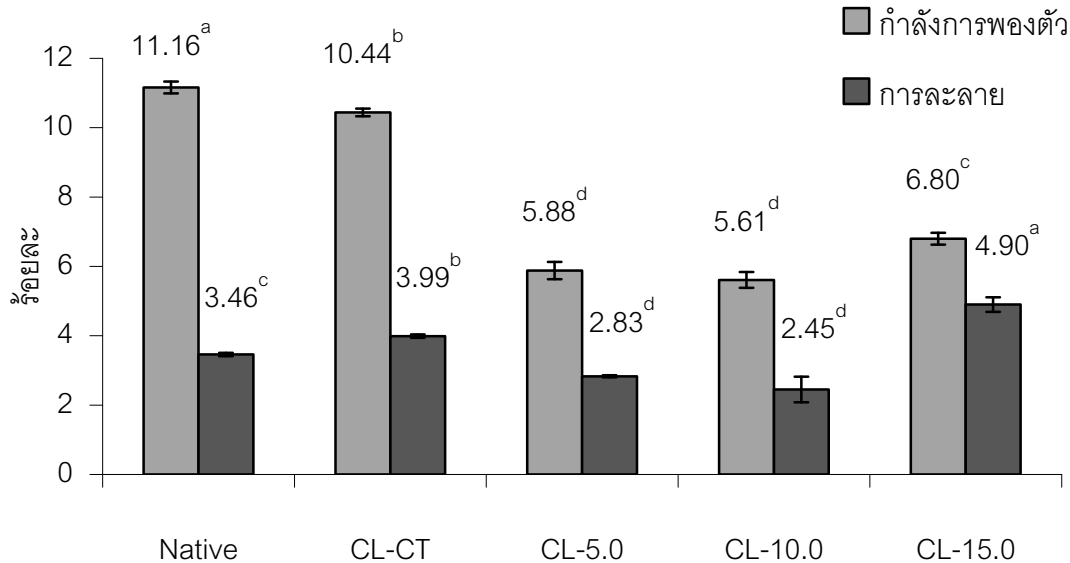
ภาพที่ 44 ภาพถ่ายจากกล้องจุลทรรศน์อิเลคทรอนแบบส่องการดูดส่องลักษณะปูากฎทางสัณฐานภายในหลังการย่อยด้วยเอนไซม์แอลฟ่าอะไมเลสของสตาร์ชถ้าเขียวที่ผ่านการดัดแปรโดยการใช้มีข้าว ที่กำลังขยาย 170, 650 และ 1,700 เท่า ตามลำดับ (จากซ้ายไปขวา)

3.8 ผลของการดัดแปลงตัวและภาระลักษณะของสตาร์ชถ้าเขียว

เมื่อมีการให้ความร้อนแก่เม็ดสตาร์ชที่แขวนลอยในน้ำ เม็ดสตาร์ชจะเกิดการพองตัว และจะทำให้บางส่วนของเม็ดสตาร์ชละลายออกมาน้ำ ความสามารถในการละลายจะเป็นหนึ่งในหนักของของแข็งทั้งหมดที่ละลายในสารละลาย

ค่ากำลังการพองตัวและร้อยละการละลายของสตาร์ชถ้าเขียวที่ไม่ผ่านและการดัดแปลงโดยการเชื่อมข้าม แสดงดังในภาพที่ 45 และตารางที่ 34 สตาร์ชถ้าเขียวที่ไม่ผ่านการดัดแปลงมีค่าร้อยละการละลายเท่ากับ 3.46 และมีกำลังการพองตัวเท่ากับ 11.16 หลังจากผ่านการดัดแปลงโดยการเชื่อมข้ามพบว่ากำลังการพองตัวมีค่าลดลง เนื่องจากเกิดพันธะเชื่อมข้ามภายในโมเลกุลสตาร์ชส่งผลให้สตาร์ชมีความสามารถในการต้านทานความร้อนและอุณหภูมิได้เพิ่มขึ้น จึงส่งผลต้านการพองตัวของเม็ดสตาร์ชได้เพิ่มขึ้น (Kaur, Singh และ Singh, 2005) Rutenberg และ Solarek (1984) กล่าวว่าการเชื่อมข้ามจะส่งผลให้เกิดพันธะโคลาเลนต์ที่ช่วยให้เม็ดสตาร์ชมีความแข็งแรง และมีผลในการยับยั้งการพองตัวของสตาร์ช

ค่าการละลายที่ความเข้มข้นของโซเดียมไตรเมตาฟอสเฟตเท่ากับ 5.0 และ 10.0% มีค่าลดลง ส่วนที่ความเข้มข้นของโซเดียมไตรเมตาฟอสเฟต 15.0% มีค่าการละลายเพิ่มขึ้น ร้อยละการละลายมีความสัมพันธ์กับค่ากำลังการพองตัว ซึ่งถ้าเม็ดสตาร์ชมีความสามารถในการพองตัวได้ดีจะส่งผลให้อะไมโลสภายในเม็ดสตาร์ชหลุดออกจากอยู่ในสารละลายได้มากขึ้น ถ้าสตาร์ชมีกำลังการพองตัวที่ต่ำก็จะส่งผลให้ค่าการละลายต่ำไปด้วย (Chabot และคณาน, 1976)



ภาพที่ 45 ค่ากำลังการพองตัวและการละลายของสตาร์ชถั่วเขียวที่ไม่ผ่านและผ่านการดัดแปลงโดยการเชื่อมข้าม

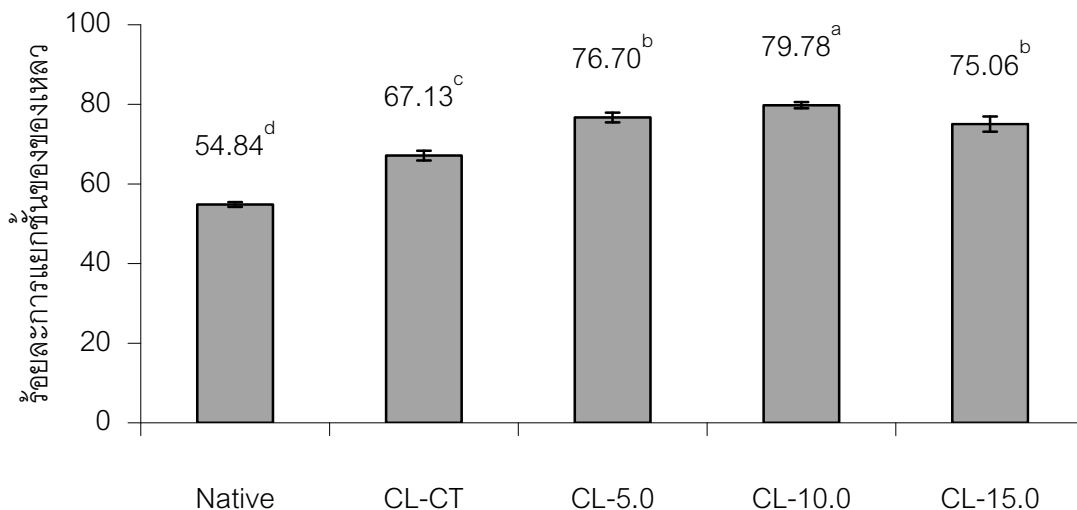
3.9 ผลของการดัดแปลงต่อความคงตัวต่อการแข็ง-ละลายของสตาร์ชถั่วเขียว

ผลการศึกษาความคงตัวต่อการแข็ง-ละลายของสตาร์ชที่ไม่ผ่านและผ่านการดัดแปลงโดยการเชื่อมข้าม แสดงไว้ในภาพที่ 46 และตารางที่ 35 ความคงตัวต่อการแข็ง-ละลายจะแสดงอยู่ในรูปของปริมาณการแยกตัวของของเหลว (syneresis) ของสตาร์ชสูญที่ผ่านการแข็ง-ละลายถั่วหากมีร้อยละของการแยกตัวของของเหลวออกมากลาง แสดงว่าตัวอย่างนั้นมีความคงตัวต่อการแข็ง-ละลายต่ำ

สตาร์ชถั่วเขียวที่ไม่ผ่านการดัดแปลงมีค่าร้อยละการแยกตัวของของเหลวเท่ากับ 54.84 และเมื่อผ่านการดัดแปลงโดยการเชื่อมข้าม พบร่วมกันเพิ่มขึ้น เนื่องมาจากการเชื่อมข้ามจะไปส่งผลให้มีเลกุลของสตาร์ชเกิดการเชื่อมกันเป็นร่างแท้สามมิติ เมื่อให้ความร้อนจะทำให้มีเลกุลของน้ำเข้าไปแทรกอยู่ภายในร่างแท้ และมีไมเลกุลของน้ำจำนวนหนึ่งที่เกาะอยู่กับสายสตาร์ช ซึ่งเป็นส่วนน้อย เมื่อนำไปแข่ยจะส่งให้โครงสร้างของสตาร์ชจัดเรียงตัวกันแน่นขึ้น และดันให้มีเลกุลของน้ำที่แทรกอยู่ภายในออกมามาก

Yeh และ Yeh (1993) กล่าวว่าถึงแม้ว่าสตาร์ชที่ผ่านการเชื่อมข้ามจะส่งผลทำให้เม็ดสตาร์ช มีความคงทนต่อการกรานและความร้อน แต่สตาร์ชจะมีความต้านทานต่อการแข็ง-ละลายต่ำ ซึ่ง Perera และ Hoover (1999) ได้กล่าวว่าการเกิดร่องรอยกราเดชันของสตาร์ชเป็นอิทธิพลมาจาก

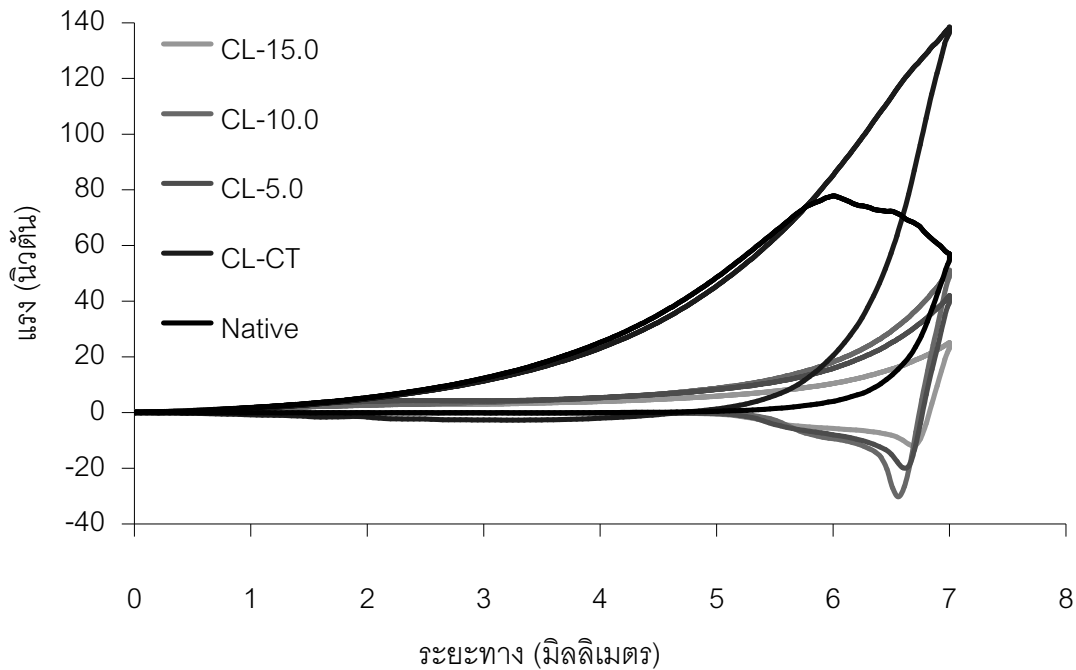
จัดเรียงสายสตาร์ชภายใต้บริเวณอสัณฐานและส่วนผลึก เมื่อเกิดการเย็นตัวลงหลังเจลาตีไนเซชัน จะเกิดการกลับมาจับตัวกันระหว่างแล้ว/หรือภายใต้สายสตาร์ชในระหว่างการเก็บรักษา



ภาพที่ 46 ค่าร้อยละการแยกตัวของข้องเหลว (syneresis) ของสตาร์ชถัวเขียวที่ไม่ผ่านและผ่านการดัดแปลงโดยการเชื่อมข้าม

3.10 ผลของการดัดแปลงต่อความแข็งแรงของเจลของสตาร์ชถัวเขียว

ผลการศึกษาความแข็งแรงของเจลจากสตาร์ชถัวเขียวที่ไม่ผ่านและผ่านการดัดแปลงโดยการเชื่อมข้าม แสดงในภาพที่ 47 และตารางที่ 36 สตาร์ชถัวเขียวที่ไม่ผ่านการดัดแปลงจะมีค่าความแข็งแรงของเจลเท่ากับ 78.96 นิวตัน หลังจากผ่านการดัดแปลงโดยการเชื่อมข้ามพบว่าค่าความแข็งแรงของเจลลดลง ซึ่งอาจเกิดจากการพองตัวของสตาร์ชที่ลดลงหลังการเชื่อมข้าม ปริมาณน้ำอิสระภายนอกเม็ดสตาร์ชจึงเหลืออยู่มาก สตาร์ชเจลที่ได้จะมีลักษณะนิ่ม แตกได้ง่าย และเจลไม่เต็มแบบพิมพ์เนื่องจากมีปริมาณน้ำส่วนเกินที่เจลไม่สามารถเก็บไว้ภายในโครงสร้างได้เป็นปริมาณมาก

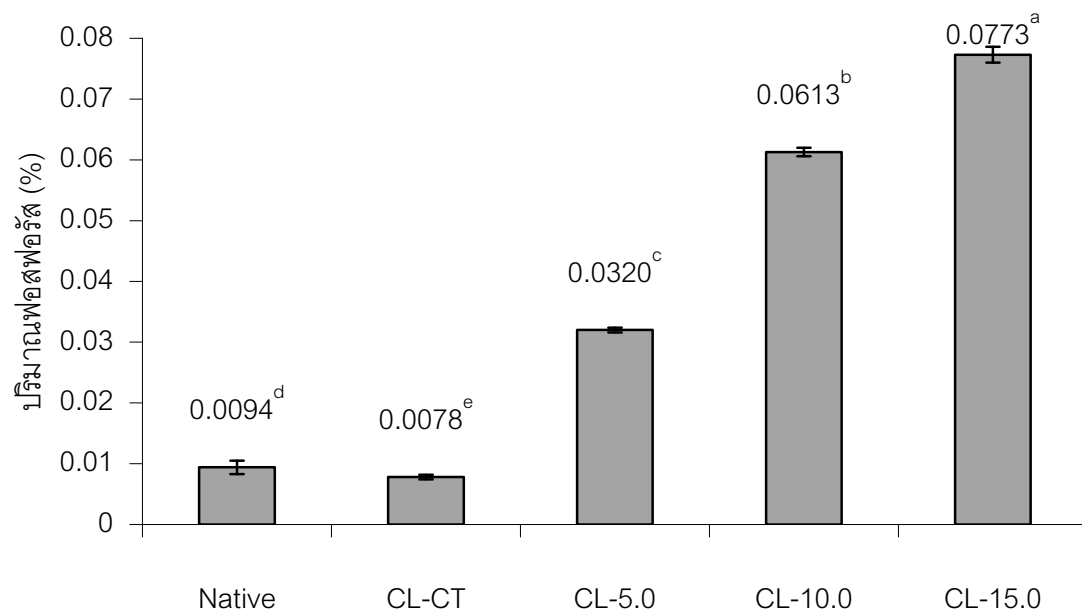


ภาพที่ 47 ความแข็งแรงของเหลวของสตาร์ชั่วเขียวที่ไม่ผ่านและผ่านการดัดแปลงโดยการเชื่อมข้าม

3.11 ผลของการดัดแปลงต่อปริมาณฟอสฟอรัสของสตาร์ชั่วเขียว

การศึกษาปริมาณฟอสฟอรัสของสตาร์ชั่วเขียวที่ไม่ผ่านและผ่านการดัดแปลงโดยการเชื่อมข้าม แสดงในภาพที่ 48 และตารางที่ 37 สตาร์ชั่วเขียวที่ไม่ผ่านการดัดแปลงมีปริมาณฟอสฟอรัสอยู่ร้อยละ 0.0094 เมื่อผ่านการดัดแปลงโดยการเชื่อมข้ามจะส่งผลให้มีปริมาณฟอสฟอรัสเพิ่มมากขึ้นตามระดับของการดัดแปลง โดยสตาร์ชดัดแปลงมีปริมาณฟอสฟอรัสน้อยกว่า 0.0320-0.0773

กระทรวงอุตสาหกรรม (2535) ได้มีเกณฑ์กำหนด และลักษณะชี้บ่งของสตาร์ชดัดแปลงประเภทไนโตรสเฟต คือ ปริมาณฟอสฟอรัส (คิดเป็นจำนวนฟอสฟอรัส) ไม่เกินร้อยละ 0.14 สำหรับสตาร์ชดัดแปลงที่มาจากสตาร์ชมันฝรั่งหรือจากข้าวสาลี และไม่เกินร้อยละ 0.04 สำหรับสตาร์ชประเภทอื่น ซึ่งจากการทดลองพบว่าสตาร์ชดัดแปลงโดยการเชื่อมข้ามที่ใช้ปริมาณโซเดียมไตรเมต้าฟอสเฟตที่ความเข้มข้นร้อยละ 5.0 มีปริมาณฟอสฟอรัสน้อยกว่าที่กฎหมายกำหนด สามารถนำไปใช้ในผลิตภัณฑ์อาหารได้ แต่สตาร์ชดัดแปลงที่ความเข้มข้นของโซเดียมไตรเมต้าฟอสเฟตร้อยละ 10.0 และ 15.0 มีปริมาณฟอสฟอรัสเกินกว่าที่กฎหมายกำหนดให้ใช้ในผลิตภัณฑ์อาหารได้



ภาพที่ 48 ปริมาณฟ็อกซ์ฟอร์สของสตาร์ชที่ไม่ผ่านการดัดเปร大事及ผ่านการดัดเปร大事及โดยการ
เชื่อมข้าม

บทที่ 5

สรุปผลการทดลอง

การดัดแปรสตาร์ชถั่วเขียวโดยการย่อยด้วยกรด ออกซิเดชัน และการเชื่อมข้าม เมื่อนำมาตรวจสกัดคุณสมบัติทางเคมี และกายภาพ พบร่วงการดัดแปรที่ต่างกันจะส่งผลให้เกิดคุณสมบัติที่ต่างกันออกไป ซึ่งสามารถสรุปได้ดังนี้

1. การดัดแปรสตาร์ชถั่วเขียวโดยการย่อยด้วยกรด

การดัดแปรสตาร์ชถั่วเขียวโดยการย่อยด้วยกรดจะส่งผลให้ผิวของเม็ดสตาร์ชมีรอยของการถูกย่อย เมื่อระดับความเข้มข้นของกรดไฮโดรคลอริกเพิ่มมากขึ้น จะพบรอยบริเวณผิวของเม็ดสตาร์ชเพิ่มขึ้น แต่ลักษณะและรูปร่างของเม็ดสตาร์ชไม่เปลี่ยนแปลง ยังคงมีรูปร่าง กลม กลมวี ไปจนถึงรูปร่างคล้ายไตเห็นเดิม สтар์ชดัดแปรมีค่า b^* เพิ่มสูงขึ้น และพบร่วงสตาร์ชดัดแปรที่อุณหภูมิ 60 องศาเซลเซียส ความเข้มข้นของกรดไฮโดรคลอริก 0.0 และ 0.5% และสตาร์ชดัดแปรที่อุณหภูมิ 40 องศาเซลเซียส ความเข้มข้นของกรดไฮโดรคลอริก 1.0% มีค่า L^* เพิ่มขึ้น ส่วนสตาร์ชดัดแปรที่อุณหภูมิ 60 องศาเซลเซียส ระดับของกรด 1.0% มีค่า a^* เพิ่มขึ้น การดัดแปรสตาร์ชถั่วเขียวที่อุณหภูมิ 40 องศาเซลเซียส ส่งผลให้ปริมาณอะไสเพิ่มมากขึ้น ในขณะที่อุณหภูมิของการดัดแปรเท่ากับ 60 องศาเซลเซียส และความเข้มข้นของกรดไฮโดรคลอริกเท่ากับ 1.0% ปริมาณอะไสลดลง การดัดแปรโดยการย่อยด้วยกรดจะไม่ส่งผลทำให้เกิดการเปลี่ยนแปลงโครงสร้างผลึก โดยสตาร์ชมีรอยละความเป็นผลึกเพิ่มขึ้นเล็กน้อย ความหนืดสูงสุด และเบรากดาวน์มีค่าลดลง แต่อุณหภูมิที่เริ่มให้ความหนืดมีค่าเพิ่มสูงขึ้น นอกจานี้ยังส่งผลให้อุณหภูมิที่เริ่มเกิดเจลตัวในเซชัน และพลังงานเอนthalpy มีค่าเพิ่มมากขึ้น แต่จะมีช่วงที่สตาร์ชเกิดความหนืดลดลงหลังจากผ่านการดัดแปรโดยการย่อยด้วยกรด ร้อยละการถูกย่อยด้วยเอนไซม์เพิ่มขึ้น ยกเว้นที่อุณหภูมิ 60 องศาเซลเซียส ระดับกรด 1.0% ที่มีค่าไม่ต่างจากสตาร์ชที่ไม่ผ่านการดัดแปร และเม็ดสตาร์ชมีรอยถูกย่อยอย่างชัดเจนโดยผิวจะขาวมากขึ้น มีรูเกิดขึ้นในสตาร์ชบางเม็ด และมีบางส่วนเกิดการเชื่อมกันระหว่างเม็ดสตาร์ช ค่าการละลายเพิ่มขึ้น แต่กำลังการพองตัวลดลงยกเว้นสตาร์ชที่ดัดแปรที่อุณหภูมิ 40 องศาเซลเซียส ระดับของกรด 0.5% ที่กำลังการพองตัวไม่ต่างจากสตาร์ชที่ไม่ผ่านการดัดแปร และพบร่วงร้อยละการแยกตัวของเหลวเพิ่มสูงขึ้น ที่ระดับของการดัดแปรต่างๆ สตาร์ชจะมีความแข็งแรงของเจลเพิ่มขึ้น แต่เมื่อระดับของการดัดแปรให้สูงขึ้น ความแข็งแรงของเจลจะลดลง

2. การดัดแปลงสตาร์ทั่วเชิงด้วยวิธีออกแบบชิเดชัน

การดัดแปลงโดยวิธีออกแบบชิเดชันไม่ส่งผลต่อขนาดและรูปร่างของเม็ดสตาร์ท แต่จะมีรายจากการถูกย่อโดยสารออกแบบชิเดชันบีโภวนพิวของเม็ดสตาร์ท ค่า L^* มีค่าเพิ่มขึ้น แต่ a^* มีค่าลดลงตามระดับของการดัดแปลง และที่ความเข้มข้นของแอกทีพคลอรีนร้อยละ 0.5 มีค่า b^* เพิ่มขึ้น แต่ที่ความเข้มข้นของแอกทีพคลอรีนร้อยละ 1.0 ถึง 2.0 ค่า b^* จะลดลง สตาร์ทั่วเชิงที่ผ่านการดัดแปลงโดยวิธีออกแบบชิเดชัน ที่ความเข้มข้นแอกทีพคลอรีน 1.0 และ 1.5% มีปริมาณอะไมโลสเพิ่มขึ้น โครงสร้างผลึกของสตาร์ทหลังผ่านการดัดแปลงไม่เปลี่ยนแปลง แต่จะมีร้อยละความเป็นผลึกเพิ่มขึ้นเล็กน้อย สตาร์ทผ่านการดัดแปลงที่ระดับของการดัดแปลงต่ำ คือแอกทีพคลอรีน 0.5% มีค่าความหนืดสูงสุดเพิ่มขึ้น แต่เมื่อระดับของการดัดแปลงสูงขึ้นค่าความหนืดสูงสุดจะลดลง และพบว่าหลังผ่านการดัดแปลง เบรกดานมีค่าลดลง ส่วนอุณหภูมิที่เริ่มเกิดความหนืด และความหนืดสุดท้ายสูงขึ้น นอกจากนี้ยังส่งผลให้อุณหภูมิเริ่มเกิดเจลต之内เซชัน อุณหภูมิที่เกิดการเปลี่ยนแปลงสูงสุด และอุณหภูมิสุดท้ายในการเกิดเจลต之内เซชันเพิ่มขึ้น แต่ช่วงอุณหภูมิในการเกิดเจลต之内เซชันลดลง ยกเว้นสตาร์ทที่ดัดแปลงที่ความเข้มข้นแอกทีพคลอรีน 1.0% ที่ให้ผลไม่ต่างจากสตาร์ทที่ไม่ผ่านการดัดแปลง ร้อยละการถูกย่อโดยเยอนไซเมิร์เพิ่มขึ้น ยกเว้นที่ความเข้มข้นของแอกทีพคลอรีน 1.0% มีค่าลดลง และภาพถ่ายจาก SEM แสดงให้เห็นว่าเม็ดสตาร์ทมีร้อยที่เกิดจากการถูกเยอนไซเมิร์ย่อย เกิดรูหรือโพรงในสตาร์ทบางเม็ด มีการแตกหักและเกิดการรวมกันของสตาร์ทบางเม็ด ค่าร้อยละการละลายเพิ่มขึ้นหลังจากผ่านการดัดแปลง ส่วนกำลังการของตัวพบร่วมที่ระดับแอกทีพคลอรีนร้อยละ 0.5 และ 1.0 มีค่าลดลง ในขณะที่ระดับอื่นๆ ไม่ต่างจากสตาร์ทที่ไม่ผ่านการดัดแปลง ค่าร้อยละการแยกตัวของของเหลวเพิ่มขึ้น โดยที่แอกทีพคลอรีน 0.5% มีร้อยละการแยกตัวของของเหลวมากที่สุด ความแข็งแรงของเจลจะมีค่าลดลงเมื่อระดับของการดัดแปลงสูงขึ้น โดยสตาร์ทที่ผ่านการดัดแปลงที่ระดับต่ำ คือแอกทีพคลอรีน 0.5% จะมีความแข็งแรงของเจลสูงสุด ซึ่งสูงกว่าสตาร์ทที่ไม่ผ่านการดัดแปลง แต่เมื่อระดับการดัดแปลงเพิ่มขึ้นเป็นแอกทีพคลอรีน 1.0% ความแข็งแรงของเจลลดลง แต่ไม่ต่างจากสตาร์ทที่ไม่ผ่านการดัดแปลง และเมื่อความเข้มข้นของแอกทีพคลอรีนเพิ่มเป็น 1.5 และ 2.0% ค่าความแข็งแรงของเจลจะลดลง และมีค่าน้อยกว่าสตาร์ทที่ไม่ผ่านการดัดแปลง และพบว่าปริมาณหมู่คาร์บอนิล และหมู่คาร์บออกซิลจะเพิ่มขึ้นตามระดับของการดัดแปลง

3. การดัดแปลงสตาร์ชถั่วเขียวโดยการเชื่อมข้าม

สตาร์ชถั่วเขียวที่ผ่านการดัดแปลงโดยการเชื่อมข้ามจะส่งผลให้บริเวณผิวของเม็ดสตาร์ชมีร้อยที่คล้ายถูกย่อย แต่ขนาดและรูปทรงของสตาร์ชไม่เปลี่ยนแปลง ค่า a^* และ b^* เพิ่มขึ้น ส่วนค่า L^* ที่ความเข้มข้นโซเดียมไตรเมต้าฟอสเฟต 10.0 และ 15.0 มีค่าเพิ่มขึ้น แต่ที่ 5.0% มีค่าไม่ต่างจากสตาร์ชที่ไม่ผ่านการดัดแปลง บริเวณจะไม่หลุดลง โครงสร้างผลึกและร้อยละความเป็นผลึก ไม่เปลี่ยนแปลง ค่าความหนืดสูงสุด เบրกดาวน์ และเซตแบล็คลดลง แต่มีอุณหภูมิที่เริ่มงอกความหนืดและเวลาที่เกิดความหนืดสูงสุดเพิ่มขึ้น T_0 มีค่าเพิ่มขึ้น T_{C-T_0} มีค่าลดลง ส่วน T_p , T_c และ ΔH ไม่แตกต่างจากสตาร์ชที่ไม่ผ่านการดัดแปลง ร้อยละการถูกย่อยด้วยเอนไซม์เพิ่มขึ้นที่ความเข้มข้นของโซเดียมไตรเมต้าฟอสเฟต 5.0% ส่วนที่ระดับการดัดแปลงที่สูงขึ้น ผลที่ได้ไม่ต่างจากสตาร์ชที่ไม่ผ่านการดัดแปลง และภาพที่ถ่ายจาก SEM แสดงให้เห็นเม็ดสตาร์ชที่ถูกเอนไซม์ย่อยจนเกิดรอยขรุขระที่ผิวพบรอยแตก รู หรือโพรงภายในเม็ดสตาร์ช และมีบางส่วนบริเวณผิวของเม็ดสตาร์ชเกิดการเชื่อมกัน กำลังการของตัวและร้อยละการละลายลดลง ยกเว้นสตาร์ชที่ดัดแปลงที่โซเดียมไตรเมต้าฟอสเฟตร้อยละ 15.0 มีค่าการละลายเพิ่มขึ้น นอกจากนี้ยังพบว่าการแยกตัวของของเหลวเพิ่มขึ้น และที่ความเข้มข้นของโซเดียมไตรเมต้าฟอสเฟต 10.0% มีร้อยละการแยกตัวของของเหลวมากที่สุด ความแข็งแรงของเจลมีค่าลดลงหลังสตาร์ชผ่านการดัดแปลงโดยการเชื่อมข้ามและมีปริมาณฟอสฟอรัสเพิ่มขึ้นตามระดับของการดัดแปลง ซึ่งสตาร์ชที่ดัดแปลงที่ความเข้มข้นของโซเดียมไตรเมต้าฟอสเฟต 5.0% มีปริมาณฟอสฟอรัสไม่เกินที่กฎหมายกำหนดให้ใช้ในผลิตภัณฑ์อาหารได้ แต่ที่ความเข้มข้นของโซเดียมไตรเมต้าฟอสเฟต 10.0 และ 15.0% มีปริมาณฟอสฟอรัสเกินกว่าที่กฎหมายกำหนดให้ใช้ในผลิตภัณฑ์อาหาร

บรรณานุกรม

- กระทรวงอุตสาหกรรม. 2535. มาตรฐานผลิตภัณฑ์เป้าดัดแปลงสำหรับอุตสาหกรรมอาหาร.
เอกสาร มอก. ที่ 1073-2535. สำนักงานมาตรฐานผลิตภัณฑ์อุตสาหกรรม,
กรุงเทพมหานคร. 11 หน้า.
- กระทรวงอุตสาหกรรม. 2524. มาตรฐานผลิตภัณฑ์อุตสาหกรรมวัสดุเส้น. เอกสาร มอก. ที่ 444-
2524. สำนักงานมาตรฐานผลิตภัณฑ์อุตสาหกรรม, กรุงเทพมหานคร.
- กล้านรงค์ ศรีรอด และเกื้อ廓ล ปิยะจอมขวัญ. 2543. เทคโนโลยีของเป้า. ภาควิชา
เทคโนโลยีชีวภาพ คณะอุตสาหกรรมเกษตร มหาวิทยาลัยเกษตรศาสตร์, กรุงเทพมหานคร.
292 หน้า.
- Jinatana อุปดิสกุล. 2538. การใช้ประยุกต์จากถัวเฉียว. ใน เอกสารประกอบการสอนภาษาเชิง
ปฏิบัติการงานวิจัยถัวเฉียวครั้งที่ 6. นครราชสีมา; สำนักเทคโนโลยีเกษตร มหาวิทยาลัย
เทคโนโลยีสุรนารี.
- เฉลิมเกียรติ ดุลสัมพันธ์. 2546. ผลของความร้อน-ความชื้น คลื่อนอัลตราโซนิกส์ และคลื่น
แม่เหล็กไฟฟ้าต่อสมบัติทางกายภาพของแป้งมันสำปะหลัง. ปริญญาวิทยาศาสตรดุษฎี
บัณฑิต สาขาเทคโนโลยีชีวภาพ ภาควิชาเทคโนโลยีชีวภาพ มหาวิทยาลัยเกษตรศาสตร์. 198
หน้า.
- ดวงใจ ถิรธรรมถาวร. 2536. การดัดแปลงตาร์ซัมันสำปะหลังแบบครอบสลิงกิ้ง. ปริญญาวิทยา
ศาสตรมหาบัณฑิต สาขาวิทยาศาสตร์และเทคโนโลยีอาหาร มหาวิทยาลัยเกษตรศาสตร์.
210 น.
- นิธยา รัตนabenท. 2545. เคมีอาหาร. สำนักพิมพ์โอดี้ยนสโตร์, กรุงเทพมหานคร. 504 หน้า.
- พินทิพย์ รัมภาการณ์. 2547. การดัดแปลงข้าวโดยใช้ความร้อนร่วมกับความชื้น. ปริญญา
วิทยาศาสตรมหาบัณฑิต สาขาวิทยาศาสตร์อาหาร ภาควิชาวิทยาศาสตร์และเทคโนโลยี
อาหาร มหาวิทยาลัยเกษตรศาสตร์. 166 หน้า.
- ^{รัชฎา} งามจำ แลลัดดาวลัย ไกรพานนท์. 2548. การดัดแปลงตาร์ซัมันสำปะหลังเจ้าโดยวิธีการให้ความ
ร้อนชื้นร่วมกับการย่อยด้วยกรด. จุลนิพนธ์วิทยาศาสตรบัณฑิต สาขาเทคโนโลยีอาหาร
มหาวิทยาลัยศิลปากร. 68 หน้า.

- วราวงศ์ สงวนพงษ์. 2544. การลดขนาดเม็ดแป้งมันสำปะหลังดัดแปรและสมบูติทางเคมีฟิสิกส์ของแป้งที่ได้. วิทยานิพนธ์วิทยาศาสตรดุษฎีบัณฑิต สาขาวิชาเทคโนโลยีชีวภาพ มหาวิทยาลัยเกษตรศาสตร์. 130 หน้า.
- วรรณพร ศิริโรจน์. 2528. การปรับปรุงคุณภาพของแป้งมันสำปะหลังโดยการแปรสภาพทางเคมี. วิทยานิพนธ์วิทยาศาสตรมหาบัณฑิต สาขาวิชาเทคโนโลยีอาหาร จุฬาลงกรณ์มหาวิทยาลัย.
- อรอนงค์ นัยวิกุล จิตธนฯ จำเมฆ อรพิน ภูมิภานุ และกุณิรักษ์ นาครรักษ์. 2531. วารสาร เกษตรศาสตร์ (วิทย์) 23: 188-197.
- อรอนงค์ นัยวิกุล. 2547. ข้าว: วิทยาศาสตร์ และเทคโนโลยี. สำนักพิมพ์มหาวิทยาลัยเกษตรศาสตร์. กรุงเทพมหานคร. 366 หน้า.
- Adebawale, K.O., Afolabi, T.A. and Lawal, O.S. 2002. Isolation, chemical modification and physicochemical characterisation of Bambara groundnut (*Voandzeia subterranean*) starch and flour. Food Chemistry 78: 305-311.
- AOAC. 1990. Official Method of Analysis. 15th Ed. Association of Official Analytical Chemists, Inc., Virginia. 1,298 p.
- Atichokudomchai, N. and Varavinit, S. 2003. Characterization and utilization of acid-modified cross-linked Tapioca starch in pharmaceutical tablets. Carbohydrate Polymers 53: 263-270.
- Baker, L.A. and Duarte, R. 1998. Retrogradation of amaranth starch at different storage temperature and effect of salt and sugar. Cereal Chemistry. 75(3): 308-314.
- BeMiller, J.N. 1997. Starch modification: challenges and prospects. Starch/Stärke 49: 127-131.
- Bernfeld, P. 1955. Amylase alpha- and beta- in method. In Colowik, S.P. and Kaplan, M.O. (Eds.). Enzymology 1: 149-158.
- Blanshard, J.M.V. 1987. Starch granule structure and function: A physicochemical approach. In Gailliard, T. (Eds.). Starch Properties and Potential. John Wiley and Sons, New York.
- Buléon, A., Colonna, P., Planchot, V. and Ball, S. 1998. Starch granules: structure and biosynthesis. International Journal of Biological Macromolecules 23: 85-112.

- Chatakanonda, P., Varavinit, S. and Chinachoti, P. 2000. Effect of crosslinking on thermal and microscopic transitions of rice starch. LWT-Food Science and Technology. 33: 276-284.
- Cheetham, N.W.H. and Tao, L. 1998. Variation in crystallinity type with amylase content in maize starch granules: An X-ray powder diffraction study. Carbohydrate Polymers 36: 277-284.
- Choi, S.G., and Kerr, W.L. 2003. Effects of chemical modification of wheat starch on molecular mobility as studied by pulsed ^1H NMR. Lebensmittel-Wissenschaft und Technologie 51: 1-8.
- Chung, H.J., Jeong, H.Y. and Lim, S.T. 2003. Effects of acid hydrolysis and defatting on crystallinity and pasting properties of freeze-thawed high amylose corn starch. Carbohydrate polymer 54: 449-455.
- Cooke, D. and Gidley, M.J. 1992. Loss of crystallinity and molecular order during starch gelatinization: origin or the enthalpy transition. Carbohydrate Research 227: 103-112.
- Donovan, J. W. 1979. Phase transition of the starch–water system. Biopolymers 18: 263–275.
- Dubois, M.K., Gilles, K.A., Hamilton, J.K., Robers, P.A. and Smith, F. 1956. Colorimetric method for determination of sugars and substances. Analytical Chemistry 28: 350-356.
- Farley, F. F. and Hixon, R. M. 1942. Oxidation of raw starch granules by electrolysis in alkaline sodium chloride solution. Industrial Engineering Chemistry 34: 677–681.
- Galliard, T. and Bowler, P. 1987. Morphology and composition of starch. In Galliard, T. (Ed.). Starch: Properties and Potential. John Wiley and Sons., New York.
- Gunaratne, A. and Corke, H. 2007. Influence of prior acid treatment on acetylation of wheat, potato and maize starches. Food Chemistry 105: 917-925.
- Gunaratne, A. and Hoover, R. 2002. Effect of heat-moisture treatment on the structure and physicochemical properties of tuber and root starches. Carbohydrate Polymers 49: 425-437.

- Hibi, Y., Kitamura, S. and Kuge, T. 1990. Effect of lipids on the retrogradation of cooked rice. *Cereal Chemistry* 67(1): 7-10.
- Hirsch, J.B. and Kokini, J.L. 2002. Understanding the mechanism of cross-linking agents (POCl_3 , STMP, and EPI) through swelling behavior and pasting properties of cross-linked waxy maize starches. *Cereal Chemistry* 79: 102–107.
- Hizukuri, S. 1961. Effect of temperature during germination on the crystalline type of starch in soya bean seedling. *Nature* 192: 239-242.
- Hizukuri, S., Takeda, Y., Yasuda, M. and Suzuki, A. 1981. Multibranched nature of amylose and the action of debranching enzyme. *Carbohydrate Research* 94: 205-213.
- Hizukuri, S. 1985. Relationship between the distribution of the chain length of amylopectin and the crystalline structure of starch granule. *Carbohydrate Research* 141: 295-305.
- Hizukuri, S. 1996. Starch: analysis aspects. p. 342-429. *In* Eliasson, A. (Eds.). *Carbohydrate in Food*. Marcel Dekker, Inc., New York.
- Hoover, R. and Manuel, H. 1996. Effect of heat-moisture treatment on the structure and physicochemical properties of legume starches. *Food Research International* 29(8): 731-750.
- Hoover, R. and Zhou, Y. 2003. In vitro and in vivo hydrolysis of legume starches by alpha-amylase and resistant starch formation in legume: a review. *Carbohydrate Polymers* 54: 401-417.
- Hoseney, R.C. and Lineback, D.R. 1996. Methods of synthesis and characterization. *In* R.C. Hoseney (Ed.). *AACC Short course on “Starch: Structure, Properties and Food Uses”*. August 27-29, 1996. Bangkok, Thailand.
- Hu, P., Zhao, H., Duan, Z., Linlin, Z. and Wu, D. 2004. Starch digestibility and the estimated glycemic score of diggerant types of rice different in amylase contents. *Journal of Cereal Science* 40:231-237.
- Imeson, A. 1992. Thickening and Gelling Agents for Food. Blakie Academic & Professional, Bishopbriggs., Glasgow. 258 p.

- Jacobs, H. and Delcour, J.A. 1998. Hydrothermal modification of granular starch with retention of the granular structure: a review. *Journal of Agricultural and Food Chemistry* 46: 2895-2905.
- Jayati, P., Singhal, R.S. and Kulkarni, P.R. 2002. Physicochemical properties of hydroxypropyl derivative from corn and amaranth starch. *Carbohydrate Polymers* 48: 49-53.
- Juliano, B.O. 1971. A simplified assay for milled-rice amylose. *Cereal Science Today* 16: 337-338, 340-360.
- Kasemsuwan, T., Bailey, T. and Jane, J. 1998. Preparation of clear noodles with mixtures of tapioca and high-amylose starches. *Carbohydrate Polymers* 32: 301-312.
- Kim, M. and Lee, S. 2002. Characteristics of crosslinked potato starch and starch-filled linear low-density polyethylene films. *Carbohydrate Polymers* 50: 331-337.
- Kirby, K.W. 1986. Textile industry. p. 229-252. *In* O.B. Wurzburg (Ed.). *Modified Starches: Properties and Uses*. CRC Press Inc., Florida.
- Knight, J.W. 1969. *The Starch Industry*. Pergamon Press Ltd., Oxford. 189 p.
- Kuakpetoon, D. and Wang, Y. 2008. Locations of hypochlorite oxidation in corn starches varying in amylose content. *Carbohydrate Research* 343: 90-100.
- Lawal, O.S. 2004. Composition, physicochemical properties and retrogradation characteristics of native, oxidised, acetylated and acid-thinned new cocoyam (*Xanthosoma sagittifolium*) starch. *Food Chemistry* 87: 205-218.
- Lawal, O.S. and Adebawale, K.O. 2005. Physicochemical characteristics and thermal properties of chemically modified jack bean (*Canavalia ensiformis*) starch. *Carbohydrate Polymers* 60: 331-341.
- Lawal, O.S., Adebawale, K.O., Ogunsanwo, B.M., Barba, L.L. and Ilo, N.S. 2005. Oxidized and acid thinned starch derivatives of hybrid maize: functional characteristics, wide-angle X-ray diffractometry and thermal properties. *International Journal of Biological Macromolecules* 35: 71-79.

- Le Bail, P., Blueon, A., Colona, P. and Bizot, H. 1997. Structure and polymorphic transitiona of amylase induced by water and temperature change. p. 51-57. In Frazier, P.J., Richmond, P. and Donald, A.M. (Eds.). Starch: Structure and Functionality. The Royal Society of Chemistry, Cambridge.
- Leach, H.W., McCowen, L.D. and Schoch, T.J. 1959. Structure of starch granule I. Swelling and Solubility patterns of various starches. Cereal Chemistry 39: 534-544.
- Li, J.H. and Vasanthan, T. 2003. Hypochlorite oxidation of field pea starch and its suitability for noodle making using an extrusion cooker. Food Research International 36: 381-386.
- Li, J.H., Vasathan, T., Hoover, R. and Rossnagel, B.G. 2004. Starch from hull-less baley: V. In-vitro susceptibility of waxy, normal and high-amyllose starch towards hydrolysis by alpha-amylases and amyloglucosidase. Food Chemistry 84: 621-632.
- Light, J.M. 1990. Modified food starches: why, what, where and how. Cereal Foods World 35(11): 1080-1092.
- Lineback, D.R. 1984. The starch granule: organization and properties. Bakers Digest 58(2): 16-21.
- Liu, W. and Shen, Q. 2007a. Studies on the physicochemical properties of mung bean starch from sour liquid processing and centrifugation. Journal of Food Engineering 79: 358–363.
- Liu, W. and Shen, Q. 2007b. Structure analysis of mung bean starch from sour liquid processing and centrifugation. Journal of Food Engineering 79: 1310–1314.
- Nabeshima, E.H. and Grossmann, M.V.E. 2001. Functional properties of pregelatinized and cross-linked cassava starch obtained by extrusion with sodium trimetaphosphate. Carbohydrate Polymers 45: 347-535.
- Newport Scienific Pty, Ltd. 1995. Operation Manaul for the series 4 Rapid Visco Analyzer. Australia. 93 p.
- Nollet, L.M.L. 1996. Handbook of Food Analysis. Marcel Deaker, Inc., New York. 2041 p.

- Oates, C.G. 1996. Physical modification of starch. *In* Advanced Post Academic Course on Tapioca Starch Technology. January 22-26 & February 19-23. 1996. AIT Center, Bangkok.
- Prabharvat, S. 1987. Seminar on Mungbean at Ambassador Hotel, Bangkok, 16-20 November 1987. Organized by Ministry of Agriculture and Cooperatives, Kasetsart University, and Asian Vegetable Research and Development Centre.
- Quan, Y., Kweon, M.R. and Sosulski, F.W. 1997. Effect of cross-linking on functional properties of cationic corn starch. *Starch/Stärke* 49(11): 458-464.
- Reilly, P.J. 1985. Enzyme degradation of starch. p. 101-141. *In* Van Beijnum, G.M.A. and Roels, J.A. (Eds.). *Starch Conversion Technology*. Marcel Dekker, Inc., New York.
- Rickard, J.E., Asaoka, M. and Blanshard, J.M.V. 1991. The physicochemical properties of cassava starch: a review. *Tropical Science* 31: 189-207.
- Robyt, J.F. 1984. Enzyme in the hydrolysis and synthesis of starch. p. 87-123. *In* Whistler, R.L., BeMiller, J.N. and Paschall, E.F. (Eds.). *Starch: Chemistry and Technology*. 2nd Ed. Academic Press, Inc., London.
- Rohwer, R.G. and Klem, R.E. 1984. Acid-modified starch: production and uses. p. 529-574. *In* Whistler, R.L., BeMiller, J.N., and Paschall, E.F. (Eds.). *Starch: Chemistry and Technology*. 2nd Ed. Academic Press Inc., Florida.
- Rutenberg, M.W. and Solarek, D. 1984. Starch derivatives: technology and uses. p. 311-388. *In* Whistler R.L., BeMiller, J.N., and Paschall. E.F. (Eds.). *Starch: Chemistry and Technology*. 2nd Ed. Academic Press Inc., Florida.
- Sander, J.P.M. 1996. Chemical modification of starch. *In* Advanced Post-Academic Course on Tapioca Starch Technology (I). January 22-26 & February 19-23, 1996. Asian Institute of Technology, Bangkok, Thailand.
- Sandhu, K.S., Singh, N. and Lim, S. 2007. A comparison of native and acid thinned normal and waxy corn starches: physicochemical, thermal, morphological and pasting properties. *LWT-Food Science and Technology* 40: 1527-1536.
- Sánchez-Rivera, M.M., García-Suárez, F.J.L., Velázquez del Valle, M., Gutierrez-Meraz,

- F. and Bello-Pérez, L.A. 2005. Partial characterization of banana starches oxidized by different levels of sodium hypochlorite. *Carbohydrate Polymers* 62: 50-56.
- Singh, J., Kaur, L. and McCarthy, O.J. 2007. Factors influencing the physico-chemical, morphological, thermal and rheological properties of some chemically modified starches for food applications: a review. *Food Hydrocolloids* 21: 1-22.
- Smith, P.S. 1982. Starch derivatives their uses in foofs. p. 237-269. *In* Lineback, D.R. and Inglett, G.E. (Eds.). *Food Carbohydrates*. AVI Publishing Co., Inc., Connecticut.
- Swinkels, J.J.M. 1985. Composition and properties of commercial native starches. *Starch/Stärke* 37: 1-5.
- Tester, R.F., Karkalas, J. and Qi, X. 2004a. Starch-composition, fine structure and architecture. *Journal of Cereal Science* 39: 151-165.
- Tester, R.F., Karkalas, J. and Qi, X. 2004b. Starch structure and digestibility enzyme-substrate relationship. *World's Poultry Science Journal* 60: 186-195.
- Valetudie, J.C., Colona, P., Bouchet, B. and Gallant, D.J. 1993. Hydrolysis of tropical tuber starches by bacterial and pancreatic alpha-amylase. *Starch* 45: 270-276.
- Voragen, A.G.J. 1996. Modified starches in food industry. *In* Advanced Post-Academic Course on Tapioca Starch Technology (1). January 22-26 & February 19-23, 1996. Asian Institute of Technology, Bangkok, Thailand.
- Walker, D.A. 1976. Preparation of geological samples for scanning electron microscopy. p. 68. *In* Delokkunanaund, A. *Specimen Preparation for SEM*. Kasetsart University, Bangkok.
- Wang, Y. and Wang, L. 2003. Physicochemical properties of common and waxy corn starches oxidized by different levels of sodium hypochlorite. *Carbohydrate Polymers* 52: 207-217.
- Wang, S., Yu, J., Gao, W., Pang, J., Liu, H. and Yu, J. 2007. Granule structural changes in native Chinese Yam (*Dioscorea opposita* Thunb var. *Anguo*) starch during acid hydrolysis. *Carbohydrate Polymers* 69: 286-292.

- Whistler, R.L. and Deniel, J.R. 1984. Molecular structure of starch. pp. 153-178. In R.L. Whistler, J.N. BeMiller. and E.F. Paschall. (Eds.). Starch: Chemistry and Technology. 2nd ed. Academic Press, Inc., Florida.
- Wu, Y. and Seib, P.A. 1990. Acetylated and hydroxypropylated distarch phosphates from waxy barley: paste properties and freeze-thaw stability. Cereal Chemistry 67(2): 202-208.
- Wurzburg, O.B. 1986. Modified Starches: Properties and Uses. CRC Press, Inc. Boca Raton, Florida. 277 p.
- Yeh, A.I. and Yeh, S.L. 1993. Some characteristics of hydroxypropylated and cross-linked rice starch. Cereal Chemistry 70: 596-601.
- Zobel, H.F. 1988. Starch crystal transformations and their industrial importance. Starch/Stärke 40(1): 1-7.

ภาคผนวก

ภาคผนวก ก
วิธีวิเคราะห์คุณสมบัติทางเคมี และกายภาพ

1. ปริมาณความชื้น (AOAC, 1990)

ซึ่งตัวอย่างสตาร์ชประมาณ 2 กรัม ให้ได้น้ำหนักที่แน่นอนในภาชนะอะลูมิเนียมมีฝาปิดที่ผ่านการอบจนมีน้ำหนักคงที่ นำไปอบในตู้อบไฟฟ้าที่อุณหภูมิ 130 ± 3 องศาเซลเซียส ข้ามคืน (ประมาณ 15 – 18 ชั่วโมง) โดยเปิดไฟภาชนะ เมื่อครบเวลานำตัวอย่างออกจากตู้อบ ปิดไฟภาชนะทันที ทิ้งให้เย็นจนถึงอุณหภูมิห้องในโถดูดความชื้นแล้วจึงชั่งน้ำหนัก ทำการอบซ้ำอีก 1 ชั่วโมงหรือจนได้น้ำหนักคงที่ ทำการวิเคราะห์ 3 ชั้ตต่อตัวอย่าง

คำนวนปริมาณความชื้นโดยน้ำหนักเปียก (wet basis) จาก

$$\text{ร้อยละความชื้น} = \frac{(\text{n้ำหนักตัวอย่างก่อนอบ} - \text{n้ำหนักตัวอย่างหลังอบ})}{\text{n้ำหนักตัวอย่างก่อนอบ}} \times 100$$

คำนวนปริมาณความชื้นโดยน้ำหนักแห้ง (dry basis) จาก

$$\text{ร้อยละความชื้น} = \frac{\text{ร้อยละความชื้นโดยน้ำหนักเปียก}}{(100 - \text{ร้อยละความชื้นโดยน้ำหนักเปียก})} \times 100$$

2. การตรวจสอบลักษณะปรากฏทางสังฐานของเม็ดสตาร์ชด้วยกล้องจุลทรรศน์อิเลคตรอนแบบส่องกราด (Scanning Electron Microscope, SEM) (Walker, 1976)

- 2.1 นำสตาร์ชตัวอย่างเพียงเล็กน้อยติดลงบนเทปการสองหน้าที่ติดอยู่บนแห่งอะลูมิเนียม (aluminium stub)
- 2.2 นำแท่งอะลูมิเนียมที่ติดสตาร์ชตัวอย่างแล้วเข้าเครื่องเคลือบทองเพื่อเคลือบทองลงที่ผิวของสตาร์ชสำหรับช่วยในการนำประจุอิเล็กตรอน
- 2.3 วางแท่งอะลูมิเนียมที่ผ่านการเคลือบทองแล้วลงในช่องสำหรับใส่แท่งอะลูมิเนียมภายในกล้องจุลทรรศน์อิเล็กตรอน

2.4 ตรวจดูลักษณะรูปร่าง และเลือกบริเวณที่จะบันทึกภาพของเม็ดสตาร์ซโดยควบคุมความต่างศักย์ไฟฟ้าที่ 15 กิโลโวลต์ ใช้กำลังขยายที่ 500, 2,000 และ 5,000 เท่า ตามลำดับ

3. ค่าสี (Nollet, 1996)

นำตัวอย่างไปวัดค่าสี โดยใช้ D65 10 องศา เป็นแหล่งกำเนิดแสง (illuminant) เพื่อหาค่าความสว่าง (L^*) ค่าความเป็นสีแดง (a^*) และค่าความเป็นสีเหลือง (b^*) โดยใช้คุปกรันเทียบมาตรฐาน (black and white reference) เป็นตัวเทียบมาตรฐานค่าสี

4. ปริมาณอะไมโลส (Juliano, 1971)

4.1 การเตรียมสารละลายมาตรฐานอะไมโลส

ชั้งอะไมโลสบริสุทธิ์จากมันฝรั่ง 0.040 กรัม ใส่ในขวดวัดปริมาตรขนาด 100 มิลลิลิตร เติม เอกทานอลร้อยละ 95 ปริมาตร 1 มิลลิลิตร เขย่าเบาๆ อย่าให้อะไมโลสเกาะผนังขวด เติม สารละลายโซเดียมไฮดรอกไซด์เข้มข้น 1 มิลลาร์ ปริมาตร 9 มิลลิลิตร ใส่แห่งแม่เหล็กลงในขวดวัดปริมาตร กวนของเหลวนาน 10 นาที นำแห่งแม่เหล็กออก และล้างส่วนที่ติดมาลงไปในขวดด้วย น้ำกลั่น เติมน้ำกลั่นให้ได้ปริมาตร 100 มิลลิลิตร เขย่าให้สารละลายเข้ากันดี

4.2 การเตรียมตัวอย่าง

เตรียมเช่นเดียวกับการเตรียมสารละลายมาตรฐานอะไมโลส ยกเว้นแต่ชั้งตัวอย่างสตาร์ซ 0.1000 กรัมโดยน้ำหนักแห้ง แทนอะไมโลสบริสุทธิ์

4.3 การวิเคราะห์ตัวอย่าง

ปีเปตสารละลายจากข้อ 4.2 ปริมาตร 5 มิลลิลิตร ลงในขวดวัดปริมาตรขนาด 100 มิลลิลิตร เติมน้ำกลั่นประมาณ 70 มิลลิลิตร ปีเปตกรดอะซิติกเข้มข้น 1 มิลลาร์ ปริมาตร 1 มิลลิลิตร และ สารละลายไอโอดีน ปริมาตร 2 มิลลิลิตร (เตรียมโดยละลายไอโอดีน 0.2 กรัม และโพแทสเซียมไอกอไดด์ 2.0 กรัม ในน้ำกลั่น 100 มิลลิลิตร) ปรับปริมาตรด้วยน้ำกลั่น เขย่า และตั้งทิ่งไว้ 20 นาที

ทำเช่นเดียวกันแต่ไม่ใส่สารตัวอย่างเพื่อใช้เป็นแบล็ค วัดค่าการดูดกลืนแสงของสารละลายที่ความยาวคลื่น 620 นาโนเมตร โดยปรับค่าสารละลายแบล็คให้เท่ากับ 0

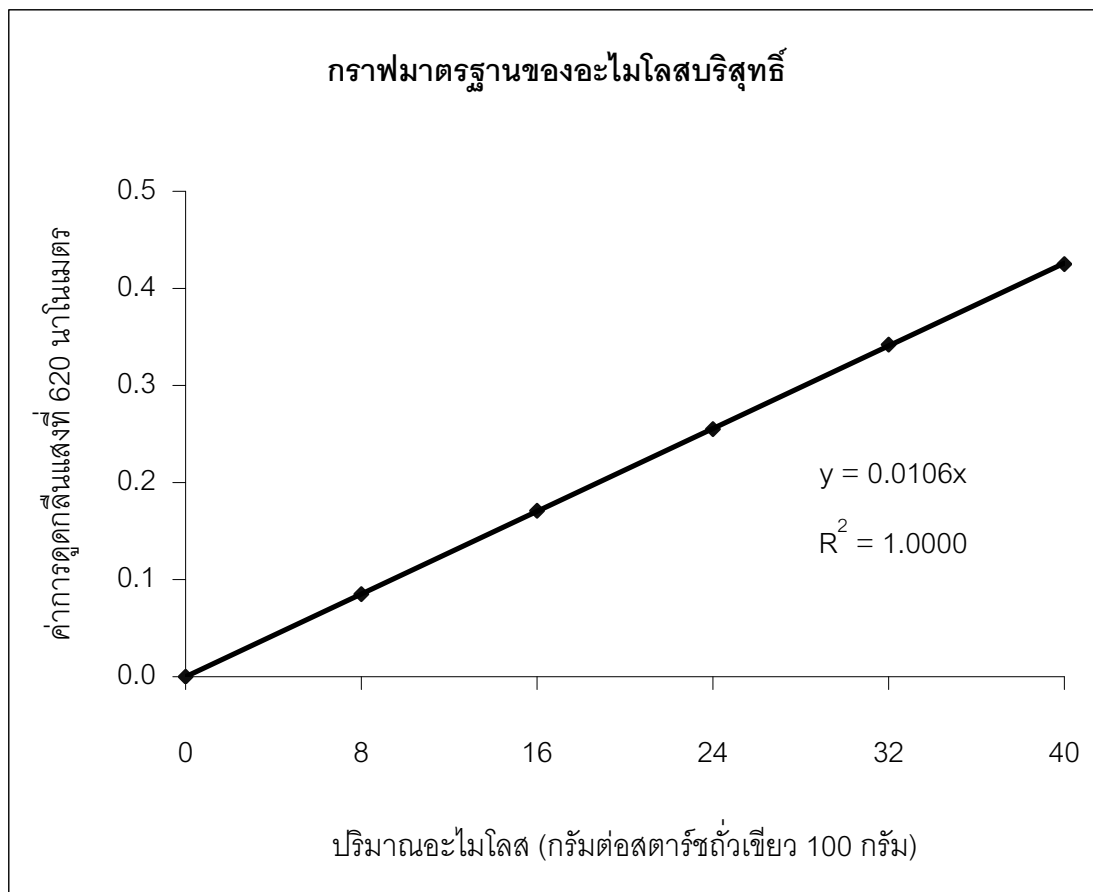
4.4 การเตรียมกราฟมาตรฐาน

ปีเปตสารละลายมาตรฐานจากข้อ 4.1 ปริมาตร 1, 2, 3, 4 และ 5 มิลลิลิตร ใส่ขวดวัดปริมาตรขนาด 100 มิลลิลิตร เติมน้ำกลั่นประมาณ 70 มิลลิลิตร ปีเปตกรดอะซิติกเข้มข้น 1 มิลาร์ปริมาตร 0.2, 0.4, 0.6, 0.8 และ 1.0 มิลลิลิตร ใส่ลงในขวดปริมาตรที่มีสารละลายมาตรฐานตามลำดับ และปีเปตสารละลายไอโอดีนปริมาตร 2 มิลลิลิตร เติมน้ำกลั่นจนมีปริมาตรครบ 100 มิลลิลิตร เขย่าสารละลายให้เข้ากันดี

วัดค่าการดูดกลืนแสงของสารละลายมาตรฐานที่ความยาวคลื่น 620 นาโนเมตร และเขียนกราฟระหว่างปริมาณอะไเมโลส (gramm ต่อสตาร์ช 100 กรัม หรือคิดเป็นร้อยละ 8, 16, 24, 32 และ 40) กับค่าการดูดกลืนแสง โดยใช้น้ำกลั่นเป็นแบล็ค แสดงดังภาพที่ 49

4.5 การเปลี่ยนค่าการดูดกลืนแสงเป็นปริมาณอะไเมโลส

นำค่าการดูดกลืนแสงที่ปริมาณตัวอย่าง 0.1000 กรัม ของแต่ละตัวอย่างเทียบกับกราฟมาตรฐานแล้วค่าเป็นร้อยละของอะไเมโลสต่อสตาร์ชถ้าเทียบ 100 กรัม



ภาพที่ 49 กราฟมาตราฐานระหว่างปัจจัยต่อสตาร์ช (กิโลกรัมต่ำร่องต่ำว่า 100 กิโลกรัม) กับค่าการดูดกลืนแสงที่ความยาวคลื่น 620 นาโนเมตร

5. การวิเคราะห์ลักษณะโครงสร้างผลึกภายในเม็ดสตาร์ชด้วยเครื่อง X-ray diffractometer (Cheetham และ Tao, 1998)

5.1 การเตรียมสตาร์ชก่อนการวิเคราะห์

ซั่งสตาร์ชประมาณ 7 กรัม ใส่ในจานแก้ว (Petri dish) และเกลี่ยสตาร์ชให้ทั่ว นำจานแก้ววางเรียงในโถดูความซึ้งเปล่าที่มีการเติมน้ำกลั่นด้านล่างของภาชนะนาน 24 ชั่วโมง เพื่อให้ตัวอย่างที่จะนำไปวิเคราะห์มีปัจจัยความชื้นใกล้เคียงกัน (ร้อยละ 13-14)

5.2 การวิเคราะห์ด้วยเครื่อง X-ray diffractometer

5.2.1 บรรจุสตาร์ชที่ปั๊บความชื้นแล้วลงในอุปกรณ์สำหรับระบุตัวอย่าง โดยต้องเกลี่ยผิวน้ำของตัวอย่างให้เรียบ

5.2.2 นำตัวอย่างใส่เข้าในเครื่อง โดยกำหนดสภาวะทดสอบ คือ ใช้เป้าหมาย (target) เป็นทองแดง (Cu) ความต่างศักย์ไฟฟ้า 30 กิโลโวลต์ ใช้กระแสไฟฟ้า 40 มิลลิแอม培ร์ เริ่มสแกนที่มุมหักเหลี่ยม 5.00 ถึง 40.00 องศา ด้วยอัตราเร็ว 0.02 องศาต่อวินาที

5.2.3 บันทึกรูปแบบการเลี้ยวเบนของรังสีเอกซ์ที่ได้ และคำนวณค่าร้อยละของความเป็นผลึก จากสมการซึ่งดัดแปลงมาจากวิธีการของ Cheetam และ Tao (1998) ดังนี้คือ

$$\text{ค่าร้อยละความเป็นผลึก} = \frac{\text{พื้นที่ใต้พีค (A)}}{\text{พื้นที่ทั้งหมดของスペกตรัม (B)}} \times 100$$

ค่าของพื้นที่ใต้พีค (A) และพื้นที่ทั้งหมดของスペกตรัม (B) สามารถคำนวณได้จากการใช้โปรแกรมภาษาในเครื่อง

5.2.4 วิธีการคำนวณร้อยละความเป็นผลึกโดยละเอียดทำได้โดย

5.2.4.1 ค่าจากพื้นที่ใต้กราฟทั้งหมดของスペกตรัม (B) ได้จากการนำค่าจากการรัดพื้นที่

5.2.4.2 ค่าจากพื้นที่ใต้พีค (A) ได้จากการนำค่าจากพื้นที่ใต้พีคหลัก 3 พีค ได้แก่ พีคตำแหน่งที่ 15 (1 พีค) 17 และ 18 (2 พีคเชื่อมกัน) และ 23 (1 พีค) องศา 2θ และพื้นที่จากพีคที่ปรากฏขึ้นใหม่อีก 1 พีค คือ ที่ตำแหน่ง 20 องศา 2θ มวลบันทึกจะได้ตัวเลขทั้งหมด 3 ค่า

5.2.4.3 นำค่าจากพื้นที่ B และ A จากข้อ 5.2.4.1 และ 5.4.2.2 ไปแทนในสมการซึ่งแสดงไว้ในข้อ 5.2.3 จะได้ค่าร้อยละความเป็นผลึกของสตาร์ชดัดแปลงตัวอย่างนั้นๆ

5.3 สถานที่วิเคราะห์

ห้องปฏิบัติการ X-ray diffraction ภาควิชาเทคโนโลยีวัสดุ คณะพลังงานสิ่งแวดล้อมและวัสดุ มหาวิทยาลัยเทคโนโลยีพระจอมเกล้าธนบุรี

6. การวิเคราะห์พฤติกรรมการเปลี่ยนแปลงความหนืดด้วยเครื่อง Rapid Visco Analyser (RVA) (Newport Scientific Pty. Ltd., 1995)

6.1 นำตัวอย่างสตาร์ชไปหาปริมาณความซึ่นตามวิธีของ AOAC (1990) ก่อนทำการวิเคราะห์

6.2 ชั้งตัวอย่างสตาร์ช 4 กรัมโดยน้ำหนักแห้ง ใส่ลงในภาชนะอะลูมิเนียม เติมน้ำกลั่นปริมาตร 25.0 มิลลิลิตร สามารถคำนวนปริมาณสตาร์ช และน้ำกลั่นที่ใช้ในการวิเคราะห์ตามร้อยละความซึ่นของตัวอย่าง ตามสมการ

$$\text{ปริมาณสตาร์ช } S = \frac{4.0 \times 100}{(100 - \text{ร้อยละความซึ่นโดยน้ำหนักเบี่ยง})}$$

$$\text{ปริมาณน้ำกลั่น } W = 25 + (4.0 - S)$$

6.3 นำไปพัดกวน (paddle) ลงในภาชนะอะลูมิเนียม ตั้งทิ้งไว้ 30 นาที จากนั้นหมุนไปพัดกวนจนตัวอย่างสตาร์ช และน้ำกลั่นผสมกันดี

6.4 ทำการวัดการเปลี่ยนแปลงความหนืดตามโปรแกรม STD1 ดังนี้
 เวลาเริ่มต้น อุณหภูมิ 50 องศาเซลเซียส ความเร็วรอบ 690 รอบต่อนาที
 เวลา 10 วินาที อุณหภูมิ 50 องศาเซลเซียส ความเร็วรอบ 160 รอบต่อนาที
 เวลา 1 นาที อุณหภูมิ 50 องศาเซลเซียส ความเร็วรอบ 160 รอบต่อนาที และเริ่มให้ความร้อน

เวลา 4 นาที 42 วินาที อุณหภูมิ 95 องศาเซลเซียส ความเร็วรอบ 160 รอบต่อนาที จนถึงเวลา 7นาที 12 วินาที อุณหภูมิ 95 องศาเซลเซียส ความเร็วรอบ 160 รอบต่อนาที และเริ่มให้ความเย็น

เวลา 11 นาที อุณหภูมิ 50 องศาเซลเซียส ความเร็วรอบ 160 รอบต่อนาที จนถึงเวลา 13 นาที อุณหภูมิ 50 องศาเซลเซียส ความเร็วรอบ 160 รอบต่อนาที
 ได้ค่าความหนืดสูงสุด (peak viscosity) ความหนืดต่ำสุดระหว่างการทำเย็น (trough)
 ความแตกต่างของความหนืดสูงสุดและต่ำสุด (breakdown) ความหนืดสุดท้าย (final viscosity)
 การคืนตัว (setback) และอุณหภูมิที่ความหนืดเริ่มเพิ่มขึ้น (pasting temperature)

7. การวิเคราะห์การเปลี่ยนแปลงเชิงความร้อนด้วยเครื่อง Differential Scanning Calorimeter (DSC) (ดัดแปลงจากกล้านวงศ์ และเกื้อฤทธิ์, 2543 และ Baker และ Duarte, 1998)

7.1 วิธีการทดลอง

ชั้งตัวอย่างสตาร์ชประมาณ 3.5 มิลลิกรัมโดยน้ำหนักแห้ง เติมน้ำร้อยละ 70 ของน้ำหนักทั้งหมดโดยใช้เข็มฉีดยาขนาดเล็ก (micro syringe) ใส่ลงในภาชนะอะลูมิเนียม (DSC pan) ปิดฝาแล้วตั้งทิ้งไว้ 1 ชั่วโมง นำมาวิเคราะห์ด้วยเครื่อง DSC โดยใช้คุณสมบัติเดิมตันที่ 25 องศาเซลเซียส คงไว้ 5 นาที แล้วจึงเพิ่มอุณหภูมิจนถึง 120 องศาเซลเซียส โดยใช้อัตราเร็ว 10 องศาเซลเซียสต่อนาที คำนวนหาค่าอุณหภูมิการเกิดเจลาตินเซชัน (T_O , T_P , และ T_C ; องศาเซลเซียส) และค่าเอนthalpyของการเกิดเจลาตินเซชัน ($\Delta H_{gelatinization}$; จูลต่อกรัม)

7.2 วิธีการคำนวนค่าอุณหภูมิ และค่าเอนthalpyของการเกิดเจลาตินเซชัน

การคำนวนค่าอุณหภูมิการเกิดเจลาตินเซชัน (T_O , T_P , และ T_C ; องศาเซลเซียส) และค่าเอนthalpyของการเกิดเจลาตินเซชัน ($\Delta H_{gelatinization}$; จูลต่อกรัม) กรณีที่มีพีคปรากฏขึ้นเพียงพีคเดียว หรือปรากฏขึ้นมากกว่าหนึ่งพีคแต่มีการแยกของพีคเป็นพีคเดี่ยวๆ ค่าอุณหภูมิของการเกิดเจลาตินเซชันต่างๆ จะสามารถคำนวนได้จากการใช้โปรแกรมภาษาในเครื่องทั้งหมด

8. การวิเคราะห์ความคงตัวต่อการย่อยด้วยเอนไซม์ (susceptibility to enzyme digestion) ของสตาร์ช

8.1 การวิเคราะห์แอคติวิตีของเอนไซม์แอลฟ่าอะเมเลสจากตับอ่อนของสุกร (Alpha-amylase from porcine pancreatic) (Bernfeld, 1995)

8.1.1 การเตรียมสารเคมี

8.1.1.1 สารละลายโซเดียมฟอสเฟตบัฟเฟอร์เข้มข้น 20 มิลลิโมลาร์ ในโซเดียมคลอไรด์เข้มข้น 0.0067 มิลลาร์ ค่าพีเอช 6.9 ที่ อุณหภูมิ 20 องศาเซลเซียส

ซึ่งโซเดียมฟอสเฟตโมโนเบสิกแอนไฮดรัส 0.138 กรัม ปรับปริมาตรเป็น 50 มิลลิลิตรในขวดวัดปริมาตร โดยใช้สารละลายโซเดียมคลอไรด์เข้มข้น 0.0067 มิลลาร์ จากนั้นปรับพีเอชเป็น 6.9 ด้วยสารละลายโซเดียมไฮดรอกไซด์เข้มข้น 0.1 มิลลาร์ ในอ่างน้ำเย็นที่อุณหภูมิ 20 องศาเซลเซียส (สารละลายโซเดียมคลอไรด์ และโซเดียมไฮดรอกไซด์เตรียมโดยใช้น้ำดื่มไอโอดีโนไนซ์ (deionized water) เป็นตัวทำละลาย)

8.1.1.2 สารละลายสตาร์ชมันฝรั่งเข้มข้นร้อยละ 1.0

ซึ่งสตาร์ชมันฝรั่งที่ละลายน้ำได้ (soluble potato starch) 0.250 กรัม ใส่บีกเกอร์ เติมสารละลายข้อ 8.1.1.1 พอท่อม ใส่แท่งแม่เหล็กสำหรับกวน จากนั้นนำไปกวนให้ความร้อนบนแท่นให้ความร้อน (hot plate) จนกระทั่งเดือด จับเวลาขณะเดือด 15 นาที ทำให้เย็นที่อุณหภูมิห้อง และปรับปริมาตรเป็น 25 มิลลิลิตร ในขวดวัดปริมาตรด้วยน้ำดื่มไอโอดีโนไนซ์

8.1.1.3 สารละลายน้ำ (Color reagent solution)

ซึ่งกรดไดโนเรตชาลิกไซลิก 1.0 กรัม เติมน้ำดื่มไอโอดีโนไนซ์ 50 มิลลิลิตร ใส่แท่งแม่เหล็กสำหรับกวน นำไปกวนให้ความร้อนบนแท่นให้ความร้อน แต่อย่าให้สารละลายเดือด เมื่อละลายเป็นเนื้อเดียวกันแล้ว ค่อยๆ เติมโซเดียมโพแทสเซียมทาเรต 30.0 กรัม และเติมสารละลายโซเดียม

ไฮดรอกไซด์เข้มข้น 2 นอร์มอล ปริมาตร 20 มิลลิลิตร เมื่อสารละลายละลายเป็นเนื้อดีงกันแล้ว ทำให้เย็นที่อุณหภูมิห้องและปรับปริมาตรเป็น 100 มิลลิลิตร ในขวดวัดปริมาตรด้วยน้ำดีไอโอดีนซ์ เก็บสารละลายสีในขวดสีชา โดยสารละลายสีที่เตรียมนี้มีอายุการใช้งาน 2 สัปดาห์

8.1.1.4 สารละลายมอลトイสماตฐานเข้มข้นร้อยละ 0.2 (น้ำหนักต่อปริมาตร)

นำมอลトイสوبในตู้อบลมร้อนที่ 90 องศาเซลเซียส นาน 2-3 ชั่วโมง ก่อนการนำมาใช้เพื่อลดความชื้น ชั้งมอลトイส์ 0.050 กรัม ปรับปริมาตรเป็น 25 มิลลิลิตร ในขวดวัดปริมาตร โดยใช้น้ำดีไอโอดีนซ์

8.1.1.5 สารละลายเอนไซม์พอร์ซีนแพนคิวอติกแอลฟ้าอะไมเลส

เตรียมสารละลายเอนไซม์พอร์ซีนแพนคิวอติกแอลฟ้าอะไมเลสให้มีความเข้มข้น 1 หน่วยเอนไซม์พอร์ซีนแพนคิวอติกแอลฟ้าอะไมเลสต่อ 1 มิลลิลิตร ในน้ำดีไอโอดีนซ์เย็น (1 ยูนิตต่อ มิลลิลิตร)

8.1.2 วิธีการวิเคราะห์เอดดิติวิติชองเอนไซม์แอลฟ้าอะไมเลส

การวิเคราะห์เอดดิติวิติชองเอนไซม์จะปฏิเสธสารละลายเรียงตามลำดับ (ในหน่วยมิลลิลิตร) ดัง ตารางที่ 14 โดยใช้หลอดทดลองขนาด 10 มิลลิลิตรที่มีฝาปิด จำนวน 4 หลอด (หลอดที่ 1-3 เป็น หลอดทดสอบ และหลอดที่ 4 เป็นหลอดแบล็ค) และทำปฏิกิริยาในอ่างน้ำเย็นควบคุมอุณหภูมิที่ อุณหภูมิ 20 องศาเซลเซียส กำหนดให้ 1 หน่วยเอนไซม์ (unit enzyme) หมายถึงปริมาณเอนไซม์ที่ เร่งปฏิกิริยาการย่อยสลายสตาร์ชเป็นมอลトイส์ 1.0 มิลลิกรัม ในเวลา 3 นาที ที่ค่าพีเอช 6.9 อุณหภูมิ 20 องศาเซลเซียส

ตารางที่ 14 วิธีการวิเคราะห์แอคติวิตี้ของเอนไซม์และฟ้าอazoleส

วิธีการทดลอง	หลอดทดลอง	หลอดแบลงค์ (มิลลิลิตร)
8.1.2.1 ปีเปตสารละลายสตาร์ชมันเฟร้ง (ข้อ 8.1.1.2) แข็งหลอดทดลองในอ่างน้ำเย็นนาน 3 นาที	1.00	1.00
8.1.2.2 ปีเปตสารละลายเอนไซม์ (ข้อ 8.1.1.5) เขย่าสารละลายให้เข้ากัน ปล่อยให้ทำปฏิกิริยานาน 3 นาที โดยเขย่าหลอดทดลองตลอดเวลา	1.00	---
8.1.2.3 ปีเปตสารละlaysี (ข้อ 8.1.1.3)	1.00	1.00
8.1.2.4 ปีเปตสารละลายเอนไซม์ (ข้อ 8.1.1.5) ปิดฝาหลอดทดลองแล้วรีบนำไปต้มในอ่างน้ำเดือด ทันที นาน 15 นาที เมื่อครบเวลา นำหลอดทดลองมาทำให้ เย็นในอ่างน้ำแข็ง	---	1.00
8.1.2.5 ปีเปตน้ำดีไอโอดีโนซีสีในหลอดทดลอง เขย่าสารละลายให้เข้ากัน และนำไปวัดค่าการ ดูดกลืนแสงที่ความยาวคลื่น 540 นาโนเมตร โดยปรับค่า สารละลายแบลงค์เป็น 0	9.00	9.00

8.1.3 การเตรียมกราฟมาตรฐานมอลติส

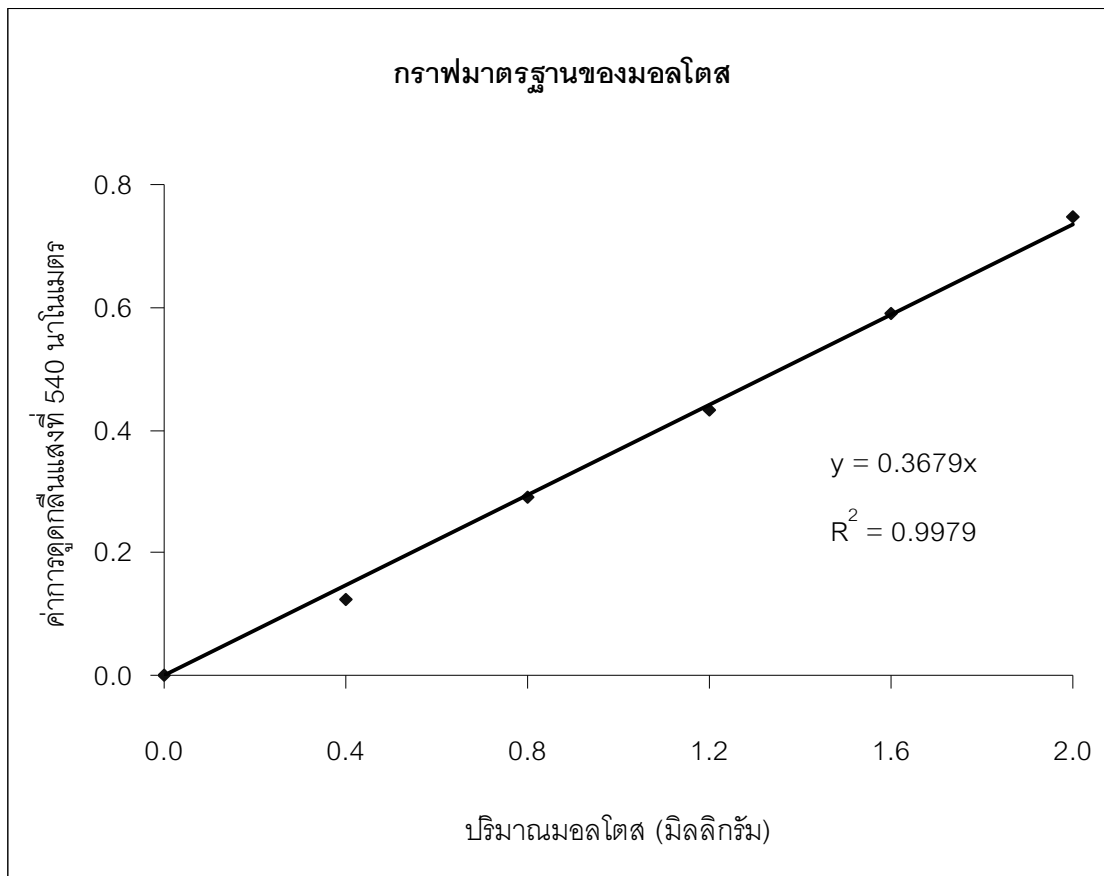
การเตรียมกราฟมาตรฐานจะปีเปตสารละลายเรียงตามลำดับ (ในหน่วยมิลลิลิตร) ดังนี้

ในตารางที่ 15 โดยใช้หลอดทดลองขนาด 10 มิลลิลิตรที่มีฝาปิด จำนวน 6 หลอด

ตารางที่ 15 การเติ่มกราฟมาตรฐานมอลติส

วิธีการทดลอง	หลอดสารละลายน้ำที่						แบลงค์
	1	2	3	4	5		
8.1.3.1 สารละลายน้ำมาตรฐานมอลติส (ข้อ 8.1.1.4)	0.20	0.40	0.60	0.80	1.00	---	
8.1.3.2 น้ำดื่มไอโอดีน	1.80	1.60	1.40	1.20	1.00	2.00	
8.1.3.3 สารละลายสี (ข้อ 8.1.1.3)	1.00	1.00	1.00	1.00	1.00	1.00	
ปิดฝาหลอดทดลอง และนำไปปัตตม ในน้ำเดือดนาน 15 นาที เมื่อครบเวลา นำ หลอดทดลองมาทำให้เย็นในอ่างน้ำแข็ง							
8.1.3.4 ปีเปต้น้ำดื่มไอโอดีน	9.00	9.00	9.00	9.00	9.00	9.00	
เขย่าสารละลายให้เข้ากันและ นำไปวัดค่าการดูดกลืนแสงที่ความยาว คลื่น 540 นาโนเมตร โดยปรับค่า สารละลายแบลงค์เป็น 0							

เขียนกราฟมาตรฐานของมอลติส ระหว่างปริมาณมอลติส หน่วยเป็นมิลลิกรัม (คิดเป็น 0.4, 0.8, 1.2, 1.6 และ 2.0 มิลลิกรัมมอลติส) กับค่าการดูดกลืนแสง แสดงดังภาพที่ 50



ภาพที่ 50 กราฟมาตรฐานระหว่างปริมาณมอลติส (มิลลิเมตร) กับค่าการดูดกลืนแสงที่ความยาวคลื่น 540 นาโนเมตร สำหรับเทียบค่าแอคติวิตีของเอนไซม์แอลฟ่าอะไมเลสจากตับอ่อนของสุกร

8.1.4 การเปลี่ยนค่าการดูดกลืนแสงเป็นปริมาณมิลลิกรัมมอลติส

นำค่าการดูดกลืนแสงที่วัดได้จากการวัดแอคติวิตีของเอนไซม์ (ข้อ 8.1.2) เทียบกับกราฟมาตรฐานมอลติสแล้วคำนวณค่าเป็นปริมาณมิลลิกรัมของมอลติส

8.1.5 การคำนวณค่าแอคติวิตีของเอนไซม์แอลฟ่าอะไมเลส

$$\text{หน่วยต่อมิลลิกรัมเอนไซม์} = \frac{A \times (df)}{B}$$

A = มิลลิกรัมมอลติสจาการย่อยด้วยเอนไซม์

B = ปริมาณเอนไซม์ที่ใช้ (ในหน่วยมิลลิลิตร)

df = อัตราการเจือจาง (dilution factor)

8.2 การย่อยสตาร์ชด้วยเอนไซม์แอลฟ่าอะไมเลส (Li และคณะ, 2003)

8.2.1 ปีเปตเอนไซม์แอลฟ่าอะไมเลส 1.39 มิลลิลิตร ปรับปริมาตรเป็น 100

มิลลิลิตร ในขวดวัดปริมาตรตัวอย่างน้ำดื่มโคลอโนนซ์ (เอนไซม์ 5 หน่วยต่อมิลลิกรัมสตาร์ชตัวอย่าง โดยเอนไซม์ที่ใช้มีแอคติวิตี้จำเพาะ (specific activity) เท่ากับ 1,125 หน่วยต่อมิลลิกรัมโปรดตีน และมี 32 มิลลิกรัมโปรดตีนต่อมิลลิลิตร)

8.2.2 ชั้งตัวอย่างสตาร์ช 100 มิลลิกรัมโดยน้ำหนักแห้ง ใส่หลอดเหวี่ยงที่มีฝาเกลียวปิด (screw cap centrifuge tube) ปีเปตสารละลายฟอกสบับเฟอร์เข้มข้น 0.1 มิลาร์ ในไซเดียมคลอไรด์เข้มข้น 0.006 มิลาร์ ค่าพีเอกซ์ 6.9 ปริมาตร 10 มิลลิลิตร เขย่าสารละลายให้เข้ากัน

8.2.3 นำหลอดเหวี่ยงแขวนอุ่นห้องที่อุณหภูมิ 37 องศาเซลเซียส นาน 10 นาที

8.2.4 ปีเปตสารละลายเอนไซม์แอลฟ่าอะไมเลส 1.00 มิลลิลิตร นำหลอดเหวี่ยงแขวนอุ่นห้องที่อุณหภูมิ 37 องศาเซลเซียส โดยเขย่าตกลอดเวลาตัวอย่างความเร็ว 160 รอบต่อนาที นาน 6 ชั่วโมง

8.2.5 เมื่อครบระยะเวลาที่กำหนด เติม.ethanol อลร้อยละ 95 ปริมาตร 2.20

มิลลิลิตร เขย่าให้เข้ากันแล้วนำไปเหวี่ยงที่ความเร็ว 7,000 รอบต่อนาที นาน 5 นาที แยกส่วนใส่ด้านบนไปทำการวิเคราะห์ปริมาณคาร์บอโนไดเรตต่อไป ส่วนสตาร์ชที่เหลือด้านล่างนำมาล้างด้วยน้ำกลั่นช้ำ 3 ครั้ง และเท่าน้ำ 95% ช้ำ 2 ครั้ง นำไปอบแห้งในตู้อบลมร้อนที่อุณหภูมิ 40 องศาเซลเซียส เพื่อนำไปตรวจสอบลักษณะทางสัณฐานของเม็ดสตาร์ชด้วยกล้องจุลทรรศน์อิเลคตรอนแบบส่องกราด (Scanning Electron Microscope, SEM) ต่อไป

8.3 การวิเคราะห์ปริมาณคาร์บอไไฮเดรตทั้งหมดด้วยวิธีฟินอล-ชัลฟูริก (Dubois และคณะ, 1956)

8.3.1 การเตรียมกราฟมาตรฐานกลูโคส

8.3.1.1 เตรียมสารละลายน้ำตาลกลูโคสมาร์คมาตรฐานความเข้มข้นร้อยละ 0.1 (น้ำหนักต่อปริมาตร) จากนั้นนำสารละลายน้ำตาลกลูโคสมาเจือจากอีกครึ่งให้เป็นความเข้มข้นร้อยละ 0.01

8.3.1.2 ปีเปตสารละลายน้ำตาลกลูโคสให้มีความเข้มข้นต่างๆ ดังแสดงในตารางที่ 16

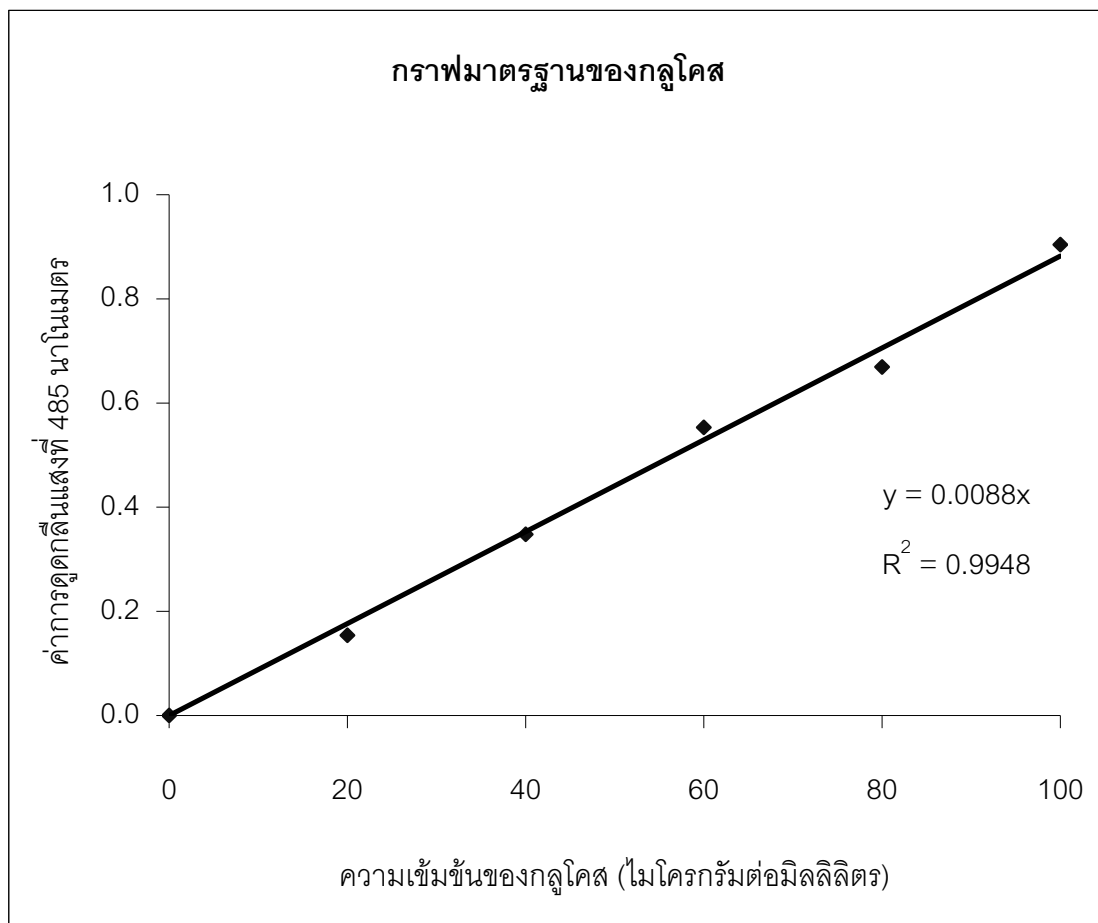
ตารางที่ 16 การเตรียมสารละลายน้ำตาลกลูโคสความเข้มข้น 0-100 ไมโครกรัมต่อมิลลิลิตร

หลอดที่	ปริมาณสารละลายน้ำตาลกลูโคสความเข้มข้นร้อยละ 0.01 ที่ปีเปต (มิลลิลิตร)	ปริมาตรน้ำกลั่นที่เติม (มิลลิลิตร)	คิดเป็นความเข้มข้นของกลูโคส (ไมโครกรัมต่อมิลลิลิตร)
1	0.0	1.0	0
2	0.2	0.8	20
3	0.4	0.6	40
4	0.6	0.4	60
5	0.8	0.2	80
6	1.0	0.0	100

8.3.1.3 ปีเปตสารละลายนีโนลความเข้มข้นร้อยละ 5 ปริมาตร 1 มิลลิลิตร ผสมให้เข้ากันอย่างรวดเร็ว

8.3.1.4 ปีเปตกรดชัลฟูริกเข้มข้น ปริมาตร 5 มิลลิลิตร ผสมให้เข้ากันอย่างรวดเร็ว ตั้งทิ้งไว้ในเตาดูดควัน 30 นาที

8.3.1.5 นำไปวัดค่าการดูดกลืนแสงที่ความยาวคลื่น 485 นาโนเมตร เจียนกราฟมาตรฐานระหว่างค่าการดูดกลืนแสง และความเข้มข้นของน้ำตาลกลูโคสในหน่วยไมโครกรัมต่อมิลลิลิตร แสดงในภาพที่ 51



ภาพที่ 51 กราฟมาตรฐานระหว่างปริมาณกลูโคส (ไมโครกรัมต่อมิลลิลิตร) กับค่าการดูดกลืนแสงที่ความยาวคลื่น 485 นาโนเมตร สำหรับเทียบค่าปริมาณคาร์บอไฮเดรตทั้งหมด

8.3.2 การเตรียมตัวอย่าง

8.3.2.1 ทำการเจือจากตัวอย่างให้มีความเข้มข้นไม่เกิน 100 ไมโครกรัมต่อมิลลิลิตร (ในงานวิทยานิพนธ์นี้เจือจาก 100 เท่า)

8.3.2.2 ปีเปตสารละลายตัวอย่างปริมาตร 1 มิลลิลิตร ใส่ในหลอดทดลองขนาด 15 มิลลิลิตร จากนั้นทำตามขั้นตอนในข้อ 8.3.1.3 ถึง 8.3.1.5

นำค่าการดูดกลืนแสงที่ได้เทียบกับกราฟมาตรฐานกลูโคส และคำนวณความเข้มข้นของกลูโคส (ปริมาณคาร์บอไฮเดรต) ทั้งหมดในหน่วยไมโครกรัมต่อมิลลิลิตร (1 มิลลิลิตรของสารละลายน้ำ) โดยคูณอัตราการเจือจาง (dilution factor) ของตัวอย่างด้วย จากนั้นหารด้วย 1,000 เพื่อเปลี่ยนให้เป็นหน่วยมิลลิกรัมต่อมิลลิลิตร และคูณด้วย 13.2 มิลลิลิตร (มาจากการใช้ฟอร์สเฟตบัฟเฟอร์ปริมาตร 10.00 มิลลิลิตร ในข้อ 8.2.2 เอนไซม์ปริมาตร 1.00 มิลลิลิตร ในข้อ 8.2.4 และ Ethananolปริมาตร 2.20 มิลลิลิตร ในข้อ 8.2.5) เพื่อจะคำนวณค่าปริมาณความเข้มข้นของกลูโคส ทั้งหมดในหน่วยมิลลิกรัมต่อการปeroxide แห้ง 100 มิลลิกรัม ด้วยเอนไซม์แอลฟาร์บีโนเลส ซึ่งก็คือ ค่าร้อยละการถูกย่อยด้วยเอนไซม์ (% enzyme hydrolysis) ของสตาร์ชดัดแปลง (Hoover และ Manuel, 1996)

9. ร้อยละการละลายและกำลังการพองตัว (ดัดแปลงจาก Leach และคณะ, 1959)

ซึ่งตัวอย่างสตาร์ช 0.5 กรัม โดยน้ำหนักแห้ง ใส่หลอดเหวี่ยงขนาดเส้นผ่านศูนย์กลาง 2.5 เซนติเมตร ขนาด 50 มิลลิลิตร เติมน้ำกลั่นปริมาตร 25 มิลลิลิตร แขวนอยู่บนคุณภาพที่อุณหภูมิ 85 องศาเซลเซียส เขย่าติดต่อเวลากัน 30 นาที ด้วยอัตราเร็ว 140 รอบต่อนาที จากนั้นเหวี่ยงในเครื่องหมุนเหวี่ยง ที่ความเร็ว 15,000 รอบต่อนาที เป็นเวลา 15 นาที ดูดของเหลวใส่ต่อนบนทั้งหมดใส่ในภาชนะอบแห้งที่ทราบน้ำหนักแห่นอน นำไปอบในตู้อบลมร้อนที่อุณหภูมิ 105 องศาเซลเซียส ข้ามคืนจนมีน้ำหนักคงที่ ซึ่งน้ำหนัก และบันทึกค่าน้ำหนัก น้ำหนักที่ได้หลังจากการอบจะเป็นน้ำหนักส่วนที่ละลายน้ำ ส่วนสตาร์ชเปลี่ยนเป็นเหลืออยู่ในหลอดเหวี่ยงนำมาซึ่งเป็นน้ำหนักสตาร์ชที่พองตัว จากนั้นคำนวณร้อยละการละลาย และกำลังการพองตัว โดยคำนวณจาก

$$\text{ร้อยละของการละลาย} = \frac{\text{น้ำหนักส่วนที่ละลาย} \times 100}{\text{น้ำหนักตัวอย่างแห้ง}}$$

$$\text{กำลังการพองตัว} = \frac{\text{น้ำหนักสตาร์ชที่พองตัว} \times 100}{\text{น้ำหนักตัวอย่างแห้ง} \times (100 - \text{ร้อยละของการละลาย})}$$

10. ความคงตัวต่อการแข็ง-เหลว (ดัดแปลงจาก Jayati และคณะ, 2002)

เตรียมน้ำสตาร์ชความเข้มข้นร้อยละ 5 (น้ำหนักต่อปริมาตร) นำไปให้ความร้อนที่อุณหภูมิ 95 องศาเซลเซียส นาน 30 นาที โดยการทดลองเวลาที่ความเร็ว 270 รอบต่อนาที จากนั้นเทใส่หลอดปั่นเหวี่ยงขนาด 15 มิลลิลิตร ที่ทราบน้ำหนักแน่นอน บันทึกน้ำหนักหลอดปั่นเหวี่ยงที่บรรจุสารละลายสตาร์ช นำไปแข็งที่อุณหภูมิ -23.93 องศาเซลเซียส เป็นเวลา 24 ชั่วโมง เมื่อครบระยะเวลา ทำการละลายโดยตั้งทิ้งไว้ที่อุณหภูมิ 30 องศาเซลเซียส จนกว่าจะละลายหมด ซึ่งน้ำหนักหลอดปั่นเหวี่ยงที่กำจัดน้ำออก จากนั้นนำค่าที่ได้มาคำนวณร้อยละปริมาณน้ำที่แยกชั้น (% syneresis) โดยคำนวณจาก

$$\text{ร้อยละปริมาณน้ำที่แยกชั้น} = \frac{\text{น้ำหนักน้ำที่แยกชั้น}}{\text{น้ำหนักของตัวอย่าง}} \times 100$$

11. ความแข็งแรงของเจลด้วยเครื่อง Texture Analyzer

เตรียมของผสมน้ำกับสตาร์ชถ้าเขียวความเข้มข้นร้อยละ 8 (โดยน้ำหนักแห้งต่อปริมาตร) ให้ความร้อนที่อุณหภูมิ 95 องศาเซลเซียส นาน 30 นาที โดยการทดลองที่ความเร็ว 80 รอบต่อนาที จากนั้นเทใส่ภาชนะพลาสติกขนาดเดินผ่านศูนย์กลาง 3.9 เซนติเมตร สูง 1.0 เซนติเมตร นำไปแข็งที่อุณหภูมิ 6 องศาเซลเซียส นาน 24 ชั่วโมง จากนั้นนำไปวัดความแข็งแรงของเจลด้วยเครื่อง Texture Analyzer โดยใช้หัววัด P100 และทำการวัดความแข็งแรงของเจลตามโปรแกรมดังนี้

Pre-test speed	2.0 mm/sec
Test speed	1.0 mm/sec
Post-test speed	10.0 mm/sec
Rupture test distance	1.0 mm
Distance	7.0 mm
Force	400 g
Time	2 sec
Count	3

โดยความแข็งแรงของเจลคิดจากค่าแรงสูงสุดที่ทำให้เจลแตกหรือเสียสภาพ

12. ปริมาณหมุ่คาร์บอนิล และหมุ่คาร์บออกซิล (เฉพาะสตราชถัวเรียกด้วยดั้ดเปรโดเมวิช
ออกซิเดชัน) (Wang และ Wang, 2003)

12.1 การหาปริมาณหมุ่คาร์บอนิล

12.1.1 การเตรียมสารละลายไฮดรอกซิลเอมีน

เตรียมสารละลายโซเดียมไฮดรอกไซด์เข้มข้น 0.5 นอร์มอล ปริมาตร 100 มิลลิลิตร ในขวด
วัดปริมาตรขนาด 500 มิลลิลิตร เติมไฮดรอกซิลเอมีนไฮดรคลอไรด์ 25 กรัม ปรับปริมาตรเป็น
500 มิลลิลิตร

12.1.2 การวิเคราะห์หาปริมาณหมุ่คาร์บอนิล

ซั่งตัวอย่างสตราช 4 กรัม โดยน้ำหนักแห้ง ใส่ในขวดรูปปัมพ์ขนาด 500 มิลลิลิตร เติมน้ำกลัน
100 มิลลิลิตร ต้มในอ่างน้ำร้อน นาน 20 นาที เมื่อครบระยะเวลา ทำให้เย็นจนมีอุณหภูมิ 40 องศา^ศ
เซลเซียส ปรับให้ค่าความเป็นกรด-ด่างเท่ากับ 3.2 ด้วย สารละลายกรดไฮดรคลอไวกเข้มข้น 0.1
นอร์มอล จากนั้นเติมสารละลายไฮดรอกซิลเอมีน 15 มิลลิลิตร ปิดปากขวดรูปปัมพ์ นำไปใส่ในอ่าง
น้ำควบคุมอุณหภูมิที่ตั้งอุณหภูมิไว้ที่ 40 องศาเซลเซียส นาน 4 ชั่วโมง โดยขยายช้า ๆ ตลอดเวลา
เมื่อครบระยะเวลา นำไปปีตเตอร์ด้วยสารละลายมาตรฐานกรดไฮดรคลอไวกเข้มข้น 0.1 นอร์มอล
จนมีค่าความเป็นกรด-ด่าง 3.2 (แบลงค์หาได้จากการไตรตระห่วงสารละลายไฮดรอกซิลเอมีน
กับสารละลายมาตรฐานกรดไฮดรคลอไวกเข้มข้น 0.1 นอร์มอล) จากนั้นนำค่าที่ได้มาคำนวนหา
ร้อยละปริมาณหมุ่คาร์บอนิล โดยคำนวนจาก

$$\text{ร้อยละปริมาณหมุ่คาร์บอนิล} = \frac{(\text{แบลงค์} - \text{ตัวอย่าง}) \text{ มิลลิลิตร} \times \text{ความเข้มข้นของกรด} \times 0.028 \times 100}{\text{น้ำหนักตัวอย่างสตราชโดยน้ำหนักแห้ง}}$$

12.2 การหาปริมาณหมู่คาร์บอกรชีล

ชั้งตัวอย่างสตาร์ช 2 กรัม โดยน้ำหนักแห้ง ใส่ในปีกเกอร์ขนาด 50 มิลลิลิตร เติมสารละลายกรดไฮโดรคลอโริกเข้มข้น 0.1 นอร์มอล ปริมาตร 25 มิลลิลิตร ภาชนะเป็นเวลา 30 นาที นำไปกรองโดยใช้ระบบสูญญากาศ โดยกรองผ่าน medium porosity fritted glass funnel ขนาด 150 มิลลิลิตร และล้างด้วยน้ำกลั่น 400 มิลลิลิตร จากนั้นย้ายก้อนสตาร์ชใส่ในปีกเกอร์ขนาด 500 มิลลิลิตร เติมน้ำกลั่นจนมีปริมาตร 300 มิลลิลิตร ด้วยน้ำกลั่นนำไปต้มในอ่างน้ำร้อนนาน 15 นาที โดยการติดต่อเวลา ปรับให้สารละลายมีปริมาตร 450 มิลลิลิตร และนำไปตีเตรตด้วยสารละลายมาตราฐานโซเดียมไฮดรอกไซด์เข้มข้น 0.01 นอร์มอล จนมีค่าความเป็นกรด-ด่าง 8.3 (ใช้สตาร์ชที่ไม่ผ่านการตัดแบ่งเป็นแบล็ค) จากนั้นนำค่าที่ได้มาคำนวนหาร้อยละปริมาณหมู่คาร์บอกรชีล โดยคำนวนจาก

$$\text{ร้อยละปริมาณหมู่คาร์บอกรชีล} = \frac{(\text{ตัวอย่าง - แบล็ค}) \text{ มิลลิลิตร} \times \text{ความเข้มข้นของเบส} \times 0.045 \times 100}{\text{n้ำหนักตัวอย่างสตาร์ชโดยน้ำหนักแห้ง}}$$

13. ปริมาณฟอสฟอรัส (เฉพาะสตาร์ชถ้วนเขียวดัดแปลงโดยวิธีการเชื่อมข้าม)

13.1 การเตรียมสารเคมี

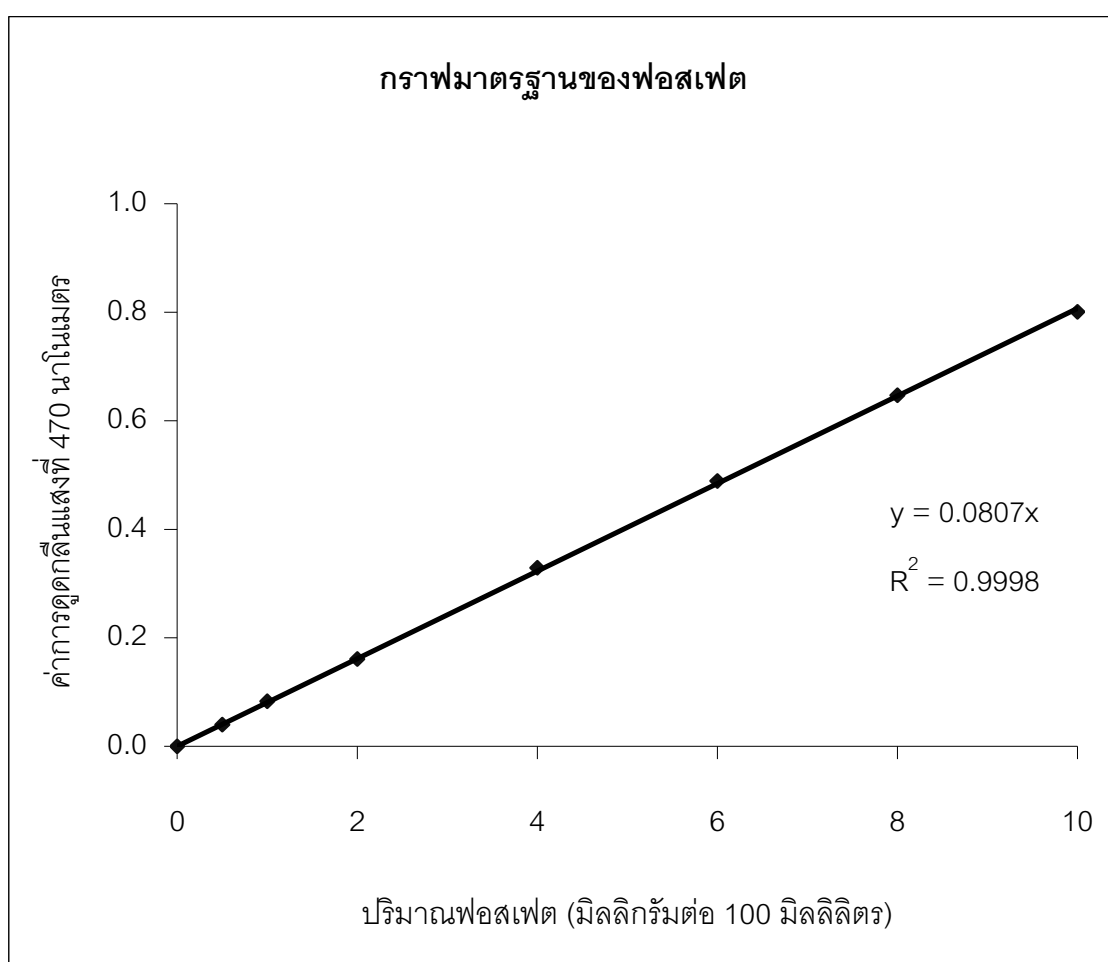
13.1.1 สารละลายโมลิบไดวานาเดต

ละลายแอมโมเนียมโมลิบเดต 20 กรัม ในน้ำกลั่นอุณหภูมิ 50 องศาเซลเซียส ปริมาตร 400 มิลลิลิตร จากนั้นทำให้เย็น ละลายแอมโมเนียมวนานาเดต 1.0 กรัม ในน้ำเดือดปริมาตร 300 มิลลิลิตร จากนั้นทำให้เย็น และเติมกรดไนโตริกเข้มข้น 140 มิลลิลิตร โดยค่อย ๆ ภาชนะ จากนั้นค่อย ๆ เติมสารละลายโมลิบเดตลงในสารละลายกรดวนานาเดต และปรับปริมาตรเป็น 1 ลิตร ด้วยน้ำกลั่น

13.1.2 สารละลายน้ำที่อุณหภูมิ 105 องศาเซลเซียส นาน 2 ชั่วโมง จำนวน 3.834 กรัม ใส่ในขวดวัดปริมาตรขนาด 1 ลิตร ปรับปริมาตรเป็น 1 ลิตรด้วยน้ำกลั่น แข็งเย็นไว้จนกว่าจะใช้ เมื่อจะใช้ให้ปีเปตสารละลายน้ำที่อุณหภูมิ 25 มิลลิลิตร และปรับปริมาตรเป็น 250 มิลลิลิตร ($1 \text{ มิลลิลิตร} = 0.2 \text{ มิลลิกรัม } P_2O_5$)

13.2 การเตรียมกราฟมาตราฐานฟอสเฟต

ปีเปตสารละลายน้ำที่อุณหภูมิ 25 มิลลิลิตร ปริมาตร 0, 2.5, 5, 10, 20, 30, 40, และ 50 มิลลิลิตร ตามลำดับ ($0-10 \text{ มิลลิกรัม } P_2O_5$) ใส่ในขวดวัดปริมาตรขนาด 100 มิลลิลิตร เจือจางด้วยน้ำกลั่นปริมาตร 50-60 มิลลิลิตร เติมสารละลายน้ำที่อุณหภูมิ 25 มิลลิลิตร ปรับให้มีปริมาตร 100 มิลลิลิตร ตัวอย่างน้ำที่อุณหภูมิ 25 มิลลิลิตร ให้เกิดปฏิกิริยาสมบูรณ์ 10 นาที นำไปวัดค่าการดูดกลืนแสงที่ความยาวคลื่น 470 นาโนเมตร เยี่ยนกราฟมาตราฐานระหว่างค่าการดูดกลืนแสงและปริมาณฟอสเฟตในหน่วยมิลลิกรัมต่อ 100 มิลลิลิตร แสดงไว้ในภาพที่ 52



ภาพที่ 52 กราฟมาตรฐานระหว่างปริมาณฟอสเฟต (มิลลิกรัมต่อ 100 มิลลิลิตร) กับค่าการดูดกลืน
แสงที่ความยาวคลื่น 470 นาโนเมตร สำหรับเทียบค่าปริมาณฟอสเฟต

ภาคผนวก ข
ตารางผลการทดลอง

ตารางที่ 17 ปริมาณของไมโลสของสตาร์ชถั่วเขียวที่ไม่ผ่านและผ่านการดัดแปลงโดยการย่อย
 ด้วยกรด

ตัวอย่าง	ปริมาณของไมโลส
	(gramm ต่อสตาร์ชถั่วเขียวโดยน้ำหนักแห้ง 100 กรัม)
Native starch	61.98 ± 0.11 ^b
Acid-thinned starch, 40°C, control	64.02 ± 0.63 ^a
Acid-thinned starch, 40°C, 0.5% HCl	64.43 ± 0.99 ^a
Acid-thinned starch, 40°C, 1.0% HCl	63.65 ± 1.02 ^a
Acid-thinned starch, 60°C, control	62.05 ± 0.55 ^b
Acid-thinned starch, 60°C, 0.5% HCl	61.57 ± 0.72 ^b
Acid-thinned starch, 60°C, 1.0% HCl	59.74 ± 0.35 ^c

a,...,c = ตัวเลขที่มีตัวอักษรกำกับเหมือนกันในคอลัมน์เดียวกันคือไม่มีความแตกต่างอย่างมีนัยสำคัญทางสถิติที่ระดับความเชื่อมั่น้อยละ 95 ในตารางคือค่าเฉลี่ย ± SD (n=2)

ตารางที่ 18 ค่าร้อยละความเป็นผลึกของสตาร์ชถั่วเขียวที่ไม่ผ่านและผ่านการดัดแปลงโดยการย่อย
 ด้วยกรด

ตัวอย่าง	ร้อยละความเป็นผลึก
Native starch	51.84
Acid-thinned starch, 40°C, control	53.85
Acid-thinned starch, 40°C, 1.0% HCl	53.93
Acid-thinned starch, 60°C, control	54.42
Acid-thinned starch, 60°C, 1.0% HCl	52.67

ตารางที่ 19 ค่าร้อยละการถูกย่อยด้วยเอนไซม์แอลฟาราบีโนเลสของสารซัลวีเยิวที่ไม่ผ่านและผ่านการตัดเปรียกรายอ่อนด้วยกรด

ตัวอย่าง	ร้อยละการถูกย่อยด้วยเอนไซม์
Native starch	39.63 ± 1.38 ^d
Acid-thinned starch, 40°C, control	68.10 ± 6.07 ^b
Acid-thinned starch, 40°C, 0.5% HCl	49.84 ± 4.73 ^c
Acid-thinned starch, 40°C, 1.0% HCl	78.18 ± 6.58 ^a
Acid-thinned starch, 60°C, control	83.78 ± 4.52 ^a
Acid-thinned starch, 60°C, 0.5% HCl	57.04 ± 3.19 ^c
Acid-thinned starch, 60°C, 1.0% HCl	39.29 ± 1.36 ^d

a,...,d = ตัวเลขที่มีตัวอักษรกำกับเหมือนกันในคอลัมน์เดียวกันคือไม่มีความแตกต่างอย่างมีนัยสำคัญทางสถิติที่ระดับความเชื่อมั่นร้อยละ 95 ในตารางคือค่าเฉลี่ย ± SD (n=2)

ตารางที่ 20 ค่ากำลังการพองตัวและร้อยละการละลายของสารซัลวีเยิวที่ไม่ผ่านและผ่านการตัดเปรียกรายอ่อนด้วยกรด

ตัวอย่าง	กำลังการพองตัว	ร้อยละการละลาย
Native starch	11.16 ± 0.17 ^a	3.46 ± 0.05 ^d
Acid-thinned starch, 40°C, control	10.01 ± 0.07 ^b	4.78 ± 0.49 ^c
Acid-thinned starch, 40°C, 0.5% HCl	10.87 ± 0.18 ^a	5.46 ± 0.32 ^b
Acid-thinned starch, 40°C, 1.0% HCl	8.65 ± 0.24 ^c	6.60 ± 0.67 ^{ab}
Acid-thinned starch, 60°C, control	10.14 ± 0.08 ^b	4.20 ± 0.16 ^c
Acid-thinned starch, 60°C, 0.5% HCl	7.05 ± 0.12 ^d	6.01 ± 0.22 ^a
Acid-thinned starch, 60°C, 1.0% HCl	5.32 ± 0.32 ^e	5.43 ± 0.35 ^b

a,...,e = ตัวเลขที่มีตัวอักษรกำกับเหมือนกันในคอลัมน์เดียวกันคือไม่มีความแตกต่างอย่างมีนัยสำคัญทางสถิติที่ระดับความเชื่อมั่นร้อยละ 95 ในตารางคือค่าเฉลี่ย ± SD (n=2)

ตารางที่ 21 ค่าร้อยละการแยกตัวของเหลวของสตาร์ชถั่วเขียวที่ไม่ผ่านและผ่านการดัดแปลงโดยการย่ออยด้วยกรด

ตัวอย่าง	ร้อยละการแยกตัวของเหลว
Native starch	54.84 ± 0.59 ^d
Acid-thinned starch, 40°C, control	70.90 ± 2.21 ^b
Acid-thinned starch, 40°C, 0.5% HCl	64.88 ± 4.23 ^c
Acid-thinned starch, 40°C, 1.0% HCl	73.26 ± 0.94 ^b
Acid-thinned starch, 60°C, control	77.14 ± 2.30 ^a
Acid-thinned starch, 60°C, 0.5% HCl	72.48 ± 1.20 ^b
Acid-thinned starch, 60°C, 1.0% HCl	72.97 ± 2.09 ^b

a,...,d = ตัวเลขที่มีตัวอักษรกำกับเหมือนกันในคอลัมน์เดียวกันคือไม่มีความแตกต่างอย่างมีนัยสำคัญทางสถิติที่ระดับความเชื่อมั่นร้อยละ 95 ในตารางคือค่าเฉลี่ย ± SD (n=2)

ตารางที่ 22 ค่าความแข็งแรงของเจลของสตาร์ชถั่วเขียวที่ไม่ผ่านและผ่านการดัดแปลงโดยการย่ออยด้วยกรด

ตัวอย่าง	ความแข็งแรงของเจล (นิวตัน)
Native starch	78.96 ± 3.92 ^c
Acid-thinned starch, 40°C, control	121.06 ± 14.72 ^b
Acid-thinned starch, 40°C, 0.5% HCl	120.25 ± 6.79 ^b
Acid-thinned starch, 40°C, 1.0% HCl	79.39 ± 7.54 ^c
Acid-thinned starch, 60°C, control	145.78 ± 9.80 ^a
Acid-thinned starch, 60°C, 0.5% HCl	21.34 ± 2.06 ^d
Acid-thinned starch, 60°C, 1.0% HCl	-

a,...,d = ตัวเลขที่มีตัวอักษรกำกับเหมือนกันในคอลัมน์เดียวกันคือไม่มีความแตกต่างอย่างมีนัยสำคัญทางสถิติที่ระดับความเชื่อมั่นร้อยละ 95 ในตารางคือค่าเฉลี่ย ± SD (n=2)

ตารางที่ 23 ปริมาณความชื้นของสตาร์ชถั่วเขียวที่ไม่ผ่านและผ่านการดัดแปลงโดยการย่อยด้วยกรด

ตัวอย่าง	ปริมาณความชื้น (กรัมต่อสตาร์ชถั่วเขียวโดยน้ำหนักแห้ง 100 กรัม)
Native starch	12.18 ± 0.08 ^{de}
Acid-thinned starch, 40°C, control	12.56 ± 0.15 ^c
Acid-thinned starch, 40°C, 0.5% HCl	11.95 ± 0.25 ^e
Acid-thinned starch, 40°C, 1.0% HCl	12.13 ± 0.24 ^{de}
Acid-thinned starch, 60°C, control	13.02 ± 0.09 ^b
Acid-thinned starch, 60°C, 0.5% HCl	12.36 ± 0.18 ^{cd}
Acid-thinned starch, 60°C, 1.0% HCl	13.41 ± 0.56 ^a

a,...,e = ตัวเลขที่มีตัวอักษรกำกับเหมือนกันในคอลัมน์เดียวกันคือไม่มีความแตกต่างอย่างมีนัยสำคัญทางสถิติที่ระดับความเชื่อมั่นร้อยละ 95 ในตารางคือค่าเฉลี่ย ± SD (n=2)

ตารางที่ 24 ปริมาณอะไมโลสของสตาร์ชถั่วเขียวที่ไม่ผ่านและผ่านการดัดแปลงโดยวิธีออกซิเดชัน

ตัวอย่าง	ปริมาณอะไมโลส (กรัมต่อสตาร์ชถั่วเขียวโดยน้ำหนักแห้ง 100 กรัม)
Native starch	61.98 ± 0.11 ^b
Oxidized starch, control	61.26 ± 1.15 ^b
Oxidized starch, 0.5% active chlorine	61.72 ± 0.79 ^b
Oxidized starch, 1.0% active chlorine	64.12 ± 0.20 ^a
Oxidized starch, 1.5% active chlorine	63.44 ± 0.30 ^a
Oxidized starch, 2.0% active chlorine	61.76 ± 0.52 ^b

a,...,b = ตัวเลขที่มีตัวอักษรกำกับเหมือนกันในคอลัมน์เดียวกันคือไม่มีความแตกต่างอย่างมีนัยสำคัญทางสถิติที่ระดับความเชื่อมั่นร้อยละ 95 ในตารางคือค่าเฉลี่ย ± SD (n=2)

ตารางที่ 25 ค่าร้อยละความเป็นผลึกของสตาร์ชถ้วนเฉียบที่ไม่ผ่านและผ่านการตัดแปรโดยวิธี
ออกซิเดชัน

ตัวอย่าง	ร้อยละความเป็นผลึก
Native starch	51.84
Oxidized starch, control	53.48
Oxidized starch, 1.0% active chlorine	53.29
Oxidized starch, 2.0% active chlorine	53.64

ตารางที่ 26 ค่าร้อยละการถูกย่อยด้วยเอนไซม์แอลฟ่าอะไมเลสของสตาร์ชถ้วนเฉียบที่ไม่ผ่านและ
ผ่านการตัดแปรโดยวิธีออกซิเดชัน

ตัวอย่าง	ร้อยละการถูกย่อยด้วยเอนไซม์
Native starch	39.63 ± 1.38^c
Oxidized starch, control	36.75 ± 4.30^c
Oxidized starch, 0.5% active chlorine	66.60 ± 1.93^a
Oxidized starch, 1.0% active chlorine	25.85 ± 0.98^d
Oxidized starch, 1.5% active chlorine	50.63 ± 2.10^b
Oxidized starch, 2.0% active chlorine	50.05 ± 3.79^b

a,...,d = ตัวเลขที่มีตัวอักษรกำกับเหมือนกันในคอลัมน์เดียวกันคือไม่มีความแตกต่างอย่างมีนัยสำคัญทางสถิติที่ระดับความเชื่อมั่นร้อยละ 95 ในตารางคือค่าเฉลี่ย \pm SD ($n=2$)

ตารางที่ 27 ค่ากำลังการพองตัวและร้อยละการละลายของสตาร์ชถั่วเขียวที่ไม่ผ่านและผ่านการดัดแปลงโดยวิธีออกซิเดชัน

ตัวอย่าง	กำลังการพองตัว	ร้อยละการละลาย
Native starch	11.16 ± 0.17 ^a	3.46 ± 0.05 ^d
Oxidized starch, control	11.26 ± 0.03 ^a	5.73 ± 0.32 ^c
Oxidized starch, 0.5% active chlorine	9.59 ± 0.37 ^c	6.25 ± 0.35 ^{bc}
Oxidized starch, 1.0% active chlorine	11.07 ± 0.16 ^a	6.70 ± 0.49 ^b
Oxidized starch, 1.5% active chlorine	10.54 ± 0.30 ^b	8.89 ± 0.54 ^a
Oxidized starch, 2.0% active chlorine	11.18 ± 0.30 ^a	8.83 ± 0.08 ^a

a,...,d = ตัวเลขที่มีตัวอักษรกำกับเหมือนกันในคอลัมน์เดียวกันคือไม่มีความแตกต่างอย่างมีนัยสำคัญทางสถิติที่ระดับความเชื่อมั่นร้อยละ 95 ในตารางคือค่าเฉลี่ย ± SD (n=2)

ตารางที่ 28 ค่าร้อยละการแยกตัวของเหลวของสตาร์ชถั่วเขียวที่ไม่ผ่านและผ่านการดัดแปลงโดยวิธีออกซิเดชัน

ตัวอย่าง	ร้อยละการแยกตัวของเหลว
Native starch	54.84 ± 0.59 ^e
Oxidized starch, control	67.99 ± 3.11 ^d
Oxidized starch, 0.5% active chlorine	77.03 ± 1.36 ^a
Oxidized starch, 1.0% active chlorine	71.05 ± 2.25 ^c
Oxidized starch, 1.5% active chlorine	71.69 ± 1.40 ^{bc}
Oxidized starch, 2.0% active chlorine	74.04 ± 2.61 ^b

a,...,e = ตัวเลขที่มีตัวอักษรกำกับเหมือนกันในคอลัมน์เดียวกันคือไม่มีความแตกต่างอย่างมีนัยสำคัญทางสถิติที่ระดับความเชื่อมั่นร้อยละ 95 ในตารางคือค่าเฉลี่ย ± SD (n=2)

ตารางที่ 29 ค่าความแข็งแรงของเจลของสตาร์ชถ้าเขียวที่ไม่ผ่านและผ่านการดัดแปลงโดยวิธี
ออกซิเดชัน

ตัวอย่าง	ความแข็งแรงของเจล (นิวตัน)
Native starch	78.96 ± 3.92 ^b
Oxidized starch, control	112.60 ± 7.39 ^a
Oxidized starch, 0.5% active chlorine	109.86 ± 4.05 ^a
Oxidized starch, 1.0% active chlorine	82.95 ± 8.56 ^b
Oxidized starch, 1.5% active chlorine	49.83 ± 2.29 ^c
Oxidized starch, 2.0% active chlorine	45.12 ± 2.38 ^c

a,...,c = ตัวเลขที่มีตัวอักษรกำกับเหมือนกันในคอลัมน์เดียวกันคือไม่มีความแตกต่างอย่างมีนัยสำคัญทางสถิติที่ระดับความเชื่อมั่นร้อยละ 95 ในตารางคือค่าเฉลี่ย ± SD (n=2)

ตารางที่ 30 ปริมาณความชื้นของสตาร์ชถ้าเขียวที่ไม่ผ่านและผ่านการดัดแปลงโดยวิธีออกซิเดชัน

ตัวอย่าง	ปริมาณความชื้น (gramm ต่อสตาร์ชถ้าเขียวโดยน้ำหนักแห้ง 100 กรัม)
Native starch	12.18 ± 0.08 ^a
Oxidized starch, control	11.39 ± 0.08 ^d
Oxidized starch, 0.5% active chlorine	11.27 ± 0.13 ^d
Oxidized starch, 1.0% active chlorine	11.66 ± 0.16 ^c
Oxidized starch, 1.5% active chlorine	11.87 ± 0.11 ^b
Oxidized starch, 2.0% active chlorine	11.87 ± 0.18 ^b

a,...,d = ตัวเลขที่มีตัวอักษรกำกับเหมือนกันในคอลัมน์เดียวกันคือไม่มีความแตกต่างอย่างมีนัยสำคัญทางสถิติที่ระดับความเชื่อมั่นร้อยละ 95 ในตารางคือค่าเฉลี่ย ± SD (n=2)

ตารางที่ 31 ปริมาณอะไมโลสของสตาร์ชถั่วเขียวที่ไม่ผ่านและผ่านการดัดแปลงโดยการเชื่อมข้าม

ตัวอย่าง	ปริมาณอะไมโลส (กรัมต่อสตาร์ชถั่วเขียวโดยน้ำหนักแห้ง 100 กรัม)
Native starch	61.98 ± 0.11 ^b
Cross-linked starch, control	64.19 ± 0.08 ^a
Cross-linked starch, 5.0% STMP	22.19 ± 1.14 ^c
Cross-linked starch, 10.0% STMP	20.41 ± 1.33 ^d
Cross-linked starch, 15.0% STMP	20.21 ± 0.59 ^d

a,...,d = ตัวเลขที่มีตัวอักษรกำกับเหมือนกันในคอลัมน์เดียวกันคือไม่มีความแตกต่างอย่างมีนัยสำคัญทางสถิติที่ระดับความเชื่อมั่นร้อยละ 95 ในตารางคือค่าเฉลี่ย ± SD (n=2)

ตารางที่ 32 ค่าร้อยละความเป็นผลึกของสตาร์ชถั่วเขียวที่ไม่ผ่านและผ่านการดัดแปลงโดยการเชื่อมข้าม

ตัวอย่าง	ร้อยละความเป็นผลึก
Native starch	51.84
Cross-linked starch, control	53.72
Cross-linked starch, 5.0% STMP	52.81
Cross-linked starch, 10.0% STMP	51.50
Cross-linked starch, 15.0% STMP	52.81

ตารางที่ 33 ค่าร้อยละการถูกย่อยด้วยเอนไซม์แอลฟาราบีโนเลสของสารชั้วเยียที่ไม่ผ่านและผ่านการตัดแพรโดยการเชื่อมข้าม

ตัวอย่าง	ร้อยละการถูกย่อยด้วยเอนไซม์
Native starch	39.63 ± 1.38 ^b
Cross-linked starch, control	44.79 ± 1.66 ^a
Cross-linked starch, 5.0% STMP	44.79 ± 3.99 ^a
Cross-linked starch, 10.0% STMP	35.34 ± 2.52 ^b
Cross-linked starch, 15.0% STMP	38.00 ± 2.00 ^b

a,...,b = ตัวเลขที่มีตัวอักษรกำกับเหมือนกันในคอลัมน์เดียวกันคือไม่มีความแตกต่างอย่างมีนัยสำคัญทางสถิติที่ระดับความเชื่อมั่นร้อยละ 95 ในตารางคือค่าเฉลี่ย ± SD (n=2)

ตารางที่ 34 ค่ากำลังการพองตัวและร้อยละการละลายของสารชั้วเยียที่ไม่ผ่านและผ่านการตัดแพรโดยการเชื่อมข้าม

ตัวอย่าง	กำลังการพองตัว	ร้อยละการละลาย
Native starch	11.16 ± 0.17 ^a	3.46 ± 0.05 ^c
Cross-linked starch, control	10.44 ± 0.11 ^b	3.99 ± 0.05 ^b
Cross-linked starch, 5.0% STMP	5.88 ± 0.25 ^d	2.83 ± 0.03 ^d
Cross-linked starch, 10.0% STMP	5.61 ± 0.23 ^d	2.45 ± 0.37 ^d
Cross-linked starch, 15.0% STMP	6.80 ± 0.17 ^c	4.90 ± 0.21 ^a

a,...,d = ตัวเลขที่มีตัวอักษรกำกับเหมือนกันในคอลัมน์เดียวกันคือไม่มีความแตกต่างอย่างมีนัยสำคัญทางสถิติที่ระดับความเชื่อมั่นร้อยละ 95 ในตารางคือค่าเฉลี่ย ± SD (n=2)

ตารางที่ 35 ค่าร้อยละการแยกตัวของเหลวของสตาร์ชถั่วเขียวที่ไม่ผ่านและผ่านการดัดแปลงโดยการเชื่อมข้าม

ตัวอย่าง	ร้อยละการแยกตัวของเหลว
Native starch	54.84 ± 0.59 ^d
Cross-linked starch, control	67.13 ± 1.23 ^c
Cross-linked starch, 5.0% STMP	76.70 ± 1.23 ^b
Cross-linked starch, 10.0% STMP	79.78 ± 0.78 ^a
Cross-linked starch, 15.0% STMP	75.06 ± 1.90 ^b

a,...,d = ตัวเลขที่มีตัวอักษรกำกับเหมือนกันในคอลัมน์เดียวกันคือไม่มีความแตกต่างอย่างมีนัยสำคัญทางสถิติที่ระดับความเชื่อมั่นร้อยละ 95 ในตารางคือค่าเฉลี่ย ± SD (n=2)

ตารางที่ 36 ค่าความแข็งแรงของเจลของสตาร์ชถั่วเขียวที่ไม่ผ่านและผ่านการดัดแปลงโดยการเชื่อมข้าม

ตัวอย่าง	ความแข็งแรงของเจล (นิวตัน)
Native starch	78.96 ± 3.92 ^b
Cross-linked starch, control	138.45 ± 6.07 ^a
Cross-linked starch, 5.0% STMP	37.20 ± 6.16 ^d
Cross-linked starch, 10.0% STMP	51.24 ± 8.96 ^c
Cross-linked starch, 15.0% STMP	25.14 ± 5.48 ^e

a,...,e = ตัวเลขที่มีตัวอักษรกำกับเหมือนกันในคอลัมน์เดียวกันคือไม่มีความแตกต่างอย่างมีนัยสำคัญทางสถิติที่ระดับความเชื่อมั่นร้อยละ 95 ในตารางคือค่าเฉลี่ย ± SD (n=2)

ตารางที่ 37 ปริมาณฟอสฟอรัสของสตาร์ชถั่วเขียวที่ไม่ผ่านและผ่านการดัดแปลงโดยการเชื่อมข้าม

ตัวอย่าง	ปริมาณฟอสฟอรัส (กรัมต่อน้ำหนักสตาร์ชถั่วเขียวโดยน้ำหนักแห้ง 100 กรัม)
Native starch	0.0094 ± 0.0011 ^d
Cross-linked starch, control	0.0078 ± 0.0004 ^e
Cross-linked starch, 5.0% STMP	0.0320 ± 0.0004 ^c
Cross-linked starch, 10.0% STMP	0.0613 ± 0.0007 ^b
Cross-linked starch, 15.0% STMP	0.0773 ± 0.0013 ^a

a,...,e = ตัวเลขที่มีตัวอักษรกำกับเหมือนกันในคอลัมน์เดียวกันคือไม่มีความแตกต่างอย่างมีนัยสำคัญทางสถิติที่ระดับความเชื่อมั่นร้อยละ 95 ในตารางคือค่าเฉลี่ย ± SD (n=2)

ตารางที่ 38 ปริมาณความชื้นของสตาร์ชถั่วเขียวที่ไม่ผ่านและผ่านการดัดแปลงโดยการเชื่อมข้าม

ตัวอย่าง	ปริมาณความชื้น (กรัมต่อน้ำหนักสตาร์ชถั่วเขียวโดยน้ำหนักแห้ง 100 กรัม)
Native starch	12.18 ± 0.08 ^c
Cross-linked starch, control	12.48 ± 0.24 ^{ab}
Cross-linked starch, 5.0% STMP	12.26 ± 0.19 ^{bc}
Cross-linked starch, 10.0% STMP	12.58 ± 0.21 ^a
Cross-linked starch, 15.0% STMP	12.68 ± 0.05 ^a

a,...,c = ตัวเลขที่มีตัวอักษรกำกับเหมือนกันในคอลัมน์เดียวกันคือไม่มีความแตกต่างอย่างมีนัยสำคัญทางสถิติที่ระดับความเชื่อมั่นร้อยละ 95 ในตารางคือค่าเฉลี่ย ± SD (n=2)

ประวัติผู้วิจัย

ชื่อ-สกุล

นายณัฏฐ์ ใจดีจริติกาล

ที่อยู่

19/210 หมู่ที่ 2 ถ.เพชรเกษม ต.เขาน้อย อ.ปราณบุรี
จ.ประจวบคีรีขันธ์ 77120

โทรศัพท์ 081-9258130

ประวัติการศึกษา

พ.ศ. 2545	สำเร็จการศึกษาปฐมบัณฑุาวิทยาศาสตร์บัณฑิต สาขาวิชาเคมี คณะวิทยาศาสตร์ มหาวิทยาลัยศิลปากร พระราชวังสานามจันทร์ นครปฐม
พ.ศ. 2546	ศึกษาต่อระดับปฐมบัณฑุาวิทยาศาสตร์มหาบัณฑิต สาขาวิชาเทคโนโลยีอาหาร บัณฑิตวิทยาลัย มหาวิทยาลัยศิลปากร พระราชวังสานามจันทร์ นครปฐม